

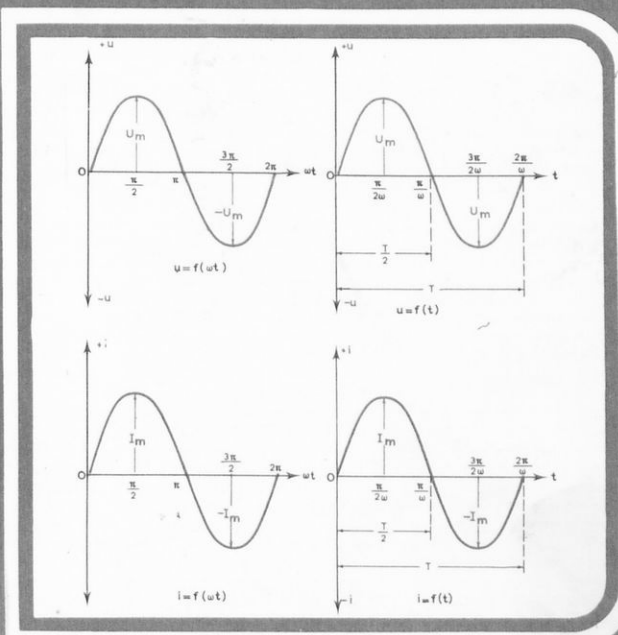


Γ' Τεχνικοῦ Λυκείου

ΗΛΕΚΤΡΟΤΕΧΝΙΑ

Γεωργίου Κ. Κοκκινάκη
ΚΑΘΗΓΗΤΟΥ ΠΑΝ/ΜΙΟΥ ΠΑΤΡΩΝ

Γεωργίου Ιωάν. Καρύδη
ΔΙΠΛ. ΗΛΕΚΤΡΟΛΟΓΟΥ ΜΗΧΑΝΙΚΟΥ



002
ΚΛΣ
ΣΤ2Β
2166



1954

ΙΔΡΥΜΑ ΕΥΓΕΝΙΔΟΥ
ΧΡΥΣΟΥΝ ΜΕΤΑΛΛΙΟΝ ΑΚΑΔΗΜΙΑΣ ΑΘΗΝΩΝ

Ψηφιοποιήθηκε από το Ινστιτούτο Εκπαιδευτικής Πολιτικής



ΦΣΣ

E

B
3

Kokkinakos, Evangelos K.



I' ΤΑΞΗ ΤΕΧΝΙΚΟΥ ΛΥΚΕΙΟΥ

ΗΛΕΚΤΡΟΤΕΧΝΙΑ

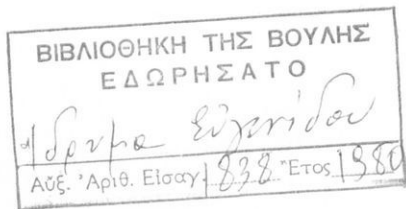
ΓΕΩΡΓΙΟΥ ΚΩΝ/ΝΟΥ ΚΟΚΚΙΝΑΚΗ
ΤΑΚΤΙΚΟΥ ΚΑΘΗΓΗΤΟΥ ΠΑΝ/ΜΙΟΥ ΠΑΤΡΩΝ

ΓΕΩΡΓΙΟΥ ΙΩΑΝ. ΚΑΡΥΔΗ
ΔΙΠΛ. ΗΛΕΚΤΡΟΛΟΓΟΥ ΜΗΧΑΝΙΚΟΥ

ΑΘΗΝΑ
1979



002
ΗΝΕ
ΕΤ2Β
2166



Ψηφιοποιήθηκε από το Ινστιτούτο Εκπαιδευτικής Πολιτικής

ΠΡΟΛΟΓΟΣ ΙΔΡΥΜΑΤΟΣ ΕΥΓΕΝΙΔΟΥ

‘Ο Εύγενιος Εύγενιδης, διάρυτής και χορηγός του «’Ιδρυματος Εύγενιδου», πολύ νωρίς πρόβλεψε και σχημάτισε τήν πεποίθηση δτι ή άρτια κατάρτιση τών τεχνικών μας, σε συνδυασμό με τήν έθνική άγωγή, θά ήταν άναγκαιος και άποφασιστικός παράγοντας τής προόδου τού ‘Έθνους μας.

Τήν πεποίθησή του αύτή διάρυντης έκδήλωσε μέ τή γενναιόφρονα πράξη ευεργεσίας, νά κληροδοτήσει σεβαστό ποσό γιά τή σύσταση ’Ιδρυματος πού θά είχε σκοπό νά συμβάλλει στήν τεχνική έκπαίδευση τών νέων τής Έλλάδας.

‘Ετσι τό Φεβρουάριο τού 1956 συστήθηκε τό «’Ιδρυμα Εύγενιδου», τού δποίου τήν διοίκηση άνέλαβε ή άδελφή του κυρία Μαριάνθη Σίμου, σύμφωνα μέ τήν έπιθυμία τού διαθέτη.

‘Από τό 1956 μέχρι σήμερα ή συμβολή τού ’Ιδρυματος στήν τεχνική έκπαίδευση πραγματοποιείται μέ διάφορες δραστηριότητες. ‘Όμως άπ’ αύτές ή σημαντικότερη, πού κρίθηκε άπό τήν άρχη ώς πρώτης άνάγκης, είναι ή έκδοση βιβλίων γιά τούς μαθητές τών τεχνικών σχολών.

Μέχρι σήμερα έκδόθηκαν 150 τόμοι βιβλίων, πού έχουν διατεθεί σέ πολλά έκατομμύρια τεύχη, και καλύπτουν άνάγκες τών Κατώτερων και Μέσων Τεχνικών Σχολών τού ‘Υπ. Παιδείας, τών Σχολών τού ‘Οργανισμοῦ ‘Απασχολήσεως ‘Εργατικοῦ Δυναμικοῦ (ΟΑΕΔ) και τών Δημοσίων Σχολών ‘Εμπορικοῦ Ναυτικοῦ.

Μοναδική φροντίδα τού ’Ιδρυματος σ’ αύτή τήν έκδοτική του προσπάθεια ήταν και είναι ή ποιότητα τών βιβλίων, άπό όποιη δχι μόνον έπιστημονική, παιδαγωγική και γλωσσική, άλλα και άπό όποιη έμφανίσεως, ώστε τό βιβλίο νά άγαπηθεί άπό τούς νέους.

Γιά τήν έπιστημονική και παιδαγωγική ποιότητα τών βιβλίων, τά κείμενα ύποβάλλονται σέ πολλές έπειξεργασίες και βελτιώνονται πρίν άπό κάθε νέα έκδοση.

‘Ιδιαίτερη σημασία άπέδωσε τό ‘Ιδρυμα άπό τήν άρχη στήν ποιότητα τών βιβλίων άπό γλωσσική δποψη, γιατί πιστεύει δτι και τά τεχνικά βιβλία, δταν είναι γραμμένα σέ γλώσσα άρτια και δμοιόμορφη άλλα και κατάλληλη γιά τή στάθμη τών μαθητών, μπορούν νά συμβάλλουν στήν γλωσσική διαπαιδαγώγηση τών μαθητών.

‘Ετσι μέ άπόφαση πού πάρθηκε ήδη άπό τό 1956 δλα τά βιβλία τής Βιβλιοθήκης τού Τεχνίτη, δηλαδή τά βιβλία γιά τίς Κατώτερες Τεχνικές Σχολές, δπως άργοτέρα και γιά τίς Σχολές τού ΟΑΕΔ, είναι γραμμένα σέ γλώσσα δημοτική μέ βάση τήν γραμματική τού Τριανταφυλλίδη, ένω δλα τά άλλα βιβλία είναι γραμμένα στήν άπλη καθαρεύουσα. ‘Η γλωσσική έπειξεργασία τών βιβλίων γίνεται άπό φιλολόγους τού ’Ιδρυματος και έτσι έξασφαλίζεται ή ένιαίσα σύνταξη και όρολογία κάθε κατηγορίας βιβλίων.

Ή ποιότητα τοῦ χαρτιοῦ, τό εἶδος τῶν τυπογραφικῶν στοιχείων, τά σωστά σχήματα καὶ ἡ καλαίσθητη σελιδοποίηση, τό ἔξωφυλλο καὶ τό μέγεθος τοῦ βιβλίου περιλαμβάνονται καὶ αὐτά στὶς φρόντιδες τοῦ Ἰδρύματος.

Τό Ἰδρυμα Θεώρησε διτεῖν ὑποχρέωσή του, σύμφωνα μέ τό πνεῦμα τοῦ ἰδρυτή του, νά θέσει στήν διάθεση τοῦ Κράτους δλη αὐτή τήν πείρα του τῶν 20 ἑτῶν, ἀναλαμβάνοντας τήν ἔκδοση τῶν βιβλίων καὶ γιά τίς νέες Τεχνικές καὶ Ἐπαγγελματικές Σχολές καὶ τά νέα Τεχνικά καὶ Ἐπαγγελματικά Λύκεια, σύμφωνα μέ τά Ἀναλυτικά Προγράμματα τοῦ Κ.Ε.Μ.Ε.

Τά χρονικά περιθώρια γι' αὐτή τήν νέα ἔκδοτική προσπάθεια ἦταν πολύ περιορισμένα καὶ ἵσως γι' αὐτό, ίδιως τά πρῶτα βιβλία αὐτῆς τῆς σειρᾶς, νά παρουσιάσουν ἀτέλειες στή συγγραφή ἢ στήν ἐκτύπωση, πού θά διορθωθοῦν στή νέα τους ἔκδοση. Γι' αὐτό τό σκοπό ἐπικαλούμαστε τήν βοήθεια δλων δσων θά χρησιμοποιήσουν τά βιβλία, ώστε νά μᾶς γνωστοποιήσουν κάθε παρατήρησή τους γιά νά συμβάλλουν καὶ αὐτοί στή βελτίωση τῶν βιβλίων.

ΕΠΙΤΡΟΠΗ ΕΚΔΟΣΕΩΝ ΙΔΡΥΜΑΤΟΣ ΕΥΓΕΝΙΔΟΥ

Άλεξανδρος Ι. Παππᾶς, Όμ. Καθηγητής ΕΜΠ, Πρόεδρος,

Χρυσόστομος Φ. Καβουνίδης Διπλ. Μηχ.-Ήλ. ΕΜΠ, Αντιπρόεδρος.

Μιχαήλ Γ. Ἀγγελόπουλος Τακτικός Καθηγητής ΕΜΠ, Διοικητής ΔΕΗ.

Παναγιώτης Χατζηιωάννου, Μηχ.-Ήλ. ΕΜΠ, Γεν. Δι/ντής Ἐπαγ/κής 'Εκπ. 'Υπ. Παιδείας, Επιστημ. Σύμβουλος, Γ. Ρούσσος Χημ.-Μηχ. ΕΜΠ.

Σύμβουλος ἐπί τῶν ἔκδοσεων τοῦ Ἰδρύματος Κ.Α. Μανάφης, Καθηγητής Φιλοσοφικῆς

Σχολῆς Παν/μίου 'Αθηνῶν.

Γραμματεύς, Δ.Π. Μεγαρίτης.

Διατελέσαντα μέλη ἢ σύμβουλοι τῆς Ἐπιτροπῆς

Γεώργιος Κακριδής † (1955 – 1959) Καθηγητής ΕΜΠ. Ἀγγελός Καλογερᾶς † (1957 – 1970)

Καθηγητής ΕΜΠ. Δημήτριος Νιάνιας (1957 – 1965) Καθηγητής ΕΜΠ. Μιχαήλ Σπετσιέρης

(1956 – 1959). Νικόλαος Βασιώτης (1960 – 1967) Θεόδωρος Κουζέλης (1968 – 1976)

Μηχ.-Ήλ. ΕΜΠ.

ΠΡΟΛΟΓΟΣ

Τό βιβλίο αύτό γράφτηκε σύμφωνα μέ τήν ςλη πού καθόρισε τό ‘Υπουργείο Παιδείας γιά τή διδασκαλία τοῦ μαθήματος τῆς ‘Ηλεκτροτεχνίας τῆς Β’ καί Γ’ τάξεως τῶν Τεχνικῶν καὶ ‘Επαγγελματικῶν Λυκείων. ‘Η ςλη αύτή ξεκινᾶ ἀπό τίς πολύ βασικές ἔννοιες τοῦ ‘Ηλεκτρισμοῦ (τί εἶναι ρεῦμα, τάση, ἀντίσταση, κλπ.), περνᾶ ἀπό τό συνεχές ρεῦμα, τό μαγνητικό πεδίο, τούς πυκνωτές, τό μονοφασικό καὶ τριφασικό ἐναλλασσόμενο ρεῦμα καὶ καταλήγει σέ ειδικά θέματα ‘Ηλεκτροτεχνίας. Σκοπός της εἶναι νά δώσει στό μαθητή τοῦ Τεχνικοῦ Λυκείου τίς ἀπαραίτητες ἡλεκτροτεχνικές γνώσεις γιά τήν παρακολούθηση ὅλων πού ειδικευμένων μαθημάτων καὶ βέβαια τίς γνώσεις πού θά τοῦ χρειασθοῦν κατόπιν στήν ἀσκηση τοῦ ἐπαγγέλματος του. ‘Άκομα ἔχει σάν σκοπό νά δώσει γερές βάσεις ‘Ηλεκτροτεχνίας σέ δσους θά ἀκολουθήσουν ἀνώτερες καὶ ἀνώτατες σπουδές.

‘Από τήν ςλη πού ἀναφέρθηκε, ό μαθητής τῆς Β’ καί Γ’ τάξεως Τεχνικοῦ Λυκείου ἔχει ἡδη δρισμένες γνώσεις, πού ἀποκόμισε ἀπό τή διδασκαλία τῶν μαθημάτων «Φυσική Πειραματική» τῆς Γ’ Γυμνασίου, «‘Ηλεκτρικές ‘Εφαρμογές» τῆς Α’ Τεχνικοῦ καὶ ‘Επαγγελματικοῦ Λυκείου, κ.ά. Οι γνώσεις αύτές ἐπαναλαμβάνονται ἐδῶ ἄλλα πού συνοπτικά, ώστε ὁ μαθητής νά ἔχει ὀλοκληρωμένη τήν ἀπαραίτητη ςλη τῆς ‘Ηλεκτροτεχνίας σέ ἔνα βιβλίο καὶ νά μήν χρειάζεται νά ἀνατρέψει σέ ὅλες πηγές.

‘Ιδιαίτερη προσπάθεια καταβλήθηκε στό νά γίνουν τά διάφορα ἀντικείμενα δσο τό δυνατόν πού ἀπλά καὶ καταληπτά, χωρίς φυσικά νά ζημιωθεῖ ἡ ὄρθδητά τους, καὶ ἀκόμα στό νά παρουσιασθοῦν μέ τόν τρόπο πού ἐνδιαφέρει ἔνα Τεχνικό - ‘Ηλεκτρολόγο. ‘Έτσι ἡ περιγραφή καὶ ἐρμηνεία τῶν διαφόρων φαινομένων δέν εἶναι ἐδῶ αύτοσκοπός δψως στή διδασκαλία τοῦ ‘Ηλεκτρισμοῦ καὶ Μαγνητισμοῦ στή Φυσική, ἄλλα τό μέσο γιά νά φθάσει ὁ μαθητής σύντομα καὶ μέ τά ἀπαραίτητα ἐφόδια στίς πρακτικές ἐφαρμογές.

Οι γνώσεις πού προσπατιοῦνται γιά τήν ἀνάγνωση τοῦ βιβλίου αύτοῦ ἔχουν ἡδη διδαχθεῖ στά πλαίσια τῶν μαθημάτων «Μαθηματικά» καὶ «Φυσική» τοῦ Γυμνασίου καὶ τῆς Α’ τάξεως τοῦ Τεχνικοῦ καὶ ‘Επαγγελματικοῦ Λυκείου. ‘Ιδιαίτερα εἶναι ἀπαραίτητα στοιχεῖα διανυσματικοῦ λογισμοῦ καὶ στοιχεῖα μιγαδικοῦ λογισμοῦ. ‘Ο μαθητής θά διαπιστώσει ἐπίσης δτι χρησιμοποιοῦνται στοιχειώδη διαφορικά καὶ ὀλοκληρώματα. Οι ἔννοιες τοῦ διαφορικοῦ καὶ τοῦ ὀλοκληρώματος ἔχουν ἡδη δοθεῖ στήν Α’ τάξη τοῦ Τεχνικοῦ καὶ ‘Επαγγελματικοῦ Λυκείου, ώστε δέν πρέπει νά παρουσιασθεῖ κανονικά δυσκολία στήν ἀντιμετώπισή τους ἐδῶ. Παρ’ ὅλα αύτά ἡ κατανόηση τῶν ἀντικείμενων πού περιγράφονται δέν στηρίζεται σέ διαφορικά ἢ ὀλοκληρώματα, πού μποροῦν ἔτσι νά παραλειφθοῦν σέ περίπτωση πού οι μαθητές δέν θά ἔχουν τίς ἀπαιτούμενες ἔννοιες.

Τό βιβλίο άποτελεῖται άπό ἔξι μέρη που ἔχουν χωρισθεῖ σέ δύο τόμους. Ο πρῶτος τόμος περιλαμβάνει τίς πρώτες βασικές ἡλεκτροτεχνικές γνώσεις, τό συνεχές ρεῦμα καὶ τό μαγνητικό πεδίο, ὁ δεύτερος τόμος τούς πυκνωτές, τό ἐναλλασσόμενο ρεῦμα καὶ εἰδικά θέματα (ἀνορθωτές, θερμοστοιχεῖα).

Γιά ἔξασκηση στή χρησιμοποίηση τῶν τύπων καὶ τῶν μονάδων καὶ γιά νά ἀποκτήσει ὁ μαθητής ἀντίληψη τῆς τάξεως μεγέθους τῶν διαφόρων ἡλεκτροτεχνικῶν μεγεθῶν σέ πρακτικές περιπτώσεις, δίνονται στό τέλος κάθε παραγράφου ἀριθμητικές ἔφαρμογές. Ἐπίσης στό τέλος κάθε τόμου ὑπάρχει σέ παράρτημα συλλογή ἀσκήσεων πρός λύση ἀπό τούς μαθητές. Σέ κάθε ἀσκηση δίνεται τό ἀποτέλεσμα γιά νά μπορεῖ νά ἔλεγχθεῖ ἡ ὄρθοπτη τής λύσεως.

“Ἄν ληφθεῖ ὑπ’ ὅψη ὁ χρόνος πού γράφτηκε καὶ ἔκδόθηκε τό βιβλίο αύτό, θά πρέπει νά ὑπάρχουν περιθώρια διορθώσεως τυπογραφικῶν κλπ. λαθῶν, δπως καὶ βελτιώσεων στήν παρουσίαση τῆς ςλης. Ἐτσι εἶναι εύπρόσδεκτη κάθε ὑπόδειξη πρός τήν κατεύθυνση αύτή, ὥστε νά ληφθεῖ ὑπ’ ὅψη σέ ἐπόμενη ἔκδοση.”

Οι συγγραφεῖς

ΤΕΤΑΡΤΟ ΜΕΡΟΣ

ΤΟ ΗΛΕΚΤΡΙΚΟ ΠΕΔΙΟ – ΠΥΚΝΩΤΕΣ

ΚΕΦΑΛΑΙΟ ΔΩΔΕΚΑΤΟ

ΤΟ ΗΛΕΚΤΡΙΚΟ ΠΕΔΙΟ

12.1 'Ορισμός τοῦ ήλεκτρικοῦ πεδίου.

Στήν παράγραφο 1.2 τοῦ πρώτου τόμου μάθαμε δτι, ἂν σέ ἔνα ήλεκτρικό φορτίο Q_1 πλησιάσομε ἄλλο ήλεκτρικό φορτίο Q_2 , θά ἀσκηθεῖ μεταξύ τῶν δύο φορτίων ὁρισμένη δύναμη \vec{F} . Ἡ δύναμη αὐτή ὁρίζεται ἀπό τὸ νόμο τοῦ Coulomb, δταν κάθε φορτίο εἶναι συγκεντρωμένο σέ πολὺ μικρό χῶρο (θεωρητικά σέ ἔνα σημεῖο, ὅποτε λέγεται **σημειακό φορτίο** η στήν πράξη π.χ. σέ μιά μικρή σφαίρα).

Ἡ δύναμη πού ἀσκεῖται σέ ήλεκτρικό φορτίο ἔξαιτιας ἄλλου φορτίου δεχόμασθε δτι δέν μεταβιβάζεται ἐξ ἀποστάσεως ἀπό τὸ ἔνα φορτίο στό ἄλλο, ἀλλά δτι δημιουργεῖται ἐπί τόπου στό σημεῖο τοῦ χώρου, πού βρίσκεται τὸ φορτίο πού ὑφίσταται τῇ δύναμη. Ἀκόμα δεχόμασθε δτι η ἀσκούμενη δύναμη δφείλεται σέ **ἰδιότητα** πού ἔχει ὁ χῶρος στό σημεῖο αὐτό, νά ἀσκεῖ δύναμη σέ ήλεκτρικό φορτίο. Τήν ιδιότητα αὐτή δίνει στό γύρω χῶρο του ὅποιοδήποτε ήλεκτρικό φορτίο μέ ἀποτέλεσμα τή δημιουργία **ήλεκτρικοῦ πεδίου**.

Ήλεκτρικό πεδίο δνομάζεται γενικά ὁ χῶρος μέσα στόν ὅποιο τοποθετούμενο ήλεκτρικό φορτίο ύφισταται δύναμη.

Ὀταν τό ήλεκτρικό πεδίο δημιουργεῖται ἀπό φορτία σέ ηρεμία, δπως εἶναι π.χ. τό πεδίο γύρω ἀπό μιά φορτισμένη σφαίρα, τότε δνομάζεται **ήλεκτροστατικό πεδίο**. Ἡ δύναμη πού ἀσκεῖται σέ ήλεκτρικό φορτίο ἀπό τό ήλεκτροστατικό πεδίο εἶναι σταθερή χρονικά σέ κάθε σημεῖο του. Ἀν, ἀντίθετα, τό ήλεκτρικό πεδίο δημιουργεῖται ἀπό φορτία πού μεταβάλλονται χρονικά, δνομάζεται **μεταβαλλόμενο ήλεκτρικό πεδίο**. Στήν περίπτωση αὐτή η δύναμη, πού ἀσκεῖ τό πεδίο σέ ὅποιοδήποτε σημεῖο του, μεταβάλλεται χρονικά.

Ἡ δημιουργία ήλεκτρικοῦ πεδίου ἀπαιτεῖ πάντοτε κατανάλωση ἐνέργειας. Ἡ ἐνέργεια αὐτή **ἀποταμιεύεται στό ηλεκτρικό πεδίο** και ἀποδίδεται, δταν τό πεδίο καταστρέφεται.

12.2 Ἐνταση του ήλεκτρικοῦ πεδίου.

Ἐνταση του ήλεκτρικοῦ πεδίου μποροῦμε νά το περιγράψουμε, ἂν ξέρομε τή δύναμη πού ἀσκεῖ σέ κάθε σημεῖο του σέ όρισμένο ήλεκτρικό φορτίο, κατά μέτρο, διεύθυνση καὶ φορά. Τή δύναμη αὐτή μποροῦμε νά προσδιορίσουμε πειραματικά μετρώντας τή δύναμη πού ἀσκεῖται σέ ἔνα γνωστό **δοκιμαστικό φορτίο** q πού μετακινοῦμε μέσα στό πεδίο. Ἐπειδή ή φορά τῆς δυνάμεως ἔχαρται ἀπό τό ἄν τό φορτίο εἶναι θετικό ή ἀρνητικό, χρησιμοποιεῖται συμβατικά πάντοτε **θετικό φορτίο**.

Τό δοκιμαστικό φορτίο πρέπει νά εἶναι ἀρκετά μικρό καὶ νά ἔχει πολύ περιορισμένες διαστάσεις (θεωρητικά πρέπει νά εἶναι ἔνα ἐλάχιστο σημειακό φορτίο), ὅστε νά μήν ἐπηρεάζει μέ τό πεδίο του, τό ἀρχικό πεδίο μέσα στό διπολοῦ εἰσάγεται.

Ἡ δύναμη \vec{F} πού ἀσκεῖται ἐπάνω στό δοκιμαστικό φορτίο q ἀποδεικνύεται ἀπό τό πείραμα ὅτι εἶναι ἀνάλογη τοῦ φορτίου αὐτοῦ:

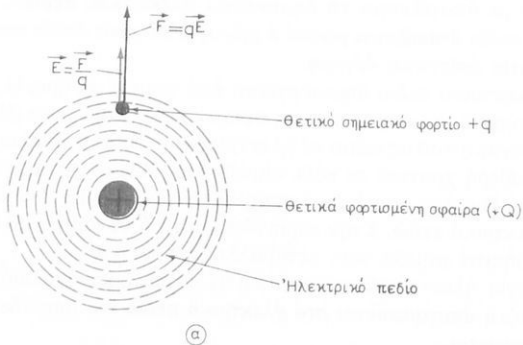
$$\vec{F} = \vec{E} \cdot q \quad (1)$$

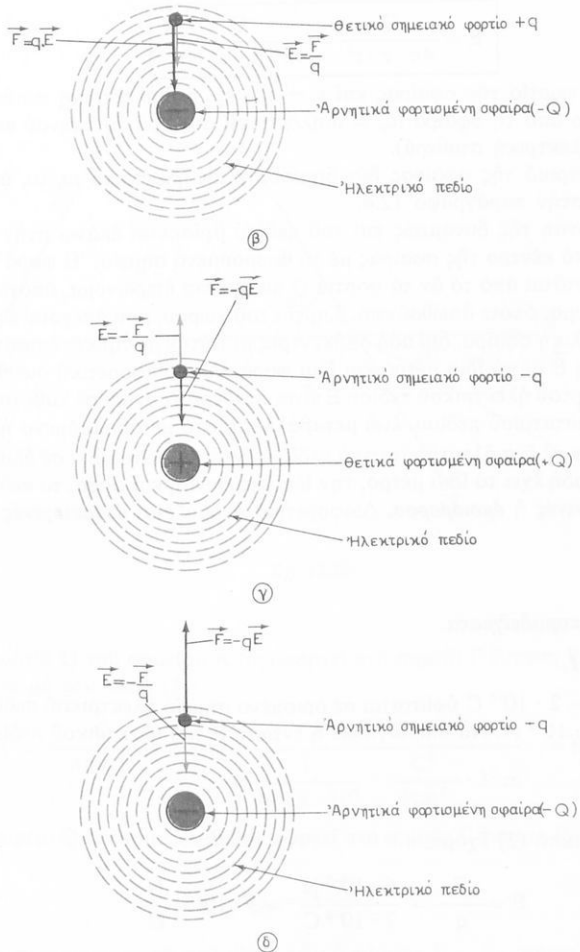
Ο συντελεστής \vec{E} ὁνομάζεται **ἔνταση τοῦ ήλεκτρικοῦ πεδίου** καὶ εἶναι χαρακτηριστικό μέγεθος τοῦ πεδίου σέ κάθε σημεῖο του. Ἀπό τήν (1) προκύπτει ὅτι ἡ Ἐνταση \vec{E} εἶναι διανυσματικό μέγεθος μέ διεύθυνση καὶ φορά ἵδια μέ ἐκείνη τῆς δυνάμεως \vec{F} πού ἀσκεῖται ἀπό τό πεδίο σέ **θετικό φορτίο** τοποθετημένο στό θεωρούμενο σημεῖο. Τό μέτρο τῆς \vec{E} προκύπτει ἀπό τήν (1) ὡς τό πηλίκο τοῦ μέτρου F τῆς δυνάμεως πού ἀσκεῖται στό φορτίο q διά τοῦ φορτίου αὐτοῦ.

$$E = \frac{F}{q} \quad (2)$$

Στό σύστημα S.I. ή δύναμη μετρᾶται σέ Newton (N) καὶ τό φορτίο σέ Coulomb (C). Ἀρα μονάδα τῆς ἐντάσεως E εἶναι 1N/C.

Τό σχῆμα 12.2a (α μέχρι δ) δείχνει τήν ἐνταση τοῦ ήλεκτρικοῦ πεδίου \vec{E} καὶ





Σχ. 12.2α.

τή δύναμη \vec{F} που άσκεται σε θετικό και άρνητικό φορτίο q , δταν τό πεδίο δημιουργεῖται άπο θετικό και άρνητικό φορτίο Q , δμοιόμορφα κατανεμημένο έπάνω σε μιά μεταλλική σφαίρα.

Τό μέτρο E του πεδίου στό έξωτερικό της σφαίρας και σε άπόσταση r άπο τό κέντρο της δίνεται άπο τόν τύπο:

$$E = \frac{Q}{4\pi \cdot \epsilon \cdot r^2} = \frac{Q}{4\pi \cdot \epsilon_0 \cdot \epsilon_r \cdot r^2} \quad (3)$$

δου ο Q το φορτίο της σφαίρας και $\epsilon = \epsilon_0 \cdot \epsilon_r$ ή διηλεκτρική σταθερά του χώρου γύρω από τη σφαίρα (ϵ_0 = διηλεκτρική σταθερά του κενού και ϵ_r = σχετική διηλεκτρική σταθερά).

Στό έσωτερικό της σφαίρας δέν δημιουργεῖται ήλεκτρικό πεδίο, δημος θά γνωρίσουμε στήν παράγραφο 12.4.

Η διεύθυνση της δυνάμεως και τού πεδίου βρίσκεται επάνω στήν ενθεία, που ένωνει τό κέντρο της σφαίρας μέ τό θεωρούμενο σημείο. Η φορά της δυνάμεως έξαρται από τό ἄν τα φορτία Q και q είναι έτερώνυμα, όποτε έλκονται, η όμωνυμα, όποτε άπωθονται. Σημεῖα του χώρου, που άπέχουν έξισου από τη μεταλλική σφαίρα, δηλαδή όμοκεντρες μέ αυτήν σφαρικές έπιφάνειες, έχουν ένταση \vec{E} μέ το ίδιο μέτρο και ίδια φορά άλλα διαφορετική διεύθυνση.

Η ένταση του ήλεκτρικού πεδίου \vec{E} είναι σταθερή χρονικά σέ κάθε σημείο ένος ήλεκτροστατικού πεδίου, ένδι μεταβάλλεται στό μεταβαλόμενο ήλεκτρικό πεδίο. Άν σε ένα ήλεκτροστατικό πεδίο ή ένταση \vec{E} είναι ίδια σέ δύλα του τά σημεῖα, δηλαδή έχει τό ίδιο μέτρο, την ίδια διεύθυνση και φορά, τό πεδίο όνομάζεται **δύμογενές** ή **δύμοιδορφο**. Διαφορετικά όνομάζεται **άνομογενές** ή **άνομοιδορφο**.

Αριθμητικά παραδείγματα.

Παράδειγμα 1.

Φορτίο $q = 2 \cdot 10^{-8}$ C ύφισταται σέ όρισμένο σημείο ήλεκτρικού πεδίου δύναμη $F = 6 \cdot 10^{-3}$ N. Νά ύπολογισθεῖ ή ένταση E του ήλεκτρικού πεδίου στό σημείο αυτό.

Λύση.

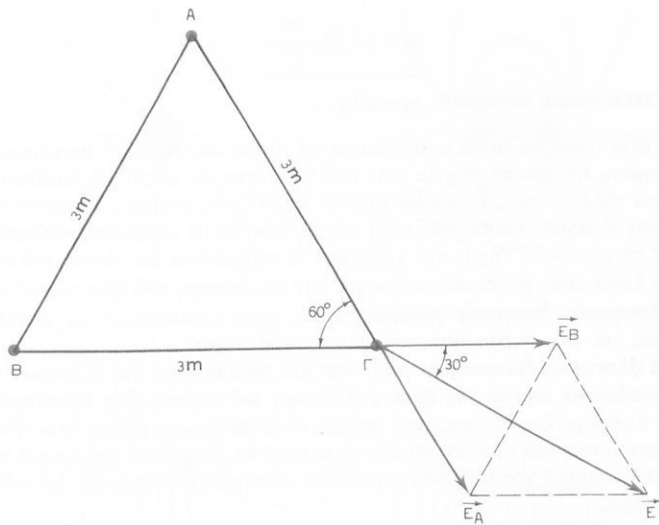
Από τόν τύπο (2) έχομε:

$$E = \frac{F}{q} = \frac{6 \cdot 10^{-3} \text{ N}}{2 \cdot 10^{-8} \text{ C}} = 3 \cdot 10^5 \frac{\text{N}}{\text{C}}$$

$$E = 3 \cdot 10^5 \frac{\text{N}}{\text{C}}$$

Παράδειγμα 2.

Στίς κορυφές A και B τού ίσόπλευρου τριγώνου ABC τού σχήματος 12.2β ήπάρχουν φορτία $Q = 8 \cdot 10^{-9}$ C. Νά προσδιορισθεῖ ή ένταση \vec{E} του ήλεκτρικού πεδίου στήν κορυφή Γ, ἄν τό τρίγωνο βρίσκεται στόν άέρα ($\epsilon_r = 1$).



$\Sigma\chi = 12,2\beta$.

Ανση.

Τό φορτίο Q τοῦ σημείου A δημιουργεῖ στό σημεῖο Γ ένταση E_A μέ μέτρο, σύμφωνα μέ τόν τύπο (3):

$$E_A = \frac{Q}{4\pi\epsilon_0 r^2} = \frac{8 \cdot 10^{-9} C}{4\pi \frac{1}{4\pi \cdot 9 \cdot 10^9} \cdot \frac{C^2}{Nm^2} \cdot 3^2 m^2} = 8 \frac{N}{C}$$

Τό φορτίο Q τοῦ σημείου B δημιουργεῖ στό σημεῖο Γ ένταση E_B μέ μέτρο:

$$E_B = E_A = 8 \frac{N}{C}$$

Άπό τή διανυσματική πρόσθεση τῶν έντάσεων E_A , E_B προκύπτει ή όλική ένταση E στό σημεῖο Γ :

$$\frac{E}{2} = E_B \text{ συν}30^\circ = E_B \frac{\sqrt{3}}{2}$$

$$\text{καὶ } E = E_B \sqrt{3} = 8 \cdot 1,731 = 13,85 \frac{N}{C}$$

$$E = 13,85 \frac{N}{C}$$

12.3 Ήλεκτρικές δυναμικές γραμμές.

Τό ήλεκτρικό πεδίο θά μπορούσαμε νά τό παραστήσουμε μέ διανύσματα το ποθετημένα σέ άρκετά σημεῖα του, πού θά έδιναν τό μέτρο, τή διεύθυνση και τή φορά τῆς έντασεως \vec{E} σέ κάθε σημεῖο. Είναι δημοσ φανερό δτι έφόσον τά διανύσματα θά είχαν τοποθετηθεῖ στήν τύχη, δύσκολα θά μπορούσε νά άντιληφθεῖ κανείς τή μεταβολή τῆς \vec{E} στό χώρο καί νά σχηματίσει μιά είκόνα τοῦ πεδίου. Γιά τό λόγο αυτό χρησιμοποιούμε γιά τήν παράσταση τοῦ ήλεκτρικοῦ πεδίου τίς **ήλεκτρικές δυναμικές γραμμές**, δπως χρησιμοποιήσαμε τίς μαγνητικές γραμμές γιά τήν παράσταση τοῦ μαγνητικοῦ πεδίου.

Μιά ήλεκτρική δυναμική γραμμή είναι μιά γραμμή μέσα στό ήλεκτρικό πεδίο, σέ διποιδήποτε σημεῖο τῆς δροίας ή ένταση τοῦ πεδίου είναι έφαπτομένη.

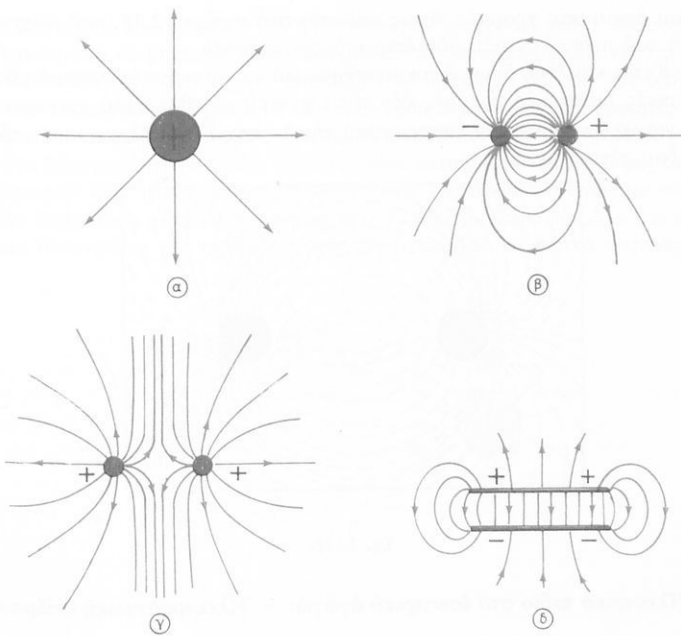
Άν άφήσουμε ένα δοκιμαστικό φορτίο νά κινηθεῖ μέσα σέ ένα ήλεκτρικό πεδίο ξεκινώντας άπό κάποιο σημεῖο, τό φορτίο θά διαγράψει μιά τροχιά πού θά δίνει τή δυναμική γραμμή, πού περνᾶ άπό τό σημεῖο έκκινησεως. Αυτό έξηγεται ώς έξης:

Στό σημεῖο έκκινησεως άσκεται στό δοκιμαστικό φορτίο δρισμένη δύναμη \vec{F} άπό τό πεδίο. Αποτέλεσμα είναι νά κινηθεῖ τό φορτίο στή διεύθυνση τῆς δυνάμεως αυτής μέχρι τό έπόμενο σημεῖο, πού άλλαζει ή διεύθυνση τῆς δυνάμεως, δπότε τό φορτίο κινεῖται στή νέα διεύθυνση. Έτσι σέ κάθε σημεῖο τῆς τροχιᾶς ή δύναμη πού άσκεται στό δοκιμαστικό φορτίο καί κατά συνέπεια ή ένταση τοῦ πεδίου είναι έφαπτομένη στήν τροχιά.

Άν σχεδιάσουμε άρκετές δυναμικές γραμμές σέ ένα έπίπεδο μέσα στό πεδίο, παίρνουμε μιά παραστατική είκόνα τῆς μορφῆς τοῦ πεδίου στό έπίπεδο αυτό. Γύρω π.χ. άπό μιά φορτισμένη σφαίρα οι δυναμικές γραμμές έχουν διεύθυνση κάθετη στήν έπιφάνεια τῆς σφαίρας [σχ. 12.3a(α)]. Μεταξύ, δύο σφαίρων άφ' ένος μέ έτερωνυμα φορτία καί άφ' έτέρου μέ δύνωνυμα φορτία οι δυναμικές γραμμές έχουν τή μορφή πού φαίνεται στά σχήματα 12.3a(β) καί 12.3a(γ). Μεταξύ δύο φορτισμένων πλακῶν οι δυναμικές γραμμές είναι παράλληλες [σχ. 12.3a(δ)].

Σημειώνοντας σέ κάθε δυναμική γραμμή τή φορά τῆς έντασεως \vec{E} μέ ένα βέλος παίρνουμε μιά παραστατική είκόνα τῆς φορᾶς σέ διλόκληρο τό πεδίο. Σύμφωνα μέ τόν δρισμό τῆς φορᾶς τῆς έντασεως \vec{E} πού δώσαμε, ώς ή φορά τῆς δυνάμεως πού άσκετ ο πεδίο σέ θετικό δοκιμαστικό φορτίο, οι δυναμικές γραμμές άπέρχονται άπό θετικά φορτία, ένδο προσέρχονται σέ άρνητικά φορτία.

Αποδεικνύεται δτι οι ήλεκτρικές δυναμικές γραμμές ξεκινοῦν πάντοτε άπό κάποιο θετικό φορτίο καί καταλήγουν σέ κάποιο άρνητικό φορτίο. Είναι δηλαδή άνοικτές γραμμές σέ άντιθεση μέ τίς μαγνητικές γραμμές, πού είναι κλειστές γραμμές.

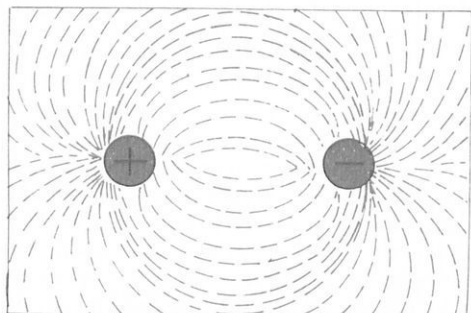


Σχ. 12.3a.

"Όπως στήν περίπτωση τοῦ μαγνητικοῦ πεδίου μποροῦμε νά παραστήσουμε και τό **μέτρο τῆς έντασεως** τοῦ ήλεκτρικοῦ πεδίου μέ τή βοήθεια τῶν ήλεκτρικῶν γραμμῶν. Γιά τό σκοπό αὐτό δρίζομε τόν άριθμό τῶν δυναμικῶν γραμμῶν, πού περνοῦν ἀπό τή μονάδα μιᾶς ἐπιφάνειας κάθετης στίς γραμμές, πού τοποθετεῖται σέ κάθε σημεῖο τοῦ πεδίου, κατά τέτοιο τρόπο, δστε νά εἶναι ἀνάλογος τῆς έντασεως τοῦ πεδίου στό θεωρούμενο σημεῖο. Μέ τόν τρόπο αὐτό στά σημεῖα πού ή ἔνταση εἶναι μεγαλύτερη οἱ γραμμές εἶναι πυκνότερες και ἀντίστροφα. Πειραματικά τή μορφή τοῦ ήλεκτρικοῦ πεδίου σέ ἓνα ἐπίπεδο μποροῦμε νά πάρομε, ἀν τοποθετήσουμε στό ἐπίπεδο αὐτό μιά πλάκα ἀπό μονωτικό όλικό, π.χ., γυαλί, και σκορπίσομε ἐπάνω της ξύσματα ἐνός κρυσταλλικοῦ μονωτικοῦ όλικοῦ, π.χ. κιμωλίας. Τά ξύσματα φορτίζονται μέ θετικά και ἀρνητικά φορτία στά ἄκρα τους, δπως θά γνωρίσουμε στήν ἐπόμενη παράγραφο. Αποτέλεσμα εἶναι νά ἀσκεῖται σέ κάθε ξύσμα ἓνα ζεδγος ἀντιθέτων δυνάμεων ἀπό τό ήλεκτρικό πεδίο και τό ξύσμα νά προσανατολίζεται (βστερα ἀπό ἐλαφρά κτυπήματα στήν πλάκα) στή διεύθυνση τοῦ πεδίου. Έτσι δημιουρ-

γοῦνται δυναμικές γραμμές, δπως φαίνεται στό σχήμα 12.3β, που δείχνει τή μορφή τοῦ πεδίου μεταξύ δύο έτερωνύμων φορτίων.

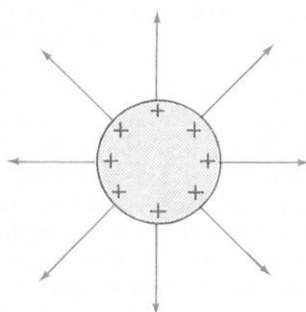
Τονίζεται καὶ ἐδῶ, δπως διευκρινίσθηκε γιά τίς μαγνητικές γραμμές, δτι οἱ ἡλεκτρικές δυναμικές γραμμές δέν εἶναι φυσικό μέγεθος ἀλλά χρησιμεύουν μόνο γιά νά ἀπεικονίσουν παραστατικά τήν ἔνταση \vec{E} τοῦ ἡλεκτρικοῦ πεδίου, που εἶναι τέτοιο μέγεθος.



Σχ. 12.3β.

12.4 Ἡλεκτρικό πεδίο στό ἑσωτερικό ἀγωγῶν — Ἡλεκτροστατική ἐπίδραση.

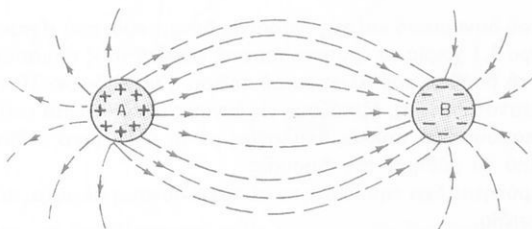
"Οταν φορτίσομε ἔνα ἀγώγιμο σῶμα, π.χ. μιά μεταλλική σφαίρα, μποροῦμε νά διαπιστώσομε πειραματικά, δτι τό φορτίο – ἀρνητικό η θετικό – συγκεντρώνεται στήν ἐπιφάνεια τοῦ σώματος. Αὐτό δφείλεται στό δτι τά δμώνυμα φορτία ἀπωθοῦνται καὶ ἀπομακρύνονται δσο εἶναι δυνατόν τό ἔνα ἀπό τό ἄλλο, μέ ἀποτέλεσμα νά φθάσουν στήν ἐπιφάνεια (σχ. 12.4a).



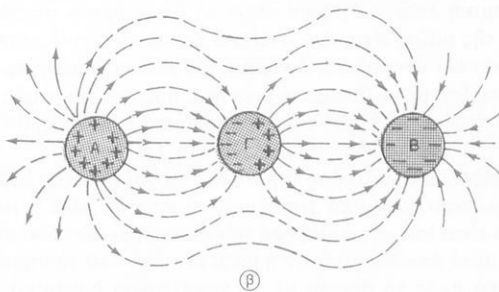
Σχ. 12.4a.

Στό έσωτερικό τοῦ σώματος δέν άναπτύσσεται ήλεκτρικό πεδίο, έφόσον πεδίο είναι δυνατό νά δημιουργηθεῖ μόνο μεταξύ άντιθέτων φορτίων και στήν έπιφάνεια τοῦ σώματος όπαρχουν άποκλειστικά ίδιων υπότιμα φορτία. Ή An ύπηρχε πεδίο στό έσωτερικό θά ξπρεπε νά τό παραστήσομε μέ δυναμικές γραμμές πού θά ξεκινούσαν π.χ. ἀπό θετικά φορτία και θά κατέληγαν πάλι σέ θετικά φορτία.

Σέ ενα ήλεκτροστατικό πεδίο, π.χ. στό πεδίο μεταξύ δύο άντιθέτων φορτισμάτων σφαιρών [σχ. 12.4β(α)] τοποθετούμε τώρα ένα ουδέτερο άγριγμο σώμα, π.χ. μία άφορτιστη μεταλλική σφαίρα [σχ. 12.4β(β)]. Παρατηρούμε δτι τά έλευθερα ήλεκτρόνια τῆς σφαίρας αὐτῆς έλκονται ἀπό τή θετικά φορτισμένη



(a)



(b)

Σχ. 12.4β.

σφαίρα και συγκεντρώνονται στήν έπιφάνειά της, πού βρίσκεται πρός τήν πλευρά τῆς θετικῆς σφαίρας. Αὐτό έχει σάν ἀποτέλεσμα, ή ύπόλοιπη έπιφάνεια τῆς μεταλλικῆς σφαίρας, πού βρίσκεται πρός τήν πλευρά τῆς άρνητικῆς σφαίρας νά φορτισθεῖ θετικά. Έτσι ή μεταλλική σφαίρα παρουσιάζεται τώρα φορτισμένη μέ ίσα και άντιθέτα ήλεκτρικά φορτία. Τό φαινόμενο αὐτό δονομάζεται **ηλεκτροστατική έπιδραση**.

Καὶ στὴν περίπτωση αὐτή τὰ φορτία κατανέμονται ἀποκλειστικά στὴν ἐπιφάνεια τῆς σφαίρας. Ἡλεκτρικό πεδίο ἀναπτύσσεται μόνο στὸ ἔξωτερικό τῆς σφαίρας μεταξύ τῶν φορτίων τῆς καὶ τῶν ἀντιθέτων φορτίων τῶν δύο σφαιρῶν, διπος δείχνουν οἱ δυναμικές γραμμές στὸ σχῆμα 12.3β(β). Στό ἐσωτερικό τῆς σφαίρας δὲν ὅμιλουργεῖται πεδίο.

Τὸ φαινόμενο αὐτὸν χρησιμοποιοῦμε γιά νά προστατεύσουμε ὅργανα ἡ συσκευές ἀπό τὴν ἐπίδραση ἔξωτερικῶν ἡλεκτρικῶν πεδίων. Τό ὅργανο κλπ., περικλείομε μὲν ἔνα μεταλλικό πλέγμα ἡ ἔλασμα, πού ἔχασφαλίζει **ἡλεκτρικὴ θωράκιση**.

12.5 Δυναμικό καὶ διαφορά δυναμικοῦ.

Οἱ ἔννοιες τοῦ δυναμικοῦ καὶ τῆς διαφορᾶς δυναμικοῦ, πού εἶχαμε γνωρίσει στὴν παράγραφο 3.1 χωρίς νά ἐρμηνεύσουμε τὴ φυσική τους σημασία, γίνονται ἀντιληπτές μὲ τή βοήθεια τοῦ ἡλεκτρικοῦ πεδίου. Γιά νά διευκολύνομε περισσότερο τὴν κατανόησή τους, ἔχετάξομε τίς ἔννοιες αὐτές πρῶτα στὸ **πεδίο βαρύτητας**, πού παρουσιάζει πολλές ἀναλογίες μὲ τό ἡλεκτρικό πεδίο καὶ εἶναι ἥδη γνωστό ἀπό τό μάθημα τῆς Φυσικῆς.

Τό πεδίο βαρύτητας ἔχει τὴν ἴδιότητα νά ἀσκεῖ δύναμη σέ μάζα, πού βρίσκεται μέσα στό πεδίο.

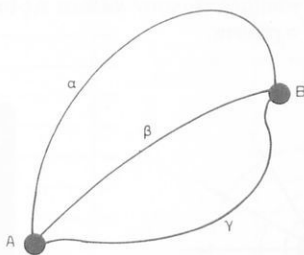
Ξέρομε δτὶ μάζα σέ ὄρισμένο σημεῖο τοῦ πεδίου βαρύτητας ἔχει ὄρισμένη **δυναμική ἐνέργεια**. Ἡ ἐνέργεια αὐτή εἶναι ἵση μὲ τό ἔργο πού ἀπαιτήθηκε γιά νά μεταφερθεῖ ἡ μάζα ἀντίθετα στὴ δύναμη βαρύτητας ἀπό ἔνα σημεῖο ἀναφορᾶς μὲ δυναμική ἐνέργεια μηδέν μέχρι τό θεωρούμενο σημεῖο. Τό πηλίκο τοῦ ἔργου διά τῆς μάζας εἶναι ἕνα σταθερό χαρακτηριστικό μέγεθος κάθε σημείου τοῦ πεδίου καὶ δονομάζεται **δυναμικό τοῦ πεδίου βαρύτητας**. Ἡ ἀριθμητική του τιμή εἶναι ἵση μὲ τή δυναμική ἐνέργεια, πού ἔχει ἡ μονάδα τῆς μάζας σέ ἔνα σημεῖο τοῦ πεδίου. Τό δυναμικό εἶναι μονόμετρο μέγεθος, ὁρίζεται δηλαδή μόνο μὲ τό μέτρο του καὶ δέν ἔχει διεύθυνση καὶ φορά.

Γιά νά μεταφερθεῖ μάζα ἀπό ἔνα σημεῖο μὲ χαμηλότερο δυναμικό σέ ἔνα σημεῖο μὲ ὑψηλότερο δυναμικό χρειάζεται νά καταναλωθεῖ ἔργο. Τό καταναλωνόμενο ἔργο εἶναι ἵσο μὲ τή **διαφορά τῶν δυναμικῶν** τῶν δύο σημείων ἐπί τή μάζα. Τό ἔργο αὐτὸν ἀποδίδεται δταν ἡ μάζα κινεῖται ἀπό τό σημεῖο μὲ τό ὑψηλότερο δυναμικό πρός τό σημεῖο μὲ τό χαμηλότερο δυναμικό.

Ἐπειδή τό ἔργο πού προσφέρεται σέ μιά μάζα ἡ ἀποδίδεται ἀπό αὐτήν κατά τή μετακίνησή της μεταξύ δύο σημείων ἔξαρτάται μόνο ἀπό τό δυναμικό τῶν δύο σημείων, δέν ἔχει σημασία ἡ **διαδρομή** πού θά ἀκολουθήσει ἡ μάζα γιά νά φθάσει ἀπό τό ἔνα σημεῖο στό ἄλλο. Στό σχῆμα 12.5a π.χ. τό ἰδιο ἔργο καταναλώνεται γιά νά φθάσει ἡ μάζα ἀπό τό A στό B ἀκολουθώντας τή διαδρομή α ἡ β ἡ γ.

Ἄν ἡ μάζα συμπληρώσει μιά **κλειστή διαδρομή** ξεκινώντας π.χ. ἀπό τό A (σχ. 12.5a), φθάνοντας στό B καὶ ἐπιστρέφοντας στό A, τό ὄλικό ἔργο πού θά

καταναλωθεῖ εἶναι ἵσο μέ μηδέν. Γιατί δσο ἔργο προσφέρεται γιά νά φθάσει ή μάζα ἀπό τό A στό B, τόσο ἔργο ἀποδίδεται κατά τήν ἐπιστροφή της ἀπό τό B στό A.



Σχ. 12.5α.

Ανάλογα, σέ ἓνα **ηλεκτρικό πεδίο** κάθε σημεῖο ἔχει όρισμένο **δυναμικό**. Τό δυναμικό φ_a ἐνός σημείου a εἶναι ἵσο μέ τό πηλίκο τοῦ ἔργου $A_{o,a}$ πού χρειάζεται νά καταναλωθεῖ γιά νά μεταφερθεῖ **θετικό φορτίο Q** ἀπό ἓνα σημεῖο a , διά τοῦ φορτίου.

$$\varphi_a = \frac{A_{o,a}}{Q} \quad (1)$$

Η διαφορά δυναμικοῦ $\varphi_a - \varphi_\beta$ μεταξύ δύο σημείων a, β εἶναι ἵση μέ τό πηλίκο τοῦ ἔργου $A_{a,\beta}$ πού καταναλώνεται γιά νά μεταφερθεῖ θετικό φορτίο Q ἀπό τό σημεῖο β μέ τό χαμηλότερο δυναμικό στό σημεῖο a μέ τό ύψηλότερο δυναμικό, διά τοῦ φορτίου.

$$\varphi_a - \varphi_\beta = \frac{A_{a,\beta}}{Q} = \frac{A_{o,a}}{Q} - \frac{A_{o,\beta}}{Q} \quad (2)$$

Ἐπειδή ἡ τάση U μεταξύ δύο σημείων εἶναι ἵση ἐξ όρισμοῦ μέ τή διαφορά δυναμικοῦ τῶν δύο σημείων, παίρνομε ἀπό τήν (2) τή σχέση:

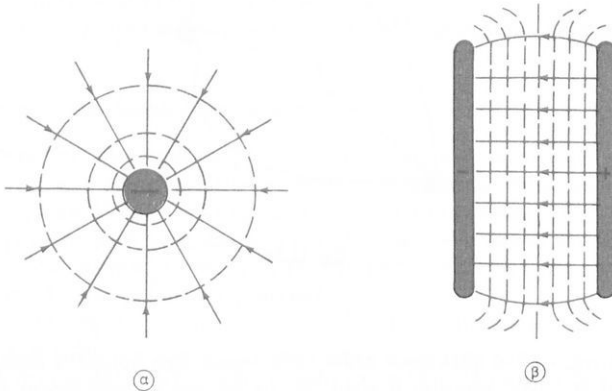
$$U_{a,\beta} = \varphi_a - \varphi_\beta = \frac{A_{a,\beta}}{Q}$$

(3)

*Όταν θετικό φορτίο μετακινεῖται ἀπό ύψηλότερο δυναμικό σέ χαμηλότερο δυναμικό **ἀποδίδεται ἔργο** ἵσο μέ τή διαφορά τῶν δυναμικῶν τῶν δύο σημείων ἐπί τό φορτίο.

*Όλα τά σημεῖα ἐνός πεδίου, πού ἔχουν τό ἴδιο δυναμικό, σχηματίζουν ἐπι-

φάνεις πού δνομάζονται **ισοδυναμικές έπιφανειες**. Οι ισοδυναμικές έπιφανειες π.χ. τοῦ πεδίου γύρω ἀπό μία φορτισμένη σφαίρα εἶναι οι έπιφανειες δμοκέντρων σφαιρών [σχ. 12.5β(α)]. Οι ισοδυναμικές έπιφανειες τοῦ πεδίου μεταξύ δύο παραλλήλων πλακῶν εἶναι έπιφανειες παραλληλες στίς πλάκες [σχ. 12.5β(β)]. Οι δυναμικές γραμμές τέμνουν **κάθετα** τίς ισοδυναμικές έπιφανειες, δπως φαίνεται στά δύο σχήματα.



Σχ. 12.5β.

12.6 Σχέση μεταξύ τάσεως και έντασεως ήλεκτρικού πεδίου.

Άς φαντασθοῦμε δτι θετικό φορτίο Q κινεῖται μέσα σέ δμογενές ήλεκτρικό πεδίο έντασεως E ἀπό τό ύψηλότερο δυναμικό α πρός τό χαμηλότερο δυναμικό β παράλληλα στίς ήλεκτρικές γραμμές (σχ. 12.6α). Τό έργο πού ἀποδίδεται κατά τή μετακίνηση τοῦ φορτίου ἀπό τό σημεῖο α στό β εἶναι:

$$A_{\alpha,\beta} = F \cdot l \quad (1)$$

δπον F ή δύναμη πού ἀσκεῖται ἀπό τό πεδίο στό φορτίο Q και l ή ἀπόσταση τῶν σημείων α, β .

Έπειδή, σύμφωνα μέ τούς τύπους (2) τῆς 12.2 και (3) τῆς 12.5:

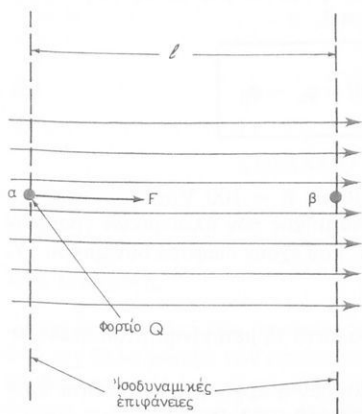
$$F = E \cdot Q \quad (2)$$

$$A_{\alpha,\beta} = U_{\alpha,\beta} \cdot Q \quad (3)$$

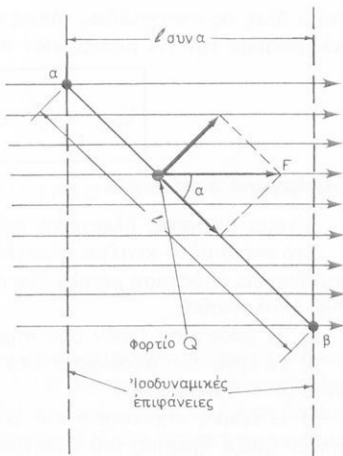
παίρνομε ἀντικαθιστώντας τίς (2) και (3) στήν (1):

$$U_{\alpha,\beta} = E \cdot l \quad (4)$$

Έστω τώρα δτι τό φορτίο Q κινεῖται κατά μῆκος μιᾶς διαδρομῆς, πού σχη-



Σχ. 12.6α.



Σχ. 12.6β.

ματίζει γωνία α με τις ήλεκτρικές γραμμές (σχ. 12.6β).

Η δύναμη F πού άσκεται στό φορτίο Q άπό τό πεδίο άναλύεται σε μιά δύναμη στή διεύθυνση τῆς κινήσεως $\alpha - \beta$, ή όποια παράγει έργο και σέ μια δύναμη κάθετη στή διεύθυνση αυτή, πού δέν παράγει έργο. Έτσι τό διλικό έργο, πού άποδιδεται κατά τή μετακίνηση του φορτίου άπό τό α στό β είναι:

$$A_{\alpha,\beta} = F \cdot \text{συνα} \cdot l \quad (5)$$

και ή τάση μεταξύ τῶν α, β :

$$U_{\alpha,\beta} = E \cdot l \cdot \text{συνα} \quad (6)$$

Από τις (4) και (6) συνάγομε διτι:

Η τάση ή διαφορά δυναμικού μεταξύ δύο σημείων α, β δύμογενοῦς πεδίου είναι ληση με τό μέτρο τῆς έντασεως του ήλεκτρικού πεδίου ἐπί τήν άπόσταση τῶν ίσοδυναμικῶν έπιφανειῶν τῶν δύο σημείων.

Όταν δέν έχομε δύμογενές ήλεκτροστατικό πεδίο ή ένταση E μεταβάλλεται άπό σημείο σέ σημεῖο. Έτσι μόνο γιά στοιχειώδες τμῆμα dl τῆς διαδρομῆς μπορούμε νά έφαρμόσουμε τόν τύπο (6) γιά τό όποιο παίρνομε στοιχειώδη τάση dU .

$$dU = E \cdot \text{συνα} \cdot dl \quad (7)$$

Η τάση μεταξύ τῶν σημείων α, β βρίσκεται στήν περίπτωση αυτή, ἀν άθροι-

σομε δλες τις στοιχειώδεις τάσεις κατά μῆκος τῆς διαδρομῆς, δηλαδή ἂν όλο-
κληρώσομε τήν (7) μεταξύ τῶν σημείων α,β.

$$U_{\alpha,\beta} = \int_{\alpha}^{\beta} E \sin \alpha \, dl = \varphi_{\alpha} - \varphi_{\beta} \quad (8)$$

Αριθμητικό παράδειγμα.

Δίνεται ομογενές ήλεκτρικό πεδίο έντασεως $E = 100 \text{ V/m}$.

Στό πεδίο αυτό κινεῖται ήλεκτρόνιο κατά μῆκος τῶν ήλεκτρικῶν γραμμῶν καὶ διανύει ἀπόσταση μεταξύ δύο σημείων, πού ἔχουν διαφορά δυναμικοῦ $1V$. Νά ύπολογισθεῖ:

α) Ἡ ἀπόσταση l τῶν δύο σημείων.

β) Τό ἔργο πού ἀποδίδεται ἀπό τό πεδίο κατά τή μετακίνηση τοῦ ήλεκτρονίου ($e = 1,6 \cdot 10^{-19} \text{ C}$).

γ) Ἡ τελική ταχύτητα υ τοῦ ήλεκτρονίου, ἂν ἡ ἀρχική του ταχύτητα ἦταν μηδέν (μάζα ἡρεμίας τοῦ ήλεκτρονίου: $m_0 = 9,1083 \cdot 10^{-31} \text{ kg}$).

Αύση.

α) Ἀπό τήν ἐξίσωση (4) παίρνομε:

$$l = \frac{U}{E} = \frac{1}{100} = 0,01 \text{ m} \quad l = 1 \text{ cm}$$

β) Ἡ ἐξίσωση (3) δίνει:

$$A = U \cdot Q = U \cdot e = 1 \cdot 1,6 \cdot 10^{-19} \text{ Ws} \quad A = 1,6 \cdot 10^{-19} \text{ J}$$

γ) Ἡ κινητική ἐνέργεια τοῦ ήλεκτρονίου στό τέρμα τῆς διαδρομῆς εἶναι:

$$\begin{aligned} A &= \frac{m_0 v^2}{2} \\ \text{Ἄρα:} \quad v &= \sqrt{\frac{2 \cdot A}{m_0}} = \sqrt{\frac{2 \cdot 1,6 \cdot 10^{-19}}{9,1083 \cdot 10^{-31}}} = 5,93 \cdot 10^5 \text{ m/s} \\ &\quad U = 593 \text{ km/s} \end{aligned}$$

(Σέ ταχύτητες $v > 2 \cdot 10^8 \text{ m/s}$ περίπου, ἡ μάζα ἐξαρτᾶται ἀπό τήν ταχύτητα καὶ ύπολογίζεται ἀπό τόν τύπο:

$$m = m_0 \frac{1}{\sqrt{1 - \frac{v^2}{c^2}}}$$

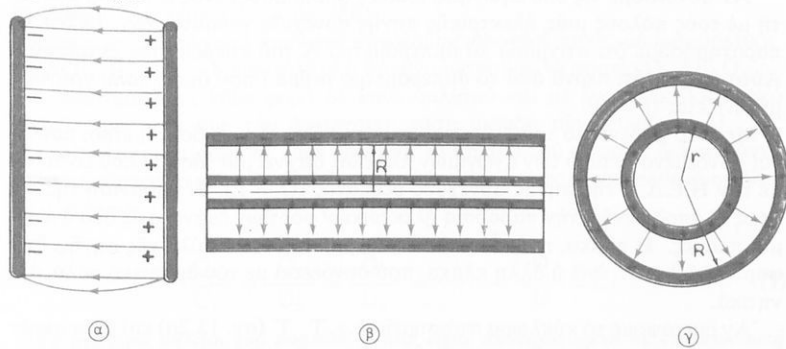
δπου $c = 3 \cdot 10^8 \text{ m/s}$ ἡ ταχύτητα διαδόσεως τοῦ φωτός).

ΚΕΦΑΛΑΙΟ ΔΕΚΑΤΟ ΤΡΙΤΟ

ΠΥΚΝΩΤΕΣ

13.1 Εισαγωγή.

Μιά διάταξη άπό δύο άγωγούς τοποθετημένους σέ μικρή άποσταση ό ξνας άπό τόν άλλο μεταξύ τῶν δύο παρεμβάλλεται άέρας ή άλλο μονωτικό ύλικό (διηλεκτρικό) όνομάζεται **πυκνωτής**. Οι άγωγοί πού μπορεῖ νά έχουν όποιαδήποτε μορφή, όνομάζονται **όπλισμοί** τοῦ πυκνωτῆ. Στήν τεχνική συναντᾶμε συνήθως έπιπεδούς, κυλινδρικούς και σφαιρικούς πυκνωτές. Στούς έπιπεδούς πυκνωτές οι όπλισμοί είναι έπιπεδες και παράλληλες πλάκες [σχ. 13.1a(α)]. Στούς κυλινδρικούς πυκνωτές οι όπλισμοί είναι δύο δύο όμοιαξονικοί κύλινδροι [σχ. 13.1a(β)], ένω στούς σφαιρικούς πυκνωτές είναι δύο δύο διμόκεντρες σφαίρες [σχ. 13.1a(γ)].



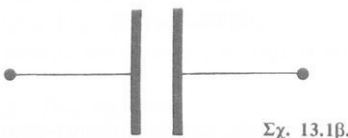
Σχ. 13.1a.

Ένας πυκνωτής μπορεῖ νά φορτισθεῖ, δηλαδή νά προσλάβει ήλεκτρικό φορτίο, ἄν συνδέσομε τούς όπλισμούς του μέ τούς πόλους μιᾶς πηγῆς συνεχοῦς ρεύματος. Ό πυκνωτής διατηρεῖ τό φορτίο του ή παραμένει **φορτισμένος**, δπως λέμε, και μετά τήν άποσύνδεσή του άπό τήν πηγή, δπως θά δοῦμε στή συνέχεια.

Μεταξύ τῶν όπλισμῶν ένός φορτισμένου πυκνωτῆ σχηματίζεται **ήλεκτρικό**

πεδίο. Στό πεδίο αυτό άποταμιευται, δπως γνωρίσαμε στήν παράγραφο 12.1 ένέργεια, πού μπορει νά άποδοθει ἄν συνδεθοῦν ἀγώγιμα μεταξύ τους οἱ ὅπλισμοι τοῦ πυκνωτῆ. Στήν περίπτωση αυτή μειώνεται ραγδαῖα τό φορτίο τοῦ πυκνωτῆ, μέχρις δτου μηδενισθει, δηλαδή δ πυκνωτής ἐκφορτίζεται ἐνῷ τό πεδίο ἔξαφανίζεται.

Τούς πυκνωτές παριστάνομε στά ήλεκτροτεχνικά σχέδια μέ τό σύμβολο τοῦ σχήματος 13.1β.



Σχ. 13.1β.

13.2 Χωρητικότητα πυκνωτῆ — Μονάδες χωρητικότητας.

a) Χωρητικότητα.

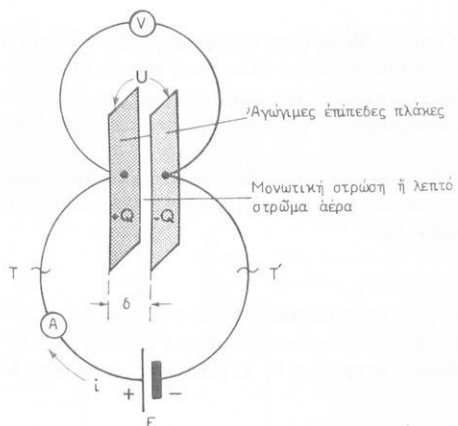
Τίς ιδιότητες ἐνός πυκνωτῆ μποροῦμε νά μελετήσομε εύκολα μέ τή βοήθεια ἐνός ἐπίπεδου πυκνωτῆ, πού είναι δ πιο ἀπλός και κοινός πυκνωτῆς.

Ἄν συνδέσομε τίς δύο ἀγώγιμες πλάκες (ὅπλισμούς) ἐνός ἐπίπεδου πυκνωτῆ μέ τούς πόλους μιᾶς ήλεκτρικῆς πηγῆς συνεχοῦς ρεύματος (σχ. 13.2α), θά παρατηρήσομε δτι στιγμαῖα τό ἀμπερόμετρο Α τοῦ κυκλώματος ἐκτρέπεται. Αυτό δείχνει δτι περνᾶ ἀπό τό ἀμπερόμετρο ρεῦμα i πού δμως πολύ γρήγορα μηδενίζεται ($i = 0$).

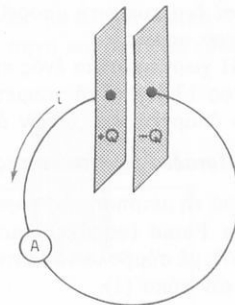
Μετά τό μηδενισμό τοῦ ρεύματος παρατηροῦμε, δτι τό βολτόμετρο, πού είναι συνδεμένο μεταξύ τῶν ἀγωγίμων πλακῶν, δείχνει μιά τάση U πού είναι ίση μέ τήν H.E.Δ E τῆς πηγῆς συνεχοῦς ρεύματος ($U = E$). Ή ἐμφάνιση τῆς τάσεως U ἀποδεικνύει τήν παρουσία ήλεκτρικῶν φορτίων ἐπάνω στίς δύο ἀγώγιμες πλάκες. Ή πλάκα, πού είναι συνδεμένη μέ τό θετικό πόλο τῆς πηγῆς, ἔχει φορτισθεῖ θετικά, ἐνῷ ή ἀλλη πλάκα, πού συνδέεται μέ τόν ἀρνητικό πόλο, ἀρνητικά.

Ἄν διακόψομε τό κύκλωμα στά σημεῖα π.χ. T - T' (σχ. 13.2α) και ἀπομακρύνομε τόν πυκνωτή ἀπό τήν πηγή E, θά παρατηρήσομε δτι δ πυκνωτής παραμένει φορτισμένος. Τά ήλεκτρικά φορτία πού βρίσκονται ἐπάνω στίς ἀγώγιμες πλάκες ἔχουν παγιδευθεῖ, ἀφοῦ δέν ὑπάρχει δυνατότητα διαφυγῆς τους.

Ἄν τώρα συνδέσομε μέ ἓνα ἀγώγιμο σύρμα τούς δύο φορτισμένους ὅπλισμούς τοῦ πυκνωτῆ (σχ. 13.2β), θά παρατηρήσομε δτι τό ἀμπερόμετρο τοῦ κυκλώματος ἐκτρέπεται κατά τήν ἀντίθετη φορά ἀπό τή φορά φορτίσεως και δείχνει δτι περνᾶ ὀρισμένο ρεῦμα. Τό ρεῦμα αυτό διαρκεῖ ἐλάχιστα, δηλαδή δσο χρειάζεται νά ἔχεισωθοῦν τά φορτία στίς δύο πλάκες, ὅπότε δ πυκνωτής ἔχει ἐκφορτισθεῖ.



Σχ. 13.2α.



Σχ. 13.2β.

Τήν ποσοτική σχέση μεταξύ τῶν ἡλεκτρικῶν φορτίων Q πού συσσωρεύονται στούς δύλισμούς ἐνός πυκνωτῆ καὶ τῆς τάσεως U μεταξύ τῶν δύλισμῶν προσδιορίζουμε πειραματικά ως ἔξῆς:

Στούς δύλισμούς τοῦ πυκνωτῆ συνδέομε διαδοχικά πηγές μέ διαφορετική ΗΕΔ, E_1, E_2, E_3, \dots . Μέ κατάλληλο δργανο μετροῦμε τό φορτίο Q_1, Q_2, Q_3, \dots πού ἀποταμιεύεται κάθε φορά σέ κάθε δύλισμό καὶ μέ ἓνα ἡλεκτροστατικό βολτόμετρο μετροῦμε τήν ἀντίστοιχη τάση μεταξύ τῶν δύλισμῶν U_1, U_2, U_3, \dots . Ἀν σχηματίσομε σέ κάθε μέτρηση τό πηλίκο τοῦ φορτίου διά τῆς ἀντίστοιχης τάσεως, διαπιστώνομε, δι τό πηλίκο αὐτό παραμένει σταθερό σέ δλες τίς μετρήσεις.

$$\frac{Q_1}{U_1} = \frac{Q_2}{U_2} = \frac{Q_3}{U_3} = \dots = \frac{Q}{U} = C \quad (1)$$

Τό σταθερό πηλίκο τοῦ φορτίου C πού εἶναι ἀποταμιευμένο σέ ἓνα πυκνωτῆ διά τῆς τάσεως U πού ἐπικρατεῖ στούς δύλισμούς του, ὁνομάζεται χωρητικότητα τοῦ πυκνωτῆ καὶ συμβολίζεται μέ τό γράμμα C .

Η (1) γράφεται ἐπίσης:

$$Q = C \cdot U \quad (2)$$

καὶ

$$U = \frac{Q}{C} \quad (3)$$

Από την (2) παρατηροῦμε διτί ύπο σταθερή τάση U, δοσ μεγαλύτερη είναι ή χωρητικότητα C ένός πυκνωτή, τόσο μεγαλύτερο ήλεκτρικό φορτίο Q άποταμιεύεται στους όπλισμούς του. Ή χωρητικότητα λοιπόν έκφράζει τό κατά πόσο σέ ένα πυκνωτή μπορεῖ νά άποταμιευθεί ή νά «χωρέσει» περισσότερο ή λιγότερο φορτίο.

Ή χωρητικότητα ένός πυκνωτή έξαρταται, δπως θά γνωρίσουμε στήν παράγραφο 13.4, άπό τά γεωμετρικά στοιχεῖα και άπό τό μονωτικό (διηλεκτρικό), πού υπάρχει μεταξύ τῶν όπλισμῶν του.

β) Μονάδες χωρητικότητας.

Γιά τή μέτρηση τής χωρητικότητας χρησιμοποιεῖται στό σύστημα S.I. ή μονάδα Farad (φαράντ), τιμητικά γιά τόν Αγγλο έρευνητή Faraday (1791 - 1867), μέ σύμβολο τό λατινικό κεφαλαῖο γράμμα F. Ή μονάδα F προκύπτει άπό τόν τύπο (1):

$$[C] = \frac{[Q]}{[U]} = \frac{C}{V} = \frac{A \cdot s}{V} = \frac{s}{\Omega} = F \text{ (Farad)}$$

Ένας πυκνωτής έχει χωρητικότητα 1 F, δταν ή τάση μεταξύ τῶν όπλισμῶν του είναι 1 V και τό φορτίο έπάνω στους όπλισμούς του 1 C (1 A·s).

Ή μονάδα Farad [F] είναι τεράστια, γιατί ή μονάδα Coulomb είναι πολύ μεγάλη, δπως άποδείξαμε στήν παράγραφο 1.2. Στήν πράξη δέν είναι δυνατό νά κατασκευασθοῦν πυκνωτές μέ τόσο μεγάλη χωρητικότητα, γιατί είναι άδύνατο νά συγκρατήσουμε σέ ήρεμία έπάνω σέ σώματα φορτία τής τάξεως τού ένός C. (Άντιθετα είναι εύκολο νά μεταφέρομε άπό σημείο σέ σημείο μεγάλα φορτία. Άπό τήν τομή ένός άγωνού π.χ. πού διαρρέεται άπό ρεῦμα 1 A ξέρομε δτι περνά σέ 1 s φορτίο: $Q = I \cdot t = 1 C$).

Στίς πρακτικές έφαρμογές χρησιμοποιοῦμε γιά τή μέτρηση τής χωρητικότητας τά έξης ύποπολλαπλάσια τού Farad.

- Τό μικροφαράντ (μF) = 10^{-6} F
- Τό νανοφαράντ (nF) = 10^{-9} μF = 10^{-9} F
- Τό πικοφαράντ (pF) = 10^{-12} μF = 10^{-12} nF = 10^{-12} F.

13.3 Ή σημασία τής διηλεκτρικής σταθερᾶς – Διηλεκτρική πόλωση.

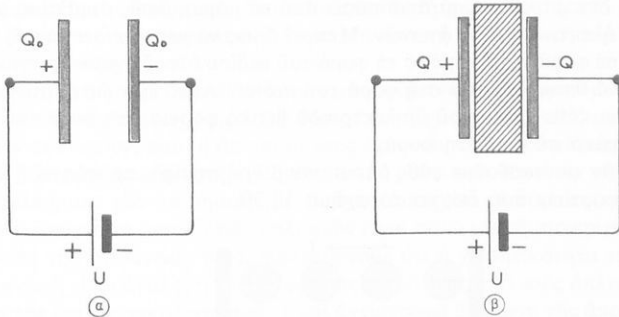
Γιά νά μελετήσουμε τήν έπιδραση, πού έχει τό διηλεκτρικό μεταξύ τῶν όπλισμῶν ένός πυκνωτή στή χωρητικότητά του, έκτελοῦμε τό έξης πείραμα:

Παίρνομε ένα έπίπεδο πυκνωτή μέ άερα μεταξύ τῶν πλακῶν του και τόν συνδέομε σέ πηγή μέ πολική τάση U [σχ. 13.3a(a)].

Μετά τή φόρτισή του άποσυνδέομε τήν πηγή και μετροῦμε τό φορτίο του Q_0 και τήν τάση U μεταξύ τῶν όπλισμῶν. Σύμφωνα μέ τή σχέση (1) τής παραγράφου 13.2 ή χωρητικότητα τού πυκνωτή είναι:

$$C_0 = \frac{Q_0}{U} \quad (1)$$

Έκφορτίζομε τώρα τόν πυκνωτή και τόν συνδέομε πάλι στήν ίδια πηγή, άλλα μεταξύ τῶν πλακῶν του τοποθετοῦμε κάποιο μονωτικό ύλικό [σχ. 13.3a(β)]. Μετά τή φόρτισή του άποσυνδέομε τήν πηγή και μετρᾶμε πάλι τό φορτίο και τήν τάση τοῦ πυκνωτῆ.



Σχ. 13.3a.

Παρατηροῦμε διτή ή τάση εἶναι ίδια, δημος προηγουμένως, γιατί χρησιμοποιήσαμε τήν ίδια πηγή και δημος ξέρομε δι πυκνωτής φορτίζεται μέχρις δτου ή τάσης του έξισθει μέτην τάση τής πηγῆς. Τό φορτίο δημος έχει τώρα μιά μεγαλύτερη τιμή Q . Έτσι η χωρητικότητα τοῦ πυκνωτῆ αυξήθηκε μέτην παρουσία τοῦ μονωτικοῦ και έγινε:

$$C = \frac{Q}{U} \quad (2)$$

Άν έπαναλάβομε τό πείραμα μέτηλλους πυκνωτές και άλλες πηγές άλλα μέτο ίδιο πάντα μονωτικό ύλικό, διαπιστώνομε διτή τό πηλίκο:

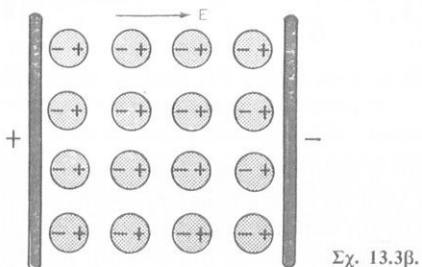
$$\frac{C}{C_0} = \frac{Q}{Q_0} = \varepsilon_r \quad (3)$$

παραμένει σταθερό. Τό πηλίκο αυτό δίνει τή **σχετική διηλεκτρική σταθερά** τοῦ ύλικοῦ, πού γνωρίσαμε ήδη στήν παράγραφο 1.2 κατά τήν περιγραφή τοῦ νόμου τοῦ Coulomb. Έτσι η σχετική διηλεκτρική σταθερά ε_r ένός ύλικοῦ δρίζει πόσες φορές αυξάνεται τό φορτίο ή η χωρητικότητα ένός πυκνωτῆ μέτη διηλεκτρικό τό ύλικό αυτό, συγκριτικά μέτο φορτίο και τή χωρητικότητα τοῦ πυκνωτῆ μέτη διηλεκτρικό τόν άέρα. Ή ε_r εἶναι άδιάστατο μέγεθος, δημος φαίνεται άπό τήν (3).

Ή αυξηση τοῦ φορτίου καὶ ἐπομένως τῆς χωρητικότητας τοῦ πυκνωτῆ διείλεται σὲ ἓνα φαινόμενο πού ἐμφανίζεται στὸ διηλεκτρικό καὶ δνομάζεται **διηλεκτρική πόλωση**.

Ἐνα μονωτικό ύλικό δέν διαθέτει οὐσιαστικά ἐλεύθερα ήλεκτρόνια, δπως ἔρομε. Τά ήλεκτρόνιά του εἶναι δεσμευμένα στά μόρια μέ iσχυρές δυνάμεις πού ἀσκοῦν σε αὐτά ἀντίστοιχα θετικά φορτία. Ἐτσι τό ήλεκτρικό πεδίο, πού δημιουργεῖται μεταξύ τῶν διπλισμῶν τοῦ πυκνωτῆ καὶ ἀσκεῖ δύναμη στά ήλεκτρόνια, δέν μπορεῖ νά τά ἀποσπάσει ἀπό τά μόρια, δπως συμβαίνει μέ τά ἐλεύθερα ήλεκτρόνια τῶν ἀγωγῶν. Μπορεῖ δμως νά **μετατοπίσει** κάπως τά ήλεκτρόνια σε φορά ἀντίθετη ἀπό τή φορά τοῦ πεδίου (ἀφοῦ ἔχουν ἀρνητικό φορτίο) καὶ τά θετικά φορτία στή φορά τοῦ πεδίου. Αὐτό ἔχει ώς ἀποτέλεσμα νά ἀποκτήσει κάθε μόριο τοῦ διηλεκτρικοῦ θετικό φορτίο στή φορά τοῦ πεδίου καὶ ἀρνητικό σε ἀντίθετη φορά.

Ἐτσι, ἄν φαντασθοῦμε κάθε μόριο σάν μικρή σφαίρα, προκύπτει ἡ κατανομή τῶν φορτίων πού δείχνει τό σχῆμα 13.3β.



Σχ. 13.3β.

Ἡ μετατόπιση τῶν φορτίων εἶναι ἀνάλογη τῆς ἐντάσεως τοῦ πεδίου καὶ σταματᾶ δταν ἐξισορροπηθοῦν οἱ ἀντίθετες δυνάμεις, πού ἀσκοῦνται στά φορτία. Ὄταν διακοπεῖ τό ήλεκτρικό πεδίο, τά φορτία ἐπιστρέφουν στήν ἀρχική τους θέση. Ἀρα ἡ μετατόπιση εἶναι ἐλαστική.

Ἡ ἐλαστική μετατόπιση φορτίων μέσα σε διηλεκτρικό κάτω ἀπό τήν ἐπιδρασην ἡλεκτρικοῦ πεδίου δνομάζεται διηλεκτρική πόλωση.

Ὀπως φαίνεται στό σχῆμα 13.3β, στό ἐσωτερικό τοῦ μονωτικοῦ ἔξουδετερώνονται τά ἀντίθετα φορτία γειτονικῶν μορίων. Ἀντίθετα μποροῦν νά δράσουν πρός τά ἔξω τά φορτία, πού βρίσκονται στίς ἔξωτερικές ἐπιφάνειες τοῦ μονωτικοῦ ἀπέναντι ἀπό τοὺς ὅπλισμούς. Ἀπέναντι ἀπό τό θετικό ήλεκτρόδιο ἐμφανίζεται ἀρνητικό φορτίο καὶ ἀντίστροφα. Τά φορτία τοῦ διηλεκτρικοῦ ἔξουδετερώνοντις δράσεις ἵσου μέρους φορτίων τῶν διπλισμῶν. Ἐτσι οἱ ὅπλισμοί μποροῦν νά προσλάβουν ἐπί πλέον φορτίο, δσο εἶναι τό φορτίο πού ἔξουδετερώθηκε σε κάθε ὅπλισμό ἀπό τά φορτία πολώσεως. Πραγματικά, ἄν σε ἓνα ἡδη φορτισμένο πυκνωτή ἀέρα, πού εἶναι συνδεμένος σε

ηλεκτρική πηγή, είσάγομε κάποιο μονωτικό, θά παρατηρήσομε διτι στιγμαία ρέει ρεύμα στήν κατεύθυνση φορτίσεως του πυκνωτή. Αυτό άποδεικνύει διτι πυκνωτής φορτίζεται έπι πλέον άπό τό φορτίο πού ηδη είχε.

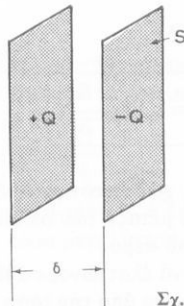
13.4 'Ο έπιπεδος πυκνωτής.

a) Η χωρητικότητα τοῦ έπιπεδον πυκνωτῆ.

Πειραματικά καί θεωρητικά άποδεικνύεται διτι ή χωρητικότητα C ένός πυκνωτῆς έξαρται άπό τίς διαστάσεις του καί άπό τή διηλεκτρική σταθερά τοῦ μονωτικοῦ μεταξύ τῶν διπλισμῶν του.

Τή σχέση μεταξύ τῶν μεγεθῶν αὐτῶν μποροῦμε νά προσδιορίσομε πειραματικά στόν **έπιπεδο πυκνωτῆ** ώς έξης: Μετράμε τή χωρητικότητα C μᾶς σειρᾶς έπιπεδών πυκνωτῶν, πού οι διπλισμοί τους έχουν διαφορετικό μέγεθος, διαφορετική άπόσταση μεταξύ τους καί διαφορετικό μονωτικό. Κατόπιν συγκρίνομε τά άποτελέσματα τῶν μετρήσεων μέ τίς διαστάσεις καί τή διηλεκτρική σταθερά. Άν ή άπόσταση μεταξύ τῶν διπλισμῶν είναι πολύ μικρή συγκριτικά μέ τίς διαστάσεις τῆς έπιφανειάς τους, διαπιστώνομε διτι ή χωρητικότητα τοῦ έπιπεδον πυκνωτῆ είναι άνάλογη τῆς έπιφανειάς S τοῦ ένός άπό τούς διπλισμούς, άνάλογη τῆς διηλεκτρικῆς σταθερᾶς ϵ καί άντιστροφα άνάλογη τῆς άποστάσεως δ μεταξύ τῶν δύο διπλισμῶν (σχ. 13.4a):

$$C = \epsilon \cdot \frac{S}{\delta} \quad (1)$$



Σχ. 13.4a.

Τή διηλεκτρική σταθερά ϵ (δονομάζεται έπισης άπόλυτη διηλεκτρική σταθερά) έχομε ηδη γνωρίσει στήν παράγραφο 1.2.

Άν μεταξύ τῶν πλακῶν ύπάρχει κενό η άέρας ή (1) γράφεται:

$$C_0 = \epsilon_0 \frac{S}{\delta} \quad (2)$$

δπου ϵ_0 είναι ή διηλεκτρική σταθερά τοῦ κενοῦ καί μέ μεγάλη προσέγγιση τοῦ ἀέρα.

Από τούς τύπους (1) καὶ (2) ύπολογίζονται οἱ σταθερές ε καὶ ϵ_0 ὅστερα ἀπὸ μέτρηση τῆς χωρητικότητας ἐνός ἐπίπεδου πυκνωτῆ μέ γνωστές διαστάσεις.

Μέ μετρήσεις ἀκριβείας ἔχει βρεθεῖ διτὶ ἡ ϵ_0 ἔχει τὴν τιμή:

$$\epsilon_0 = \frac{1}{36 \cdot \pi \cdot 10^9} \cdot \frac{F}{m} = 8,85419 \frac{pF}{m} \quad (3)$$

(Η μονάδα $\frac{F}{m}$ είναι ίσοδύναμη στό σύστημα S.I. μέ τή μονάδα $\frac{C^2}{N \cdot m^2}$, πού προκύπτει γιά τὴν ϵ_0 ἀπό τό νόμο τοῦ Coulomb, πού εἴχαμε δώσει στήν παράγραφο 1.2).

Αν διαιρέσουμε κατά μέλη τίς (1) καὶ (2) καὶ λάβομε ύπόψη τή σχέση (3) τῆς παραγράφου 13.3 προκύπτει:

$$\frac{C}{C_0} = \frac{\epsilon}{\epsilon_0} = \epsilon_r \quad (4)$$

$$\boxed{\epsilon = \epsilon_0 \cdot \epsilon_r} \quad (5)$$

Η διηλεκτρική σταθερά δποιουδήποτε μονωτικοῦ ὄλικοῦ είναι μεγαλύτερη ἀπό τή διηλεκτρική σταθερά τοῦ κενοῦ καί προκύπτει ἀπό τό γινόμενο τῆς διηλεκτρικῆς σταθερᾶς τοῦ κενοῦ ἐπί τή σχετική διηλεκτρική σταθερά τοῦ ὄλικοῦ.

Ο τύπος (1) γίνεται μέ τήν (5):

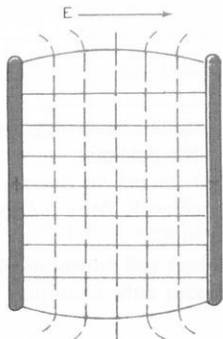
$$\boxed{C = \epsilon_0 \cdot \epsilon_r \frac{S}{\delta}} \quad (6)$$

Από τήν (6) προκύπτει διτὶ ἡ χωρητικότητα ἐνός ἐπίπεδου πυκνωτῆ αὐξάνει, δσο μικραίνει ἡ ἀπόσταση δ μεταξύ τῶν ὀπλισμῶν, δηλαδή τό πάχος τοῦ μονωτικοῦ ἡ τοῦ στρώματος τοῦ ἀέρα.

Στήν πράξη δέν είναι δυνατό νά ἐλαττώνομε ἀπεριόριστα τό πάχος τοῦ μονωτικοῦ, γιατί αὐτό ἔξαρτᾶται ἀμεσα ἀπό τήν τάση, πού εἴμασθε ἀναγκασμένοι νά ἔφαρμόσουμε στόν πυκνωτή. Ανάλογα μέ τήν ἔφαρμοζόμενη τάση ἀπαιτεῖται καὶ ὁρισμένο πάχος τοῦ μονωτικοῦ ἡ τοῦ στρώματος ἀέρα. Σέ μικρότερο πάχος τό μονωτικό δέν είναι σέ θέση νά διατήρησει χωρισμένα τά φορτία τῶν δύο ὀπλισμῶν. Ήλεκτρικά φορτία περνοῦν ἀπό τόν ἓνα ὀπλισμό στόν ἄλλο μέσα ἀπό τό διηλεκτρικό μέ ἀποτέλεσμα τήν καταστροφή του. Στήν περίπτωση αὐτή λέμε διτὶ τό διηλεκτρικό **διασπᾶται**.

β) Τό ηλεκτρικό πεδίο του έπιπεδου πυκνωτή.

Τό ηλεκτρικό πεδίο ένός έπιπεδου πυκνωτή μέ μικρή άπόσταση μεταξύ τῶν πλακῶν συγκριτικά μέ τίς διαστάσεις τῆς έπιφάνειάς του, εἶναι πρακτικά **δμοιόμορφο**. Ἡ ενταση \vec{E} τοῦ πεδίου E έχει σέ δόποιο δήποτε σημεῖο τοῦ χώρου μεταξύ τῶν πλακῶν (δπλισμῶν) τό ίδιο μέτρο καί τήν ίδια φορά. Ἡ διεύθυνση τοῦ πεδίου εἶναι κάθετη στούς δπλισμούς καί ή φορά του εἶναι άπό τό θετικό δπλισμό πρός τόν άρνητικό. Οι ηλεκτρικές γραμμές εἶναι παράλληλες καί σέ ίσες άποστάσεις μεταξύ τους, έφόσον τό πεδίο εἶναι δμοιόμορφο καί κάθετες στούς δπλισμούς (σχ. 13.4β). Οι ίσοδυναμικές έπιφάνειες εἶναι παράλληλες στούς δπλισμούς.



Σχ. 13.4β.

Τό μέτρο τῆς εντάσεως \vec{E} προκύπτει, σύμφωνα μέ τή σχέση (4) τῆς παραγράφου 12.6, άπό τήν τάση U μεταξύ τῶν δπλισμῶν καί τήν άπόστασή τους δ .

$$\boxed{E = \frac{U}{\delta}} \quad (7)$$

Παρατηροῦμε δτι ύπό σταθερή τάση U ή ενταση τοῦ ηλεκτρικοῦ πεδίου ένός έπιπεδου πυκνωτή εἶναι τόσο μεγαλύτερη, δσο μικρότερη εἶναι ή άπόσταση μεταξύ τῶν δπλισμῶν του.

Άριθμητικά παραδείγματα.

Παράδειγμα 1.

Νά υπολογισθεῖ ή έπιφάνεια S κάθε δπλισμοῦ ένός έπιπεδου πυκνωτῆ, δταν ή χωρητικότητά του $C = 1 \text{ F}$, ή σχετική διηλεκτρική σταθερά τοῦ διηλεκτρικοῦ του $\epsilon_r = 2$ καί ή άπόσταση μεταξύ τῶν δπλισμῶν του $\delta = 10^{-4} \text{ m}$.

Αύση.

$$S = \frac{C \cdot \delta}{\epsilon_0 \cdot \epsilon_r} = \frac{1 \text{ F} \cdot 10^{-4} \text{ m}}{\frac{1}{36 \cdot \pi \cdot 10^9} \cdot \frac{\text{F}}{\text{m}} \cdot 2} = 18 \cdot \pi \cdot 10^5 \text{ m}^2 = 5,65 \cdot 10^6 \text{ m}^2$$

$$S = 5,65 \text{ km}^2$$

Βέβαια ένας πυκνωτής μέ τέτοια έπιφάνεια τῶν πλακῶν του δὲν εἶναι δυνατό νά κατασκευασθεῖ. Βλέπομε λοιπόν πόσο μεγάλη εἶναι ή μονάδα 1 F.

"Αν ή χωρητικότητα εἶναι $C = 1 \mu\text{F}$ τότε ή έπιφάνεια τῶν πλακῶν γίνεται $S = 5,65 \text{ m}^2$, δηλαδή ένα μέγεθος πού εἶναι δυνατό νά κατασκευασθεῖ.

Παράδειγμα 2.

Μεταξύ τῶν δύο πλακών ένός έπιπεδου πυκνωτῆς, χωρητικότητας $C = 200 \text{ pF}$, έφαρμοζεται τάση $U = 1000 \text{ V}$. Νά βρεθοῦν:

α) Τό ήλεκτρικό φορτίο Q πού μπορεῖ νά άποταμιεύσει ό πυκνωτής.

β) Η ένταση τοῦ ήλεκτρικοῦ πεδίου E , δταν ή άπόσταση μεταξύ τῶν πλακῶν τοῦ πυκνωτῆς εἶναι $\delta = 0,5 \text{ mm}$.

γ) Η σχετική διηλεκτρική σταθερά τοῦ παρεμβαλλόμενου μεταξύ τῶν πλακῶν μονωτικοῦ ϵ_r , δταν ή έπιφάνεια κάθε δύο πλακών $S = 2 \text{ cm}^2$.

Αύση.

$$\text{a)} Q = CU = 200 \cdot 10^{-12} \cdot 1000 \cdot \frac{\text{A} \cdot \text{s}}{\text{V}} \cdot \text{V} = 200 \text{ nC}$$

$$Q = 200 \text{ nC}$$

$$\beta) E = \frac{U}{\delta} = \frac{1000 \text{ V}}{0,5 \cdot 10^{-3} \text{ m}} = 2 \cdot 10^6 \frac{\text{V}}{\text{m}}$$

$$E = 2 \cdot 10^6 \text{ V/m}$$

$$\gamma) \epsilon_r = \frac{36 \cdot \pi \cdot 10^9 \cdot \delta \cdot C}{S} = \frac{36 \cdot \pi \cdot 10^9 \cdot 0,5 \cdot 10^{-3} \cdot 200 \cdot 10^{-12}}{2 \cdot 10^{-4}} = 56,52$$

$$\epsilon_r = 56,52$$

13.5 Ήλεκτροστατική ένέργεια πυκνωτῆ.

Όπως ηδη άναφέραμε, κατά τή φόρτιση ένός πυκνωτῆ προσφέρεται ένέργεια άπό τήν ήλεκτρική πηγή στόν πυκνωτή μέχρις δτου ή τάση στούς δπλισμούς του γίνει ίση μέ τήν τάση τής πηγής. Ή ένέργεια αυτή χρησιμεύει στή δημιουργία τοῦ ήλεκτρικοῦ πεδίου τοῦ πυκνωτῆ καί παραμένει άποταμιευμένη στό ήλεκτρικό πεδίο.

Η άποταμιευμένη ήλεκτροστατική ένέργεια άποδίδεται κατά τήν έκφορτιση τοῦ πυκνωτῆ, δόποτε μετατρέπεται σέ άλλες μορφές ένέργειας, π.χ. σέ θερμότητα σέ ένα άντιστάτη πού συνδέεται μεταξύ τῶν δπλισμῶν.

Άν Q είναι τό ήλεκτρικό φορτίο ένός πυκνωτῆ, C ή χωρητικότητά του καί U ή τάση μεταξύ τῶν δπλισμῶν του, ή ένέργεια τοῦ ήλεκτρικοῦ πεδίου τοῦ πυκνωτῆ δίνεται άπό τήν έξισωση:

$$A = \frac{1}{2} Q \cdot U = \frac{1}{2} C \cdot U^2 \quad (1)$$

Άπό τή σχέση αυτή προκύπτει, δτι μονάδα μετρήσεως τής ήλεκτροστατικής ένέργειας στό σύστημα S.I. είναι τό Joule (J).

$$[A] = [C] [U]^2 = \frac{As}{V} V^2 = Ws = J$$

Αριθμητικά παραδείγματα.

Παράδειγμα 1.

Μεταξύ τῶν πλακῶν ένός έπιπεδου πυκνωτῆ έφαρμόζεται τάση U = 50.000 V. Ή έπιφάνεια κάθε πλάκας τοῦ πυκνωτῆ είναι S = 1130 cm² καί ή άποσταση μεταξύ τῶν πλακῶν είναι δ = 10 cm. Όταν τό παρεμβαλλόμενο μονωτικό είναι ο δέαρας, νά βρεθοῦν:

- α) Ή χωρητικότητα τοῦ πυκνωτῆ.
- β) Τό ήλεκτρικό φορτίο Q πού μπορεῖ νά άποταμιεύσει ο πυκνωτής.
- γ) Ή ένταση τοῦ ήλεκτρικοῦ πεδίου.
- δ) Ή ήλεκτροστατική ένέργεια τοῦ πυκνωτῆ.

Αύση.

$$\text{a)} \quad C_0 = \epsilon_0 \frac{S}{\delta} = \frac{1130 \cdot 10^{-4}}{36 \pi \cdot 10^9 \cdot 10 \cdot 10^{-2}} = 10^{-11} F = 10 \cdot 10^{-12} F$$

$$\underline{\qquad \qquad \qquad C_0 = 10 \text{ pF}}$$

$$\text{b)} \quad Q = C \cdot U = 10 \cdot 10^{-12} \cdot 5 \cdot 10^4 = 50 \cdot 10^{-8} \text{ C} = 0,5 \mu\text{C}$$

$$\underline{\qquad \qquad \qquad Q = 0,5 \mu\text{C}}$$

$$\gamma) \quad E = \frac{U}{\delta} = \frac{50.000}{10 \cdot 10^{-2}} = 500.000 \frac{V}{m} = 500 \frac{kV}{m}$$

$$E = 500 \frac{kV}{m}$$

$$\delta) \quad A = \frac{1}{2} Q \cdot U = \frac{1}{2} 50 \cdot 10^{-8} \text{ As} \cdot 5 \cdot 10^4 \text{ V} = 125 \cdot 10^{-4} \text{ Vs}$$

$$A = 125 \cdot 10^{-4} \text{ J}$$

Παράδειγμα 2.

Μεταξύ των όπλισμάν ένός έπιπεδου πυκνωτή άέρα, χωρητικότητας $C_0 = 10^2 \text{ pF}$, έφαρμόζεται μία τάση $U_0 = 1000 \text{ V}$. Αν ή άπόσταση μεταξύ των όπλισμάν είναι $\delta = 5 \text{ mm}$, νά βρεθούν:

- a) Η ενταση τοῦ ηλεκτρικοῦ πεδίου.
- β) Η ηλεκτροστατική ένέργεια τοῦ πυκνωτῆ.
- γ) Τό ηλεκτρικό φορτίο Q , πού μπορεῖ νά άποταμιεύσει ό πυκνωτής.
- Διασύνδεσμο τόν πυκνωτή άπό τήν τάση φορτίσεώς του και παρεμβάλλομε μεταξύ τῶν όπλισμάν του ένα διηλεκτρικό, πάχους $\delta_1 = \delta = 5 \text{ mm}$ και σχετικῆς διηλεκτρικῆς σταθερᾶς $e_r = 10$. Νά βρεθούν:
- δ) Η χωρητικότητα C_1 τοῦ πυκνωτῆ.
- ε) Η τάση U_1 πού θά παρουσιασθεῖ μεταξύ τῶν όπλισμάν του.
- στ) Η ενταση E_1 τοῦ ηλεκτρικοῦ πεδίου.
- ζ) Η ηλεκτροστατική ένέργεια A_1 , τοῦ πυκνωτῆ.

Αύση.

$$a) \quad E = \frac{U_0}{\delta} = \frac{1000}{5 \cdot 10^{-3}} \frac{V}{m} = 200 \frac{kV}{m}$$

$$E = 200 \frac{kV}{m}$$

$$\beta) \quad A = \frac{1}{2} C_0 U_0^2 = \frac{1}{2} 10^2 \cdot 10^{-12} \cdot 10^6 \frac{\text{As}}{\text{V}} \text{V}^2 = 50 \cdot 10^{-6} \text{ Vs}$$

$$A = 50 \mu\text{J}$$

$$\gamma) Q = C_0 U_0 = 10^2 \cdot 10^{-12} \cdot 1000 = 10^{-7} = 100 \cdot 10^{-9}$$

$$Q = 100 \text{ nC}$$

$$\delta) C_1 = \varepsilon_0 \varepsilon_r \frac{S}{\delta}, \quad C_0 = \varepsilon_0 \frac{S}{\delta}, \quad \frac{C_1}{C_0} = \varepsilon_r$$

$$C_1 = C_0 \cdot \varepsilon_r = 10^2 \cdot 10^{-12} \cdot 10 = 1000 \cdot 10^{-12}$$

$$C_1 = 1000 \text{ pF}$$

- ε) Άφού ό πυκνωτής κατά τήν είσαγωγή του διηλεκτρικού μεταξύ τῶν όπλισμάν του δέν συνδέεται μέ τήν πηγή, θά διατηρεῖ τό φορτίο του Q.

$$Q = U_1 C_1 \rightarrow U_1 = \frac{Q}{C_1} = \frac{100 \cdot 10^{-9}}{1000 \cdot 10^{-12}} = 100 \text{ V}$$

$$U_1 = 100 \text{ V}$$

$$\sigma\tau) E_1 = \frac{U_1}{\delta} = \frac{100}{5 \cdot 10^{-3}} = 20 \frac{\text{kV}}{\text{m}}$$

$$E_1 = 20 \frac{\text{kV}}{\text{m}}$$

$$\zeta) A_1 = \frac{1}{2} C_1 U_1^2 = \frac{1}{2} 10^3 \cdot 10^{-12} \cdot 10^4 = 0,5 \cdot 10^{-5} = 5 \cdot 10^{-6} \text{ J}$$

$$A_1 = 5 \mu\text{J}$$

13.6 Τρόποι συνδέσεως πυκνωτῶν – Ισοδύναμη χωρητικότητα.

Στήν τεχνική ύπάρχουν τρεῖς τρόποι συνδέσεως τῶν πυκνωτῶν σέ ένα κύλωμα.

a) Σύνδεση πυκνωτῶν σέ σειρά.

Τό παρακάτω σχῆμα 13.6α δείχνει τή συνδεσμολογία πυκνωτῶν σέ σειρά. Όταν ή όμαδα τῶν σέ σειρά συνδέμενων πυκνωτῶν φορτισθεῖ τότε κάθε πυκνωτής φέρει τό ίδιο φορτίο Q. Πραγματικά δταν στήν όμαδα έφαρμοσθεῖ τάση U, φορτίζονται στήν άρχη οί έξωτεροι ί δπλισμοί τῶν άκραιών πυκνωτῶν C₁ και C₄ μέ ίσα και άντιθετα φορτία Q. Τά φορτία αυτά προκαλοῦν άμεσως κατόπιν, λόγω τής ήλεκτροστατικής έπιδράσεως πού γνωρίσαμε στήν παρά-

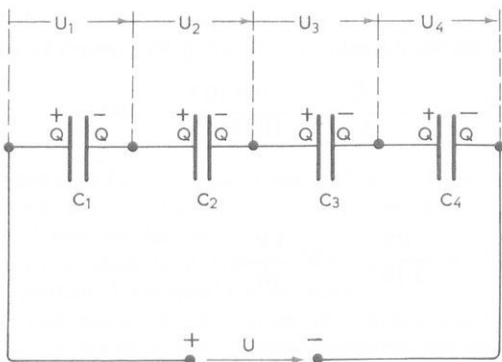
γραφο 12.4, τή φόρτιση έναλλακτικά μέ άντιθετα φορτία τῶν ύπολοί πων όπλισμῶν, διστα τελικά δοιοι οι πυκνωτές έχουν τό ίδιο φορτίο Q .

Σύμφωνα μέ τήν έξισωση (2) τῆς παραγράφου 13.2 είναι:

$$Q = U_1 C_1 = U_2 C_2 = U_3 C_3 = U_4 C_4 \quad \text{καὶ ἐπομένως:}$$

$$U_1 = \frac{Q}{C_1}, \quad U_2 = \frac{Q}{C_2}, \quad U_3 = \frac{Q}{C_3}, \quad U_4 = \frac{Q}{C_4} \quad (1)$$

διστα U_1, U_2, U_3, U_4 οι τάσεις πού έμφανιζονται μεταξύ τῶν όπλισμῶν τῶν τεσσάρων πυκνωτῶν μετά τή φόρτισή τους μέ τό φορτίο Q .



Σχ. 13.6a.

Σύμφωνα μέ τό δεύτερο κανόνα τοῦ Kirchhoff ή πολική τάση U τῆς πηγῆς τροφοδοτήσεως είναι ίση μέ τό άθροισμα τῶν πτώσεων τάσεως στούς πυκνωτές:

$$U = U_1 + U_2 + U_3 + U_4 \quad (2)$$

Αντικαθιστώντας τίς τάσεις U_1 μέχρι U_4 τῆς (1) στή (2) παίρνομε:

$$U = \frac{Q}{C_1} + \frac{Q}{C_2} + \frac{Q}{C_3} + \frac{Q}{C_4} \quad (3)$$

Τήν διμάδα τῶν συνδεμένων σέ σειρά πυκνωτῶν μποροῦμε νά άντικαταστήσουμε μέ ένα πυκνωτή μέ **Ισοδύναμη χωρητικότητα** πρός αντή τῆς συνδεσμολογίας.

Ισοδύναμη χωρητικότητα μιᾶς διμάδας συνδεμένων μεταξύ τους πυκνωτῶν είναι ή χωρητικότητα C ένός πυκνωτῆς, δ όποιος ύπό τήν ίδια τάση U ἀποταμεύει τό ίδιο φορτίο Q , δπως ή διμάδα.

Αρα:

$$U = \frac{Q}{C} \quad (4)$$

και μέ τήν (3) έχομε:

$$\frac{1}{C} = \frac{1}{C_1} + \frac{1}{C_2} + \frac{1}{C_3} + \frac{1}{C_4}$$

Δηλαδή: Κατά τή σύνδεση τῶν πυκνωτῶν σέ σειρά, τό άντιστροφο τῆς ίσοδύναμης χωρητικότητας, είναι ίσο μέ τό άθροισμα τῶν άντιστρόφων τῶν χωρητικοτήτων τους.

$$\frac{1}{C} = \sum_1^n \frac{1}{C_n} = \frac{1}{C_1} + \frac{1}{C_2} + \frac{1}{C_3} + \dots + \frac{1}{C_n} \quad (5)$$

Ή ίσοδύναμη χωρητικότητα τῆς συνδεσμολογίας πυκνωτῶν σέ σειρά είναι πάντα μικρότερη καὶ ἀπό τή μικρότερη χωρητικότητα τῆς συνδεσμολογίας. Έπομένως δταν θέλομε νά μειώσουμε τή χωρητικότητα ένός πυκνωτῆ, ένας τρόπος είναι νά συνδέσουμε έναν ή ἄλλους πυκνωτές σέ σειρά μέ αυτόν.

Άν μιά συνδεσμολογία σειρᾶς έχει μόνο πυκνωτές μέ τήν ίδια χωρητικότητα C, τότε ή ίσοδύναμη χωρητικότητα είναι:

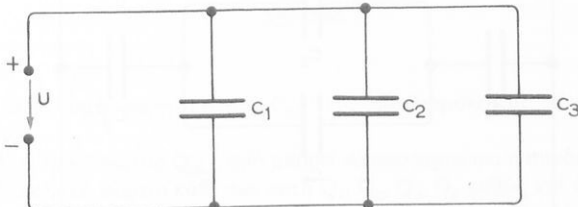
$$C_{\text{ολ}} = \frac{C}{n} \quad (6)$$

ὅπου n ο ἀριθμός τῶν πυκνωτῶν.

β) Παράλληλη σύνδεση πυκνωτῶν.

Τό παρακάτω σχῆμα 13.6β δείχνει μιά παράλληλη σύνδεση τριῶν πυκνωτῶν.

Είναι προφανές δτι μεταξύ τῶν διπλισμῶν κάθε πυκνωτῆ έφαρμόζεται ή ίδια τάση U.



Σχ. 13.6β.

Τά ηλεκτρικά φορτία πού φέρουν μετά τή φόρτισή τους οί πυκνωτές είναι:

$$Q_1 = UC_1, \quad Q_2 = UC_2, \quad Q_3 = UC_3 \quad (7)$$

Τό συνολικό ήλεκτρικό φορτίο πού άποταμιεύεται στή διάταξη είναι:

$$Q = Q_1 + Q_2 + Q_3 = CU \quad (8)$$

δημο C ή ίσοδύναμη χωρητικότητα τής διατάξεως.

Από τήν (7) και (8) έχουμε:

$$\begin{aligned} CU &= C_1 U + C_2 U + C_3 U \\ C &= C_1 + C_2 + C_3 \end{aligned}$$

Άρα, ή ίσοδύναμη χωρητικότητα μιᾶς διατάξεως μέ παράλληλα συνδεμένους πυκνωτές είναι ίση μέ τό άθροισμα τῶν χωρητικοτήτων τῶν πυκνωτῶν τῆς διατάξεως.

$$C = \sum_1^n C_n = C_1 + C_2 + C_3 + \dots + C_n \quad (9)$$

Έπομένως δταν θέλομε νά ανδήσουμε τή χωρητικότητα ένός πυκνωτῆ, τότε συνδέομε έναν άλλο ή άλλους πυκνωτές παράλληλα.

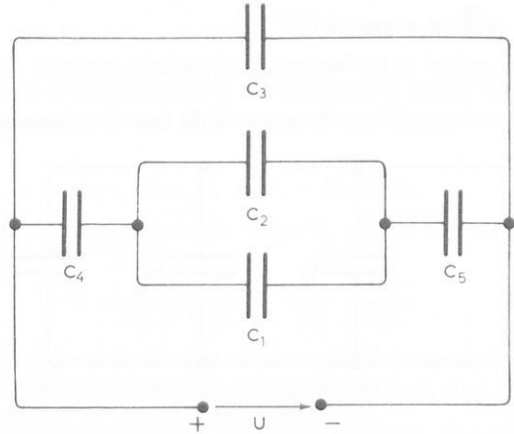
Σέ μιά παράλληλη συνδεσμολογία, πού δλοι οί πυκνωτές έχουν τήν ίδια χωρητικότητα C, ή ίσοδύναμη χωρητικότητα C_{ολ} είναι:

$$C_{ολ} = nC \quad (10)$$

δημο n ο άριθμός τῶν πυκνωτῶν τῆς παράλληλης συνδεσμολογίας.

γ) Μικτή σύνδεση πυκνωτῶν.

Μιά συνδεσμολογία πυκνωτῶν είναι μικτή, δταν άποτελεῖται άπό πυκνωτές



Σχ. 13.6γ.

πού είναι συνδεμένοι σέ σειρά και παράλληλα (σχ. 13.6γ). Έφαρμόζοντας διαδοχικά τούς κανόνες πού άναφέραμε στίς περιπτώσεις συνδέσεως πυκνωτῶν

σέ σειρά και παράλληλα, βρίσκομε τήν ίσοδύναμη χωρητικότητα της μικτής συνδεσμολογίας, π.χ. στήν περίπτωση της συνδεσμολογίας του σχήματος 13.6γ:

Οι πυκνωτές C_1 και C_2 συνδέονται παράλληλα: $C_{1,2} = C_1 + C_2$

Οι πυκνωτές $C_{1,2}$, C_4 και C_5 συνδέονται σέ σειρά:

$$\frac{1}{C_{1,2,4,5}} = \frac{1}{C_{1,2}} + \frac{1}{C_4} + \frac{1}{C_5}$$

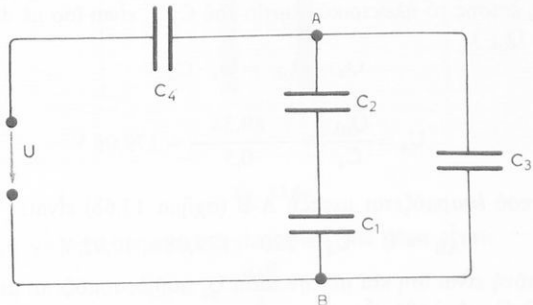
Οι πυκνωτές $C_{1,2,4,5}$ και C_3 συνδέονται παράλληλα:

$$C_{1,2,3,4,5} = C_{1,2,4,5} + C_3$$

Άριθμητικά παραδείγματα.

Παράδειγμα 1.

Δίνεται ή παρακάτω συνδεσμολογία του σχήματος 13.6δ δπου: $C_1 = 3 \mu F$, $C_2 = 2 \mu F$, $C_3 = 1 \mu F$, $C_4 = 0,5 \mu F$ και $U = 220 V$. Νά βρεθοῦν:



Σχ. 13.6δ.

α) Η ίσοδύναμη χωρητικότητα $C_{o\lambda}$ της συνδεσμολογίας τῶν ἐπιπέδων πυκνωτῶν.

β) Τό ηλεκτρικό φορτίο $Q_{o\lambda}$, πού μπορεῖ νά άποταμεύσει ή συνδεσμολογία.

γ) Τό ηλεκτρικό φορτίο κάθε πυκνωτῆς Q_1, Q_2, Q_3, Q_4 καθώς καί ή τάση πού έφαρμόζεται μεταξύ τῶν δύο ισοδύναμων κάθε πυκνωτῆς U_1, U_2, U_3, U_4 .

Αύση.

α) Οι πυκνωτές C_1 και C_2 συνδέονται σέ σειρά:

$$\frac{1}{C_{1,2}} = \frac{1}{C_1} + \frac{1}{C_2} = \frac{1}{3} + \frac{1}{2} = 0,8333$$

καὶ $C_{1,2}$ καὶ C_3 συνδέονται παράλληλα: $C_{1,2} = 1,2 \mu F$

$$C_{1,2,3} = C_{1,2} + C_3 = 1,2 + 1 = 2,2 \quad C_{1,2,3} = 2,2 \mu F$$

Ο $C_{1,2,3}$ καὶ ὁ C_4 συνδέονται σὲ σειρά:

$$\frac{1}{C_{o\lambda}} = \frac{1}{C_{1,2,3}} + \frac{1}{C_4} = \frac{1}{2,2} + \frac{1}{0,5} = 2,4545$$

$$C_{o\lambda} = 0,407 \mu F$$

$$\beta) Q_{o\lambda} = C_{o\lambda} \cdot U = 0,407 \cdot 10^{-6} F \cdot 220 V = 89,54 \cdot 10^{-6} C$$

$$Q_{o\lambda} = 89,54 \mu C$$

γ) Οι πυκνωτές C_4 καὶ $C_{1,2,3}$, δπως προαναφέραμε συνδέονται σὲ σειρά. Έπομένως τό ήλεκτρικό φορτίο τοῦ C_4 είναι ίσο μέ τό δόλικό φορτίο ($Q_4 = Q_{o\lambda}$) καθώς έπισης τό ήλεκτρικό φορτίο τοῦ $C_{1,2,3}$ είναι ίσο μέ τό δόλικό φορτίο ($Q_{1,2,3} = Q_{o\lambda}$).

$$Q_4 = Q_{o\lambda} = U_4 \cdot C_4$$

$$U_4 = \frac{Q_{o\lambda}}{C_4} = \frac{89,54}{0,5} = 179,08 V$$

Η τάση πού έφαρμόζεται μεταξύ A-B (σχῆμα 13.6δ) είναι:

$$U_{AB} = U - U_4 = 220 - 179,08 = 40,92 V$$

Η τάση αὐτή είναι ίση καὶ μέ τήν τάση U_3 πού έφαρμόζεται μεταξύ τῶν όπλισμῶν τοῦ C_3 . Δηλαδή είναι:

$$U_3 = 40,92 V$$

$$Q_3 = U_3 \cdot C_3 = 40,92 \cdot V \cdot 1 \mu F = 40,92 \mu C$$

$$Q_{1,2} = Q_1 = Q_2 = C_{1,2} \cdot U_{AB} = 1,2 \mu F \cdot 40,92 V = 49,104 \mu C$$

$$U_1 = \frac{Q_1}{C_1} = \frac{49,104}{3} = 16,368 V$$

$$U_2 = \frac{Q_2}{C_2} = \frac{49,104}{2} = 24,552 V$$

Είναι λοιπόν: $Q_1 = 49,104 \mu C \quad U_1 = 16,368 V$

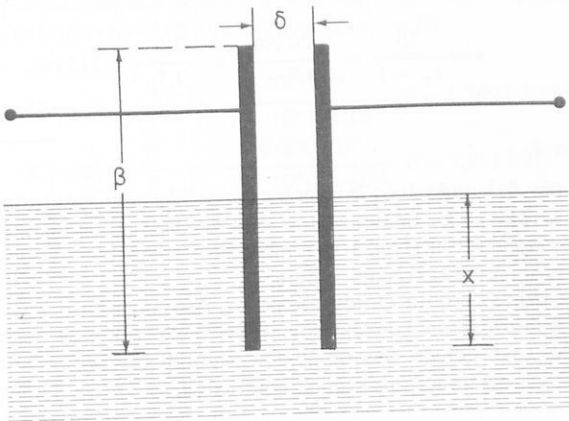
$Q_2 = 49,104 \mu C \quad U_2 = 24,552 V$

$Q_3 = 40,92 \mu C \quad U_3 = 40,92 V$

$Q_4 = 89,54 \mu C \quad U_4 = 179,08 V$

Παράδειγμα 2.

Δίνεται ένας έπιπεδος πυκνωτής μέχρι χωρητικότητα C_1 και διηλεκτρικό άέρα. Κάθε πλάκα του πυκνωτή έχει έπιφανεια $S = a \cdot \beta$. Ή μάλισταση της πλάκας είναι $\beta = 10 \text{ cm}$ και ή απόσταση μεταξύ των πλακών είναι $\delta = 3 \text{ mm}$. Ένα μέρος του πυκνωτή βυθίζεται μέσα σέ λάδι, σχετικής διηλεκτρικής σταθερᾶς $\epsilon_r = 4,5$. Νά βρεθεῖ πόσο πρέπει νά βυθισθεῖ ο πυκνωτής (απόσταση x στό σχῆμα 13.6ε, ώστε η χωρητικότητα C_2 πού δημιουργεῖται νά είναι τρεις φορές μεγαλύτερη από τήν χωρητικότητα C_1 ($C_2 = 3C_1$).



Σχ. 13.6ε.

Αύση.

Η αρχική χωρητικότητα μέχρι διηλεκτρικό τόν άέρα είναι:

$$C_1 = \epsilon_0 \frac{\alpha \cdot \beta}{\delta}$$

Η χωρητικότητα C_2 είναι αθροισμα δύο παράλληλα συνδεμένων πυκνωτῶν μέχρι χωρητικότητα C'_2 και C''_2 ($C_2 = C'_2 + C''_2$).

C'_2 είναι η χωρητικότητα του πυκνωτή πού έχει διηλεκτρικό άέρα και έμβαδόν των πλακών του, τό μή βυθισμένο στό λάδι τμήμα του αρχικού πυκνωτή. Δηλαδή έχουμε:

$$C'_2 = \epsilon_0 \frac{(\beta - x) \cdot \alpha}{\delta}$$

C''_2 είναι η χωρητικότητα του πυκνωτή, πού έχει διηλεκτρικό τό λάδι και έμβαδόν των πλακών του, τό βυθισμένο στό λάδι τμήμα του αρχικού πυκνωτή. Δηλαδή είναι:

$$C''_2 = \epsilon_r \epsilon_0 \frac{x \cdot \alpha}{\delta}$$

$$C_2 = C_1' + C_2'' = \frac{\epsilon_0 \cdot \alpha}{\delta} (\beta - x + \epsilon_r \cdot x)$$

Η χωρητικότητα C_2 πρέπει νά είναι τριπλάσια της C_1 ($C_2 = 3C_1$)

$$\frac{\epsilon_0 \cdot \alpha}{\delta} (\beta - x + \epsilon_r \cdot x) = 3\epsilon_0 \frac{\alpha \cdot \beta}{\delta}$$

$$\beta - x + \epsilon_r = 3\beta$$

$$x(\epsilon_r - 1) = 2\beta$$

$$x = \frac{2\beta}{\epsilon_r - 1} = \frac{20 \text{ cm}}{4,5 - 1} = \frac{20}{3,5} = 5,715 \text{ cm}$$

$$x = 5,715 \text{ cm}$$

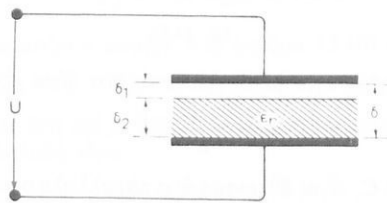
Παράδειγμα 3.

Μεταξύ των δύο διαφορετικών συκνωτής έπιπεδου πυκνωτή έφαρμόζεται τάση $U_1 = 470$ V. Η κάθε έπιφάνεια του δύο διαφορετικών συκνωτής έχει την ίδια άποσταση μεταξύ των δύο διαφορετικών συκνωτής $\delta = 2$ mm. Νά βρεθούν:

a) Η ένταση του ηλεκτρικού πεδίου.

β) Το ηλεκτρικό φορτίο Q που μπορεί νά άποταμιεύσει όποια συκνωτής.

Μετά τη φόρτιση άπομακρύνομε τον πυκνωτή από την τάση φορτίσεώς του και παρεμβάλλομε μεταξύ των δύο διαφορετικών συκνωτής μια μονωτική πλάκα πάχους $\delta_2 = 1,6$ mm και σχετικής διηλεκτρικής σταθερᾶς $\epsilon_r = 18$ (σχ. 13.6στ).



Σχ. 13.6στ.

γ) Νά βρεθεί ή τάση U_2 , που παρουσιάζεται μεταξύ των δύο διαφορετικών συκνωτής.

Ανάση.

$$a) E = \frac{U_1}{\delta} = \frac{470}{2} \frac{V}{mm} = 235 \frac{V}{mm} = 235 \frac{kV}{m}$$

$$E = 235 \frac{kV}{m}$$

$$\beta) \quad Q = U_1 C$$

$$C = \epsilon_0 \frac{S}{\delta} = \frac{1}{36\pi \cdot 10^9} \frac{800 \cdot 10^{-4}}{2 \cdot 10^{-3}} F = 3,539 \cdot 10^{-10} F$$

$$Q = 470 \cdot 3,539 \cdot 10^{-10} As = 166,37 nC$$

$$Q = 166,37 nC$$

γ) Στήν περίπτωση αύτή έχουμε δύο πυκνωτές συνδεμένους σέ σειρά. Ο πυκνωτής C_1 μέδια επιτρικό διέρα και $\delta_1 = \delta - \delta_2 = 2 - 1,6 = 0,4$ mm και ο πυκνωτής C_2 μέδια επιτρικό τη μονωτική πλάκα $\epsilon_r = 18$.

$$C_1 = \epsilon_0 \frac{S}{\delta} = \frac{800 \cdot 10^{-4}}{36\pi \cdot 10^9 \cdot 0,4 \cdot 10^{-3}} F = 1,7692 \cdot 10^{-9} F$$

$$C_2 = \epsilon_0 \epsilon_r \frac{S}{\delta} = \frac{18 \cdot 800 \cdot 10^{-4}}{36\pi \cdot 10^9 \cdot 1,6 \cdot 10^{-3}} F = 7,9617 \cdot 10^{-9} F$$

$$\frac{1}{C} = \frac{1}{C_1} + \frac{1}{C_2} = \frac{10^9}{1,7692} + \frac{10^9}{7,9617}$$

$$C = 1,447 nF$$

Τό ήλεκτρικό φορτίο Q παραμένει τό ίδιο:

$$U_2 = \frac{Q}{C} = \frac{166,37}{1,447} = 114,975$$

$$U_2 = 114,975 V$$

Παράδειγμα 4.

Δίνεται ή παρακάτω συνδεσμολογία έπιπεδων πυκνωτῶν (σχ. 13.6ζ) διόπου:

$$C_1 = C_2 = C_3 = C_4 = 5 \mu F \text{ και } C_5 = 10 \mu F$$

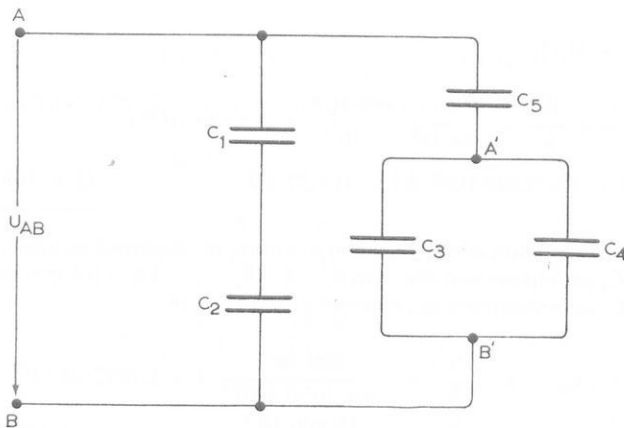
Μεταξύ τῶν δύο πυκνωτῶν τοῦ πυκνωτῆς C_1 έφαρμόζεται μία τάση $U_1 = 10 V$.

Νά βρεθοῦν:

Τό ήλεκτρικό φορτίο πού μπορεῖ νά άποταμιεύσει κάθε πυκνωτής, καθώς και ή πολική τάση U_{A-B} .

Ανση.

Οι πυκνωτές C_1 και C_2 συνδέονται σέ σειρά:



Σχ. 13.6ζ.

$$C_{1,2} = \frac{C_1 \cdot C_2}{C_1 + C_2} = 2,5 \mu F$$

Οι πυκνωτές C_3 και C_4 συνδέονται παράλληλα:

$$C_{3,4} = C_3 + C_4 = 10 \mu F$$

Οι χωρητικότητες $C_{3,4}$ και C_5 συνδέονται σέ σειρά:

$$C_{3,4,5} = \frac{C_{3,4} \cdot C_5}{C_{3,4} + C_5} = 5 \mu F$$

Τό φορτίο Q_1 (που είναι ίσο και μέ τό φορτίο Q_2 , γιατί οι δύο πυκνωτές C_1 και C_2 συνδέονται σέ σειρά) είναι:

$$Q_1 = U_1 \cdot C_1 = 10 \cdot 5 = 50 \mu C$$

$$U_2 = \frac{Q_2}{C_2} = \frac{50}{5} = 10 V$$

$$Q_1 = 50 \mu C$$

$$Q_2 = 50 \mu C$$

$$\text{Άρα ή πολική τάση } U_{AB} = U_1 + U_2 = 20 V$$

$$U_{AB} = 20 V$$

Η τάση U_{AB} έφαρμόζεται στά άκρα τῆς χωρητικότητας $C_{3,4,5}$. Τό φορτίο $Q_{3,4,5}$ είναι ίσο μέ τό $Q_5 = U_{AB} \cdot C_{3,4,5} = 20 \cdot 5 = 100 \mu C$

$$Q_5 = 100 \mu C$$

Η τάση $U_{A'B'}$ πού έφαρμόζεται μεταξύ των σημείων A' - B' είναι:

$$U_{A'B'} = U_{AB} - U_s = U_{AB} - \frac{Q_s}{C_s} = 20 - 10 = 10 \text{ V}$$

$$U_3 = U_4 = U_{A'B'}$$

$$Q_3 = U_3 \cdot C_3 = 10 \cdot 5 = 50$$

$$Q_3 = 50 \mu\text{C}$$

$$Q_4 = U_4 \cdot C_4 = 10 \cdot 5 = 50$$

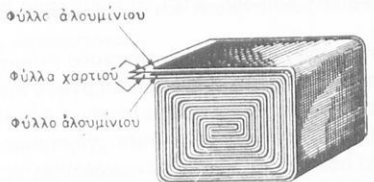
$$Q_4 = 50 \mu\text{C}$$

13.7 Τύποι πυκνωτῶν.

Ανάλογα μέ τις άπαιτήσεις ως πρός τή χωρητικότητα, τήν άντισταση τοῦ διηλεκτρικοῦ, τήν άντοχή του σέ διάσπαση ἀπό έφαρμοζόμενες τάσεις, κλπ. κατασκευάζονται διάφοροι τύποι πυκνωτῶν. Οἱ σπουδαιότεροι είναι οἱ ἔξης:

a) Πυκνωτές χαρτιοῦ.

Οἱ πυκνωτές χαρτιοῦ ἔχουν σάν δπλισμούς δύο ταινίες ἀπό μεταλλικά φύλλα, π.χ. ἀπό αλουμίνιο. Οἱ ταινίες αὐτές τυλίγονται μαζί μέ ἀρκετές λεπτές ταινίες χαρτιοῦ, ἐμποτισμένου μέ παραφίνη, πού χρησιμεύει σά διηλεκτρικό, διπώς φαίνεται στό σχῆμα 13.7a. Τό τύλιγμα συμπιέζεται συνήθως σέ μορφή κύβου καὶ τοποθετεῖται σέ ἕνα μεταλλικό δοχεῖο, πού γεμίζεται μέ μονωτική μάζα. Ἐτσι ἀποφεύγεται ἡ ἀπορρόφηση ύγρασίας ἀπό τό μονωτικό χαρτί, πού μειώνει τή μονωτική του ίκανότητα.



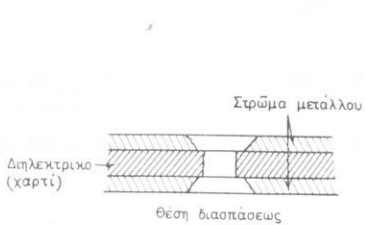
Σχ. 13.7a.

Οἱ πυκνωτές χαρτιοῦ είναι φτηνή κατασκευή, είναι δμως κατάλληλοι μόνο γιά χαμηλές συχνότητες. Ὄταν διασπασθεῖ τό διηλεκτρικό τους, καταστρέφονται, γιατί βραχυκυκλώνονται οἱ δπλισμοί.

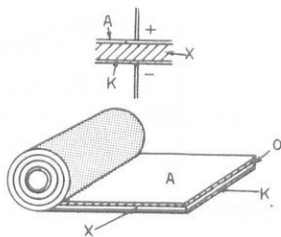
β) Πυκνωτές μετάλλου - χαρτιοῦ.

Στόν τύπο αὐτό τοῦ πυκνωτῆ δημιουργεῖται μέ εἰδική διαδικασία ἓνα πολύ λεπτό στρῶμα μετάλλου (λεπτότερο ἀπό 0,1 μμ) στίς δύο ἐπιφάνειες μᾶς λουρίδας μονωτικοῦ χαρτιοῦ. Η λουρίδα τυλίγεται καὶ διαμορφώνεται σέ κύβο, διπώς προηγουμένως. Ἰδιαίτερο γνώρισμα τοῦ πυκνωτῆ είναι ὅτι αὐτοθεραπεύεται μετά ἀπό διάσπαση τοῦ μονωτικοῦ του. Συγκεκριμένα τό δημιουργούμενο

κατά τή διάσπαση ήλεκτρικό τόξο καίει τό μεταλλικό στρώμα περισσότερο άπο τό χαρτί, δπως φαίνεται στό σχήμα 13.7β. Αποτέλεσμα είναι νά πάψουν τά ήλεκτρόδια νά βρίσκονται σέ έπαφή καί νά σταματήσει τό βραχυκύκλωμα.



Σχ. 13.7β.



Σχ. 13.7γ.

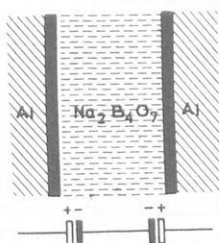
γ) Ήλεκτρολυτικοί πυκνωτές.

Ήλεκτρολυτικοί πυκνωτές χρησιμοποιούνται σέ συνεχές ρεῦμα. Ο θετικός όπλισμός τοῦ πυκνωτή, ή **ἄνοδος**, άποτελεῖται άπό ένα φύλλο άλουμινίου Α (σχ. 13.7γ). Ο άρνητικός όπλισμός, ή **κάθοδος**, είναι ο **ήλεκτρολύτης**, ένα ύγρο διάλυμα βόρακα ή υπεροξειδίου τοῦ νατρίου. Μέ τόν ήλεκτρολύτη διαποτίζεται ένα ειδικό άπορροφητικό χαρτί Χ, πού τοποθετεῖται άνάμεσα στήν άνοδο καί σέ ένα μεταλλικό φύλλο Κ, πού μέ αντό συνδέεται ο άρνητικός πόλος τῆς πηγῆς. Τά τρία φύλλα τυλίγονται μαζί καί ο ρόλος τοποθετεῖται σέ ένα μεταλλικό δοχείο, πού συνδέεται μέ τήν κάθοδο. Έτσι τό περίβλημα τοῦ πυκνωτή παίρνει άρνητικό δυναμικό.

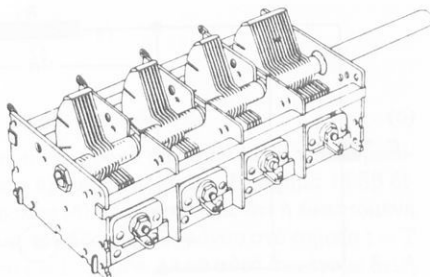
Ο πυκνωτής, συνδέεται στή συνέχεια μέ πηγή συνεχούς ρεύματος, μέ άποτέλεσμα τήν ήλεκτρόλυση τοῦ διαλύματος καί τή δημιουργία στήν άνοδο ένός λεπτού στρώματος ο δξειδίου τοῦ άλουμινίου. Τό στρώμα αυτό άποτελεῖ τό διηλεκτρικό τοῦ πυκνωτή. Προσοχή χρειάζεται δταν χρησιμοποιεῖται ο πυκνωτής κατά τή σύνδεσή του στήν πηγή, ώστε νά συνδέονται οι άντιστοιχοι πόλοι. Γι' αυτό καί ο πυκνωτής δύναμέται **πολωμένος πυκνωτής**. Αν συνδέθοιν άντιθετα οι πόλοι καταστρέφεται τό διηλεκτρικό στρώμα καί ο πυκνωτής βραχυκύκλωνται.

Οι πολωμένοι πυκνωτές χρησιμοποιούνται μόνο σέ συνεχές ρεῦμα η σέ μεταβαλλόμενο ρεῦμα, πού δέν άλλάζει πολικότητα.

Στούς **μή πολωμένους πυκνωτές** είναι καί τό φύλλο Κ άπο άλουμινίου. Ανάλογα μέ τήν πολικότητα δημιουργεῖται τό μονωτικό στρώμα τοῦ δξειδίου, είτε στό φύλλο Α είτε στό φύλλο Κ. Έτσι οι πυκνωτές αυτοί μπορούν νά χρησιμοποιηθούν χωρίς νά καταστραφούν καί σέ κυκλώματα, πού έμφανίζεται άλλαγή τής πολικότητας. Ο μή πολωμένος πυκνωτής άντιστοιχεῖ σέ δύο άντιθετα συνδεμένους πολωμένους πυκνωτές (σχ. 13.7δ).



Σχ. 13.7δ.



Σχ. 13.7ε.

δ) Μεταβλητοί πυκνωτές.

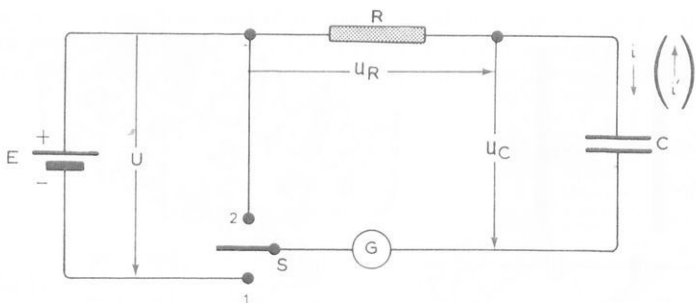
Ο πυκνωτής άποτελεῖται άπό ένα συγκρότημα άπό πλάκες άλουμινίου τοποθετημένες ή μία δίπλα στήν άλλη και ένα στρεφόμενο περί αξονα συγκρότημα πλακών άλουμινίου, πού κινοῦνται άνάμεσα στίς πλάκες τού σταθερού συγκροτήματος. Η χωρητικότητα τού πυκνωτή μεταβάλλεται άνάλογα μέ τό μέγεθος τῆς έπιφάνειας τῶν όπλισμάν, πού βρίσκονται κάθε φορά ό ένας άπεναντι στόν άλλο (σχ. 13.7ε). Οι πυκνωτές αυτοί χρησιμοποιοῦνται, δταν άπαιτονται συχνά μεταβολές τῆς χωρητικότητας, π.χ. στό κύκλωμα συντονισμού ένός ραδιοφωνικοῦ δέκτη.

13.8 Καμπύλες φορτίσεως καί έκφορτίσεως πυκνωτῆ — Σταθερά χρόνου φορτίσεως, έκφορτίσεως.

Γιά νά διερευνήσομε τό μηχανισμό φορτίσεως καί έκφορτίσεως ένός πυκνωτῆ, έξετάζομε τό παρακάτω κύκλωμα τού σχήματος 13.8α δπου C είναι ή χωρητικότητα τού πυκνωτῆ, R ή ώμικη άντισταση δόλκληρου τού κυκλώματος, πού τήν παριστάνομε μέ τόν άντιστάτη R καί U ή πολική τάση τῆς πηγῆς συνεχοῦς ρεύματος. Τό γαλβανόμετρο G μᾶς δείχνει τή ροή τού ρεύματος. Ο διακόπτης S είναι στήν άρχη άνοικτός.

Όταν τοποθετήσομε τό διακόπτη στόν άκροδέκτη 1 κλείνει τό κύκλωμα πηγῆς - πυκνωτῆ, μέ άποτέλεσμα νά άρχισει νά ρέει ρεύμα στό κύκλωμα καί νά μεταφέρεται φορτίο στόν πυκνωτή. Η ένταση τού ρεύματος δέν παραμένει σταθερή χρονικά, άλλά μειώνεται συνεχῶς, δπως ηδη άναφέραμε, γι' αυτό τή συμβολίζομε μέ τό μικρό λατινικό γράμμα i. (Γενικά μεγέθη πού μεταβάλλονται χρονικά τά συμβολίζομε μέ μικρά γράμματα, ένω μεγέθη σταθερά χρονικά τά συμβολίζομε μέ κεφαλαῖα).

Η μείωση τού ρεύματος δφείλεται στήν αδξηση τῆς τάσεως u_C στά άκρα τού πυκνωτῆ, δσο αυδάνει τό φορτίο, πού έχει άποταμιευθεῖ στούς όπλισμούς



Σχ. 13.8α.

του. Όταν ή τάση u_C έξισωθεί μέ τήν άντιθετη πολική τάση U τής πηγῆς σταματά ή ροή τοῦ ρεύματος καί ή φόρτιση τοῦ πυκνωτῆ.

Άντο γίνεται άμεσα άντιληπτό όπό τήν έξισωση (1) πού προκύπτει ύπό τήν έφαρμογή τοῦ 2ου κανόνα τοῦ Kirchhoff στό κύκλωμα τοῦ σχήματος 13.8α.

$$U = u_C + u_R = u_C + iR \quad (1)$$

$$\text{Γιά} \quad U = u_C \quad \text{εἶναι} \quad i = 0 \quad \text{καὶ} \quad u_R = 0 \quad (2)$$

Άντιθετα, άκριβῶς τή χρονική στιγμή πού κλείνεται τό κύκλωμα πηγῆς - πυκνωτῆ, ό πυκνωτής εἶναι ἐντελῶς ἀφόρτιστος καί ή τάση του εἶναι μηδέν ($u_C = 0$). Αρα:

$$U = u_R = IR \quad (3)$$

Μέ I συμβολίζομε τό ρεῦμα πού ρέει τή στιγμή $t = 0$ πού ἀρχίζει ή φόρτιση. Δηλαδή τή χρονική στιγμή $t = 0$ ὀλόκληρη ή τάση U έφαρμόζεται στά ἄκρα τοῦ ώμικου άντιστάτη R . Ο ἀφόρτιστος πυκνωτής δέν παρουσιάζει άντισταση καὶ ἔμφανίζεται νά εἶναι βραχυκυκλωμένος.

Ἡ ἐνταση φορτίσεως i ἀποδεικνύεται δτι μειώνεται ἐκθετικά μέ τό χρόνο σύμφωνα μέ τήν έξισωση.

$$i = I e^{-\frac{t}{T}} = \frac{U}{R} e^{-\frac{t}{T}} \quad (4)$$

Τό ε στόν τύπο (4) εἶναι ή βάση τῶν φυσικῶν η νεπερίων λογαρίθμων ($e = 2,718$). Τό T δονομάζεται σταθερά χρόνου καί εἶναι ἵσο μέ τό γινόμενο τής άντιστάσεως R τοῦ κυκλώματος ἐπί τή χωρητικότητα C τοῦ πυκνωτῆ.

$$T = R \cdot C \quad (5)$$

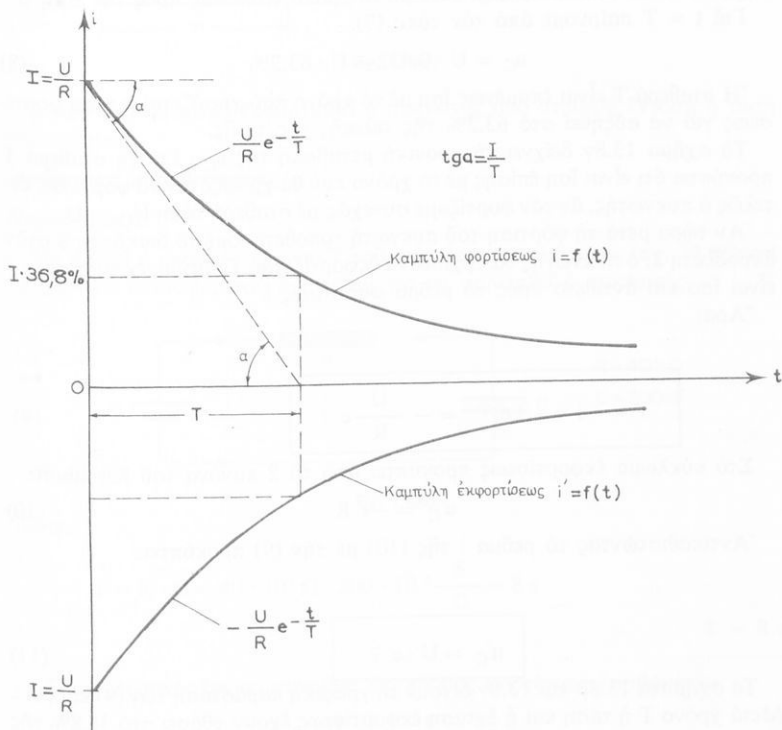
Ἄπο τήν (5) φαίνεται δτι ή σταθερά χρόνου μετριέται σέ s .

$$[T] = [R][C] = \frac{\Omega \cdot s}{\Omega} = s$$

Όταν τύπος (4) δίνει γιά $t = T$

$$i = I e^{-1} = I \cdot 0,368 = I \cdot 36,8\% \quad (6)$$

Άρα ή σταθερά χρόνου T είναι ίση μέτρο τό χρόνο που άπαιτεται γιά νά μειωθεί ή ένταση φορτίσεως στό 36,8% της αρχικής της τιμής. Τό σχήμα 13.8β δίνει τή γραφική παράσταση της έξισώσεως (4). Παρατηρούμε δτι ή έφαπτομένη της καμπύλης στό σημείο $t = 0$, τέμνει τόν ξενονα τοῦ χρόνου στό σημείο $t = T$ γιά τό δόποιο τό ρεύμα φορτίσεως είναι $i = I \cdot 36,8\%$. Από αυτό συνάγομε δτι ή σταθερά χρόνου είναι έπισης ίση μέτρο τό χρόνο, που θά χρειαζόταν νά φορτισθεί έντελως ό πυκνωτής, αν τόν φορτίζαμε συνεχώς μέτρο σταθερή $i = I$.



Σχ. 13.8β.

Από τόν τύπο (4) και τήν καμπύλη προκύπτει δτι ή φόρτιση τοῦ πυκνωτῆ συνεχίζεται θεωρητικά ἐπ' ἄπειρον, γιατί τό ρεῦμα φορτίσεως ί δέν μηδενίζεται ποτέ, δσο μεγάλος κι ἄν γίνει δ χρόνος t , παρ' δλο δτι ή τιμή του γίνεται ἐλάχιστη. Στήν πράξη μποροῦμε νά θεωρήσομε δτι ή φόρτιση σταματᾶ μετά ἀπό χρόνο $t = 4T$ δς $t = 8T$. Συνήθως στούς υπολογισμούς χρησιμοποιοῦμε τήν τιμή $t = 5T$.

Από τήν έξισωση (1) προκύπτει γιά τήν τάση φορτίσεως τοῦ πυκνωτῆ u_C , θστερά ἀπό ἀντικατάσταση τοῦ ρεύματος ι σύμφωνα μέ τό τύπο (4):

$$u_C = (1 - e^{-\frac{t}{T}}) U \quad (7)$$

Παρατηροῦμε δτι ή u_C μεταβάλλεται ἐπίσης ἐκθετικά, δπως τό ρεῦμα ι, ἀλλά ἀντίθετα ἀπό αὐτό, αδξάνεται μέ τό χρόνο τείνοντας πρός τήν τιμή U .

Γιά $t = T$ παίρνομε ἀπό τόν τύπο (7).

$$u_C = U \cdot 0,632 = U \cdot 63,2\% \quad (8)$$

Η σταθερά T είναι ἔπομένως ίση μέ τό χρόνο πού χρειάζεται ή τάση φορτίσεως γιά νά αδξηθεῖ στό 63,2% τής τελικής της τιμῆς.

Τό σχῆμα 13.8γ δείχνει τή χρονική μεταβολή τής u_C . Γιά τή σταθερά T προκύπτει δτι είναι ίση ἐπίσης μέ τό χρόνο πού θά χρειάζοταν νά φορτισθεῖ ἐντελῶς δ πυκνωτής, ἄν τόν φορτίζαμε συνεχῶς μέ σταθερή τάση $U_C = U$.

Άν τώρα μετά τή φόρτιση τοῦ πυκνωτῆ τοποθετήσομε τό διακόπτη S στόν ἀκροδέκτη 2, δ πυκνωτής θά ἀρχίσει νά ἐκφορτίζεται. Τό ρεῦμα ἐκφορτίσεως ί είναι ίσο και ἀντίθετο πρός τό ρεῦμα φορτίσεως ι.

Άρα:

$$\bar{i} = -i = -I e^{-\frac{t}{T}} = -\frac{U}{R} e^{-\frac{t}{T}} \quad (9)$$

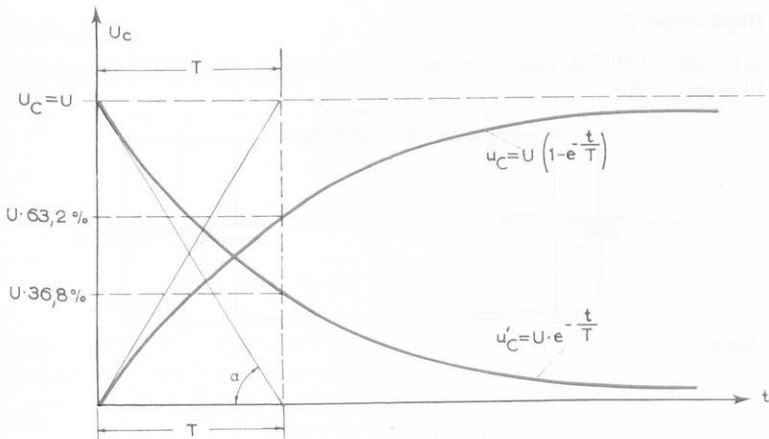
Στό κύκλωμα ἐκφορτίσεως προκύπτει ἀπό τό 2 κανόνα τοῦ Kirchhoff:

$$u'_C = -\bar{i} R \quad (10)$$

Άντικαθιστώντας τό ρεῦμα ι τής (10) μέ τήν (9) προκύπτει:

$$u'_C = U \cdot e^{-\frac{t}{T}} \quad (11)$$

Τά σχήματα 13.8β και 13.8γ δίνουν τή γραφική παράσταση τῶν (9) και (11). Μετά χρόνο T ή τάση και ή ἔνταση ἐκφορτίσεως έχουν φθάσει στό 36,8% τής ἀρχικής τους τιμῆς. Η σταθερά χρόνου T μπορεῖ νά δρισθεῖ ἐπίσης ώς δ χρό-



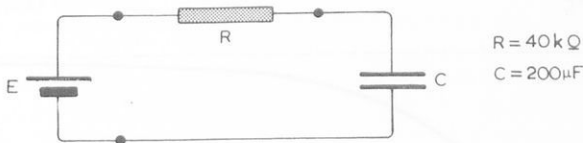
Σχ. 13.8γ.

νος, που άπαιτεται νά έκφορτισθεί ο πυκνωτής ύπό σταθερή ένταση ή τάση έκφορτίσεως.

Άριθμητικά παραδείγματα.

Παράδειγμα 1.

Νά βρεθεί ή σταθερά χρόνου T τού παρακάτω κυκλώματος (σχ. 13.8δ) και τό χρονικό διάστημα που άπαιτεται γιά νά φορτισθεί ο πυκνωτής.



Σχ. 13.8δ.

Αύση.

$$T = R \cdot C = 40 \cdot 10^3 \Omega \cdot 200 \cdot 10^{-6} \frac{\text{S}}{\Omega} = 8 \text{ s}$$

$$\underline{T = 8 \text{ s}}$$

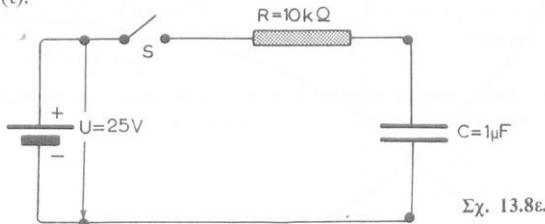
Όπως προαναφέραμε, συνήθως ώς χρόνος φορτίσεως λαμβάνεται:

$$t = 5T = 5 \cdot 8 = 40 \text{ s}$$

$$\underline{t = 40 \text{ s}}$$

Παράδειγμα 2.

Νά σχεδιασθεῖ ή τάση φορτίσεως τοῦ πυκνωτῆ τοῦ παρακάτω σχήματος 13.8e , $u_C = f(t)$.



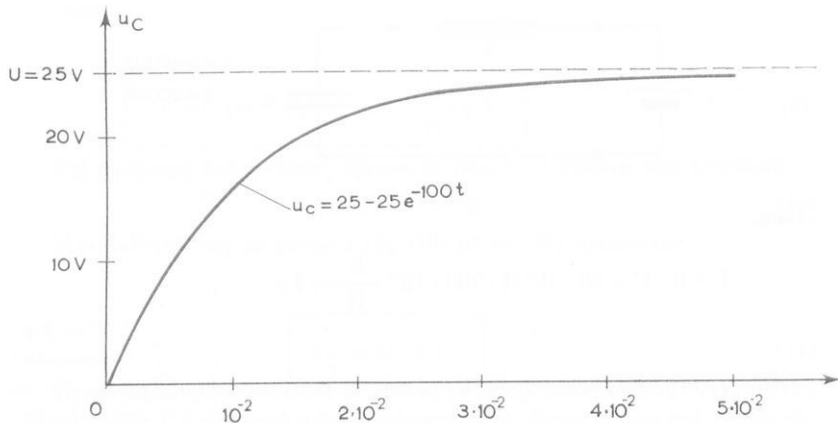
Αύση.

$$u_C = U - U e^{-\frac{t}{T}}$$

$$T = R \cdot C = 10 \cdot 10^3 \Omega \cdot 1 \cdot 10^{-6} \text{ F} = 10^{-2} \text{ s}$$

$$u_C = 25 - 25 e^{-\frac{t}{10^{-2}}} = 25 - 25 e^{-100t}$$

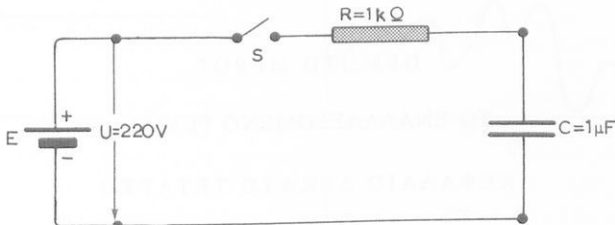
$t[\text{s}]$	0	$0,5T = 0,5 \cdot 10^{-2}$	$1T = 10^{-2}$	$2T = 2 \cdot 10^{-2}$	$3T = 3 \cdot 10^{-2}$	$4T = 4 \cdot 10^{-2}$	$5T = 5 \cdot 10^{-2}$
$u_C [\text{V}]$	0	9,84	15,8	21,6	23,75	24,54	24,83



Σχ. 13.8στ.

Παράδειγμα 3.

Νά σχεδιασθεί ή ένταση φορτίσεως τοῦ πυκνωτῆ τοῦ σχήματος 13.8ζ , $i = f(t)$.



$\Sigma\chi. 13.8\zeta$.

Ανση.

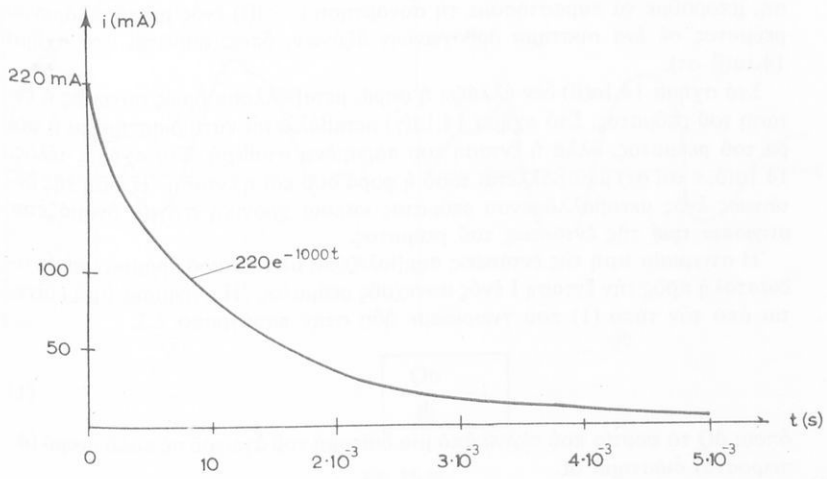
$$i = I e^{-\frac{t}{T}} = \frac{U}{R} e^{-\frac{t}{T}}$$

$$\frac{U}{R} = \frac{220}{1000} = 0,22 \text{ A} = 220 \text{ mA}$$

$$T = R \cdot C = 1000 \cdot 10^{-6} = 10^{-3} \text{ s}$$

$$i = 0,22 e^{-1000 t} \text{ A} = 220 e^{-1000 t} \text{ mA}$$

t [s]	0	$1T = 10^{-3}$	$2T = 2 \cdot 10^{-3}$	$4T = 4 \cdot 10^{-3}$	$5T = 5 \cdot 10^{-3}$
i [mA]	220	81,18	29,8	4	1,48



$\Sigma\chi. 13.8\eta$.

ΠΕΜΠΤΟ ΜΕΡΟΣ

ΤΟ ΕΝΑΛΛΑΣΣΟΜΕΝΟ ΡΕΥΜΑ

ΚΕΦΑΛΑΙΟ ΔΕΚΑΤΟ ΤΕΤΑΡΤΟ

ΠΑΡΑΓΩΓΗ ΕΝΑΛΛΑΣΣΟΜΕΝΟΥ ΡΕΥΜΑΤΟΣ — ΧΑΡΑΚΤΗΡΙΣΤΙΚΕΣ ΤΙΜΕΣ ΚΑΙ ΠΑΡΑΣΤΑΣΗ ΕΝΑΛΛΑΣΣΟΜΕΝΩΝ ΜΕΓΕΘΩΝ

14.1 Μεταβαλλόμενα και έναλλασσόμενα ρεύματα.

Στό πρώτο μέρος του βιβλίου εξαμείνουμε κάνει τή διάκριση μεταξύ συνεχούς και μεταβαλλόμενου ρεύματος:

Τό **συνεχές ρεύμα** ρέει πάντοτε στήν ίδια κατεύθυνση, άπό τό θετικό πρός τόν άρνητικό πόλο τής πηγής (συμβατική φορά του συνεχούς ρεύματος) και έχει σταθερή χρονικά ένταση I. Τό σχήμα 14.1a(a) δείχνει τή συνάρτηση I = f(t).

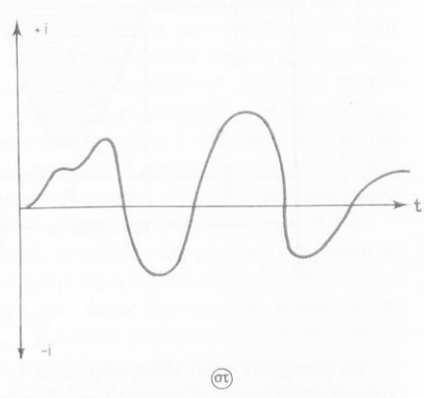
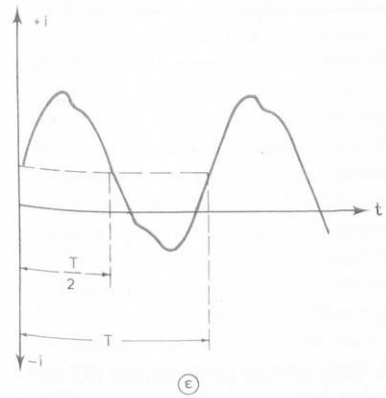
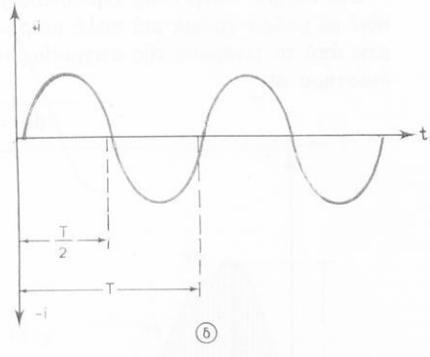
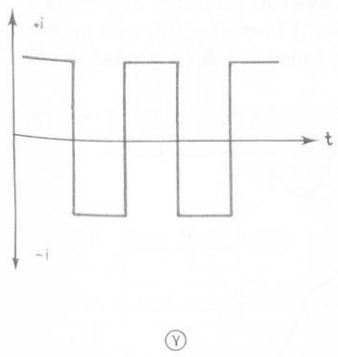
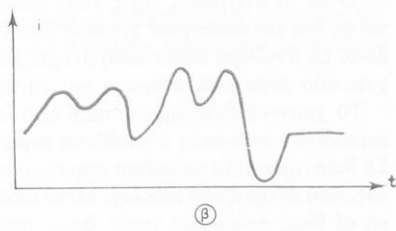
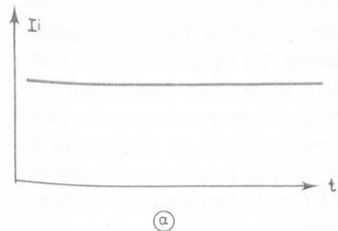
Στό **μεταβαλλόμενο ρεύμα** μεταβάλλεται χρονικά είτε ή ένταση, είτε ή φορά, είτε και τά δύο μαζί. Αν θεωρήσουμε θετικές τις τιμές τής έντασεως i, δταν τό ρεύμα ρέει σέ μια κατεύθυνση και άρνητικές δταν ρέει στήν αντίθετη κατεύθυνση, μπορούμε νά παραστήσουμε τή συνάρτηση i = f(t) ένός μεταβαλλόμενου ρεύματος σέ ένα σύστημα δρθιογνώμων άξονων, δπως φαίνεται στό σχήμα 14.1a(β-στ).

Στό σχήμα 14.1a(β) δέν άλλάζει ή φορά, μεταβάλλεται δμως συνεχῶς ή ένταση του ρεύματος. Στό σχήμα 14.1a(γ) μεταβάλλεται κατά διαστήματα ή φορά του ρεύματος, άλλά ή έντασή του παραμένει σταθερή. Στό σχήμα, τέλος, 14.1a(δ, ε και στ) μεταβάλλεται τόσο ή φορά δσο και ή ένταση. Η τιμή τής έντασεως ένός μεταβαλλόμενου ρεύματος κάποια χρονική στιγμή δνομάζεται στιγμαία τιμή τής έντασεως τού ρεύματος.

Η στιγμαία τιμή τής έντασεως συμβολίζεται μέ τό μικρό γράμμα i σέ άντι διαστολή πρός τήν ένταση I ένός συνεχούς ρεύματος. Η στιγμαία τιμή i δίνεται άπό τόν τύπο (1) πού γνωρίσαμε ηδη στήν παράγραφο 2.3.

$$i = \frac{dQ}{dt} \quad (1)$$

όπου: dQ τό φορτίο πού περνᾶ άπό μία διατομή τού άγωγού σέ πολύ μικρό (άπειροστό) διάστημα dt.



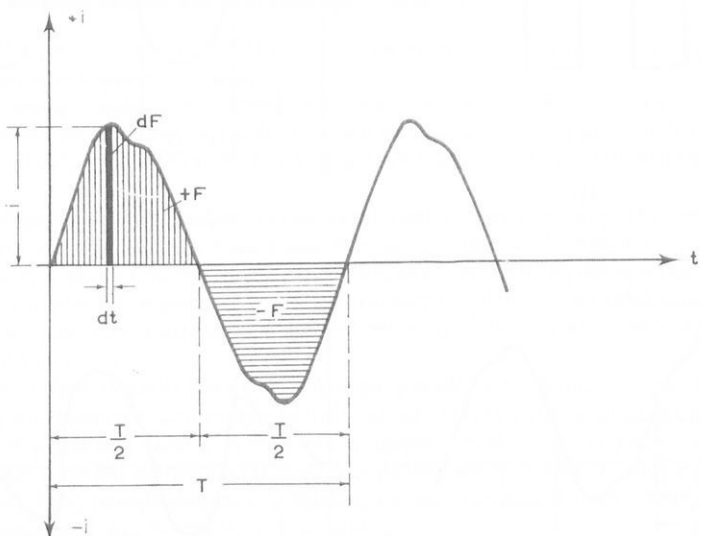
Σχ. 14.1α.

Όταν οι στιγμιαίες τιμές ένός μεταβαλλόμενου ρεύματος έπαναλαμβάνονται σε ίσα και διαδοχικά χρονικά διαστήματα, τότε τό ρεῦμα ονομάζεται **περιοδικό**. Σε άντιθέτη περίπτωση ονομάζεται **άπεριοδικό**. Τό σχήμα 14.1α(δ, ε) δείχνει δύο περιοδικά ρεύματα και τό σχήμα 14.1α(β, στ) δύο άπεριοδικά.

Τό χρονικό διάστημα μεταξύ δύο ίσων διαδοχικών στιγμιαίων τιμών ένός περιοδικού ρεύματος ονομάζεται **περίοδος** και συμβολίζεται μέ τό γράμμα T . Σέ διάστημα μιᾶς περιόδου συμπληρώνεται μιά πλήρης μεταβολή τοῦ ρεύματος, πού ονομάζεται **κύκλος**. Μετά άπο ένα κύκλο έπαναλαμβάνονται διαδοχικά οι ίδιες στιγμιαίες τιμές, δημοσιεύοντας στόν προηγούμενο κύκλο κ.ο.κ.

Στό σχήμα 14.1β ένός περιοδικού μεταβαλλόμενου ρεύματος έχει σχεδιασθεῖ μέ μαῦρο χρῶμα μιᾶς πολὺ μικρής (άπειροστή) έπιφάνεια dF , πού προκύπτει άπο τό γινόμενο τῆς στιγμιαίας τιμῆς τῆς ένάσεως ι επί ένα πολύ μικρό διάστημα dt :

$$dF = idt \quad (2)$$

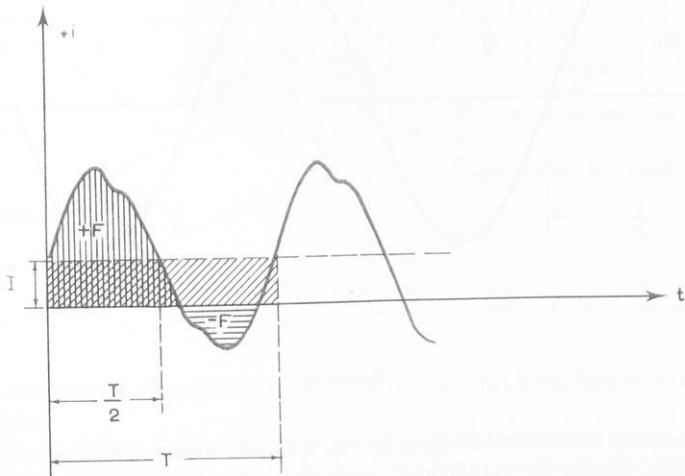


Σχ. 14.1β.

Τό γινόμενο αὐτό είναι σύμφωνα μέ τόν τύπο (1) ίσο μέ τό φορτίο dQ πού μετακινεῖται πρός τή θετική κατεύθυνση σέ χρόνο dt . Άρα δλόκληρη ή κάθετα διαγράμμισμένη έπιφάνεια $+F$ στό θετικό τιμῆμα τοῦ διαγράμματος, πού προκύπτει άπο τήν άθροιση δλων τῶν άπειροστῶν έπιφανειῶν dF , παριστάνει τό δλικό φορτίο $+Q$ πού μετακινεῖται σέ χρόνο $T/2$ πρός τή θετική κατεύθυνση.

Όταν σέ ένα περιοδικό ρεῦμα τό φορτίο $+Q$ πού μετακινεῖται πρός τή θετι-

κή κατεύθυνση (έπιφανεια $+F$) είναι ίσο μέ τό φορτίο $-Q$ που μετακινεῖται πρός τήν άρνητη κατεύθυνση (έπιφανεια $-F$) σέ διάστημα μιᾶς περιόδου, τότε τό ρεῦμα δονομάζεται **έναλλασσόμενο**. Σέ αντίθετη περίπτωση δονομάζεται **μικτό ρεῦμα**.

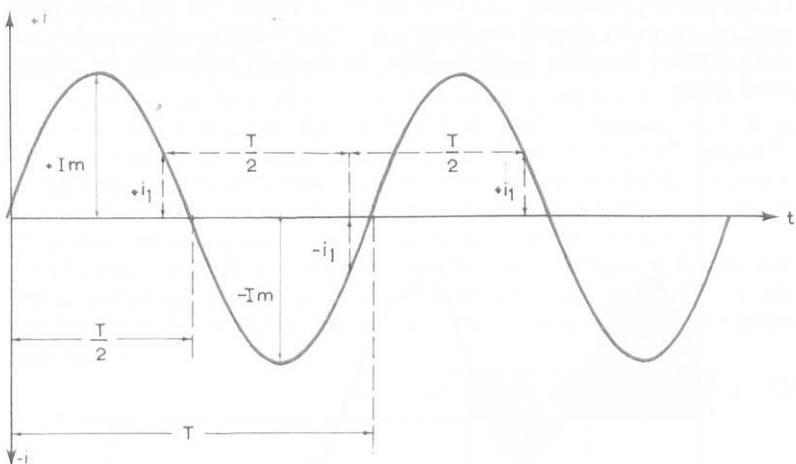


Σχ. 14.1γ.

Τό σχῆμα 14.1β δείχνει ένα έναλλασσόμενο, τό σχῆμα 14.1γ ένα μικτό ρεῦμα. Παρατηροῦμε, δτι στό έναλλασσόμενο ρεῦμα δέν μεταφέρεται συνολικά φορτίο σέ μιά συγκεκριμένη κατεύθυνση, δπως συμβαίνει στό συνεχές ρεῦμα. Αντίθετα, στό μικτό ύπερισχύει τό φορτίο που μεταφέρεται πρός μιά κατεύθυνση, π.χ. τή θετική, δπως στό σχῆμα 14.1γ. Έτσι μποροῦμε νά θεωρήσομε, δτι τό μικτό ρεῦμα άποτελεῖται άπό ένα συνεχές ρεῦμα I, πού ρέει πρός τή μιά κατεύθυνση και άπό ένα έναλλασσόμενο ρεῦμα πού προστίθεται στό συνεχές.

Η πιό σπουδαία μορφή έναλλασσόμενου ρεύματος πού χρησιμοποιεῖται ευρύτατα στήν πράξη είναι τό **ήμιτονικό έναλλασσόμενο ρεῦμα** (σχ. 14.1δ).

Η στιγμιαία τιμή i τού ρεύματος αντού μεταβάλλεται χρονικά σύμφωνα μέ μια ήμιτονική καμπύλη. Ξεκινώντας άπό τήν τιμή μηδέν ανξάνεται ή ένταση i (και ή ταχύτητα ροής τῶν ήλεκτρονίων, πού δπως ξέρομε είναι άναλογη τής έντασεως) μέχρι μιά μέγιστη τιμή $+I_m$. Κατόπιν μειώνεται ή ένταση, ένω τό ρεῦμα έξακολουθεῖ νά ρέει στήν ίδια κατεύθυνση, μέχρις δτου μηδενίζεται. Στή συνέχεια άλλάζει ή φορά τού ρεύματος (τά ήλεκτρόνια κινοῦνται σέ αντίθετη κατεύθυνση) και ή ένταση ανξάνεται στήν κατεύθυνση αυτή μέχρις δτου φθάσει τήν μέγιστη τιμή $-I_m$. Άπό τήν τιμή αυτή μειώνεται πάλι γά νά φθάσει τήν τιμή μηδέν. Έτσι συμπληρώνεται μιά πλήρης μεταβολή τού ρεύματος, δηλαδή ένας **κύκλος**.



Σχ. 14.1δ.

Μετά από ένα κύκλο έπαναλαμβάνεται ή ίδια ήμιτονική μεταβολή πού περιγράφαμε, ώσπου νά συμπληρωθεί ένας νέος κύκλος κ.ο.κ.

Παρατηροῦμε δτι σέ κάθε θετική στιγμιαία τιμή (π.χ. $+i_1$) άντιστοιχεῖ μιά ίση άρνητική, $(-i_1)$, πού έμφανίζεται μετά από χρόνο $T/2$, ένω ή ίδια τιμή (θετική ή άρνητική) έμφανίζεται μετά από χρόνο T .

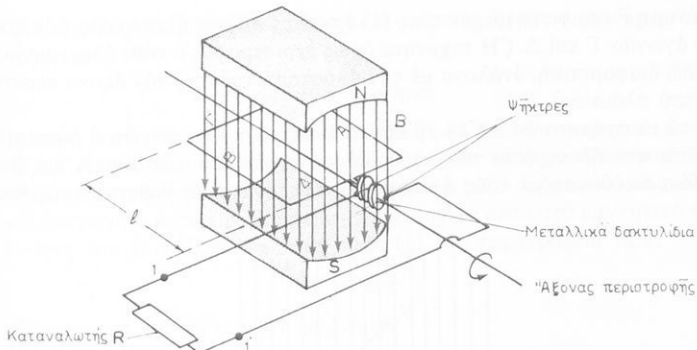
Στή συνέχεια τοῦ βιβλίου αὐτοῦ μέ τόν δρο «**έναλλασσόμενο ρεῦμα**» χαρακτηρίζουμε τό ήμιτονικό έναλλασσόμενο ρεῦμα.

Τό έναλλασσόμενο ρεῦμα παράγεται από ειδικές μηχανές, πού δονομάζονται γεννήτριες έναλλασσόμενου ρεύματος ή έναλλακτήρες.

14.2 Παραγωγή έναλλασσόμενου ρεύματος.

Η παραγωγή έναλλασσόμενου ρεύματος από μιά ήλεκτρική γεννήτρια στηρίζεται στό φαινόμενο τῆς μαγνητικής έπαγωγής πού γνωρίσαμε στήν παράγραφο 10.1. Τό σχήμα 14.2α δείχνει τήν άρχη λειτουργίας μιᾶς γεννήτριας έναλλασσόμενου ρεύματος.

Ένα πηνίο μέ μία σπείρα, πού έχει σχήμα δρθιογώνιου πλαισίου, περιστρέφεται μέ σταθερή γωνιακή ταχύτητα μέσα σέ ένα δόμογενές μαγνητικό πεδίο μέ μαγνητική έπαγωγή B. Τά άκρα τοῦ πηνίου συνδέονται μέ δύο μεταλλικά δακτυλίδια, πού έφαρμόζουν σταθερά πάνω στόν ξενόνα περιστροφῆς μέσω δύο μονωτικῶν δίσκων. Στά μεταλλικά αύτά δακτυλίδια έφάπτονται δύο τεμάχια από ειδικό κάρβουνο ή χαλκό, πού δονομάζονται **ψηκτρες**. Οι ψηκτρες παραμένουν άκινητες καὶ άποτελοῦν τούς πόλοντας τῆς ήλεκτρικῆς διατάξεως. Πάνω σέ



Σχ. 14.2α.

αντές συνδέεται τό εξωτερικό κύκλωμα (ό καταναλωτής), δπως δείχνει τό σχήμα 14.2α.

Όταν τό πλαισίο περιστρέφεται μέσα στό όμογενές μαγνητικό πεδίο, μεταβάλλεται ή μαγνητική ροή πού τό διαπερνά και άναπτύσσεται σέ αντό έπαγωγικό ρεῦμα i. Ή μορφή και ή φορά τοῦ ρεύματος i προσδιορίζονται σύμφωνα μέ σα άναφέραμε στήν παράγραφο 11.1 γιά τήν κίνηση φορτίου σέ μαγνητικό πεδίο. Τά ήλεκτρόνια τοῦ περιστρεφόμενου πλαισίου άποτελοῦν φορτία κινούμενα μέσα στό όμογενές μαγνητικό πεδίο.

Άς εξετάσουμε πρῶτα τούς δύο πλευρικούς άγωγούς A και B τοῦ πλαισίου. Ή γραμμική ταχύτητα περιστροφῆς υ τῶν άγωγῶν εἶναι ταυτόχρονα ή ταχύτητα κάθε ήλεκτρονίου στή φορά περιστροφῆς. Ή διεύθυνση τῆς ταχύτητας αντῆς εἶναι πάντοτε έφαπτομένη στήν κυκλική τροχιά τοῦ πλαισίου και ή φορά της εἶναι ή φορά περιστροφῆς τοῦ πλαισίου. Τό σχήμα 14.2β δείχνει τήν ταχύτητα υ γιά κίνηση τοῦ πλαισίου άντιθετη πρός τήν κίνηση τῶν δεικτῶν τοῦ ρολογιού.

Σέ κάθε ήλεκτρόνιο τῶν άγωγῶν A, B άσκεῖται άπό τό μαγνητικό πεδίο δύναμη \vec{F} πού τό μέτρο της δίνεται άπό τόν τύπο:

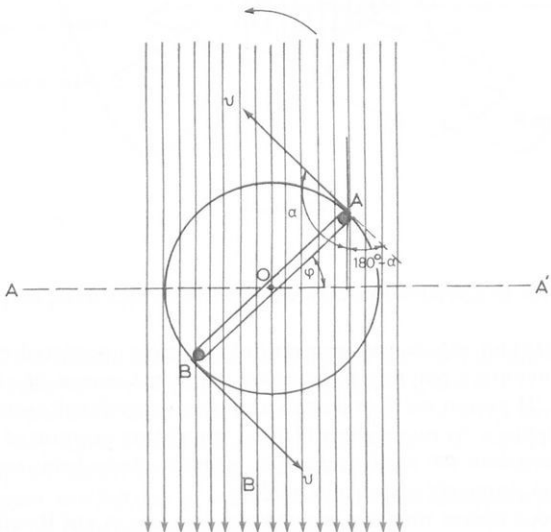
$$F = e \cdot B \cdot v \cdot \text{ημα} \quad (1)$$

δπου: e τό φορτίο τοῦ ήλεκτρονίου και a ή γωνία πού σχηματίζει ή ταχύτητα υ μέ τό μαγνητικό πεδίο B. Τόν τύπο (1) έχομε ηδη γνωρίσει στήν παράγραφο 11.1.

Ή διεύθυνση τῆς δυνάμεως \vec{F} εἶναι κάθετη στό έπίπεδο τῶν \vec{B} και \vec{v} και ή φορά της προκύπτει σύμφωνα μέ τόν κανόνα τοῦ δεξιόστροφου κοχλία ή τόν κανόνα τοῦ άριστεροῦ χεριοῦ.

Δύναμη F σύμφωνα με τόν τύπο (1) άσκεται καί στά ήλεκτρόνια τῶν έγκαρσίων άγωγῶν Γ καί Δ . (H ταχύτητα δμώς περιστροφῆς υ κάθε ήλεκτρονίου είλναι έδοδος διαφορετική, άναλογα με τήν άπόστασή του άπό τόν αξονα περιστροφῆς τοῦ πλαισίου).

Από τά σχήματα 14.2α, 14.2β καί τά άνωτέρω προκύπτει δτι ή δύναμη πού άσκεται στά ήλεκτρόνια τῶν πλευρικῶν άγωγῶν τοῦ πλαισίου A καί B ἔχει τήν ίδια διεύθυνση με τούς άγωγούς αὐτούς, ἐνῶ είναι κάθετη στούς έγκαρ-



Σχ. 14.2β.

σιους άγωγούς Γ, Δ . Αποτέλεσμα είναι τά ήλεκτρόνια τῶν πλευρικῶν άγωγῶν νά κινοῦνται κατά μῆκος τῶν άγωγῶν αὐτῶν κάτω άπό τήν επίδραση τῆς δυνάμεως \vec{F} . Η φορά τους είναι ίδια με τή φορά τῆς \vec{F} σέ κάθε άγωγό. Έτσι δημιουργεῖται στούς πλευρικούς άγωγούς έπαγωγικό ρεῦμα με συμβατική φορά **ἀντίθετη** άπό αὐτή τῶν ήλεκτρονίων, πού προκύπτει με τούς πιο πάνω κανόνες.

Στούς έγκαρσιους άγωγούς δέν δημιουργεῖται έπαγωγικό ρεῦμα έφόσον τά ήλεκτρόνια δέν μποροῦν νά κινηθοῦν κάθετα στούς άγωγούς στή διεύθυνση τῆς δυνάμεως \vec{F} . Μέσα άπό τούς άγωγούς αὐτούς ρέουν δμώς τά έπαγωγικά ρεύματα τῶν πλευρικῶν άγωγῶν.

Στό σχῆμα 14.2β τό πλαισίο έχει στραφεῖ κατά τή γωνία φ , ξεκινώντας άπό τή θέση $A - A'$. Παρατηροῦμε δτι ή γωνία φ είναι ίση με τή γωνία $180^\circ - \alpha$ (οί

πλευρές τῶν δύο γωνιῶν εἶναι κάθετες) καὶ ημφ = ημ $(180^\circ - a)$ = ημα. Ἐφός τοι τὰ δύο γωνία σύμφωνα μέσα στό γεγονός παράγραφο 12.1. Τόποι αὐτό δημιουργεῖται «εξ ἐπαγωγῆς» κατά τὴν περιστροφή τοῦ πηνίου μέσα στό μαγνητικό πεδίο.

Ἐφός τοι τὰ δύο γωνία σύμφωνα μέσα στό γεγονός παράγραφο 12.1. Τόποι αὐτό δημιουργεῖται «εξ ἐπαγωγῆς» κατά τὴν περιστροφή τοῦ πηνίου μέσα στό μαγνητικό πεδίο.

$$F = e \cdot B \cdot u \cdot \eta \mu \quad (2)$$

Ἐφός τοι τὰ δύο γωνία σύμφωνα μέσα στό γεγονός παράγραφο 12.1. Τόποι αὐτό δημιουργεῖται «εξ ἐπαγωγῆς» κατά τὴν περιστροφή τοῦ πηνίου μέσα στό μαγνητικό πεδίο.

$$F = E \cdot e \quad (3)$$

Ἐξισώνοντας τίς (2) καὶ (3) παίρνομε:

$$E = B \cdot u \cdot \eta \mu \quad (4)$$

Ἐξατίας τῆς E ἀνακτύσσεται στά ἄκρα κάθε πλευρικοῦ ἀγωγοῦ A-B τάση u_{AB} , σύμφωνα μέτρον τύπο (4) τῆς παραγράφου 12.6:

$$u_{AB} = E \cdot l \quad (5)$$

ὅπου: l τὸ μῆκος τοῦ πλευρικοῦ ἀγωγοῦ.

Ἡ δύλική τάση u στά ἄκρα τοῦ πλαισίου εἶναι ἵση μέτρο τοῦ ἀθροισματοῦ τῶν δύο τάσεων u_{AB} . Ἐτσι παίρνομε ἀπό τὴν (4) καὶ (5):

$$u = 2B \cdot u \cdot l \cdot \eta \mu \quad (6)$$

Παρατηροῦμε διὰ τοῦτο ότι η τάση u μεταβάλλεται ήμιτονικά σύμφωνα μέτρο τῆς γωνίας περιστροφῆς τοῦ πλαισίου φ (σχ. 14.2γ).

Γιά φ = 0°, 180°, 360°, ὅποτε τό πλαισίο εἶναι κάθετο στίς μαγνητικές γραμμές [σχ. 14.2γ(α,γ,ε)] εἶναι ημφ = 0 καὶ u = 0.

Γιά φ = 90°, ὅποτε τό πλαισίο εἶναι παράλληλο στίς μαγνητικές γραμμές [σχ. 14.2γ(β)] εἶναι ημφ = 1 καὶ

$$u = U_m = 2B \cdot u \cdot l \quad (7)$$

Στή θέση αὐτή η τάση παίρνει τή μέγιστη τιμή της U_m .

Γιά φ = 270° [σχ. 14.2γ(δ)] εἶναι ημφ = -1 καὶ

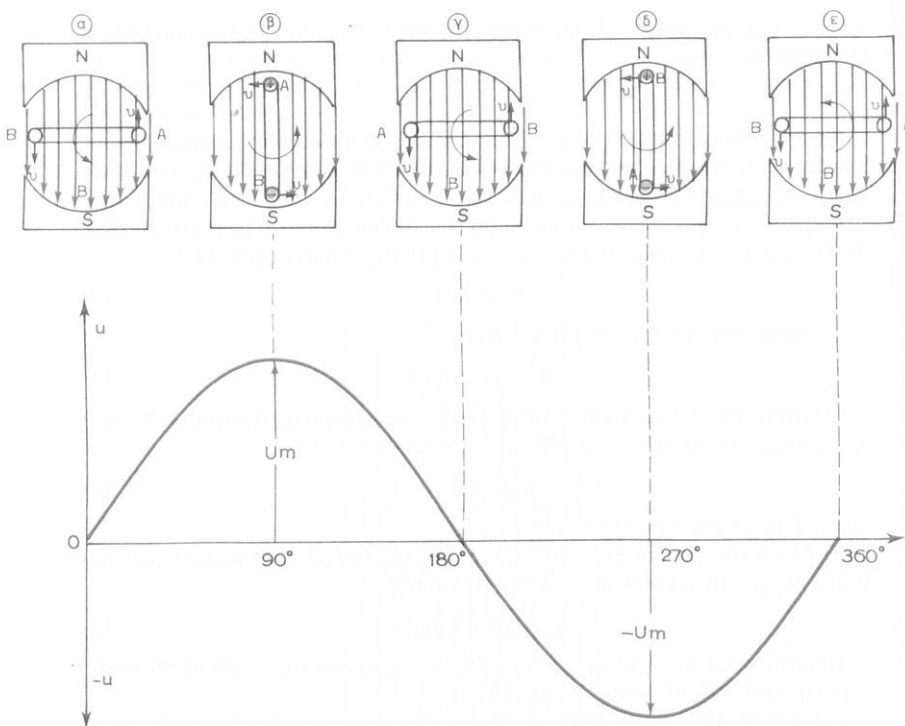
$$u = -U_m = -2B \cdot u \cdot l \quad (8)$$

Στή θέση αὐτή η τάση u ἔχει μέγιστη τιμή, διπολος στή θέση φ = 90°, ἀλλά ἀντίθετη κατεύθυνση.

Ἀπό τίς (6) καὶ (7) προκύπτει:

$$u = U_m \eta \mu \quad (9)$$

Ἡ (9) δίνει τή γενική μορφή τῆς ἑναλλασσόμενης τάσεως πού δημιουργεῖται ἐπαγωγικά στό περιστρεφόμενο πλαισίο.



Σχ. 14.2γ.

Ανάλογα με τήν έναλλασσόμενη τάση u ρέει στό πλαισίο και στόν καταναλωτή R (σχ. 14.2a) έναλλασσόμενο ρεῦμα i , πού έχει τή μορφή:

$$i = I_m \eta \mu \varphi \quad (10)$$

I_m είναι ή **μέγιστη τιμή** πού παίρνει τό ρεῦμα κατά τή μεταβολή του. Ή μέγιστη τιμή ένός έναλλασσόμενου μεγέθους δονομάζεται **έπισης πλάτος** τού μεγέθους.

Στό σχῆμα 14.2γ είναι σημειωμένη ή φορά τοῦ ρεύματος σέ κάθε πλευρικό άγωγό στίς διάφορες θέσεις τοῦ πλαισίου. Κατά τήν περιστροφή τοῦ πλαισίου μεταξύ τῶν θέσεων (a) καί (γ), δόποτε $0^\circ < \varphi < 180^\circ$, δ πλευρικός άγωγός A πού είναι συνδεμένος μέ τήν ψήκτρα 1 (σχ. 14.2a), ἀποτελεῖ τό **θετικό πόλο**, ένδο δ πλευρικός άγωγός B, πού είναι συνδεμένος μέ τήν ψήκτρα 2 ἀποτελεῖ τόν **ἀρνητικό πόλο**. Κατά τήν περιστροφή τοῦ πλαισίου μεταξύ τῶν θέσεων (γ) καί (ε),

όποτε $180^\circ < \varphi < 360^\circ$, ό πλευρικός άγωγός Α άποτελεῖ τόν **άρνητικό πόλο**, ενώ ο άγωγός Β τό **θετικό πόλο**.

Από αυτά γίνεται καὶ διπλικά άμεσα φανερό, διτό τό ρεῦμα πού ρέει σέ ξενά κύκλωμα συνδεμένο στούς πόλους τῆς γεννήτριας εἶναι έναλλασσόμενο.

14.3 Συχνότητα, φάση καὶ κυκλική συχνότητα έναλλασσομένων μεγεθῶν.

Η περίοδος Τ ένός έναλλασσομένου μεγέθους (ρεύματος, τάσεως) εἶναι, δημοσίευσης άναφέραμε προηγουμένως, ό χρόνος στόν όποιο συμπληρώνεται ξενάς κύκλος, δηλαδὴ μιά πλήρης μεταβολή τοῦ μεγέθους. Η περίοδος μετρᾶται σέ δευτερόλεπτα.

Ο άριθμός τῶν κύκλων ἀνά δευτερόλεπτο δονομάζεται συχνότητα f.

Άρα ή συχνότητα δίνεται ἀπό τόν τύπο:

$$f = \frac{1}{T} \quad (1)$$

Μονάδα μετρήσεως τῆς συχνότητας εἶναι τό Herz (Χέρτς) μέ σύμβολο τό Hz.

$$1 \text{ Hz} = \frac{1}{\text{s}} = \text{s}^{-1}$$

Άντιστροφα, γιά τήν περίοδο Τ προκύπτει ἀπό τήν (1):

$$T = \frac{1}{f} \quad (2)$$

Στήν περίπτωση τοῦ στρεφόμενου πλαισίου εἶδαμε διτό ξενάς κύκλος συμπληρώνεται μετά ἀπό μιά πλήρη περιστροφή τοῦ πλαισίου. Άρα ὁ άριθμός τῶν στροφῶν τοῦ πλαισίου η ἀνά δευτερόλεπτο εἶναι ίσος μέ τή συχνότητα f τοῦ έναλλασσομένου ρεύματος, πού δημιουργεῖται.

Ἐφόδον τό πλαισίο περιστρέφεται μέ σταθερή γωνιακή ταχύτητα ω, διαγράφει σέ ίσα χρονικά διαστήματα t ίσες γωνίες περιστροφῆς φ.

Η γωνιακή του ταχύτητα ω, δηλαδὴ ή γωνία πού διαγράφει στή μονάδα τοῦ χρόνου, δίνεται ἀπό τό γνωστό τύπο τῆς Φυσικῆς:

$$\omega = \frac{\varphi}{t} \quad (3)$$

Άρα: $\varphi = \omega t \quad (4)$

Η γωνία φ δονομάζεται πιό εἰδικά **γωνία φάσεως ή φάση** τοῦ έναλλασσομένου μεγέθους. Τό πηλίκο $\omega = \frac{\varphi}{t}$ δίνει ἐπομένως τή μεταβολή (ανξηση) τῆς φάσεως τοῦ μεγέθους στή μονάδα τοῦ χρόνου καὶ δονομάζεται στήν ήλεκτροτεχνία **κυκλική συχνότητα**. Τή γωνία φ μετρᾶμε συνήθως δχι σέ μοιρες, ἀλλά σέ

άκτινα (rad). Όπως είναι γνωστό μιά γωνία φ δίνεται σέ rad άπο τό πηλίκο του τόξου S ένός κύκλου, πού άντιστοιχεῖ στή γωνία φ διά τῆς άκτίνας r του κύκλου:

$$\varphi = \frac{S}{r} \text{ rad}$$

Σέ γωνία φ = 360° άντιστοιχεῖ τόξο 1σο μέ τήν περιφέρεια του κύκλου, δηλαδή 2πr. Άρα γωνία 360° άντιστοιχεῖ σέ:

$$\varphi = \frac{2\pi r}{r} = 2\pi \text{ rad} = 6,28 \text{ rad}$$

και $1 \text{ rad} = \frac{360}{6,28} = 57,295^\circ$

Όταν τό πλαίσιο συμπληρώνει μία πλήρη περιστροφή, έχει διαγράψει γωνία φ = 2π και έχει περάσει χρόνος T. Έπομένως σύμφωνα μέ τίς (3) και (1):

$$\boxed{\omega = \frac{2\pi}{T}} \quad (5)$$

$$\boxed{\omega = 2\pi f} \quad (6)$$

Οι έξισώσεις (9) και (10) τῶν έναλλασσομένων μεγεθῶν τῆς παραγράφου 14.2 γίνονται μέ τίς σχέσεις (4) και (6):

$$u = U_m \text{ ημωτ} = U_m \text{ ημ } 2\pi ft \quad (7)$$

$$i = I_m \text{ ημωτ} = I_m \text{ ημ } 2\pi ft \quad (8)$$

Τό σχῆμα 14.3a(a ὡς δ) δείχνει τίς συναρτήσεις u = f(ωt), u = f(t), i = f(ωt) και i = f(t).

Άριθμητικά παραδείγματα.

Παράδειγμα 1.

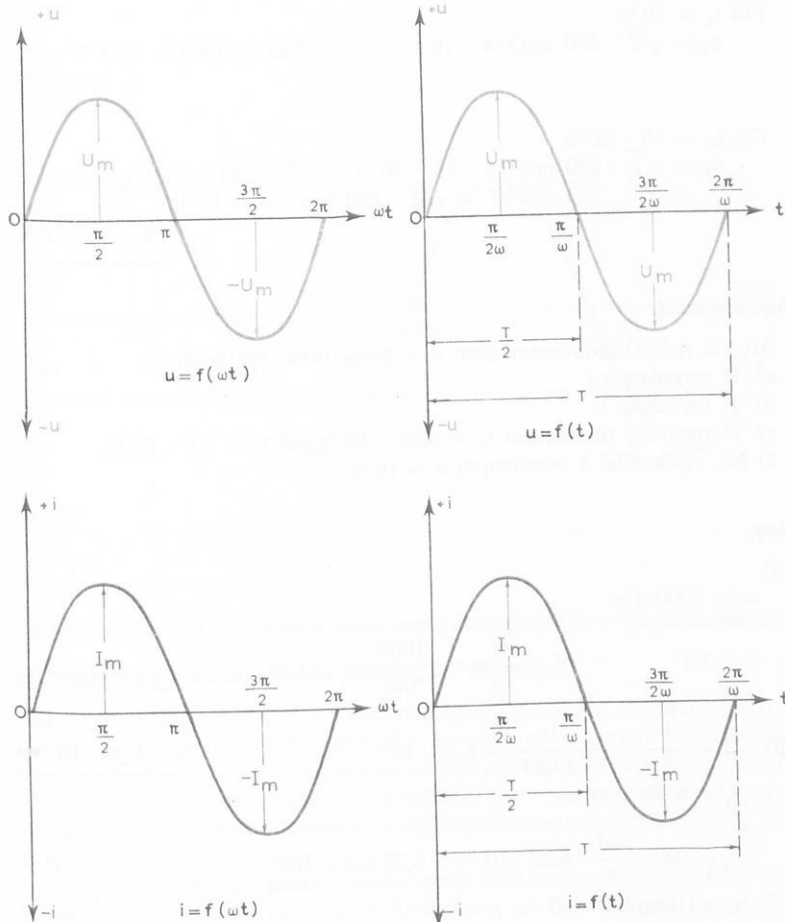
Μία έναλλασσόμενη τάση u = U_m ημωτ έχει μέγιστη τιμή U_m = √2 · 220 V και συχνότητα f = 50 Hz. Νά βρεθοῦν οι στυγματικές τιμές της γιά t₁ = 10⁻²s, t₂ = 10⁻³s, t₃ = 10⁻⁴s και t₄ = 15 · 10⁻³s.

Αύση.

$$\begin{aligned} u &= U_m \text{ ημωτ} \\ U_m &= \sqrt{2} U = \sqrt{2} \cdot 220 \text{ V} \\ \omega &= 2\pi f = 2\pi \cdot 50 = 314 \text{ s}^{-1} \end{aligned}$$

$$\begin{aligned} \text{Γιά } t_1 &= 10^{-2} \text{ s} \\ u_1 &= \sqrt{2} U \text{ ημωτ} = \sqrt{2} \cdot 220 \cdot \text{ημωτ} = \sqrt{2} \cdot 220 \cdot \eta\mu(314 \cdot 10^{-2}) = \\ &= \sqrt{2} \cdot 220 \text{ ημπ} = 0 \end{aligned}$$

$$u_1 = 0$$



Σχ. 14.3.

$$\Gamma \text{ιά } t_2 = 10^{-3} \text{ s}$$

$$u_2 = \sqrt{2} \cdot 220 \text{ ημ}(314 \cdot 10^{-3}) = \sqrt{2} \cdot 220 \cdot \eta\mu(0,314) =$$

$$= \sqrt{2} \cdot 220 \text{ ημ}18^\circ = \sqrt{2} \cdot 220 \cdot 0,309 = 96 \text{ V}$$

$$\underline{u_2 = 96 \text{ V}}$$

$$\text{Γιά } t_3 = 10^{-4} \text{ s}$$

$$u_3 = \sqrt{2} \cdot 220 \text{ ημ}(314 \cdot 10^{-4}) = \sqrt{2} \cdot 220 \text{ ημ}(1,8^\circ) = 9,75 \text{ V}$$

$$u_3 = 9,75 \text{ V}$$

$$\text{Γιά } t_4 = 15 \cdot 10^{-3} \text{ s}$$

$$u_4 = \sqrt{2} \cdot 220 \text{ ημ}(314 \cdot 15 \cdot 10^{-3}) = \sqrt{2} \cdot 220 \text{ ημ}(4,71) =$$

$$= \sqrt{2} \cdot 220 \text{ ημ}270^\circ = \sqrt{2} \cdot 220 (-1) = -311 \text{ V}$$

$$u_4 = -311 \text{ V}$$

Παράδειγμα 2.

Δίνεται ή έναλλασσόμενη τάση $u = 10\text{ημ}1000t$. Νά βρεθοῦν:

a) Ή συχνότητα f .

β) Ή περίοδος T .

γ) Ή τιμή της τάσεως γιά $t_1 = 6,28 \cdot 10^{-3} \text{ s}$ και $t_2 = 1,2 \cdot 10^{-2} \text{ s}$.

δ) Νά σχεδιασθεῖ ή συνάρτηση $u = f(\omega t)$.

Ανση.

a)

$$\omega = 1000 \text{ 1/s}$$

$$\omega = 2\pi f \quad f = \frac{\omega}{2\pi} = \frac{1000}{6,28} = 159,23 \quad f = 159,23 \text{ Hz}$$

$$\beta) \quad T = \frac{1}{f} = \frac{1}{159,23} = 6,28 \cdot 10^{-3} \quad T = 6,28 \cdot 10^{-3} \text{ s}$$

$$\gamma) \quad t_1 = 6,28 \cdot 10^{-3} \text{ s}$$

$$\omega t_1 = 1000 \frac{\text{rad}}{\text{s}} \cdot 6,28 \cdot 10^{-3} \text{ s} = 6,28 \text{ rad} = 360^\circ$$

$$u_1 = 10\text{ημ}360 = 0 \quad u_1 = 0$$

$$t_2 = 1,2 \cdot 10^{-2} \text{ s}$$

$$\omega t_2 = 1000 \cdot 1,2 \cdot 10^{-2} = 12 \text{ rad} = 688^\circ$$

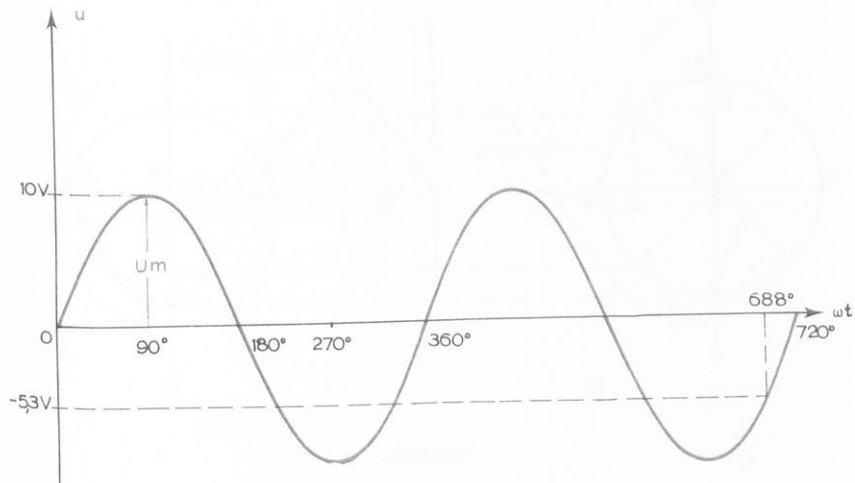
$$u = 10\text{ημ}688 = 10(-0,53) = -5,3 \text{ V}$$

$$u_2 = -5,3 \text{ V}$$

δ) Σχήμα 14.3β

$$U_m = 10 \text{ V}$$

$$U_t = 0 = u_0 = 10 \text{ ημ}0 = 0$$



14.4 Διανυσματική παράσταση έναλλασσομένων μεγεθῶν – Διαφορά φάσεως.

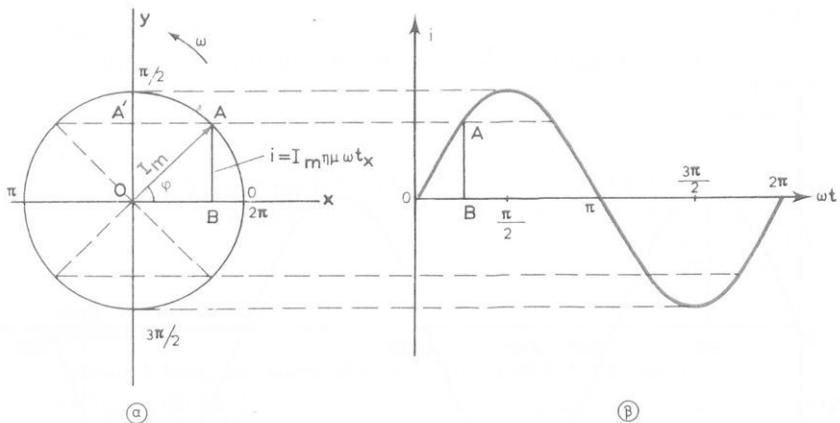
a) Παράσταση έναλλασσόμενου μεγέθους μέ διάνυσμα.

Τή χρονική μεταβολή ένός έναλλασσόμενου μεγέθους παραστήσαμε στά προηγούμενα μέ μιά ήμιτονική καμπύλη. Τό κύριο πλεονέκτημα τής άπεικονίσεως αυτῆς είναι ότι γιά κάθε χρονική στιγμή μποροῦμε νά προσδιορίσουμε άμεσως τήν αντίστοιχη στιγμαία τιμή τοῦ έναλλασσόμενου μεγέθους. Πρακτικά δυμώς παρουσιάζονται δυσκολίες στήν άκριβή γεωμετρική χάραξη τής ήμιτονικής καμπύλης.

Ένας άλλος άπλος τρόπος άπεικονίσεως έναλλασσομένων μεγεθῶν, πού χρησιμοποιεῖται ευρύτατα, είναι ή άπεικόνιση μέ διανύσματα. Στό σχήμα 14.4α έρμηνεύεται ό τρόπος αυτός μέ τή βοήθεια ένός έναλλασσόμενου ρεύματος:

$$i = I_m \eta \mu \omega t \quad (1)$$

Τή μέγιστη τιμή τοῦ ρεύματος I_m παριστάνομε ύπό κλίμακα μέ ένα διάνυσμα ΟΑ σέ ένα σύστημα δρθογωνίων άξόνων x-y. Τό διάνυσμα αυτό δεχόμασθε ότι περιστρέφεται κατά τήν αντίθετη φορά περιστροφῆς τῶν δεικτῶν τοῦ ρολογιοῦ μέ γωνιακή ταχύτητα η μέ τήν κυκλική συχνότητα ω τοῦ ρεύματος.



Σχ. 14.4a.

Αν ή διεύθυνση τοῦ διανύσματος I_m τή χρονική στιγμή $t = 0$ συμπίπτει μέτόν ᾶξονα x , μετά ἀπό χρόνο τ_x θά ἔχει διαγράψει γωνιά $\phi = \omega t_x$ και θά ἔχει ἐλθει στή θέση πού δείχνει τό σχῆμα 14.4a(a). Στή θέση αυτή ή προβολή $A'O = AB$ τοῦ διανύσματος I_m ἐπάνω στόν ᾶξονα y είναι ῖση μέτο I_m ημωτ, δηλαδή ῖση μέτη στιγμαία τιμή τοῦ ρεύματος ί τή χρονική στιγμή τ_x . Άρα γιά νά βροῦμε τή στιγμαία τιμή ένός ἐναλλασσόμενου μεγέθους κάποια χρονική στιγμή ἀρκετ νά τοποθετήσομε τή φάση $\phi = \omega t$ τοῦ μεγέθους ώς πρός τόν ᾶξονα x και νά φέρομε τήν προβολή τοῦ διανύσματος τῆς μέγιστης τιμῆς στόν ᾶξονα y .

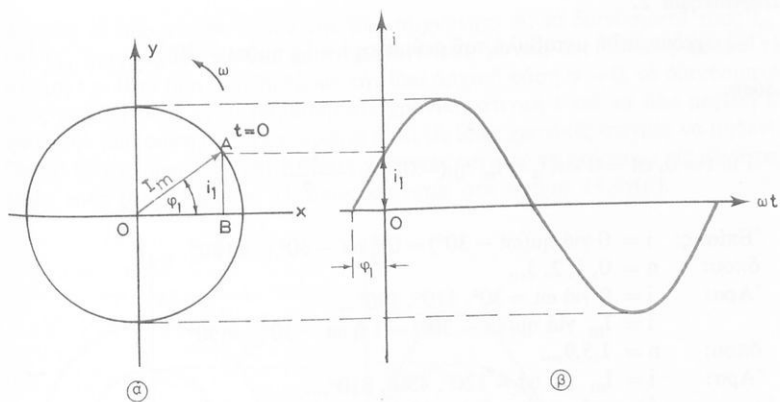
Αν πάρομε τίς προβολές γιά διάφορες φάσεις ωt και τίς τοποθετήσομε σέ ξα σύνστημα ᾶξόνων πάνω ἀπό τίς ἀντίστοιχες φάσεις θά προκύψει ή ήμιτονική καμπύλη, δπως φαίνεται στό σχῆμα 14.4a(β).

β) Έναλλασσόμενο μέγεθος μέ άρχική φάση.

Αν τή χρονική στιγμή $t = 0$, στήν δόποια ἀρχίζει τή μέτρηση τοῦ χρόνου, τό ἐναλλασσόμενο μέγεθος δέν ἔχει τήν τιμή μηδέν ἀλλά κάποια ἄλλη τιμή i_1 , τότε τό διάνυσμα I_m θά σχηματίζει τή στιγμή αυτή κάποια γωνία ϕ_1 μέτόν ᾶξονα x , πού θά ἀντιστοιχει στή στιγμαία τιμή i_1 [σχ. 14.4β(a)]. Η γωνία ϕ_1 δονούμεται **άρχική φάση** τοῦ ἐναλλασσόμενου μεγέθους.

Η μέτρηση τοῦ χρόνου ἀρχίζει ἀπό τήν ἀρχική φάση. Έτσι μετά ἀπό χρόνο t τό διάνυσμα I_m θά ἔχει διαγράψει γωνία ωt και ή φάση ϕ τοῦ ἐναλλασσόμενου μεγέθους θά είναι:

$$\phi = \omega t + \phi_1 \quad (2)$$



Σχ. 14.4β.

Η έξισωση του έναλλασσόμενου μεγέθους στήν περίπτωση αυτή είναι:

$$i = I_m \eta \mu (\omega t + \varphi_1) \quad (3)$$

Παρατηροῦμε διτή ή ήμιτονική καμπύλη είναι μετατοπισμένη ώς πρός τήν άρχη τῶν ἀξόνων (σημεῖο μηδέν) κατά γωνία φ_1 [σχ. 14.4β(β)].

Παράδειγμα 1.

Δίνονται τά έναλλασσόμενα μεγέθη:

$$u = 220\eta \mu (377t + 60^\circ) \text{ και}$$

$$i = 220\eta \mu (100\pi t + 45^\circ).$$

Νά βρεθεῖ ή στιγματιά τιμή τους για $t = 10^{-2}$ s.

Ανση.

$$u = 220\eta \mu (377t + 60^\circ)$$

$$\omega t = 377t = 377 \cdot 10^{-2} = 3,77 \text{ rad} = 216^\circ$$

$$u = 220\eta \mu (216 + 60) = 220\eta \mu 276^\circ$$

$$u = 220(-0,9945) = -218,8 \text{ V}$$

$$u = -218,8 \text{ V}$$

$$i = 220\eta \mu (100\pi t + 45^\circ)$$

$$\omega t = 100\pi t = 100\pi \cdot 10^{-2} = \pi = 180^\circ$$

$$i = 220\eta \mu (180 + 45^\circ) = 220\eta \mu (225^\circ)$$

$$i = 220(-0,707) = -155,5 \text{ V}$$

$$i = -155,5 \text{ V}$$

Παράδειγμα 2.

Νά σχεδιασθεῖ ή μεταβολή τοῦ ρεύματος $i = I_m \eta\mu(\omega t - 30^\circ)$.

Ανση.

$$\text{Για } t = 0, \omega t = 0 \text{ καὶ } i_0 = I_m \eta\mu(-30^\circ) = -\frac{I_m}{2}$$

Έπισης: $i = 0$ γιά $\eta\mu(\omega t - 30^\circ) = 0$ η $\omega t - 30^\circ = n180^\circ$

δηπου: $n = 0, 1, 2, 3\dots$

Άρα: $i = 0$ γιά $\omega t = 30^\circ, 210^\circ, 390^\circ\dots$

$$i = I_m \text{ γιά } \eta\mu(\omega t - 30^\circ) = 1 \text{ η } \omega t - 30^\circ = n90^\circ$$

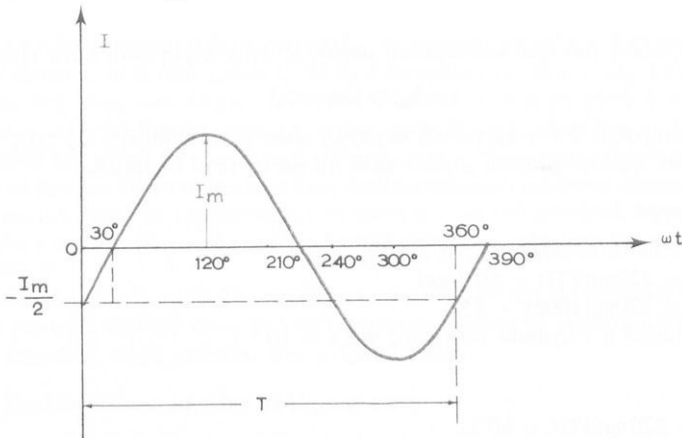
δηπου: $n = 1, 5, 9\dots$

Άρα: $i = I_m \text{ γιά } \omega t = 120^\circ, 450^\circ, 810^\circ\dots$

$$i = -I_m \text{ γιά } \eta\mu(\omega t - 30^\circ) = -1 \text{ η } \omega t - 30^\circ = n90^\circ$$

δηπου: $n = 3, 7, 11\dots$

Άρα: $i = -I_m \text{ γιά } \omega t = 300^\circ, 660^\circ, 930^\circ, 1020^\circ$.



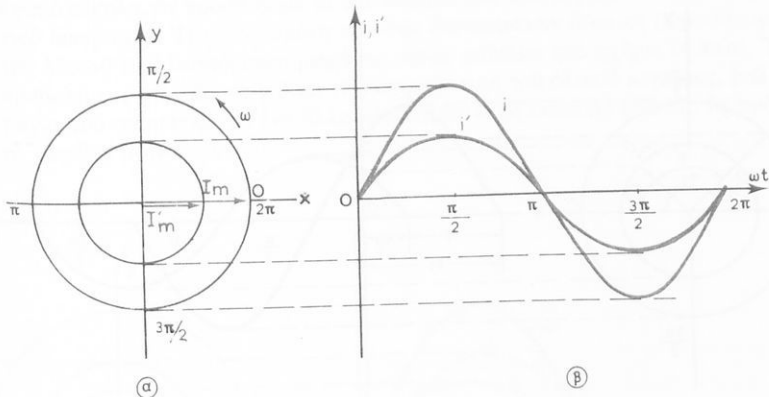
γ) Έναλλασσόμενα μεγέθη σε φάση.

Έστω τώρα διτί έκτος άπό τό ρεῦμα τῆς έξισώσεως (1), έχομε καὶ ένα δεύτερο έναλλασσόμενο ρεῦμα μέτρη τήν έξισωση:

$$i' = I'_m \eta\mu\omega t \quad (4)$$

Τό μέγεθος αυτό μποροῦμε νά τό παραστήσουμε έπισης μέτρη ένα στρεφόμενο διάνυσμα I'_m στό ίδιο σύστημα άξόνων x-y, δπως καὶ τό i [σχ. 14.4γ(α)].

Έπειδή τά δύο μεγέθη έχουν τήν ίδια συχνότητα ω, τά διανύσματά τους I_m και I'_m διαγράφουν σέ ίσα διαστήματα τη στιγμή $t = 0$ τά δύο μεγέθη έχουν τήν ίδια άρχική φάση $\varphi = 0$, τά διανύσματά τους συμπίπτουν. Έτσι όποιαδήποτε χρονική στιγμή t και τά δύο μεγέθη έχουν τήν ίδια φάση ω. Αποτέλεσμα είναι τίς ίδιες χρονικές στιγμές νά παίρνουν τίς μέγιστες τιμές τους (δταν $\eta\omega t = 0$) και τίς ίδιες χρονικές στιγμές νά παίρνουν τίς μέγιστες τιμές τους (δταν $\eta\omega t = 1$), δημοσιεύεται στό σχήμα 14.4γ(β).



Σχ. 14.4γ.

Αν τή χρονική στιγμή $t = 0$ τά δύο αυτά μεγέθη έχουν τήν ίδια άρχική φάση φ_1 , πάλι τά διανύσματά τους θά συμπίπτουν και πάλι τίς ίδιες χρονικές στιγμές θά παίρνουν τίς μηδενικές και τίς μέγιστες τιμές τους.

Δύο έναλλασσόμενα μεγέθη, που έχουν τήν ίδια φάση σε όποιαδήποτε χρονική στιγμή, λέμε στι βρίσκονται σε φάση.

δ) Έναλλασσόμενα μεγέθη μέ διαφορά φάσεως.

Έστω τώρα δτι τά δύο ρεύματα έχουν διαφορετικές άρχικες φάσεις φ_1 , φ_2 , δηλαδή δίνονται άπό τίς έξισώσεις:

$$i = I_m \eta\mu(\omega t + \varphi_1) \quad (5)$$

και

$$i' = I'_m \eta\mu(\omega t + \varphi_2)$$

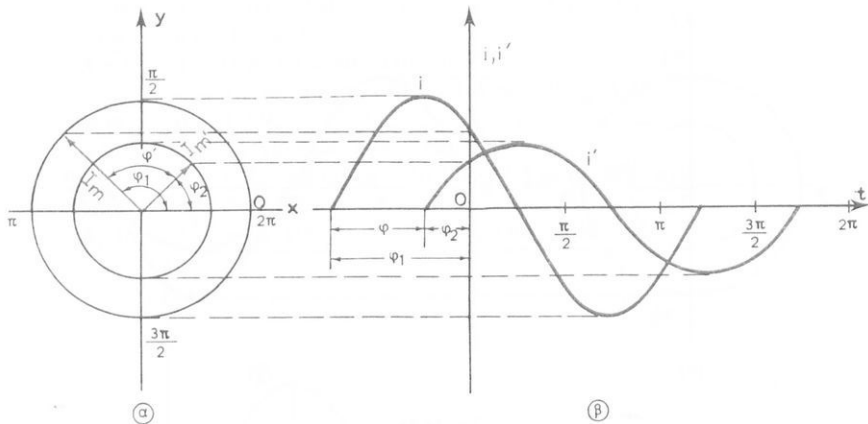
δημοσιεύεται

$$\varphi_1 > \varphi_2$$

Όπως βλέπομε στό σχήμα 14.4δ (α) τά διανύσματα I_m , I'_m άπέχουν μεταξύ τους κατά τή γωνία:

$$\varphi' = \varphi_1 - \varphi_2 \quad (6)$$

Έπειδή τά μεγέθη έχουν τήν ίδια συχνότητα ω, σε ίσους χρόνους διαγράφουν ίσες γωνίες ω και ή γωνία φ' παραμένει άμετάβλητη κατά τήν περιστροφή τῶν διανυσμάτων. Έτσι πάντοτε τό διάνυσμα I_m προηγεῖται και τό διάνυσμα Γ_m ἀκολουθεῖ. Αποτέλεσμα εἶναι τό μέγεθος ι νά παίρνει τίς μηδενικές και τίς μέγιστες τιμές του πάντοτε νωρίτερα ἀπό τό μέγεθος ι' κατά τή γωνία φ', δπως φαίνεται ἀπό τίς ήμιτονικές καμπύλες τῶν δύο μεγεθῶν στό σχῆμα 14.46(β).



Σχ. 14.46.

Δύο έναλλασσόμενα μεγέθη πού έχουν διαφορετική άρχικη φάση με ἀποτέλεσμα νά παίρνουν τίς μέγιστες και ἐλάχιστες τιμές τους σέ διαφορετικές χρονικές στιγμές, λέμε δτι παρουσιάζουν διαφορά φάσεως.

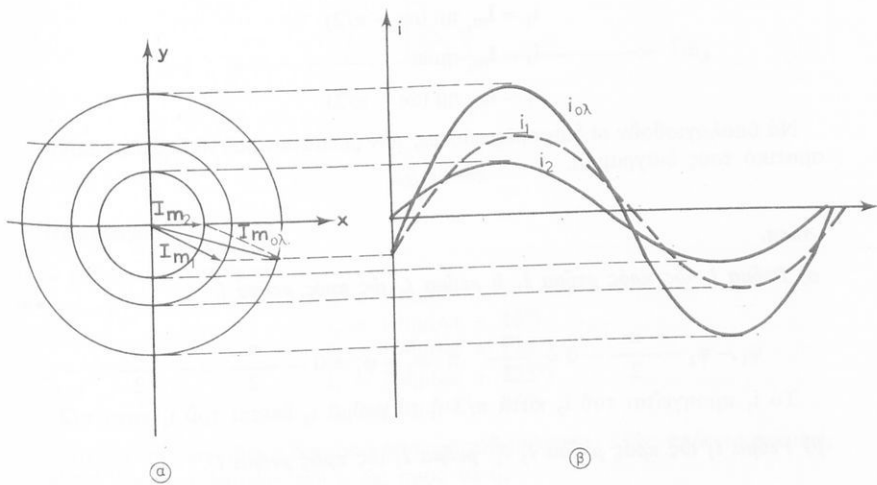
Ή διαφορά φάσεως καθορίζει τή θέση ένός μεγέθους ως πρός ένα ἄλλο μέγεθος και βρίσκεται ἀν ἀφαιρέσομε τήν άρχική φάση τοῦ ένός μεγέθους ἀπό τήν άρχική φάση τοῦ ἄλλου. Άν τό ἀποτέλεσμα εἶναι θετικό (θετική διαφορά φάσεως) τό μέγεθος πού ή φάση του εἶναι δ ἀφαιρετέος προηγεῖται τοῦ ἄλλου μεγέθους. Σέ ἀντίθετη περίπτωση (άρνητική διαφορά φάσεως) τό μέγεθος αὐτό ἔπειται τοῦ ἄλλου μεγέθους.

ε) Διανυσματικό διάγραμμα – Πρόσθεση έναλλασσομένων μεγεθῶν.

Μέ τόν ίδιο τρόπο πού παραστήσαμε μέ διανύσματα δύο έναλλασσόμενα μεγέθη, μποροῦμε νά παραστήσομε στό ίδιο σύστημα ἀξόνων διαδήποτε έναλλασσόμενα μεγέθη, μέ τήν προϋπόθεση δτι έχουν τήν ίδια συχνότητα. Έτσι προκύπτει ένα διάγραμμα πού δνομάζεται **διανυσματικό διάγραμμα**.

Από τό διανυσματικό διάγραμμα μποροῦμε νά προσδιορίσουμε τή διαφορά φάσεως ένός μεγέθους ώς πρός ένα άλλο μέγεθος μετρώντας τή γωνία μεταξύ τους. Έπίσης μποροῦμε νά προσδιορίσουμε τή στιγμιαία τιμή δποιουδήποτε μεγέθους, βρίσκοντας τήν προβολή του στόν άξονα y.

"Αν θέλομε νά **προσθέσουμε** δύο δμοειδή έναλλασσόμενα μεγέθη, π.χ. δύο ρεύματα $i_1 = I_m \cdot \eta_{\mu}(\omega t - \phi)$ και $i_2 = I_m \cdot \eta_{\mu}(\omega t - \phi)$ και νά βροῦμε τό δλικό ρεύμα i_3 , θά πρέπει νά προσθέσουμε τίς άντιστοιχες στιγμιαίες τιμές τους, δπως φαίνεται στό σχήμα 14.4ε(β). Τήν πρόσθεση αυτή μποροῦμε δμως νά κάνομε πολύ πιό εύκολα, άν προσθέσουμε τά διανύσματα τῶν δύο μεγεθῶν στό διανυσματικό διάγραμμα. Ή συνισταμένη τῶν δύο διανυσμάτων δίνει τή μέγιστη τιμή τοῦ δλικοῦ έναλλασσόμενου μεγέθους, δπως φαίνεται στό σχήμα 14.4ε(α). Ή προβολή της στόν άξονα y δίνει τή στιγμιαία τιμή τοῦ δλικοῦ μεγέθους, ένω ή γωνία πού σχηματίζει μέ ένα άλλο μέγεθος δίνει τή διαφορά φάσεως ώς πρός τό μέγεθος αυτό.



Σχ. 14.4ε.

Στήν πράξη δέν ένδιαφέρουν οι στιγμιαίες τιμές τῶν έναλλασσομένων μεγεθῶν, δπως θά γνωρίσουμε στήν έπόμενη παράγραφο. Γι' αυτό παραλείπομε συνήθως στό διανυσματικό διάγραμμα τό σύστημα τῶν άξόνων x-y και σχεδιάζο-

με μόνο τά διανύσματα μέ τίς διαφορές φάσεως μεταξύ τους.

Στήν περίπτωση αυτή ξεκινάμε άπό ένα διάνυσμα, που έκλεγομε αυθαίρετα τή θέση του, και γράφομε τά ύπόλοιπα διανύσματα σύμφωνα μέ τή διαφορά φάσεως που παρουσιάζουν ώς πρός αυτό τό διάνυσμα ή ώς πρός ένα άλλο διάνυσμα, που ηδη έχομε τοποθετήσει στό διάγραμμα.

Θετικές διαφορές φάσεως διανυσμάτων πού προπορεύονται, σημειώνομε σέ άντιθετη κατεύθυνση άπό αυτή τῶν δεικτῶν τοῦ ρολογιοῦ, άρνητικές διαφορές φάσεως διανυσμάτων πού ξπονται, στήν κατεύθυνση αυτή. Τή φορά στήν δ-ποία ένα διάνυσμα προπορεύεται (άντιθετη φορά τῶν δεικτῶν τοῦ ρολογιοῦ) σημειώνομε στό διάγραμμα μέ ένα βέλος.

Άριθμητικά παραδείγματα.

Παράδειγμα 1.

Δίνονται 3 ρεύματα μέ τίς έξισώσεις:

$$i_1 = I_{m_1} \eta \mu (\omega t + \pi/2)$$

$$i_2 = I_{m_2} \eta \mu \omega t$$

$$i_3 = I_{m_3} \eta \mu (\omega t - \pi/2)$$

Νά ύπολογισθοῦν οι διαφορές φάσεως τῶν ρευμάτων και νά δοθεῖ τό διανυσματικό τους διάγραμμα.

Αύση.

a) *Ρεῦμα i_1 ώς πρός ρεῦμα i_2 ή ρεῦμα i_2 ώς πρός ρεῦμα i_1 .*

$$\varphi_1 - \varphi_2 = \frac{\pi}{2} - 0 = \frac{\pi}{2} \quad \text{ή} \quad \varphi_2 - \varphi_1 = 0 - \frac{\pi}{2} = -\frac{\pi}{2}$$

Τό i_1 προηγεῖται τοῦ i_2 κατά $\pi/2$ ή τό ρεῦμα i_2 ξπεται τοῦ i_1 κατά $\pi/2$.

b) *Ρεῦμα i_1 ώς πρός ρεῦμα i_3 ή ρεῦμα i_3 ώς πρός ρεῦμα i_1 .*

$$\varphi_1 - \varphi_3 = \frac{\pi}{2} - (-\frac{\pi}{2}) = \pi \quad \text{ή} \quad \varphi_3 - \varphi_1 = -\frac{\pi}{2} - \frac{\pi}{2} = -\pi$$

Τό i_1 προηγεῖται τοῦ i_3 κατά π ή τό i_3 ξπεται τοῦ i_1 κατά π .

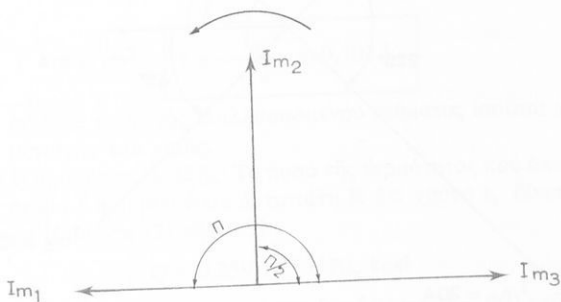
c) *Ρεῦμα i_2 ώς πρός ρεῦμα i_3 ή ρεῦμα i_3 ώς πρός ρεῦμα i_2 .*

$$\varphi_2 - \varphi_3 = 0 - (-\frac{\pi}{2}) = \frac{\pi}{2} \quad \text{ή} \quad \varphi_3 - \varphi_2 = -\frac{\pi}{2} - 0 = -\frac{\pi}{2}$$

Τό i_2 προηγεῖται τοῦ i_3 κατά $\pi/2$ ή τό i_3 ἔπειται τοῦ i_2 κατά $\pi/2$.

Διανυσματικό διάγραμμα.

Γιά τήν κατασκευή τοῦ διαγράμματος μποροῦμε νά ἐκλέξουμε δύοιοδήποτε ἀπό τά 3 ρεύματα ώς ρεῦμα ἀναφορᾶς. Στό σχῆμα 14.4στ εἶχομε ἐκλέξει αὐθαίρετα τό i_3 .



Σχ. 14.4στ.

Παράδειγμα 2.

Δίνονται τά ρεύματα:

$$i_1 = 10\text{ημωτ}$$

$$i_2 = 10\text{ημ}(\omega t + 45^\circ)$$

$$i_3 = 10\text{ημ}(\omega t + 135^\circ)$$

$$i_4 = 20\text{ημ}(\omega t + 225^\circ)$$

$$i_5 = 15\text{ημ}(\omega t - 45^\circ)$$

α) Νά ύπολογισθεῖ ή διαφορά φάσεως τοῦ ρεύματος i_2 ώς πρός τό ρεῦμα i_4 καί ή διαφορά φάσεως τοῦ i_4 ώς πρός τό i_5 .

β) Νά δοθεῖ τό διανυσματικό διάγραμμα τῶν ρευμάτων.

Αύση.

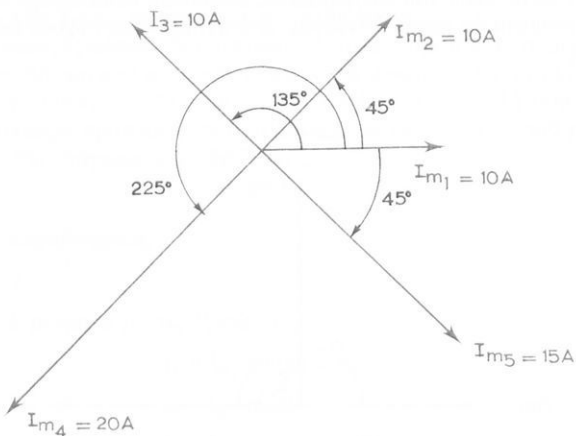
$$\alpha) \varphi_2 - \varphi_4 = 45 - 225 = -180^\circ$$

Τό ρεῦμα i_2 ἔπειται τοῦ i_4 κατά 180° ή τό ρεῦμα i_4 προηγεῖται τοῦ i_2 κατά 180° .

$$\varphi_4 - \varphi_5 = 225 - (-45) = 270^\circ$$

Τό ρεῦμα i_4 προηγεῖται τοῦ i_5 κατά 270° ή τό ρεῦμα i_5 ἔπειται τοῦ i_4 κατά 270° .

β) Διανυσματικό διάγραμμα (σχ. 14.4ζ).



Σχ. 14.4ζ.

14.5 Ένεργός τιμή έναλλασσομένων μεγεθῶν.

Έπειδή ή στιγμαία τιμή ένός έναλλασσομένου ρεύματος μεταβάλλεται συνεχῶς, δέν μποροῦμε στήν πράξη νά έκτιψομε ποσοτικά τό έναλλασσόμενο ρεῦμα άπό τή στιγμαία τιμή του δπως κάνομε στό συνεχές ρεῦμα. Γιά τόν ποσοτικό χαρακτηρισμό ένός έναλλασσομένου ρεύματος χρειαζόμασθε ένα σταθερό χρονικά μέγεθος, πού νά μετρᾶται εύκολα και νά έκφραζε τήν δλική συμπεριφορά του ρεύματος. Ένα τέτοιο μέγεθος είναι ή **ένεργος τιμή**, πού προσδιορίζεται άπό τά θερμικά άποτελέσματα τοῦ έναλλασσομένου ρεύματος.

Ένα έναλλασσόμενο ρεῦμα πού ρέει μέσα άπό ένα ώμικό άντιστάτη, δημιουργεῖ θερμότητα, δπως ένα συνεχές ρεῦμα. Έτσι μποροῦμε νά συγκρίνομε τήν ένταση και τήν τάση ένός έναλλασσομένου ρεύματος μέ τήν ένταση και τάση ένός συνεχοῦς ρεύματος, σύμφωνα μέ τή θερμότητα πού παράγουν τά δύο ρεύματα. Διακρίνομε λοιπόν ένεργο τιμή έντάσεως και ένεργο τιμή τάσεως.

a) Ένεργός τιμή έντάσεως.

Όριζομε δτι:

Ένεργος τιμή της έντασεως ένός έναλλασσόμενου ρεύματος είναι η ένταση ένος (ίσοδύναμου) συνεχούς ρεύματος, που δταν διαρρέει ένα ώμικό άντιστάτη γιά δρισμένο χρονικό διάστημα, παράγει τό ίδιο ποσό θερμότητας με τό έναλλασσόμενο ρεῦμα, δταν αυτό διαρρέει τόν ίδιο άντιστάτη στό ίδιο χρονικό διάστημα.

Τήν ένεργο τιμή της έντασεως τού έναλλασσόμενου ρεύματος συμβολίζομε μέ τό γράμμα I.

Μεταξύ της ένεργου τιμῆς I και της μέγιστης τιμῆς I_m ένές έναλλασσόμενου ρεύματος ίσχυει ή σχέση:

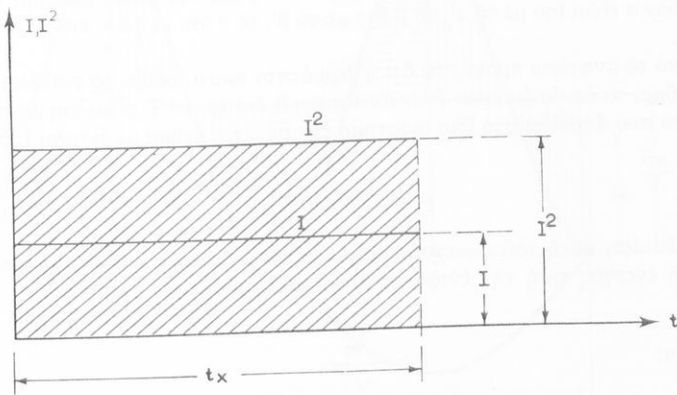
$$I = \frac{I_m}{\sqrt{2}} = 0,707 I_m \quad (1)$$

Δηλαδή ή ένεργος τιμή ένος έναλλασσόμενου ρεύματος ίσουται μέ τό 70% περίπου της μέγιστης του τιμῆς.

Η σχέση (1) προκύπτει ως έξης: Τό ποσό της θερμότητας πού δποδίδεται δταν συνεχές ρεῦμα I διαρρέει έναν άντιστάτη R έπι χρόνο t_x δίνεται δπό τό νόμο τού Joule [έξισωση (2) της 6.5]:

$$Q = 0,239 \cdot 10^{-3} I^2 R t_x \text{ kcal} \quad (2)$$

Τό σχῆμα 14.5a δείχνει τίς συναρτήσεις $I = f(t)$ και $I^2 = f(t)$ τού συνεχούς ρεύματος. Τό έμβαδό τού διαγραμμισμένου δρθογώνιου παραλληλόγραμμου προκύπτει άπό τό γινόμενο $I^2 t_x$ και είναι άνάλογο τού ποσού θερμότητας Q σύμφωνα μέ τήν έξισωση (2).



Σχ. 14.5a.

Στό έναλλασσόμενο ρεῦμα ίσχυει έπισης δ νόμος τού Joule. Έπειδή δμως ή ένταση i μεταβάλλεται συνεχῶς έπιτρέπεται νά έφαρμόσομε τή σχέση (2) μόνο

γιά ενα πολύ μικρό χρονικό διάστημα dt , μέσα στό όποιο ή ένταση ή μπορεῖ νά θεωρηθεῖ σταθερή. Στό διάστημα αυτό άναπτύσσεται ποσό θερμότητας dQ και ίσχυει ή σχέση:

$$dQ = 0,239 \cdot 10^{-3} i^2 R dt \quad (3)$$

Τό σχήμα 14.5β(α) δείχνει τίς συναρτήσεις $i = f(t)$ και $i^2 = f(t)$ τοῦ έναλλασσόμενου ρεύματος. Έπειδή ή συνάρτηση $i^2 = f(t)$ προκύπτει άπό τήν ίψωση στό τετράγωνο κάθε στιγμαίας τιμῆς τής συναρτήσεως $i = f(t)$, δλες οἱ τιμές της είναι θετικές.

Ή πολύ μικρή έπιφάνεια dF πού είναι έντονα σχεδιασμένη στό σχήμα 14.5β(α) προκύπτει άπό τό γινόμενο $i^2 dt$ και σύμφωνα μέ τόν τύπο (3) είναι άναλογη τής θερμότητας dQ πού άναπτύσσεται στόν άντιστάτη R σέ χρόνο dt . Παρατηρούμε δτι άναλογα μέ τήν τιμή i^2 μεταβάλλεται κάθε χρονική στιγμή ή έπιφάνεια dF και ή παραγόμενη θερμότητα dQ .

Άν άθροισμε δλες τίς έλάχιστες έπιφάνειες dF σέ διάστημα μιᾶς περιόδου θά πάρομε τή διαγραμμισμένη έπιφάνεια κάτω άπό τήν καμπύλη i^2 [σχ. 14.5β(α)]. Ή έπιφάνεια αυτή είναι άναλογη πρός τό δόλικό ποσό θερμότητας Q πού παράγεται άπό τό έναλλασσόμενο ρεῦμα στόν άντιστάτη R σέ μιά περίοδο.

Τήν έπιφάνεια F μπορούμε νά άντικαταστήσουμε μέ μιά ίση έπιφάνεια ένός δρθιογώνιου παραλληλόγραμμου μέ βάση T και ίψοις $\frac{I^2 m}{2}$. Ή ίσότητα τῶν δύο έπιφανειῶν γίνεται φανερή άπό τό σχήμα 14.5β(β), στό όποιο βλέπομε δτι τό έμβαδόν a είναι ίσο μέ τό a' , τό b ίσο μέ τό b' , τό $γ$ ίσο μέ τό $γ'$ και τό $δ$ ίσο μέ τό $δ'$.

Άπο τό άνωτέρω προκύπτει δτι ή θερμότητα πού άποδίδει τό έναλλασσόμενο ρεῦμα, τό όποιο διαρρέει έναν άντιστάτη R έπι χρόνο T , είναι ίση μέ τή θερμότητα πού άποδίδει στό ίδιο διάστημα ένα συνεχές ρεῦμα μέ ένταση I , δπου:

$$I^2 = \frac{I^2 m}{2} \quad (4)$$

Ή ένταση αυτή τοῦ συνεχούς ρεύματος είναι δμως, σύμφωνα μέ τόν όρισμό, ή ένεργος τιμή τής έντασεως τοῦ έναλλασσόμενου ρεύματος.

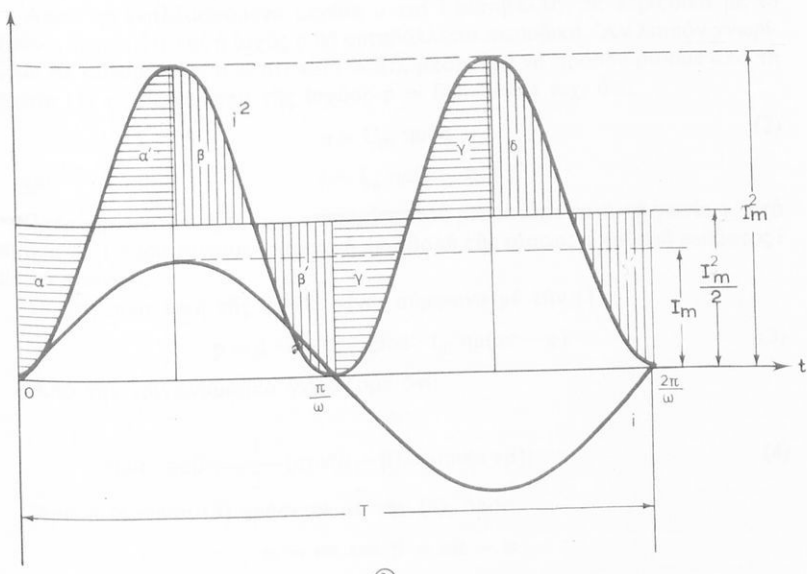
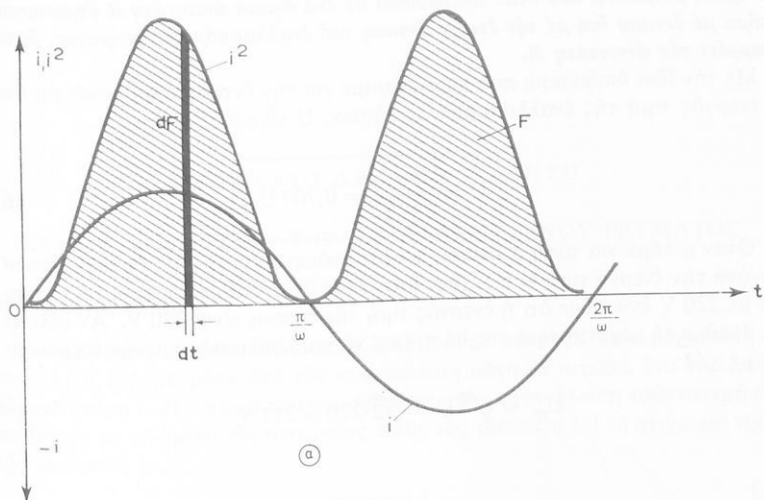
Αρα:

$$I = \frac{I_m}{\sqrt{2}} \quad (5)$$

β) Ένεργος τιμή τάσεως.

Άναλογα όριζεται ή *ένεργος τιμή τής τάσεως* ένός έναλλασσόμενου ρεύματος.

Ένεργος τάση ένός έναλλασσόμενου ρεύματος είναι ή τάση ένός (ισοδύναμου)



$$\Sigma \chi. 14.5\beta.$$

συνεχοῦς ρεύματος, πού δτάν έφαρμοσθεῖ σέ ἓνα ὀλικό ἀντιστάτη R δημιουργεῖ ρεῦμα μέ εἴταση ἵση μέ τήν ἐνεργό ἔνταση τοῦ ἐναλλασσόμενου ρεύματος, δταν διαρρέει τόν ἀντιστάτη R .

Μέ τήν ἴδια διαδίκασία πού περιγράψαμε γιά τήν ἔνταση ἀποδεικνύεται δτι ή ἐνεργός τιμή τῆς ἐναλλασσόμενης τάσεως U είναι:

$$U = \frac{U_m}{\sqrt{2}} = 0,707 U_m \quad (6)$$

"Οταν μιλᾶμε γιά τάση η ἔνταση ἐναλλασσόμενου ρεύματος ἐννοοῦμε κατά κανόνα τήν ἐνεργό τιμή U η I. Π.χ. δταν λέμε δτι ή Δ.Ε.Η τροφοδοτεῖ τά σπίτια μέ 220 V ἐννοοῦμε δτι ή ἐνεργός τιμή τῆς τάσεως είναι 220 V. "Αν θέλομε νά βροῦμε τή μέγιστη τιμή της θά πρέπει νά πολλαπλασιάσομε τήν ἐνεργό τιμή μέ $\sqrt{2}$:

$$U_m = \sqrt{2} U = \sqrt{2} \cdot 220 = 311 V$$

ΚΕΦΑΛΑΙΟ ΔΕΚΑΤΟ ΠΕΜΠΤΟ

ΙΣΧΥΣ ΚΑΙ ΕΝΕΡΓΕΙΑ ΤΟΥ ΕΝΑΛΛΑΣΣΟΜΕΝΟΥ ΡΕΥΜΑΤΟΣ

15.1 Στιγμαία ίσχυς.

Άν στά ακρα μιᾶς καταναλώσεως έφαρμόσομε μιά έναλλασσόμενη τάση υ τότε, δπως ξέρομε, μέσα άπό τήν κατανάλωση αυτή θά περάσει ένα έναλλασσόμενο ρεύμα i. Η ίσχυς p που προσφέρεται στήν κατανάλωση κάθε στιγμή είναι ίση μέ τό γινόμενο τής στιγμαίας τιμῆς τής τάσεως υ έπι τή στιγμαία τιμή τής έντασεως i:

$$p = u \cdot i \quad (1)$$

Άφοιν τά έναλλασσόμενα μεγέθη υ και i μεταβάλλονται περιοδικά μέ τό χρόνο, έπειται δτι και ή ίσχυς p θά μεταβάλλεται περιοδικά. Άν λοιπόν γνωρίζουμε τίς συναρτήσεις $u = f(t)$ και $i = f(t)$, μπορούμε νά προσδιορίσουμε άπό τή σχέση (1) τή συνάρτηση τής ίσχυός $p = f(t)$. Έστω π.χ, δτι:

$$u = U_m \cos(\omega t) \quad (2)$$

και

$$i = I_m \cos(\omega t - \phi)$$

Παρατηρούμε δτι ή τάση υ προηγεῖται τοῦ ρεύματος i κατά τή γωνία φ. Στό σχήμα 15.1 παριστάνεται γραφικά ή μεταβολή τής τάσεως υ και τοῦ ρεύματος i μέ τό χρόνο t.

Η στιγμαία τιμή τής ίσχυός είναι σύμφωνα μέ τήν (1):

$$p = u \cdot i = U_m \cos(\omega t) \cdot I_m \cos(\omega t - \phi) \quad (3)$$

Από τήν τριγωνομετρία γνωρίζουμε δτι:

$$\eta\mu\alpha \cdot \eta\mu\beta = \frac{1}{2} [\sin(\alpha - \beta) - \sin(\alpha + \beta)] \quad (4)$$

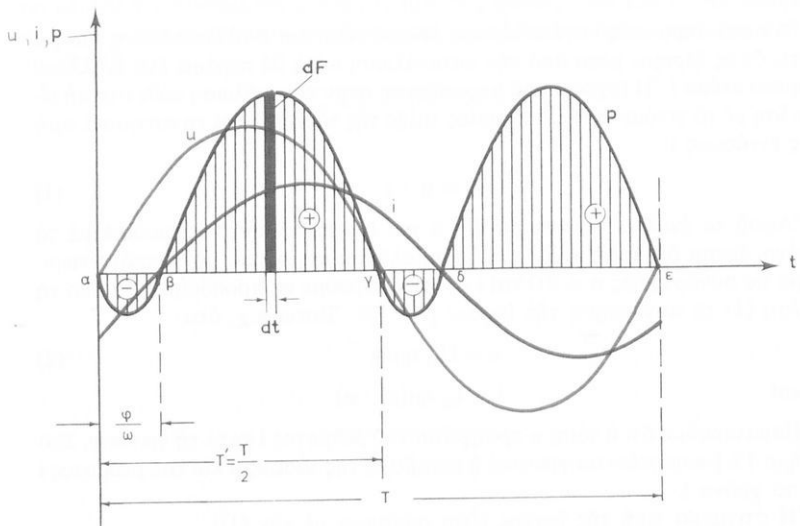
Άρα ή έξισωση (3) γράφεται μέ τήν (4), δπου:

$$\alpha = \omega t \text{ και } \beta = \omega t - \phi$$

$$p = \frac{U_m \cdot I_m}{2} [\sin(\omega t) - \sin(2\omega t - \phi)] \quad (5)$$

Τή γραφική παράσταση τής έξισώσεως (5) παίρνουμε αν πολλαπλασιάσουμε τίς καμπύλες υ και i τοῦ σχήματος 15.1, δηλαδή αν πολλαπλασιάσουμε κάθε στιγμαία τιμή τής υ μέ τη στιγμαία τιμή τής i τήν ίδια χρονική στιγμή.

Από τήν έξισώση (5) και τό σχήμα 15.1 διαπιστώνομε δτι ή ίσχυς μεταβάλλεται περιοδικά και μάλιστα μέ συχνότητα διπλάσια τής συχνότητας τής τάσεως ($\omega_p = 2\omega$, $f_p = 2f$). Δηλαδή δταν ή τάση πραγματοποιεῖ μισό κύκλο (χρόνος $a - \gamma = T/2$ τοῦ σχήματος 15.1) τότε ή ίσχυς πραγματοποιεῖ μιά πλήρη μεταβολή, δηλαδή ένα κύκλο (χρόνος $a - \gamma = T'$). Έπισης διαπιστώνομε δτι ή καμπύλη τής ίσχυος, πού είναι, δπως προαναφέραμε, μιά περιοδική συνάρτηση τοῦ χρόνου, έχει και άρνητικές τιμές (στά χρονικά διαστήματα $a - \beta$, $\gamma - \delta$ κ.ο.κ, δπου οί τιμές τής τάσεως και ρεύματος έχουν άντιθετα σημεία).



Σχ. 15.1.

Άρνητική ίσχυς έχει τήν έννοια, δτι στό χρονικό διάστημα $a - \beta$, $\gamma - \delta$ κλπ., ή κατανάλωση δέν **ἀπορροφᾶ** **ένέργεια** **ἀπό** τήν **ήλεκτρική πηγή** **ἀλλά** **άντιθετα** **δίνει πίσω στήν πηγή** **ένέργεια**, **δηλαδή** **γίνεται πηγή** **ένέργειας**.

Άντο άντιθετα μέ δσα έκθέσαμε γιά τό συνεχές ρεῦμα, είναι ένα νέο φαινόμενο. Θά πρέπει λοιπόν νά λάβομε ύπόψη, δτι στά έναλλασσόμενα ρεύματα δύπαρχουν καταναλωτές, πού δέν **ἀπορροφοῦν** συνεχῶς **ένέργεια**, **ἀλλά** **σέ** **όρισμένες** **χρονικές** **στιγμές** **τροφοδοτοῦν** τήν **ήλεκτρική πηγή** **μέ** **ένέργεια** **πού** **έχουν** **ἀποταμεύσει** **προηγουμένως**. Τί είδους είναι αυτοί οί καταναλωτές θά γνωρίσομε στό **έπόμενο** **κεφάλαιο**.

15.2 Ένέργεια έναλλασσόμενου ρεύματος.

Όταν ή ίσχυς είναι σταθερή, δπως στό συνεχές ρεῦμα, ή ένέργεια ύπολογίζεται, δπως ξέρομε, άπό τό γινόμενο της ίσχυος έπι τό χρόνο. Στό έναλλασσόμενο ρεῦμα, έπειδή μεταβάλλεται συνεχώς ή ίσχυς ρ, μποροῦμε νά ύπολογίσουμε μέ τό γινόμενο αντό μόνο τήν ένέργεια dA γιά ένα πολύ μικρό διάστημα dt, στό δποτο θεωροῦμε σταθερή τήν ίσχυ ρ. Έτσι έχομε:

$$dA = pdt = uidt \quad (1)$$

Η έπιφάνεια dF στό σχῆμα 15.1, πού προκύπτει άπό τό γινόμενο pdt, είναι άνάλογη της ένέργειας dA. Άν άθροισομε δλες τίς έπιφάνειες dF σέ διάστημα μιᾶς περιόδου T προκύπτει ή δλική έπιφάνεια μεταξύ της καμπύλης ρ και τού ίξονα t (διαγραμμισμένη έπιφάνεια). Η έπιφάνεια αυτή είναι άνάλογη της ένέργειας:

$$A = \int_0^T pdt \quad (2)$$

πού άπορροφᾶται και άποδίδεται άπό τόν καταναλωτή σέ διάστημα μιᾶς περιόδου.

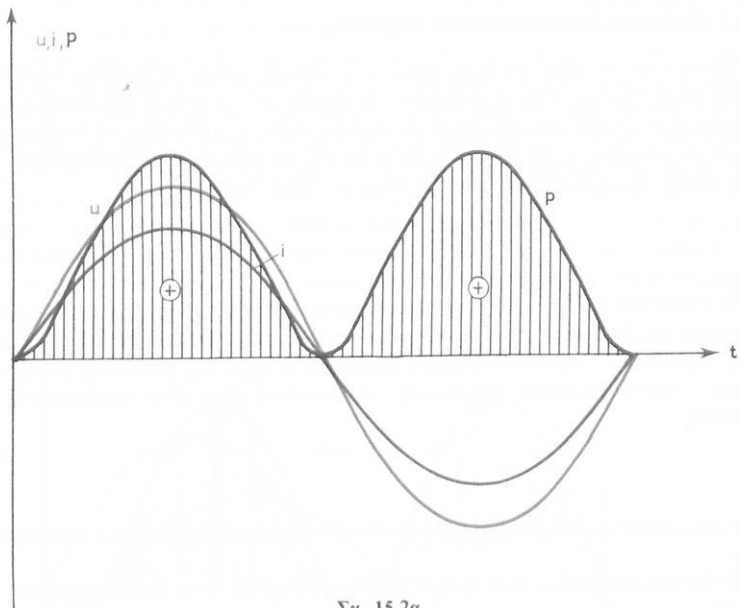
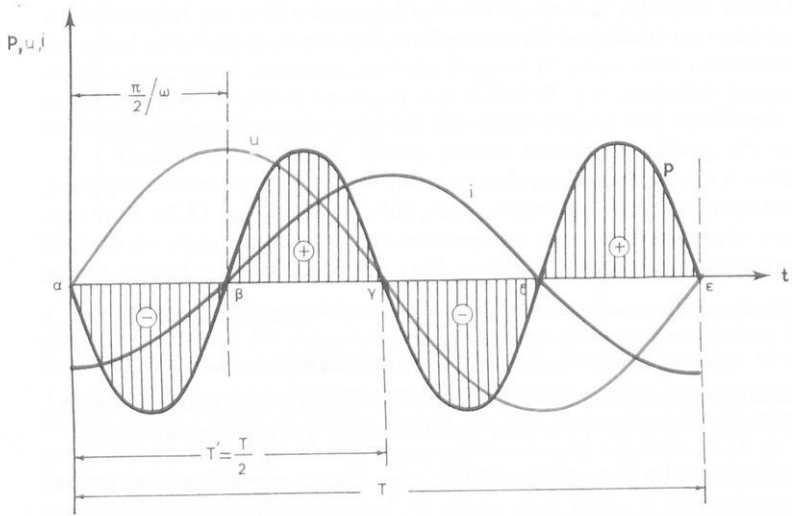
Οι θετικές έπιφάνειες στό σχῆμα 15.1 άντιστοιχούν στήν άπορροφούμενη άπό τόν καταναλωτή ένέργεια, ένω οί άρνητικές έπιφάνειες στήν άποδιδόμενη άπό αυτόν ένέργεια. Η διαφορά τῶν δύο έπιφανειῶν δίνει τήν ένέργεια πού άπορροφᾶται συνολικά άπό τόν καταναλωτή, δηλαδή καταναλώνεται έκει χωρίς νά έπιστρέψει στήν πηγή. Η ένέργεια αυτή μετατρέπεται, δπως ξέρομε, σέ άλλη μορφή ένέργειας, π.χ. σέ θερμότητα, μηχανική ένέργεια κλπ. Η ένέργεια πού άποδίδεται (και άπορροφᾶται) άπό ένα καταναλωτή έξαρτᾶται άπό τό μέγεθος τής γωνίας φ (διαφορά φάσεως μεταξύ τάσεως καιί έντάσεως).

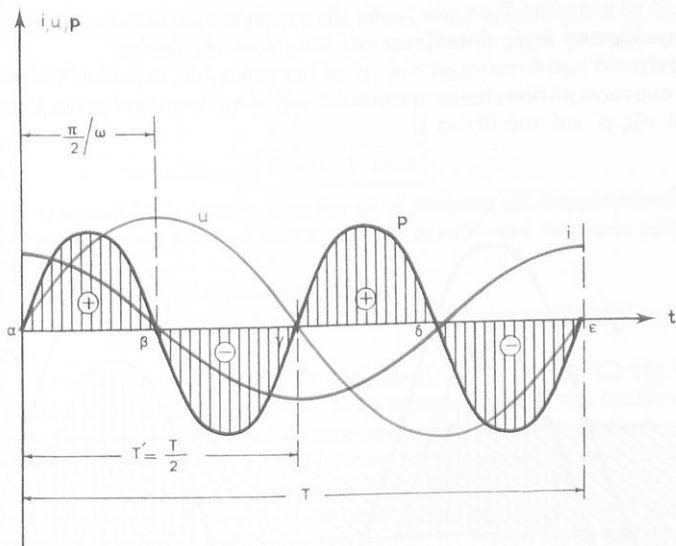
Όταν ή τάση καιί ή ένταση είναι σέ φάση, δηλαδή φ = 0 τότε δέν παρουσιάζονται άρνητικές τιμές της ίσχυος, δπως φαίνεται στό σχῆμα 15.2a. Στήν περίπτωση αυτή ό καταναλωτής άπορροφά συνεχώς ένέργεια, χωρίς νά άποδίδει ποτέ ένέργεια στήν πηγή. Αντίθετα, δταν ή διαφορά φάσεως μεταξύ τάσεως

καιί έντάσεως είναι: $\frac{\pi}{2} = 90^\circ$ ή $-\frac{\pi}{2} = -90^\circ$ τότε δέν καταναλώνεται ένέργεια στόν καταναλωτή, δπως φαίνεται στά σχήματα 15.2β και 15.2γ.

Παρατηροῦμε δηλαδή δτι δση ένέργεια άπορροφά δ καταναλωτής δταν ή ίσχυς είναι θετική, τόση άκριβδς άποδίδει, δταν ή ίσχυς είναι άρνητική.

Όταν ή γωνία φ είναι μικρότερη άπό $\frac{\pi}{2}$ ($\phi < \frac{\pi}{2}$), δπως στό σχῆμα 15.1, τότε ό καταναλωτής άπορροφά περισσότερη ένέργεια άπό δση άποδίδει πίσω στήν πηγή.

 $\Sigma\chi.$ 15.2a. $\Sigma\chi.$ 15.2β.



Σχ. 15.2γ.

15.3 Πραγματική, άεργη και φαινόμενη ίσχυς.

Από τήν έξισωση (5) τῆς παραγράφου 15.1 διαπιστώνομε, ότι ή ίσχυς p προκύπτει άπο τό άθροισμα δύο συνιστωσῶν:

a) Από μιά σταθερή χρονικά συνιστώσα:

$$P = \frac{U_m \cdot I_m}{2} \sin \varphi \quad (1)$$

Η ίσχυς αυτή έχει πάντοτε θετική τιμή (γιατί ή γωνία φ μπορεῖ νά κυμαίνεται μεταξύ -90° και $+90^\circ$, δόποτε $0 < \sin \varphi < 1$) και ονομάζεται **πραγματική ίσχυς**.

b) Από μιά έναλλασσόμενη συνιστώσα:

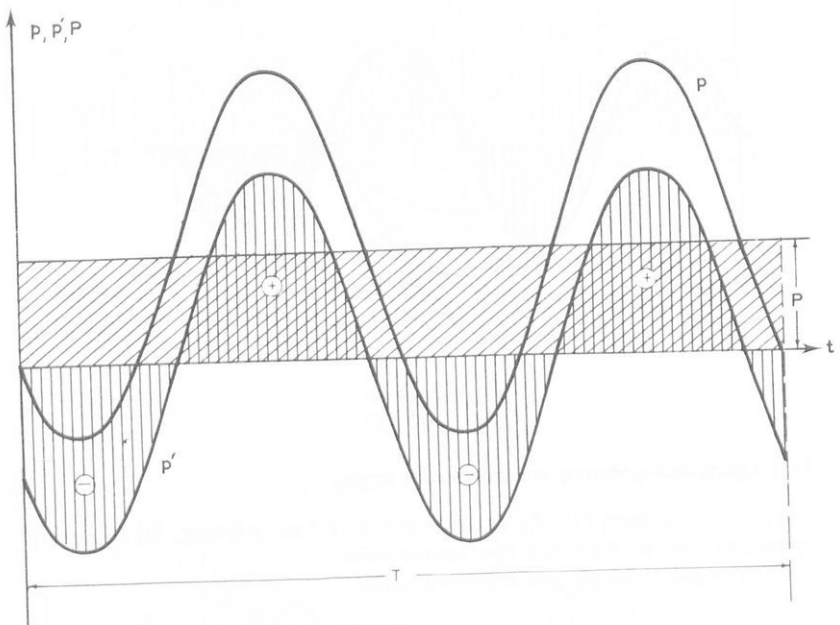
$$p' = -\frac{U_m \cdot I_m}{2} \sin(2\omega t - \varphi) \quad (2)$$

πού μεταβάλλεται περιοδικά μέ τή συχνότητα 2ω . Στό σχήμα 15.3α είναι σχεδιασμένη ή πραγματική ίσχυς P , ή p' και ή δλική ίσχυς p .

Παρατηροῦμε ότι ή στιγμιαία ίσχυς p μεταβάλλεται συμμετρικά γύρω άπο τήν τιμή P . Άρα ή P είναι ή **μέση τιμή** τῆς ίσχυός p , δηλαδή ή τιμή πού προκύ-

πτει ἀπό τό μέσο δρο δλων τῶν τιμῶν τῆς p σέ διάστημα μιᾶς περιόδου. Γι' αὐτὸν ή **πραγματική ίσχυς δνομάζεται καὶ μέση τιμὴ τῆς ίσχύος.**

Ἡ ἐνέργεια πού ἀντιστοιχεῖ στήν p' σέ διάστημα μιᾶς περιόδου T εἶναι ἀνάλογη, σύμφωνα μὲν δσα εἴπαμε προηγουμένως, μέ τή διαγραμμισμένη ἐπιφάνεια μεταξύ τῆς p' καὶ τοῦ ὅξονα t .



Σχ. 15.3a.

Ἐπειδή οἱ θετικές ἐπιφάνειες εἶναι τις μέ τις ἀρνητικές, διαπιστώνομε δτι συνολικά δέν καταναλώνεται ἐνέργεια δφειλόμενη στήν p' . Ὡση ἐνέργεια μεταφέρεται στήν κατανάλωση, τόση ἀκριβῶς ἀποδίδεται πάλι ἀπό αὐτήν στήν πιγή.

Ἡ ἐνέργεια πού ἀντιστοιχεῖ στήν πραγματική ίσχυ P σέ διάστημα, μιᾶς περιόδου T , δίνεται ἀπό τό ἑμβαδό τοῦ δρθογώνιου παραλληλογράμμου μεταξύ τῆς P καὶ τοῦ ὅξονα t γιά $t = T$. ቙ ἐνέργεια αὐτή εἶναι πάντοτε θετική, δηλαδή τρέει ἀπό τήν πηγή στόν καταναλωτή καὶ εἶναι ἡ ἐνέργεια πού καταναλώνει ὁ καταναλωτής σέ διάστημα μιᾶς περιόδου καὶ τή μετατρέπει σέ ἄλλη μορφή ἐνέργειας. Ἀρα ἡ πραγματική ίσχυς P εἶναι ἔνα μέτρο γιά τό ἔργο πού ἀποδίδει ἔνας καταναλωτής.

Εἰσάγοντας στήν έξισωση (1) τήν ένεργο τιμή τῆς τάσεως $U = \frac{U_m}{\sqrt{2}}$ και τήν

ένεργο τιμή τῆς έντασεως $I = \frac{I_m}{\sqrt{2}}$ παίρνομε:

$$P = U I \sin \varphi \quad (3)$$

Η πραγματική ίσχυς λοιπόν, είναι ίση μέ τό γινόμενο τῆς ένεργού τάσεως U έπι τήν ένεργο ένταση I έπι τό συνημίτονο τῆς μεταξύ τους διαφορᾶς φάσεως φ (συνφ).

Τό συνφ δύναται *συντελεστής ίσχυος*.

Τήν πραγματική ίσχυ μετράμε σέ βάtt (W) μέ δργανα πού δύναται βατόμετρα.

Η σχεση (3) τῆς πραγματικῆς ίσχυος μοιάζει μέ τή σχέση UI τῆς ίσχυος πού γνωρίσαμε στά συνεχή ρεύματα. Στήν περίπτωση δύμως τῶν έναλλασσομένων ρευμάτων προστίθεται και διαφορᾶς φάσης πού δύναται βατόμετρα. Τό δύναται νά δύναται βατόμετρα. Έφόσον $0 \leq \sin \varphi \leq 1$. Αρα δύναται βατόμετρα.

Όταν τό ρεῦμα και ή τάση βρίσκονται σέ φάση, δηλαδή $\varphi = 0$ και συνφ = 1, είναι $P = UI$. Αντή ή ίσχυς προφανῶς είναι και ή μέγιστη ίσχυς πού μπορεί νά άπορροφήσει ένας κατανάλωτής μέ δοσμένη τήν τάση U και ένταση I .

Τή μέγιστη αύτή ίσχυ δύναται *φαινόμενη ίσχυ P_f* και τή μετράμε σέ βολταμπέρ [VA] γιά νά τή διακρίνομε άπό τήν πραγματική ίσχυ, πού, δπως προαναφέρωμε, μετριέται σέ W.

Δηλαδή είναι:

$$P_f = U I \quad (4)$$

Η φαινόμενη ίσχυς είναι ή ίσχυς πού προσφέρεται σέ μιά κατανάλωση ένω ή πραγματική ίσχυς είναι ή ίσχυς πού άξιοποιείται γιά τήν παραγωγή έργου. Ό συντελεστής ίσχυος είναι τό μέτρο γιά τό πόσο καλά άξιοποιείται ή προσφερόμενη φαινόμενη ίσχυς.

Ένα άλλο μέγεθος, πού είναι συνάρτηση τῆς γωνίας φ , δίνεται άπό τό γινόμενο:

$$P_a = U I \eta \mu \varphi \quad (5)$$

Τό μέγεθος αύτό έχει διαστάσεις ίσχυος, άλλά στή πραγματικότητα δέν έκφραζει κάποια καταναλισκόμενη ίσχυ πού παράγει έργο. Γιά τό λόγο αύτό δύναται *άερη ίσχυς* και μετράται σέ VAr, γιά νά διακρίνεται άπό τήν πραγματική και τή φαινόμενη ίσχυ (τό γ στή μονάδα VAr προέρχεται άπό τόν άγγλικό δρο reactive power = άεργος ίσχυς). Σημειώνεται δτο οι μονάδες W, VA και VAr έχουν τήν ίδια άριθμητική τιμή έφόσον προκύπτουν άπό τό γινόμενο

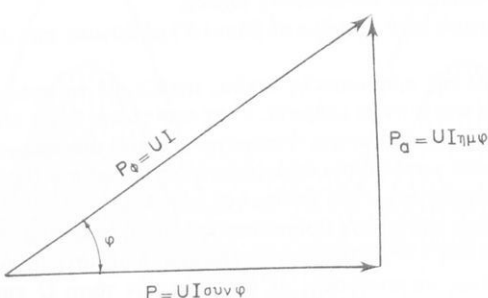
1 V · 1 A και διαφέρουν μόνο στό δτι χαρακτηρίζουν διαφορετικές ίσχεις.

Η άεργη ίσχυς είναι ένα λογιστικό μέγεθος πού μᾶς διευκολύνει στούς ύπολογισμούς, γιατί συνδέεται μέ τη φαινόμενη και μέ την πραγματική ίσχυ μέ τη σχέση:

$$P_\phi^2 = P^2 + P_a^2 \quad (6)$$

δπως εύκολα άποδεικνύεται άπό τις σχέσεις (3) (4) και (5).

Τό δρθογώνιο τρίγωνο του σχήματος 15.3β, πού όνομάζεται **τρίγωνο I-σχύων**, δίνει τή γραφική παράσταση τῆς (6).



Σχ. 15.3β.

Από τό τρίγωνο αύτό και άπό τή σχέση (6) διαπιστώνομε δτι δσο μεγαλύτερη είναι ή διαφορά φάσεως φ, τόσο μεγαλύτερη είναι ή άεργη ίσχυς και τόσο μικρότερη ή πραγματική ίσχυς, πού καταναλώνεται σέ μιά κατανάλωση ύπολογη φαινόμενη ίσχυ. Γιά φ = 0 (συνφ = 1, ημφ = 0) δλη ή φαινόμενη ίσχυς άποδίδεται ώς πραγματική ίσχυ. Γιά φ = ± 90° (συνφ = 0, ημφ = ±1) δλη ή φαινόμενη ίσχυς μετατρέπεται σέ άεργη ίσχυ.

Άριθμητικό παράδειγμα.

Σέ ένα δίκτυο έναλλασσόμενου ρεύματος, συνδέεται καταναλωτής πού ή πραγματική του ίσχυς είναι $P = 8,8 \text{ kW}$. Η ένεργος τιμή τῆς έναλλασσόμενης τάσεως τού δίκτυου είναι $U = 220 \text{ V}$ και ή συχνότητα $f = 50 \text{ Hz}$. Νά ύπολογισθοῦν:

α) Η ένεργος τιμή του ρεύματος I πού ρέει στόν καταναλωτή καθώς και ή μέγιστη τιμή του I_m , δταν ή άεργος ίσχυς είναι μηδέν ($P_a = 0$).

β) Η φαινόμενη ίσχυς P_ϕ , ή ένεργος τιμή I και ή μέγιστη τιμή I_m τού ρεύματος, καθώς και ο συντελεστής ίσχυος συνφ, δταν ή άεργος ίσχυς είναι $P_a = 6,6 \text{ kVAr}$.

Ανση.

a) $P = P_\varphi = U I$, γιατί $P_a = 0$ αρα συνφ = 1.

$$I = \frac{P}{U} = \frac{8,8 \cdot 10^3}{220} = 40 \text{ A}$$

$$\underline{I = 40 \text{ A}}$$

$$I_m = \sqrt{2} I = \sqrt{2} \cdot 40 = 56,4 \text{ A}$$

$$\underline{\underline{I_m = 56,4 \text{ A}}}$$

$$\beta) \quad P_\varphi^2 = P^2 + P_a^2 \quad P_\varphi = \sqrt{P^2 + P_a^2} = \sqrt{8,8^2 + 6,6^2} = \\ = \sqrt{77,44 + 43,56} = \sqrt{121}$$

$$\underline{\underline{P_\varphi = 11 \text{ kVA}}}$$

$$I = \frac{P_\varphi}{U} = \frac{11 \cdot 10^3}{220} = 50 \text{ A}$$

$$\underline{\underline{I = 50 \text{ A}}}$$

$$I_m = \sqrt{2} \cdot I = \sqrt{2} \cdot 50 = 70,5 \text{ A}$$

$$\underline{\underline{I_m = 70,5 \text{ A}}}$$

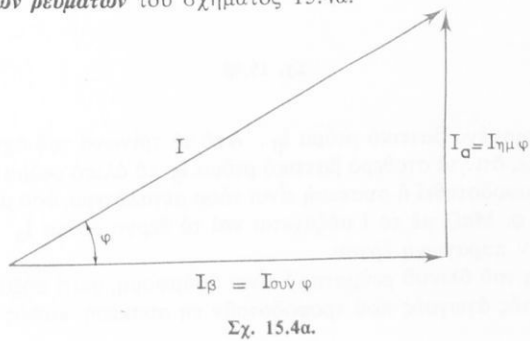
$$P = UI \text{ συνφ} \quad \sigma \nu \nu \varphi = \frac{P}{UI} = \frac{8,8 \cdot 10^3}{220 \cdot 50} = 0,8$$

$$\underline{\underline{\sigma \nu \nu \varphi = 0,8}}$$

$$\varphi = 36,86^\circ$$

15.4 Βαττικό και αεργο ρεῦμα.

Άν διαιρέσουμε κάθε πλευρά του τριγώνου ίσχύων μέ τήν τάση U παίρνουμε τό τρίγωνο τῶν ρευμάτων τοῦ σχήματος 15.4α.



$\Sigma \chi. 15.4 \alpha.$

Από τό τρίγωνο αύτό παρατηροῦμε ότι ή ένεργος ξένταση I προκύπτει άπό τή γεωμετρική διθροιση δύο συνιστώσων. Τής συνιστώσας:

$$I_\beta = I_{\text{συνφ}} \quad (1)$$

πού δνομάζεται **βαττικό ρεῦμα** και τής κάθετης σέ αύτήν συνιστώσας:

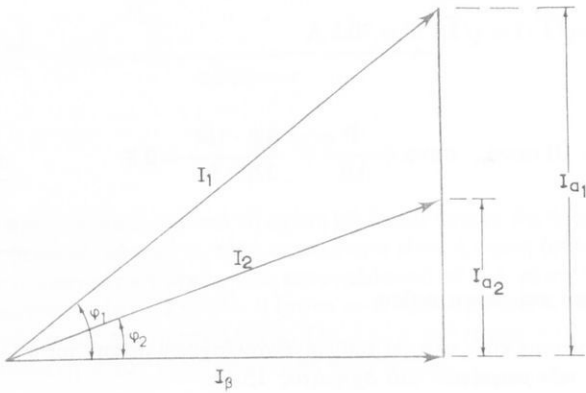
$$I_a = I_{\text{ημφ}} \quad (2)$$

πού δνομάζεται **δεργο ρεῦμα**.

Από τίς (1), (2) και τίς (3), (4), (5) τής παραγράφου 15.3 προκύπτουν γιά τίς ίσχεις οι σχέσεις:

$$\begin{aligned} P_\varphi &= U I \\ P &= U I_\beta \\ P_a &= U I_a \end{aligned} \quad (3)$$

Όποιαδήποτε ήλεκτρική συσκευή γιά νά άποδσει όρισμένο έργο χρειάζεται όρισμένη **πραγματική ίσχυ**. Έτσι άν ή τάση U στή συσκευή είναι σταθερή,



Σχ. 15.4β.

άπαιτεται όρισμένο βαττικό ρεῦμα I_β . Από τά τρίγωνα τοῦ σχήματος 15.4β διαπιστώνομε, ότι ιά σταθερό βαττικό ρεῦμα I_β τό δίλικό ρεῦμα I μέ τό δποϊο πρέπει νά τροφοδοτηθεί ή συσκευή είναι τόσο μεγαλύτερο, δσο μεγαλύτερη είναι ή γωνία φ . Μαζί μέ τό I αυξάνεται και τό δεργο ρεῦμα I_a πού δέν συνειφέρει στήν παραγωγή έργου.

Η αυξήση τοῦ δίλικου ρεύματος I είναι άσύμφορη, γιατί αυξάνουν οι άπω λειες I^2R στούς άγωγούς πού τροφοδοτοῦν τή συσκευή, καθώς και ή πτώση

τάσεως IR. Στήν πράξη γιά νά αποφυγομε τά μειονεκτήματα αυτά έλλαττόνομε τή γωνία φ, δηλαδή **βελτιώνομε** (*αύξάνομε*) **τό συντελεστή ισχύος συνφ**, συνδέοντας παράλληλα στή συσκευή ένα πυκνωτή. Τή δράση τοῦ πυκνωτῆ στήν περίπτωση αυτή θά γνωρίσομε άργοτερα.

ΚΕΦΑΛΑΙΟ ΔΕΚΑΤΟ ΕΚΤΟ
ΚΥΚΛΩΜΑΤΑ ΕΝΑΛΛΑΣΣΟΜΕΝΟΥ ΡΕΥΜΑΤΟΣ

16.1 Στοιχεῖα κυκλωμάτων έναλλασσόμενου ρεύματος.

Τά κύρια στοιχεῖα συνθέσεως ένός κυκλώματος έναλλασσόμενου ρεύματος είναι:

- a) Ό ωμικός άντιστάτης μέ άντιστασή R.
- β) Τό πηνίο μέ αυτεπαγωγή L.
- γ) Ό πυκνωτής μέ χωρητικότητα C.

Όταν ένα κύκλωμα περιέχει ένα μόνο άπό τά παραπάνω στοιχεῖα δύνομάζεται **άπλος κύκλωμα**, ένδο δταν τό συνθέτουν δύο, τρία ή περισσότερα στοιχεῖα, συνδεμένα σέ σειρά, παράλληλα η μικτά, δύνομάζεται **σύνθετο κύκλωμα**.

Στή συνέχεια θά ξεξετάσομε τή συμπεριφορά τῶν τριῶν βασικῶν στοιχείων στό έναλλασσόμενο ρεῦμα.

a) Ό ωμικός άντιστάτης στό έναλλασσόμενο ρεῦμα — Όμική άντισταση.

Στά άκρα ένός ωμικοῦ άντιστάτη R έφαρμόζομε μία έναλλασσόμενη τάση:

$$u = U_m \text{ ημωτ} \quad (1)$$

Άποτέλεσμα είναι νά έμφανισθει στό κύκλωμα ένα ρεῦμα i (σχ. 16.1a).

Γιά κάθε στιγμαία τιμή τῆς τάσεως και έντάσεως ίσχύει και στό έναλλασσόμενο ρεῦμα δ νόμος τοῦ Ohm, δηλαδή:

$$u = i R \quad (2)$$

Άρα τό ρεῦμα πού περνᾶ μέσα άπό τόν άντιστάτη, δίνεται άπό τή σχέση:

$$i = \frac{u}{R} = \frac{U_m \text{ ημωτ}}{R} = I_m \text{ ημωτ} \quad (3)$$

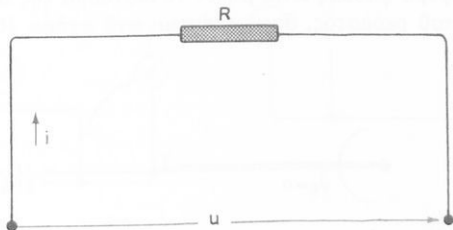
Παρατηροῦμε δτι τό ρεῦμα i είναι έπισης έναλλασσόμενο μέγεθος, δπως ή τάση u, πού μεταβάλλεται μέ τήν ίδια συχνότητα ω. Ή μέγιστη τιμή τοῦ ρεύματος δίνεται άπό τή σχέση:

$$I_m = \frac{U_m}{R} \quad (4)$$

ἡ ἄν διαιρέσομε κατά μέλη τήν (4) μὲν $\sqrt{2}$, ἀπό τή σχέση:

$$I = \frac{U}{R} \quad (5)$$

πού δίνει τήν ἐνεργό τιμή τοῦ ρεύματος.

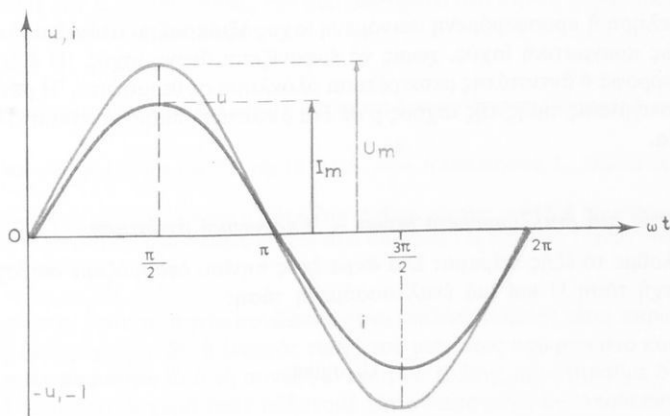


Σχ. 16.1α.

Ἄρα ὁ νόμος τοῦ Ohm ισχύει δχι μόνο γιά τίς στιγμαῖες ἀλλά καὶ γιά τίς μέγιστες καὶ τίς ἐνεργές τιμές τάσεως καὶ ρεύματος. Ἀπό τίς ἐξισώσεις (1) καὶ (3) διαπιστώνομε δτι δέν ὑπάρχει διαφορά φάσεως μεταξύ τῶν u καὶ i .

Ἡ τάση στά ἄκρα ἐνός ὡμικοῦ ἀντιστάτη καὶ τό ρεῦμα πού τόν διαρρέει βρίσκονται σέ φάση.

Στό σχῆμα 16.1β παριστάνεται ἡ μεταβολή τῶν u καὶ i .



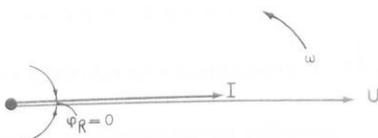
Σχ. 16.1β.

Γενικά, ἄν σέ ἔνα καταναλωτή ἐναλλασσόμενον ρεύματος ἡ τάση βρίσκεται σέ φάση μέν τό ρεῦμα, λέμε δτι δ καταναλωτής παρουσιάζει ὡμική ἀντίσταση.

Η ώμική άντισταση ύπολογίζεται άπό τό πηλίκο τῶν ένεργων τιμῶν τάσεως καὶ ρεύματος:

$$R = \frac{U}{I} \quad (6)$$

Έφόσον ἡ διαφορά φάσεως εἶναι μηδέν τό διάνυσμα τῆς τάσεως συμπίπτει μὲ τό διάνυσμα τοῦ ρεύματος, δπως φαίνεται στό σχῆμα 16.1γ.



Σχ. 16.1γ.

Γιά τήν ισχύ που προσφέρεται σέ ἓνα ώμικό άντιστάτη προκύπτει άπό τούς τύπους (3), (4) καὶ (5) τῆς παραγράφου 15.3 μὲ φ_R = 0 (συνφ_R = 1, ημφ_R = 0)

$$P_a = UI \text{ συνφ}_R = UI = P_\phi \quad (7)$$

$$P_a = UI \text{ ημφ}_R = 0 \quad (8)$$

Ολόκληρη ἡ προσφερόμενη φαινόμενη ισχύς ἀξιοποιεῖται στόν ώμικό άντιστάτη ώς πραγματική ισχύς, χωρίς νά ἐμφανίζεται αὔρηγη ισχύς. Η ένέργεια που ἀπορροφᾶ ὁ άντιστάτης μετατρέπεται ὀλόκληρη σέ θερμότητα. Η μεταβολὴ τῆς στιγμιαίας τιμῆς τῆς ισχύος ρέσε ἓνα άντιστάτη παριστάνεται στό σχῆμα 15.2α.

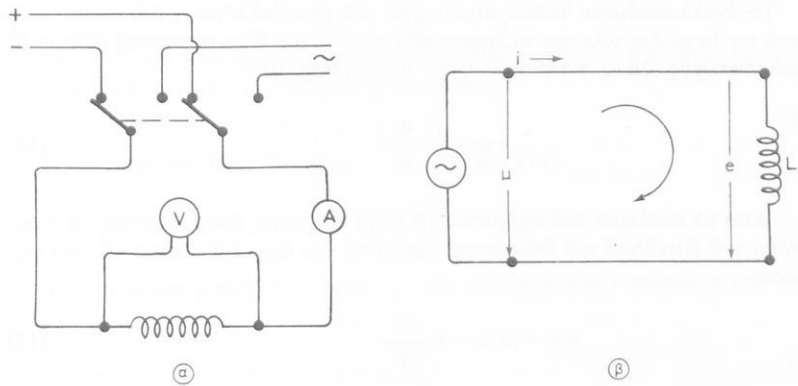
β) Τό πηνίο στό έναλλασσόμενο ρεῦμα – Έπαγωγική άντισταση.

Έκτελοῦμε τό ἑξῆς πείραμα: Στά ἄκρα ἐνός πηνίου ἐφαρμόζομε διαδοχικά μία συνεχή τάση U καὶ μιά έναλλασσόμενη τάση:

$$u = U_m \text{ ημωτ} \quad (9)$$

πού ἡ ένεργός τιμή της $\frac{U_m}{\sqrt{2}}$ εἶναι ἵση μὲ τήν συνεχή τάση U [σχ. 16.1δ (α)].

Ἔστω διτό τό πηνίο παρουσιάζει πολύ μικρή ώμική άντισταση R καὶ δρισμένη αὐτεπαγωγή L.



Σχ. 16.18.

Όταν τό πηνίο βρίσκεται ύπό συνεχή τάση έμφανιζεται στό κύκλωμα ίσχυρό ρεύμα I' , πού ή τιμή του περιορίζεται αποκλειστικά άπο τή **μικρή** ώμικη άντισταση R :

$$I' = \frac{U}{R} \quad (10)$$

Η αύτεπαγωγή L τοῦ πηνίου δέν έπηρεάζει τήν τιμή τοῦ ρεύματος. Άν π.χ. αὐξήσουμε τήν L τοποθετώντας ένα σιδηροπυρήνα στό πηνίο, παρατηρούμε διτή ένταση I' μένει άμετάβλητη.

Σημείωση.

Μέ τό σιδηροπυρήνα πού έχει μεγάλη μαγνητική διαπερατότητα μ αὐξάνεται ή μαγνητική

ροή Φ και σύμφωνα μέ τόν τύπο (2) τῆς 10.5: $L = \frac{n\Phi}{I}$ ή αύτεπαγωγή L . Σημειώνομε δμως

διτή σέ ένα πηνίο μέ σιδηροπυρήνα ή L δέν είναι σταθερό μέγεθος, γιατί ή Φ δέν αὐξάνεται άναλογα μέ τό ρεύμα I και έτσι δ λόγος Φ/I δέν είναι σταθερός. Για κάθε τιμή I έχουμε διαφορετική αύτεπαγωγή L .

Άντιθετα, δταν τό πηνίο συνδέεται στήν έναλλασσόμενη τάση παρατηρούμε στό άμπερόμετρο, διτή ή ένεργος τιμή I τοῦ ρεύματος πού ρέει στό κύκλωμα, είναι πολὺ **μικρότερη** άπο τή συνεχή ένταση I' . Έπισης παρατηρούμε διτή ή ένταση I μειώνεται ίσχυρά δταν αὐξάνομε τήν αύτεπαγωγή L , τοποθετώντας τό σιδηροπυρήνα στό πηνίο.

Η μείωση τοῦ ρεύματος στό κύκλωμα τοῦ έναλλασσόμενου ρεύματος έξηγείται ως έξης:

Όταν στό πηνίο έφαρμοσθεί έναλλασσόμενη τάση, ρέει μέσα άπο τό πηνίο έναλλασσόμενο ρεύμα τῆς ίδιας συχνότητας.

Τό έναλλασσόμενο ρεῦμα δημιουργεῖ μιά μεταβαλλόμενη μαγνητική ροή στο πηνίο μέ αποτέλεσμα νά έμφανισθεί σε αυτό μιά **ήλεκτρεγερτική δύναμη** έξ αύτεπαγωγῆς, δπως γνωρίσαμε στήν παράγραφο 10.5:

$$e = -L \frac{di}{dt} \quad (11)$$

Από τό κύκλωμα τοῦ σχήματος 16.1δ(β) παίρνομε, έφαρμόζοντας τό 2 κανόνα τοῦ Kirchhoff και θεωρώντας άμελητέα τήν ώμική άντίσταση R τοῦ πηνίου:

$$e = -u = -L \frac{di}{dt} \quad (12)$$

Η ήλεκτρεγερτική δύναμη e είναι δηλαδή άντιθετη σέ κάθε χρονική στιγμή στήν τάση u, μέ αποτέλεσμα τό ρεῦμα πού δημιουργεῖ νά είναι άντιθετο στό ρεῦμα τῆς πηγῆς και νά προκαλεῖ τή μείωσή του.

Από τή μείωσή τοῦ ρεύματος συμπεραίνομε δτι ή άντίσταση τοῦ κυκλώματος γίνεται πολύ μεγαλύτερη άπο τήν R, δταν στό κύκλωμα ρέει έναλλασσόμενο ρεῦμα. Τήν αυξηση τῆς άντιστάσεως πάνω άπο τήν τιμή R, πού δφείλεται στήν άναπτυσσόμενη ήλεκτρεγερτική δύναμη έξ αύτεπαγωγῆς στο πηνίο, δνομάζομε **έπαγωγική άντίσταση** και τή συμβολίζομε μέ X_L. Τήν δλική άντίσταση τοῦ κυκλώματος δνομάζομε **φαινόμενη άντίσταση** ή **έμπεδηση**.

Η φαινόμενη άντίσταση συμβολίζεται μέ τό γράμμα Z και ύπολογίζεται άπο τό πηλίκο τῆς ένεργοο τιμῆς τῆς τάσεως διά τῆς ένεργοο τιμῆς τῆς έντάσεως:

$$Z = \frac{U}{I} \quad (13)$$

Μέ τόν δρισμό αύτό τῆς φαινόμενης άντιστάσεως έπεκτείνεται ο νόμος τοῦ Ohm και στά έναλλασσόμενα ρεύματα. Πειραματικά άποδεικνύεται δτι ή **έπαγωγική άντίσταση είναι άναλογη τῆς κυκλικῆς συχνότητας ω τοῦ ρεύματος και τῆς αύτεπαγωγῆς L τοῦ πηνίου:**

$$X_L = \omega L \quad (14)$$

Δηλαδή ή έπαγωγική άντίσταση αυξάνεται δσο αυξάνει ή συχνότητα τοῦ ρεύματος και ή αύτεπαγωγή τοῦ πηνίου. Γιά ω → ∞ (X_L → ∞) τό πηνίο άποτελεί διακοπή τοῦ κυκλώματος ένδ γιά ω = 0 (συνεχές ρεῦμα), X_L = 0, δηλαδή τό πηνίο δέν παρεμβάλλει καμιά άντίσταση στό συνεχές ρεῦμα.

Η έπαγωγική άντίσταση μετράται σέ Ω, δπως και ή ώμική άντίσταση, δπως προκύπτει άπο τόν τύπο (14):

$$[X_L] = [\omega] [L] = \frac{1}{s} \cdot \frac{Wb}{A} = \frac{V}{A} = \Omega$$

Άν ή ώμική άντισταση τοῦ πηνίου είναι άμελητέα, τότε ή φαινόμενη άντισταση είναι ίση μέ τήν έπαγωγική άντισταση:

$$Z = X_L \quad (15)$$

καὶ γιά τό ρεῦμα I προκύπτει ἀπό τίς (13) καὶ (14)

$$I = \frac{U}{\omega L} \quad (16)$$

Γιά τή σχέση μεταξύ τῆς τάσεως u καὶ τοῦ ρεύματος i παίρνομε ἀπό τήν (12):

$$u = L \frac{di}{dt} \quad (17)$$

Τό πηλίκο di/dt στόν τύπο (17) ἐκφράζει τήν ταχύτητα μεταβολῆς τοῦ ρεύματος i. "Οσο μεγαλύτερη είναι ή μεταβολή di τοῦ ρεύματος σέ χρόνο dt, τόσο μεγαλύτερη είναι ή ταχύτητα μέ τήν όποια μεταβάλλεται τό ρεῦμα, τόσο μεγαλύτερη είναι ή ηλεκτρεγερτική δύναμη ἐξ αὐτεπαγωγῆς, δταν ὁ συντελεστής αὐτεπαγωγῆς L είναι σταθερό μέγεθος τοῦ πηνίου.

Τό σχῆμα 16.1e παριστάνει τό ἐναλλασσόμενο ρεῦμα i πού ρέει στό πηνίο. Ή τάση u είναι, δπως ἀναφέραμε, ἐπίσης **ἐναλλασσόμενο μέγεθος**, δέν φαίνεται διμος ἄμεσα ἀπό τούς προηγούμενους τύπους, ἀν ύπάρχει καὶ ποιά, **διαφορά φάσεως** μεταξύ τῆς τάσεως u καὶ τοῦ ρεύματος i.

Γιά νά ἀπαντήσομε στό ἑρώτημα αὐτό ἐργαζόμασθε ως ἔξης: Τό διάστημα T/2 μιᾶς ἡμιπεριόδου τοῦ ρεύματος i χωρίζομε σέ πολύ μικρά ίσα χρονικά διάστηματα dt. Γιά κάθε διάστημα dt προσδιορίζομε στόν ᾶξονα i τό ἀντίστοιχο διάστημα di. Παρατηροῦμε, δτι ξεκινώντας ἀπό τήν τιμή μηδέν τοῦ σχήματος, τό μέγεθος τῶν διαστημάτων di μειώνεται συνεχῶς δσο πλησιάζομε τή μέγιστη τιμή I_m, στήν όποια καὶ μηδενίζεται. Ἐπομένως, ἐφόσον ὁ χρόνος dt παραμένει σταθερός ή ταχύτητα μεταβολῆς di/dt ἔχει τή μέγιστη τιμή της δταν i = 0 καὶ γίνεται μηδέν δταν i = I_m.

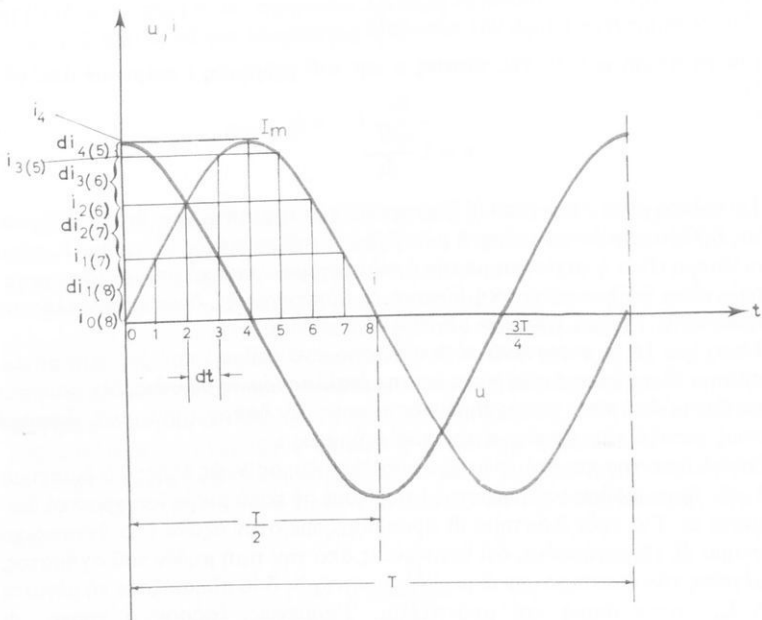
Αποτέλεσμα είναι ή τάση u πού προκύπτει ἀπό τόν τύπο (17) νά ἔχει τή μέγιστη τιμή της γιά i = 0 καὶ τήν τιμή μηδέν γιά i = I_m. Ἐπειδή τό ρεῦμα αδεξάνει ἀπό 0 ὥς I_m τά διαστήματα dt είναι θετικά (π.χ. τό ρεῦμα i₂ είναι μεγαλύτερο τοῦ i₁ καὶ di₂ = i₂ - i₁ είναι θετικό) καὶ ή τάση u είναι ἐπίσης θετική.

Αντίστροφα δταν τό ρεῦμα i μειώνεται στή συνέχεια, παρατηροῦμε δτι τά διαστήματα di αδεξάνουν καὶ παίρνουν τή μέγιστη τους τιμή γιά i = 0. Ἐπειδή ή τάση u παίρνει τή μέγιστη τιμή της πάλι γιά i = 0. Ἐπειδή δμως τό ρεῦμα μειώνεται ἀπό I_m δσ 0 τά διαστήματα di είναι ἀρνητικά (π.χ. τό ρεῦμα i₇ είναι μικρότερο τοῦ i₆ καὶ di₇ = i₇ - i₆ είναι ἀρνητικό) καὶ ή τάση u είναι ἀρνητική στό χρονικό διάστημα T/4 ὥς T/2.

Μέ ανάλογο τρόπο διαπιστώνομε ότι ή τάση u είναι μηδέν γιά $t = 3T/4$, όπότε τό ρεύμα ι έχει τή μέγιστη άρνητική του τιμή, και μέγιστη γιά $t = T$, όπότε τό ρεύμα είναι μηδέν.

Από τή μεταβολή αυτή τής τάσεως γίνεται φανερό ότι ή τάση u προηγεῖται τού ρεύματος κατά 90° ένω τό ρεύμα ι έπειται κατά 90° (σχ. 16.1e).

Σέ ένα πηνίο μέ άμελητέα ωμική άντισταση ή τάση πού έφαρμόζεται στά άκρα του, προηγεῖται τού ρεύματος πού τό διαρρέει κατά γωνία $\phi_L = 90^\circ$ ή $\pi/2$ rad.



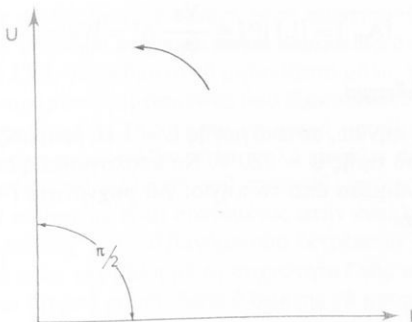
Σχ. 16.1e.

Τό σχῆμα 16.1στ δίνει τό διανυσματικό διάγραμμα τῶν ένεργῶν τιμῶν τῆς τάσεως και έντάσεως. Τό βέλος δείχνει τή φορά περιστροφῆς τῶν διανυσμάτων, στήν όποια πάντοτε προηγεῖται ή τάση U κατά $\pi/2$ τής έντάσεως I.

Έφόσον ή διαφορά φάσεως μεταξύ τάσεως και έντάσεως είναι $\phi_L = 90^\circ$, προκύπτει γιά τίς ίσχεις άπό τούς τύπους (3), (4) και (5) τής παραγράφου 15.3 μέ ημ $\phi_L = 1$ και συν $\phi_L = 0$.

$$P_a = UI \text{ συν} \phi_L = 0 \quad (18)$$

$$P_a^- = UI \text{ ημ} \phi_L = UI = P_\varphi \quad (19)$$



Σχ. 16.1στ.

Σέ ενα πηνίο μέ άμελητέα όμική άντισταση ($R = 0$), ή πραγματική ίσχυς είναι ίση με μηδέν. Στό πηνίο δέν καταναλώνεται ένέργεια, ούτε δημιουργεῖται θερμότητα Joule. Όλόκληρη ή φαινόμενη ίσχυς, παρουσιάζεται στό πηνίο σάν **άερη ίσχυς**. Γιά τή χρονική μεταβολή τής στιγμαίας τιμής τής ίσχυος ρ στό πηνίο ίσχυει τό σχήμα 15.2β στήν παράγραφο 15.2, πού δίνει τή μεταβολή αύτή γενικά, δταν ή τάση προηγεῖται τοῦ ρεύματος κατά 90° . Η προσφερόμενη ήλεκτρική ένέργεια άπό τήν πηγή χρησιμοποιεῖται άποκλειστικά γιά τή δημιουργία τοῦ μαγνητικοῦ πεδίου στό πηνίο. Η ένέργεια αύτή άποταμιεύεται στό μαγνητικό πεδίο ύπό μορφή **μαγνητικής ένέργειας**, στά χρονικά διαστήματα πού ή ίσχυς είναι θετική (π.χ. στά διαστήματα $\beta - \gamma$, $\delta - \varepsilon$ τοῦ σχήματος 15.2β). Στά χρονικά διαστήματα πού ή ίσχυς είναι άρνητική (π.χ. στά διαστήματα $\alpha - \beta$, $\gamma - \delta$ τοῦ σχήματος 15.2β) η άποταμιευμένη μαγνητική ένέργεια **μετατρέπεται σέ ήλεκτρική ένέργεια** και άποδίδεται άπό τό πηνίο στήν πηγή.

"Αρα τό πηνίο σέ κύκλωμα έναλλασσόμενο ρεύματος άποταμιεύει περιοδικά ένέργεια πού παίρνει άπό τήν ήλεκτρική πηγή και άποδίδει τήν ένέργεια αύτη πάλι πίσω στήν πηγή.

Άποδεικνύεται δτι ή μαγνητική ένέργεια πού είναι άποταμιευμένη στό πηνίο κάποια χρονική στιγμή δίνεται άπό τή σχέση:

$$A_m = L \frac{i^2}{2} \quad (20)$$

δπού ι ή στιγμαία τιμή τοῦ ρεύματος στή θεωρούμενη χρονική στιγμή.

Η μαγνητική ένέργεια μετράται στό σύστημα S.I. σέ Joule ($1 J = 1 Ws$), έφόσον η αύτεπαγωγή μετράται σέ Henry ($1 H = 1 \frac{Vs}{A}$) και ή ένταση τοῦ ρεύματος ι σέ A:

$$[A_m] = [L] [i^2] = \frac{V_s}{A} A^2 = W_s = J$$

Άριθμητικό παράδειγμα.

Στά άκρα ένός πηνίου, αντεπαγωγής $L = 1 \text{ H}$, έφαρμόζεται μιά έναλλασσόμενη τάση ένεργού τιμής $U = 220 \text{ V}$. Νά ύπολογισθεί ή ένεργος τιμή του ρεύματος I που περνά μέσα από τό πηνίο, γιά συχνότητα $f = 50 \text{ Hz}$, 60 Hz , 50 kHz και 100 kHz .

Αύση.

$$I = \frac{U}{X_L} \quad X_L = \omega L = 2\pi f L$$

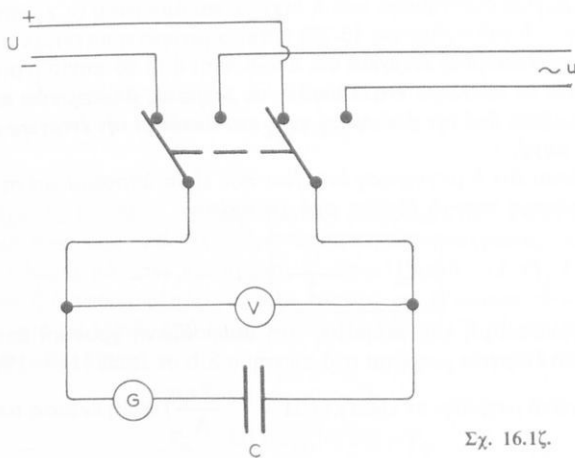
$f [\text{Hz}]$	50	60	$50 \cdot 10^3$	$100 \cdot 10^3$
$X_L [\Omega]$	314	376,8	$314 \cdot 10^3$	$628 \cdot 10^3$
$I [\text{A}]$	0,7	0,583	$0,7 \cdot 10^{-3}$	$0,35 \cdot 10^{-3}$

γ) Ο πυκνωτής στό έναλλασσόμενο ρεύμα – Χωρητική άντίσταση.

Στά άκρα ένός πυκνωτή χωρητικότητας C έφαρμόζομε διαδοχικά μία συνεχή τάση U και μία έναλλασσόμενη τάση:

$$u = U_m \eta \mu \omega \quad (21)$$

δπως φαίνεται στό σχῆμα 16.1ζ.



Σχ. 16.1ζ.

Όταν ό πυκνωτής συνδέεται στή συνεχή τάση παρατηρούμε στό γαλβανόμετρο G, δι τί ρέει στό κύκλωμα **στιγμαῖα ρεῦμα φορτίσεως**, δπως εἶχαμε γνωρίσει στήν παράγραφο 13.8. Τό ρεῦμα αυτό μηδενίζεται μόλις τελειώσει ή φόρτιση και δ πυκνωτής παραμένει φορτισμένος, δσο ἔξακολουθεῖ νά ἐφαρμόζεται ή τάση U στονς ὀπλισμούς του. **Ἄρα μετά τή μικρή μεταβατική περίοδο τῆς φορτίσεως δ πυκνωτής παρουσιάζει πάρα πολύ μεγάλη ἀντίσταση (ἀπειρηθεωρητικά) και ἐμποδίζει τή διέλευση τοῦ συνεχοῦς ρεύματος.**

Ἄντιθετα, δταν ό πυκνωτής εἶναι συνδεμένος στήν ἐναλλασσόμενη τάση u παρατηρούμε δτι ό δεικτης τοῦ γαλβανόμετρου ἐκτρέπεται πότε πρός τή μιά κατεύθυνση και πότε πρός τήν ἄλλη μέ τή συχνότητα f τῆς τάσεως (ύποθέτομε δτι ή συχνότητα εἶναι ἀρκετά μικρή, ὅστε ό δεικτης νά μπορεῖ νά παρακολουθεῖ τίς μεταβολές τῆς τάσεως). **Ἄρα στό κύκλωμα ρέει συνεχῶς ἐναλλασσόμενο ρεῦμα i μέ τήν ίδια συχνότητα f πού ἔχει ή τάση. Οι ὀπλισμοί τοῦ πυκνωτῆ γίνονται ἔτσι ἐναλλακτικά θετικοί και ἀρνητικοί, ἀκολουθώντας τίς ἀλλαγές πολικότητας τῆς πηγῆς. Ο πυκνωτής δέν ἀποτελεῖ διακοπή τοῦ κυκλώματος ἐναλλασσόμενου ρεύματος, ἀλλά παρουσιάζει δρισμένη (δχι ἀπειρη) ἀντίσταση στή διέλευση τοῦ ἐναλλασσόμενου ρεύματος. **Ή ἀντίσταση αυτή ὀνομάζεται χωρητική ἀντίσταση και συμβολίζεται μέ X_C.****

Ή χωρητική ἀντίσταση προσδιορίζεται ἀπό τό πηλικό τῆς ἐνεργοῦ τιμῆς τῆς τάσεως U_C στά ἄκρα τοῦ πυκνωτῆ πρός τήν ἐνεργό ἔνταση τοῦ ρεύματος τοῦ πυκνωτῆ I_C :

$$X_C = \frac{U_C}{I_C} \quad (22)$$

Ἄρα ισχύει ό νόμος τοῦ Ohm και γιά τή χωρητική ἀντίσταση.

Πειραματικά διαπιστώνομε ἀπό τή σχέση (22) χρησιμοποιώντας τάσεις μέ διαφορετική συχνότητα και πυκνωτές μέ διαφορετική χωρητικότητα, δτι:

Η χωρητική ἀντίσταση X_C εἶναι ἀντίστροφα ἀνάλογη τῆς κυκλικῆς συχνότητας ω και τῆς χωρητικότητας C τοῦ πυκνωτῆ:

$$X_C = \frac{1}{\omega C} \quad (23)$$

Ύπό σταθερή χωρητικότητα C, ή X_C μειώνεται δσο αὐξάνει ή συχνότητα τοῦ ρεύματος. Γιά ω → 0, δηλαδή γιά συνεχές ρεῦμα, ή X_C → ∞ και δ πυκνωτής ίσοδυναμεῖ μέ διακοπή τοῦ κυκλώματος, δηλαδή μέ ἀνοικτοκύκλωμα. Γιά ω → ∞ ή X_C → 0, δηλαδή δ πυκνωτής ἀντιστοιχεῖ μέ βραχυκύκλωμα.

Παρατηρούμε δτι ή συμπειριφορά τοῦ πυκνωτῆ εἶναι ἀντίθετη ἀπό αυτή τοῦ πηγίου, δσο ἀφορᾶ τή μεταβολή τῆς συχνότητας.

Σέ ἔνα ἀπλό κύκλωμα μέ ἔνα πυκνωτή, ή τάση στά ἄκρα τοῦ πυκνωτῆ εἶναι

ίση μέ τήν τάση στά ακρα τοῦ κυκλώματος ($U = U_C$) καί τό ρεῦμα τοῦ πυκνωτῆ είναι ίσο μέ τό ρεῦμα τοῦ κυκλώματος ($I_C = I$).

Στήγη περίπτωση_α αύτή ή φαινόμενη **άντισταση (έμπεδηση) Z** τοῦ κυκλώματος είναι ίση μέ τή χωρητική αντίσταση τοῦ πυκνωτῆ:

$$Z = \frac{U}{I} = \frac{U_C}{I_C} = X_C = \frac{1}{\omega C} \quad (24)$$

Η χωρητική αντίσταση X_C μετρᾶται σέ Ω , δπως ή ώμική καί ή έπαγωγική αντίσταση, δπως προκύπτει άπό τόν τύπο (23):

$$[X_C] = \frac{1}{[\omega][C]} = \frac{1}{\frac{1}{s}F} = \frac{s}{\frac{s}{\Omega}} = \Omega$$

Η σχέση μεταξύ τής στιγμιαίας τιμῆς τής τάσεως u καί τής στιγμιαίας τιμῆς τής έντασεως i σέ ίνα πυκνωτή προκύπτει ως έξης: Τό φορτίο q πού είναι άποτελμένο στόν πυκνωτή τή χρονική στιγμή πού ή τάση στούς όπλισμούς είναι u, δίνεται άπό τή σχέση:

$$q = C \cdot u \quad (25)$$

πού έχομε ηδη γνωρίσει στήν παράγραφο 13.2.

Αν τώρα σέ ίνα πολύ μικρό διάστημα dt ή τάση μεταβληθεῖ κατά du, τό φορτίο τοῦ πυκνωτῆ θά μεταβληθεῖ κατά dq σύμφωνα μέ τή σχέση:

$$dq = C \cdot du \quad (26)$$

Διαιρώντας τήν έξίσωση (26) κατά μέλη μέ τό διάστημα dt παίρνομε:

$$\frac{dq}{dt} = C \frac{du}{dt} \quad (27)$$

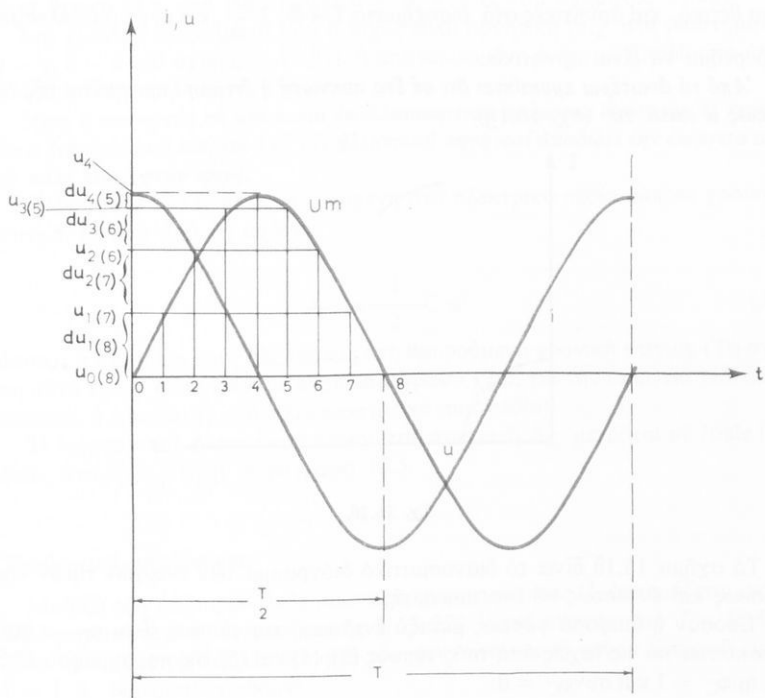
Τό πηλίκο δμως dq/dt είναι ίσο μέ τή στιγμιαία τιμή τοῦ ρεύματος i τοῦ πυκνωτῆ, δπως έχομε μάθει στίς παραγράφους 2.3 καί 14.1. Αρα:

$i = C \frac{du}{dt}$

(28)

Τό πηλίκο du/dt έκφραζει τήν ταχύτητα μέ τήν όποια μεταβάλλεται ή τάση u. Αρα τό ρεῦμα i πού έμφανιζεται στόν πυκνωτή είναι τόσο μεγαλύτερο, δσο μεγαλύτερη είναι ή μεταβολή τής τάσεως u στούς όπλισμούς του σέ διάστημα dt.

Τό σχήμα 16.1η παριστάνει τήν τάση u στούς όπλισμούς τοῦ πυκνωτῆ σέ συνάρτηση τοῦ χρόνου. Γιά νά προσδιορίσομε τή διαφορά φάσεως μεταξύ τῶν



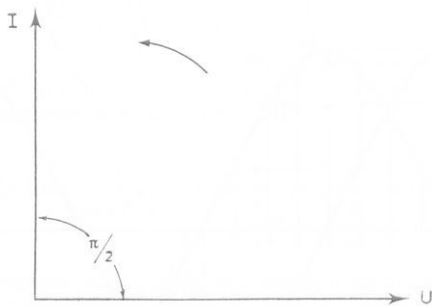
Σχ. 16.1η.

υ καὶ οἱ ἐργαζόμασθε, δπως στήν περίπτωση τοῦ πηνίου. Χωρίζομε τό διάστημα μιᾶς ήμερης περιόδου $T/2$ σέ τοια διαστήματα dt καὶ προσδιορίζομε στόν αὗσαν u τίς ἀντίστοιχες μεταβολές τῆς τάσεως du . Παρατηροῦμε καὶ ἐδῶ δτι ή μεταβολή du εἶναι μέγιστη τίς χρονικές στιγμές πού ή τάση u γίνεται μηδέν, ἐνώ εἶναι μηδέν τίς χρονικές στιγμές πού ή u γίνεται μέγιστη. Ἀρα τίς χρονικές στιγμές $t = 0, T/2, T, 3\frac{T}{2}, \dots$ ή ταχύτητα μεταβολῆς τῆς τάσεως du/dt εἶναι μέγιστη καὶ τό ρεῦμα παίρνει τή μέγιστή του τιμή, σύμφωνα μέ τόν τύπο (28).

Τίς χρονικές στιγμές $t = T/4, 3\frac{T}{4}, 5\frac{T}{4}, \dots$ τό πηλίκο du/dt εἶναι μηδέν καὶ τό ρεῦμα εἶναι ἐπίσης μηδέν. Ἀκόμα παρατηροῦμε δτι οἱ μεταβολές du εἶναι θετικές στά διαστήματα 0 ὅς $T/4, 3\frac{T}{4}$ ὅς T , κλπ., μέ ἀποτέλεσμα τό ρεῦμα νά εί-

ναι θετικό, και άρνητικός στά διαστήματα $T/4$ ως $3\frac{T}{4}$, κ.ο.κ. μέ αποτέλεσμα τό ρεῦμα νά είναι άρνητικό.

Από τά άνωτέρω προκύπτει δτι σέ ένα πυκνωτή ή ένταση ι προηγεῖται τῆς τάσεως u κατά 90° (σχ. 16.1η).



Σχ. 16.1θ.

Τό σχήμα 16.1θ δίνει τό διανυσματικό διάγραμμα τῶν ένεργῶν τιμῶν τῆς τάσεως και έντασεως σέ ένα πυκνωτή.

Έφόσον ή διαφορά φάσεως μεταξύ έντασεως και τάσεως είναι $\varphi_C = 90^\circ$, προκύπτει γιά τίς ίσχεις άπό τούς τύπους (3), (4) και (5) τῆς παραγράφου 15.3 μέ ημφ_C = 1 και συνφ_C = 0:

$$P = UI \text{ συνφ}_C = 0 \quad (29)$$

$$P_a = UI \text{ ημφ}_C = UI = P_\phi \quad (30)$$

Σέ ένα πυκνωτή ή πραγματική ίσχυς είναι ίση μέ μηδέν. Στόν πυκνωτή δέν καταναλώνεται ένέργεια ούτε δημιουργεῖται θερμότητα Joule. Όλόκληρη ή φαινόμενη ίσχυς παρουσιάζεται στόν πυκνωτή σάν αεργη ίσχυς. (Θά πρέπει νά σημειώσουμε δτι στήν πράξη τό διηλεκτρικό κάθε πυκνωτή δέν έχει άπειρη ωμική άντισταση, μέ αποτέλεσμα νά περνά άπό αυτό δρισμένο έλλαχιστο ρεῦμα και δρισμένη ένέργεια νά μετατρέπεται σέ θερμότητα. Τήν ένέργεια αυτή δονομάζομε διηλεκτρικές άπωλειες. Έδω θεωροῦμε τίς διηλεκτρικές άπωλειες άμελητέες).

Γιά τή χρονική μεταβολή τῆς στιγμιαίας τιμῆς τῆς ίσχυός ρ στόν πυκνωτή ίσχύει τό σχήμα 15.2γ πού περιγράψαμε στήν παράγραφο 15.2 και πού δίνει τή μεταβολή αυτή γενικά, δταν τό ρεῦμα προηγεῖται τῆς τάσεως κατά 90° .

Ή προσφερόμενη ήλεκτρική ένέργεια άπό τήν πηγή χρησιμοποιεῖται αποκλειστικά γιά τή δημιουργία τοῦ ήλεκτρικοῦ πεδίου τοῦ πυκνωτῆ. Ή ένέργεια αυτή άποταμιεύεται στό ήλεκτρικό πεδίο στά χρονικά διαστήματα πού ή ίσχυς

είναι θετική (π.χ. στά διαστήματα $\alpha - \beta$, $\gamma - \delta$, τοῦ σχήματος 15.2γ).

Στά χρονικά διαστήματα πού ή ίσχυς είναι άρνητική (π.χ. στά διαστήματα $\beta - \gamma$, $\delta - \epsilon$ τοῦ σχήματος 15.2γ), ή άποταμιευμένη ένέργεια άποδίδεται άπό τόν πυκνωτή στήν πηγή.

Άρα, ό πυκνωτής σέ κύκλωμα έναλλασσόμενο ρεύματος άποταμιεύει περιοδικά ένέργεια πού παίρνει άπό τήν ήλεκτρική πηγή καί άποδίδει τήν ένέργεια αύτή πάλι πίσω στήν πηγή.

Ή ένέργεια πού είναι άποταμιευμένη στό ήλεκτρικό πεδίο κάποια χρονική στιγμή, δίνεται άπό τή σχέση:

$$A_C = \frac{1}{2} C \cdot u^2 \quad (31)$$

διου υ ή στιγμιαία τιμή τής τάσεως στή θεωρούμενη χρονική στιγμή. (Τή σχέση αυτή έχομε ηδη γνωρίσει στήν παράγραφο 13.5, γιά τήν ένέργεια πού άποταμιεύει ό πυκνωτής στό ήλεκτροστατικό του πεδίο).

Ή ένέργεια τοῦ ήλεκτρικοῦ πεδίου τοῦ πυκνωτῆ A_C μετρᾶται σέ Joule [J], διως άναφέραμε στήν παράγραφο 13.5.

Άριθμητικό παράδειγμα.

Μεταξύ τῶν όπλισμῶν ένός πυκνωτῆ, χωρητικότητας C , έφαρμόζεται μιά έναλλασσόμενη τάση ένεργοῦ τιμῆς $U = 220$ V καί συχνότητας $f = 50$ Hz. Ένα άμπερόμετρο δείχνει διτί άπό τόν πυκνωτή περνᾶ ρεῦμα ένεργοῦ τιμῆς $I = 1$ A. Νά ύπολογισθοῦν:

α) Ή χωρητική άντισταση τοῦ πυκνωτῆ X_C .

β) Ή χωρητικότητα τοῦ πυκνωτῆ C .

Λύση.

$$\text{a)} \quad X_C = \frac{1}{\omega C} = \frac{U}{I} = \frac{220}{1} = 220 \Omega$$

$$X_C = 220 \Omega$$

$$\text{b)} \quad C = \frac{1}{\omega X_C} = \frac{1}{2\pi f \cdot X_C} = \frac{1}{2\pi \cdot 50 \frac{1}{s} \cdot 220 \Omega} = 14,5 \mu F$$

$$C = 14,5 \mu F$$

16.2 Σύνθετα κυκλώματα έναλλασσόμενου ρεύματος.

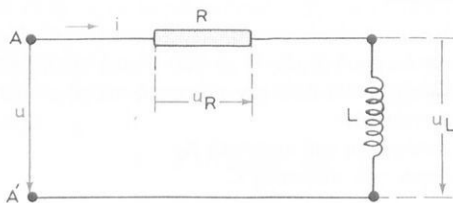
Στήν πράξη τά διάφορα κυκλώματα έναλλασσόμενου ρεύματος δέν άποτελούνται συνήθως από ένα μόνο στοιχείο R , L ή C , ή όλα από συνδυασμούς αυτῶν τῶν στοιχείων, πού σχηματίζουν σύνθετες διατάξεις.

Ή συμπεριφορά ένός σύνθετου κυκλώματος, δταν σε αυτό έφαρμόζεται όρισμένη τάση, π.χ. τά ρεύματα πού έμφανίζονται στούς κλάδους του, οι διαφορές φάσεως κλπ., ή δταν μεταβάλλεται η συχνότητα, η τιμή κάποιου στοιχείου κ.ο.κ., δέν είναι άμεσως φανερή από τό κύκλωμα. Ή συμπεριφορά αυτή καθορίζεται από τή συνεργασία τῶν διαφόρων στοιχείων καὶ προσδιορίζεται ύστερα από άναλυση τῆς συμπεριφορᾶς κάθε στοιχείου. Στή συνέχεια θά ξετάσομε δρισμένα σύνθετα κυκλώματα, γιά νά κατανοήσομε τόν τρόπο καὶ τά άποτελέσματα τῆς συνεργασίας τῶν στοιχείων.

a) Κυκλώματα μέ στοιχεῖα σέ σειρά.

— **Κύκλωμα μέ άντιστάτη R καὶ πηνίο L σέ σειρά (κύκλωμα RL σειρᾶς).**

Ένα κύκλωμα μέ πηνίο L καὶ άντιστάτη R σέ σειρά, παριστάνεται στό παρακάτω σχῆμα 16.2a. Μέ τή διάταξη αυτή παριστάνομε έπισης κάθε πηνίο πού ή ώμική του άντισταση R δέν είναι άμελητέα. (Η άντισταση αυτή δονομάζεται άντισταση άπωλειῶν τοῦ πηνίου).



Σχ. 16.2a.

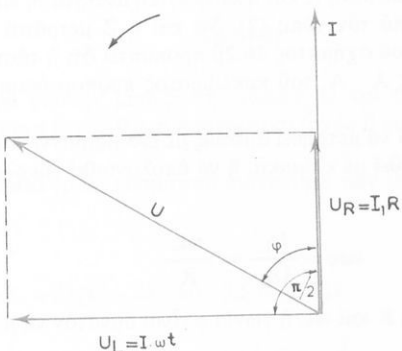
Στούς άκροδέκτες $A - A'$ έφαρμόζομε μιά έναλλασσόμενη τάση u . Τό ρεῦμα i πού περνᾶ από τόν άντιστάτη R καὶ τό πηνίο L είναι τό ίδιο, δπως συμβαίνει πάντα σέ δλα τά κυκλώματα σειρᾶς. Στά ἄκρα τοῦ άντιστάτη R παρουσιάζεται μία τάση u_R καὶ στά ἄκρα τοῦ πηνίου μά τάση u_L . Σέ κάθε χρονική στιγμή t ή τάση πού έφαρμόζεται στούς πόλους τοῦ κυκλώματος είναι:

$$u = u_R + u_L \quad (1)$$

Όπως άναφέραμε στήν παράγραφο 14.4, δταν ξέχομε νά προσθέσομε έναλλασσόμενα μεγέθη, προσθέτομε τά διανύσματα τῶν μεγίστων τιμῶν τους. Από τή συνισταμένη πού προκύπτει μποροῦμε νά προσδιορίσομε κατόπιν δποιαδή-

ποτε στιγμαία τιμή τοῦ όλικοῦ μεγέθους. Στήν πράξη δέν μᾶς χρειάζονται οἱ στιγμιαῖες τιμές, ἀλλὰ οἱ **ἐνεργές τιμές** τῶν μεγεθῶν καὶ οἱ **διαφορές φάσεως** μεταξύ τους. Γι' αὐτό ἐργαζόμασθε συνήθως μέ τά διανύσματα τῶν ἐνεργῶν τιμῶν. Στό διανυσματικό διάγραμμα τοῦ σχήματος 16.2β ἀπεικονίζονται τά διάφορα μεγέθη μὲ τίς ἐνεργές τιμές τους.

Ἡ διεύθυνση τῆς ἐνεργοῦ τιμῆς τοῦ ρεύματος I ἀρχικά ἐκλέγεται αὐθαίρετα. Συχνά καὶ πρός διευκόλυνσή μας καθορίζομε νά ἔχει τό ρεῦμα τήν κατακόρυφη διεύθυνση, δπως δείχνει τό σχῆμα 16.2β.



Σχ. 16.2β.

Οπως γνωρίζομε, ἡ ἐνεργός τιμή τῆς τάσεως U_R καὶ τοῦ ρεύματος I σέ ἓνα ἀντιστάτη R βρίσκονται σέ φάση. Ἐπομένως τό διάνυσμα τῆς ἐνεργοῦ τιμῆς τῆς τάσεως:

$$U_R = IR$$

πού ἐφαρμόζεται στά ἄκρα τοῦ ἀντιστάτη R καὶ τό διάνυσμα τῆς ἐνεργοῦ τιμῆς τοῦ ρεύματος I, συμπίπτουν.

Τό διάνυσμα τῆς ἐνεργοῦ τιμῆς τάσεως στά ἄκρα τοῦ πηνίου L:

$$U_L = I\omega L$$

προηγεῖται, δπως προαναφέραμε, τοῦ διανύσματος τῆς ἐνεργοῦ τιμῆς τοῦ ρεύματος κατά 90° .

Ἡ ἐνεργός τιμή τῆς τάσεως U, πού ἐφαρμόζεται στοὺς ἄκροδέκτες A - A' τοῦ κυκλώματος (σχ. 16.2a) εἶναι τό γεωμετρικό ἄθροισμα τῶν ἐνεργῶν τιμῶν U_R καὶ U_L . Ἡ διαφορά φάσεως μεταξύ τῆς τάσεως U καὶ τοῦ ρεύματος I εἶναι ἡ γωνία φ πού σημειώνεται στό σχῆμα 16.2β. Ἀπό τό διάγραμμα τοῦ σχήματος αὐτοῦ προκύπτει δι:·

$$U^2 = U_R^2 + U_L^2 = (IR)^2 + (I\omega L)^2 = I^2 [R^2 + (\omega L)^2] \quad \text{καὶ}$$

$$U = I \sqrt{R^2 + (\omega L)^2}$$

$$\ddot{\eta} \quad Z = \frac{U}{I} = \sqrt{R^2 + (\omega L)^2}$$

Τό πηλικό της ένεργου τιμής της τάσεως πρός την ένεργο τιμή της έντασεως δίνει, δημοσίευμε, τη φαινόμενη άντισταση (έμπεδηση) Z ένός κυκλώματος. Άρα ή φαινόμενη άντισταση του κυκλώματος σειράς δίνεται από τη σχέση:

$$Z = \sqrt{R^2 + (\omega L)^2} \quad (2)$$

Έφόσον ή ώμική άντισταση R και ή έπαγωγική άντισταση ωL μετρῶνται σε Ω , προκύπτει άμεσα από τὸν τύπο (2), δτι και ή Z μετρᾶται σε Ω .

Άπο τὸ διάγραμμα τοῦ σχήματος 16.2β προκύπτει δτι ή τάση, πού έφαρμόζεται στούς άκροδέκτες $A - A'$ τοῦ κυκλώματος προπορεύεται τοῦ ρεύματος κατά μία γωνία φ .

Ή γωνία αυτή μπορεῖ νά μετρηθεῖ άμέσως μέ ξνα μοιρογνωμόνιο, έφόσον τό διάγραμμα ἔχει σχεδιασθεῖ μέ κλίμακα, ή νά ύπολογισθεῖ εύκολα από την τιμή της έφαπτόμενης:

$$\varepsilon\varphi\varphi = \frac{U_L}{U_R} = \frac{\omega L}{R} \quad (3)$$

Άναλογα μέ τίς τιμές R και ωL ή γωνία φ εἶναι δυνατόν νά μεταβάλλεται από 0 δς 90°:

$$0 < \varphi < 90^\circ$$

Όταν σέ ξνα κύκλωμα έναλλασσόμενου ρεύματος ή τάση προηγεῖται τοῦ ρεύματος, λέμε δτι τό κύκλωμα ἔχει έπαγωγική συμπεριφορά, γιατί ή συμπεριφορά του πλησιάζει πρός τή συμπεριφορά ένός πηνίου. Τό κύκλωμα αυτό μπορεῖ νά άντικατασταθεῖ μέ ξνα ίσοδύναμο πηνίο.

Άριθμητικά παραδείγματα.

Παράδειγμα 1.

Ένα κύκλωμα άποτελεῖται από ξνα άντιστάτη $R = 50 \Omega$ και ξνα πηνίο αύτεπαγωγῆς $L = 0,5 \text{ H}$ σε σειρά (σχ. 16.2γ). Μεταξύ τῶν άκροδεκτῶν $A - A'$ έφαρμόζεται έναλλασσόμενη τάση μέ ένεργο τιμή $U = 220 \text{ V}$ και συχνότητα $f = 50 \text{ Hz}$.

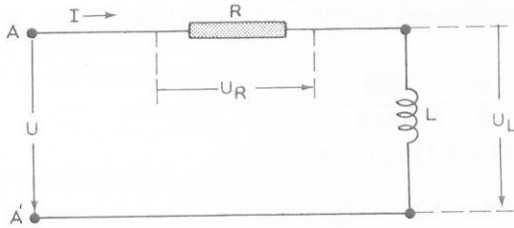
Νά βρεθοῦν:

α) Η έπαγωγική άντισταση X_L .

β) Η φαινόμενη άντισταση Z τοῦ κυκλώματος.

γ) Η ένεργος τιμή τῶν έναλλασσόμενου ρεύματος I πού περνᾶ από τό κύκλωμα.

δ) Η ένεργος τιμή τῶν τάσεων U_R και U_L πού έμφανίζονται άντιστοιχα στά άκρα τοῦ άντιστάτη και τοῦ πηνίου.



Σχ. 16.2γ.

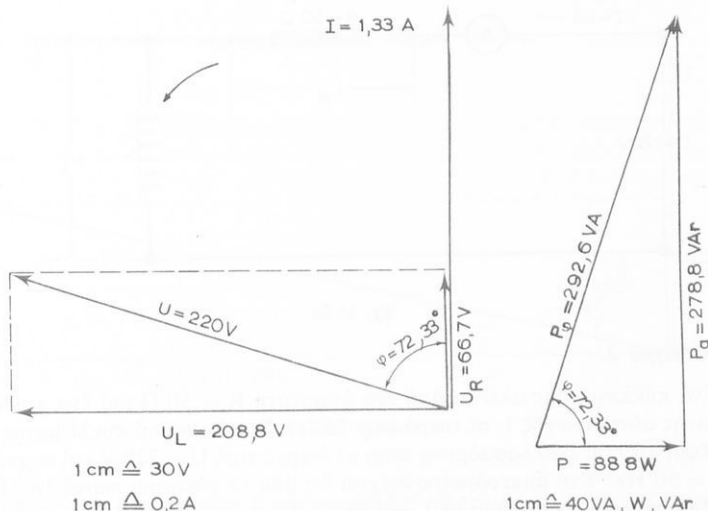
- ε) Η διαφορά φάσεως μεταξύ της τάσεως U και τοῦ ρεύματος I .
 στ) Η φαινόμενη ίσχυς P_φ , ή πραγματική ίσχυς P και ή αεργη ίσχυς P_a τοῦ κυκλώματος.

ζ) Νά σχεδιασθεῖ τό διανυσματικό διάγραμμα τῶν τάσεων και τό τρίγωνο ίσχύων.

Αύση.

$$\text{ω) } X_L = \omega L = 2\pi f L = 2\pi \cdot 50 \cdot 0,5 = 157 \Omega$$

$$X_L = 157 \Omega$$



Σχ. 16.2δ.

$$\beta) \quad Z = \sqrt{R^2 + X_L^2} = \sqrt{50^2 + 157^2} = 164,8 \Omega \quad Z = 164,8 \Omega$$

$$\gamma) \quad I = \frac{U}{Z} = \frac{220}{164,8} = 1,33 \text{ A} \quad I = 1,33 \text{ A}$$

$$\delta) \quad U_R = IR = 1,33 \cdot 50 = 66,7 \text{ V} \quad U_R = 66,7 \text{ V}$$

$$U_L = I\omega L = 1,33 \cdot 157 = 208,8 \text{ V} \quad U_L = 208,8 \text{ V}$$

$$\epsilon) \quad \varepsilon_{\varphi\varphi} = \frac{\omega L}{R} = \frac{157}{50} = 3,14 \quad \varphi = 72,33^\circ$$

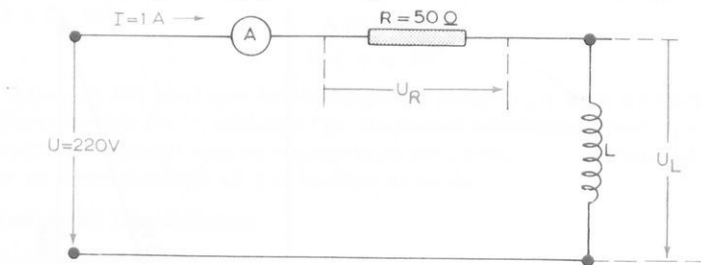
$$\sigma) \quad P_\varphi = U \cdot I = 220 \cdot 1,33 = 292,6 \quad P_\varphi = 292,6 \text{ VA}$$

$$P = U \cdot I \cdot \sin \varphi = 220 \cdot 1,33 \cdot 0,303 = 88,8 \quad P = 88,8 \text{ W}$$

$$P_a = U \cdot I \cdot \cos \varphi = 220 \cdot 1,33 \cdot 0,952 = 278,8 \quad P_a = 278,8 \text{ VAr}$$

ζ) Διανυσματικό διάγραμμα: Σχήμα 16.2δ (α).

Τρίγωνο ίσχύων: Σχήμα 16.2δ (β).



Σχ. 16.2ε.

Παράδειγμα 2.

Ένα κύκλωμα άποτελεῖται άπό ένα άντιστάτη $R = 50 \Omega$ και ένα πηνίο αγνωστης αύτεπαγωγής L σέ σειρά (σχ. 16.2ε). Στά άκρα του κυκλώματος αύτού έφαρμόζεται έναλλασσόμενη τάση μέ ένεργο τιμή $U = 220 \text{ V}$ και συχνότητα $f = 50 \text{ Hz}$. Ένα άμπερόμετρο δείχνει διτί άπό τό κύκλωμα περνά έναλλασσόμενο ρεύμα μέ ένεργο τιμή $I = 1 \text{ A}$.

Νά βρεθοῦν:

α) Η τιμή της αύτεπαγωγής L .

β) Η διαφορά φάσεως μεταξύ του ρεύματος I και της τάσεως U .

- γ) Ή ενεργός τιμή τῶν τάσεων U_R και U_L πού έμφανίζονται ἀντίστοιχα στά ἄκρα τοῦ ἀντιστάτη R και τοῦ πηνίου L .
- δ) Νά δοθεῖ τό διανυσματικό διάγραμμα τῶν τάσεων.

Αύση.

a) Φαινόμενη ἀντίσταση: $Z = \frac{U}{I} = \frac{220}{1} = 220 \Omega$

$$Z = \sqrt{R^2 + (\omega L)^2} \rightarrow \omega L = \sqrt{Z^2 - R^2}$$

$$\omega L = \sqrt{220^2 - 50^2} = 214,24 \Omega$$

$$\omega = 2\pi f = 2\pi \cdot 50 = 314 \text{ rad/s}$$

$$L = \frac{214,24}{\omega} = \frac{214,24}{314} = 0,682 \text{ H}$$

$$\underline{L = 0,682 \text{ H}}$$

β) εφφ = $\frac{\omega L}{R} = \frac{214,24}{50} = 4,28$

$$\underline{\varphi = 76,9^\circ}$$

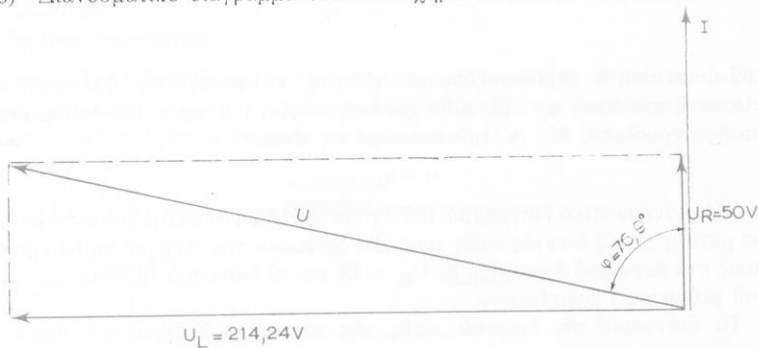
γ) $U_R = I R = 1 \cdot 50 = 50 \text{ V}$

$$\underline{U_R = 50 \text{ V}}$$

$$U_L = I \omega L = 1 \cdot 214,24 = 214,24 \text{ V}$$

$$\underline{U_L = 214,24 \text{ V}}$$

- δ) Διανυσματικό διάγραμμα τάσεων: Σχῆμα 16.2στ.

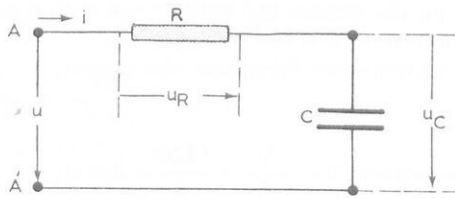


Σχ. 16.2στ.

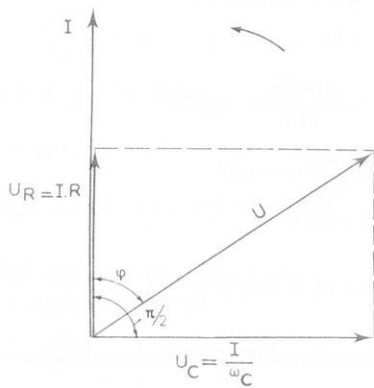
— *Κύκλωμα μέ ἀντιστάτη R και πυκνωτή C σέ σειρά (κύκλωμα RC σειρᾶς).*

Ένα κύκλωμα μέ χωρητικότητα C και ἀντιστάτη R σέ σειρά, παριστάνεται στό παρακάτω σχῆμα 16.2ζ.

Στούς ἀκροδέκτες $A - A'$ ἐφαρμόζομε μία ἑναλλασσόμενη τάση u . Στά ἄκρα



Σχ. 16.2ζ.



Σχ. 16.2η.

τοῦ ἀντιστάτη R παρουσιάζεται μία τάση u_R καὶ μεταξύ τῶν ὁπλισμῶν τοῦ πυκνωτῆ μία τάση u_C . Σε κάθε χρονική στιγμή t ἡ τάση πού ἐφαρμόζεται στοὺς ἀκροδέκτες $A - A'$ τοῦ κυκλώματος εἶναι:

$$u = u_R + u_C \quad (4)$$

Στὸ διανυσματικὸ διάγραμμα τοῦ σχήματος 16.2η ἀπεικονίζονται τὰ διάφορα μεγέθη μὲ τίς ἐνεργές τιμές τους. Τὸ διάνυσμα τῆς ἐνεργοῦ τιμῆς τῆς τάσεως στά ἄκρα τοῦ ἀντιστάτη R , $U_R = IR$ καὶ τὸ διάνυσμα τῆς ἐνεργοῦ τιμῆς τοῦ ρεύματος I συμπίπτουν.

Τὸ διάνυσμα τῆς ἐνεργοῦ τιμῆς τῆς τάσεως στά ἄκρα τοῦ πυκνωτῆ $U_C = \frac{I}{\omega C}$ ἔπειται τῆς ἐνεργοῦ τιμῆς τοῦ ρεύματος I κατά 90° .

Ἡ ἐνεργός τιμὴ τῆς τάσεως U πού ἐφαρμόζεται στοὺς ἀκροδέκτες $A - A'$ τοῦ κυκλώματος εἶναι τὸ γεωμετρικὸ ἄθροισμα τῶν ἐνεργῶν τιμῶν U_R καὶ U_C (σχ. 16.2η).

Ἡ διαφορά φάσεως μεταξύ τῆς τάσεως U καὶ τοῦ ρεύματος I εἶναι ἡ γωνία ϕ πού σημειώνεται στὸ σχῆμα 16.2δ.

Ἄπό τὸ διάγραμμα τοῦ σχήματος αὐτοῦ προκύπτει:

$$U^2 = U_R^2 + U_C^2 = (IR)^2 + \left(\frac{I^2}{\omega C}\right)^2 \quad \text{καὶ}$$

$$U = I \sqrt{R^2 + \left(\frac{1}{\omega C}\right)^2}$$

$$\tilde{\eta} \quad Z = \frac{U}{I} = \sqrt{R^2 + \left(\frac{1}{\omega C}\right)^2}$$

Άρα ή φαινόμενη άντισταση (έμπεδηση) τοῦ κυκλώματος δίνεται άπό τή σχέση:

$$Z = \sqrt{R^2 + \left(\frac{1}{\omega C}\right)^2} \quad (5)$$

Από τό σχῆμα 16.2η προκύπτει δτι ή τάση U , έπειτα τοῦ ρεύματος I κατά μιά γωνία φ .

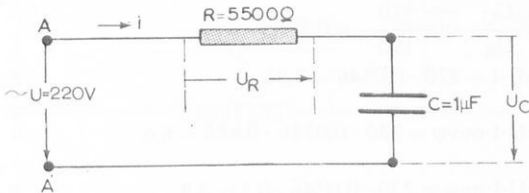
Η τιμή τής γωνίας φ ύπολογίζεται ευκολά άπό τή σχέση:

$$\varepsilon\varphi\varphi = \frac{U_C}{U_R} = \frac{1}{\omega CR} \quad (6)$$

Όταν σέ ξνα σύνθετο κύκλωμα έναλλασσόμενου ρεύματος τό ρεῦμα προηγεῖται τής τάσεως, λέμε δτι τό κύκλωμα παρουσιάζει **χωρητική συμπεριφορά**, γιατί ή συμπεριφορά του πλησιάζει πρός τή συμπεριφορά ένος πυκνωτή. Τό κύκλωμα αυτό μπορεῖ νά άντικατασταθεῖ μέ ξνα ίσοδύναμο πυκνωτή.

Άριθμητικό παράδειγμα.

Ένα κύκλωμα άποτελείται άπό ξνα άντιστάτη $R = 5500 \Omega$ καὶ ξνα πυκνωτή χωρητικότητας $C = 1 \mu F$ σέ σειρά (σχ. 16.20). Μεταξύ τῶν άκρων Α-Α' έφαρμούζεται έναλλασσόμενη τάση μέ ένεργο τιμή $U = 220 V$ καὶ συχνότητα $f = 50 Hz$.



Σχ. 16.20.

Νά ύπολογισθοῦν:

- Η κυκλική συχνότητα ω .
- Η χωρητική άντισταση X_C .
- Η φαινόμενη άντισταση τοῦ κυκλώματος Z .
- Η ένεργος τιμή τοῦ ρεύματος I .
- Η ένεργος τιμή τής τάσεως πού παρουσιάζεται στά άκρα τοῦ άντιστάτη

U_R και ή ένεργος τιμή της τάσεως πού παρουσιάζεται μεταξύ των όπλισμῶν τοῦ πυκνωτῆ U_C .

στ) Ή διαφορά φάσεως φ μεταξύ τάσεως U και ρεύματος I .

ζ) Ή φαινόμενη ίσχυς P_ϕ , ή πραγματική ίσχυς P και ή άρεγη ίσχυς P_a .

Ο πυκνωτής άντικαθίσταται με ένα πηνίο σέ τρόπο ώστε ή άπόλυτη τιμή της γωνίας φ νά παραμείνει άμετάβλητη.

η) Νά ύπολογισθεῖ ή αύτεπαγωγή L τοῦ πηνίου αύτοῦ.

θ) Νά δοθοῦν τά διανυσματικά διαγράμματα τάσεων και τό τρίγωνο των ίσχύων.

Ανάση.

$$a) \quad \omega = 2\pi f = 2\pi \cdot 50 = 314 s^{-1}$$

$$\underline{\omega = 314 s^{-1}}$$

$$\beta) \quad X_C = \frac{1}{\omega C} = \frac{1}{314 \cdot 10^{-6}} = \frac{10^6}{314} = 3185 \Omega$$

$$\underline{X_C = 3185 \Omega}$$

$$\gamma) \quad Z = \sqrt{R^2 + X_C^2} = \sqrt{5500^2 + 3185^2} = \\ = 10^3 \sqrt{30,25 + 10144} = 6355 \Omega$$

$$\underline{Z = 6355 \Omega}$$

$$\delta) \quad I = \frac{U}{Z} = \frac{220}{6355} = 0,0346 A$$

$$\underline{I = 0,0346 A}$$

$$\varepsilon) \quad U_R = IR = 0,0346 \cdot 5500 = 190 V$$

$$\underline{U_R = 190 V}$$

$$U_C = IX_C = 0,0346 \cdot 3185 = 110 V$$

$$\underline{U_C = 110 V}$$

$$\sigma) \quad \epsilon\phi\phi = \frac{U_C}{U_R} = \frac{110}{190} = 0,5789$$

$$\underline{\phi = 30^\circ}$$

$$\zeta) \quad P_\phi = U \cdot I = 220 \cdot 0,0346 = 7,61$$

$$\underline{P_\phi = 7,61 VA}$$

$$P = U \cdot I \cdot \cos\phi = 220 \cdot 0,0346 \cdot 0,866 = 6,6$$

$$\underline{P = 6,6 W}$$

$$P_a = U \cdot I \cdot \eta\mu\phi = 220 \cdot 0,0346 \cdot 0,5 = 3,8$$

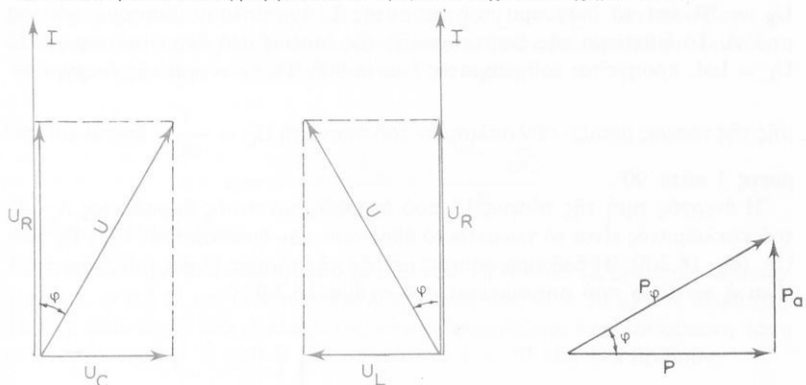
$$\underline{P_a = 3,8 VAr}$$

$$\eta) \quad \epsilon\phi\phi = \frac{U_C}{U_R} = \frac{U_L}{U_R} \quad U_C = U_L \quad \text{και} \quad \omega L = X_C$$

$$L = \frac{X_C}{\omega} = \frac{3185}{314} = 10,14 H$$

$$\underline{L = 10,14 H}$$

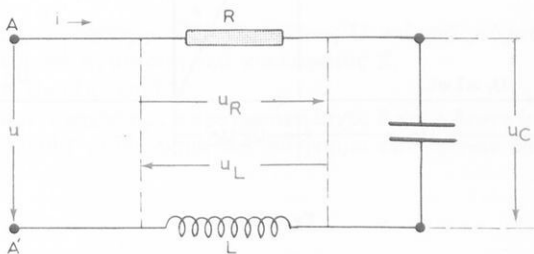
θ) Διανυσματικά διαγράμματα και τρίγωνο ίσχυών: Σχήμα 16.2i.



Σχ. 16.2i.

— **Κύκλωμα μέ αντιστάτη R , πηνίο L και πυκνωτή C σέ σειρά (κύκλωμα RLC σειράς).**

Το σχήμα 16.2ia παρουσιάζει ένα σύνθετο κύκλωμα μέ αντιστάτη R , πηνίο L και πυκνωτή C σέ σειρά. Ο αντιστάτης μπορεῖ νά θεωρηθεῖ δτι άποτελεῖ τήν αντίστασην άπωλειῶν του πηνίου.



Σχ. 16.2ia.

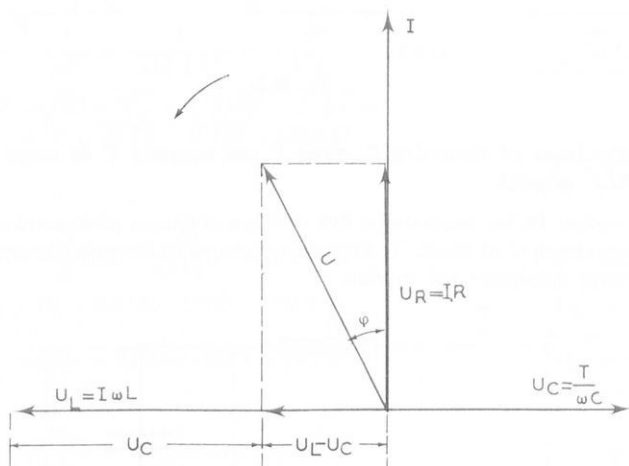
Σύμφωνα μέ δσα παραπάνω άναφέραμε ή τάση u , πού έφαρμόζεται στούς άκροδέκτες $A - A'$ είναι:

$$u = u_R + u_L + u_C \quad (7)$$

Στό διανυσματικό διάγραμμα του σχήματος 16.2ib άπεικονίζονται τά διάφορα μεγέθη μέ τίς ένεργές τιμές τους.

Τό διάνυσμα της ένεργος τιμῆς της τάσεως στά άκρα του άντιστάτη R, $U_R = IR$ και τό διάνυσμα του ρεύματος I, συμπίπτουν (διαφορά φάσεως μηδέν). Τό διάνυσμα της ένεργος τιμῆς της τάσεως στά άκρα του πηνίου L, $U_L = I\omega L$ προηγεῖται του ρεύματος I κατά 90° . Τό διάνυσμα της ένεργος τιμῆς της τάσεως μεταξύ των όπλισμῶν του πυκνωτή $U_C = \frac{I}{\omega C}$ ξεπεται του ρεύματος I κατά 90° .

Η ένεργος τιμή της τάσεως U, που έφαρμόζεται στους άκροδέκτες A - A' του κυκλώματος είναι τό γεωμετρικό άθροισμα των διανυσμάτων U_R , U_L και U_C (σχ. 16.2ιβ). Η διαφορά φάσεως μεταξύ της τάσεως U και του ρεύματος I είναι ή γωνία φ που σημειώνεται στό σχήμα 16.2ιβ.



Σχ. 16.2ιβ.

Από τό διάγραμμα προκύπτει:

$$U = \sqrt{U_R^2 + (U_L - U_C)^2} = I \sqrt{R^2 + \left(\omega L - \frac{1}{\omega C}\right)^2} \quad (8)$$

Η παράσταση:

$$\boxed{Z = \frac{U}{I} = \sqrt{R^2 + \left(\omega L - \frac{1}{\omega C}\right)^2}} \quad (9)$$

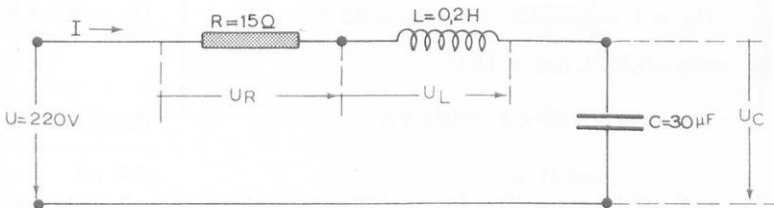
είναι ή φαινόμενη άντισταση (έμπεδηση) του κυκλώματος και μετράται σε Ω .

Στήν περίπτωσή μας ή τάση U προπορεύεται τοῦ ρεύματος κατά μιά γωνία φ. Αντό βέβαια συμβαίνει γιατί έκλεξαμε τάση $U_L > U_C$. Άν συνέβαινε τό αντίθετο τότε ή τάση U θά άκολουθούσε τό ρεύμα κατά δρισμένη γωνία φ. Ή τιμή τῆς γωνίας φ ύπολογίζεται άπό τή σχέση:

$$\text{εφφ} = \frac{U_L - U_C}{U_R} = \frac{\omega L - \frac{1}{\omega C}}{R} \quad (10)$$

Αριθμητικό παράδειγμα.

Ένα κύκλωμα άποτελεῖται άπο τέσσερα στοιχεία: Ένα άντιστάτη $R = 15 \Omega$, ένα πηνίο αύτεπαγωγῆς $L = 0,2 \text{ H}$ και ένα πυκνωτή χωρητικότητας $C = 30 \mu\text{F}$, σέ σειρά (σχ. 16.2iγ). Στά ακρα τοῦ κυκλώματος αύτοῦ έφαρμόζεται έναλλασσόμενη τάση μέ ένεργο τιμή $U = 220 \text{ V}$ καί συχνότητα $f = 50 \text{ Hz}$. Νά βρεθοῦν:



Σχ. 16.2iγ.

- a) Ή διαφορά φάσεως μεταξύ τῆς τάσεως U καί τοῦ ρεύματος I .
- β) Ή φαινόμενη αντίσταση τοῦ κυκλώματος Z .
- γ) Οι τάσεις U_R , U_L καί U_C .
- δ) Ή φαινόμενη ίσχυς P_ϕ , ή πραγματική ίσχυς P καί ή αεργη ίσχυς P_a .
- ε) Νά σχεδιασθεῖ τό διανυσματικό διάγραμμα τῶν τάσεων καί τό τρίγωνο τῶν ίσχυών.

Αύση.

$$\text{a)} \quad \text{εφφ} = \frac{\omega L - \frac{1}{\omega C}}{R} \quad \text{ή} \quad \text{εφφ} = \frac{\frac{1}{\omega C} - \omega L}{R} \quad \text{γιά} \quad \frac{1}{\omega C} > \omega L$$

$$\omega = 2\pi f = 314 \text{ rad/s}$$

$$\omega L = 314 \cdot 0,2 = 62,8 \Omega$$

$$\frac{1}{\omega C} = \frac{1}{314 \cdot 30 \cdot 10^{-6}} = 106,15 \Omega$$

$$\epsilon\varphi\varphi = \frac{106,15 - 62,8}{15} = 2,89 \quad \text{kai} \quad \underline{\varphi = 70,9^\circ}$$

$$\beta) \quad Z = \sqrt{R^2 + \left(\omega L - \frac{1}{\omega C}\right)^2} = \sqrt{15^2 + (62,8 - 106,15)^2} = \\ = \sqrt{15^2 + 43,35^2} = \sqrt{2104} = 45,86 \Omega \quad \underline{Z = 45,86 \Omega}$$

$$\gamma) \quad U_R = IR \quad I = \frac{U}{Z} = \frac{220}{45,86} = 4,8 \text{ A} \quad \underline{U_R = 72 \text{ V}}$$

$$U_R = 4,8 \cdot 15 = 72 \text{ V} \quad \underline{U_L = 301,5 \text{ V}}$$

$$U_C = I \cdot \frac{1}{\omega C} = 4,8 \cdot 106,15 = 509,5 \text{ V} \quad \underline{U_C = 509,5 \text{ V}}$$

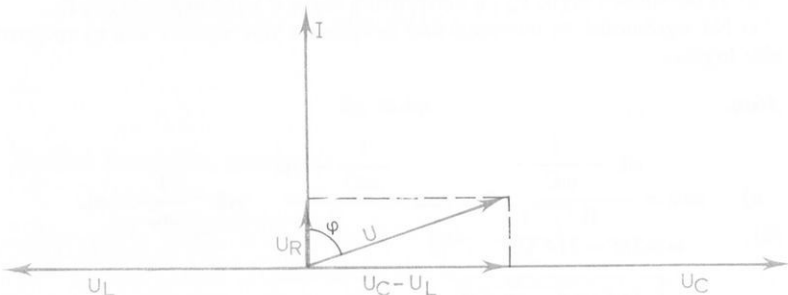
$$\delta) \quad \sigma v n \varphi = 0,3272, \eta \mu \varphi = 0,945$$

$$P_\varphi = U \cdot I = 220 \cdot 4,8 = 1056 \text{ VA} \quad \underline{P_\varphi = 1056 \text{ VA}}$$

$$P = U \cdot I \cdot \sigma v n \varphi = 220 \cdot 4,8 \cdot 0,3272 = 345,6 \text{ W} \quad \underline{P = 345,6 \text{ W}}$$

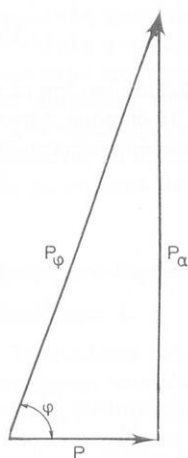
$$P_a = U \cdot I \cdot \eta \mu \varphi = 220 \cdot 4,8 \cdot 0,945 = 998 \text{ VAr.} \quad \underline{P_a = 998 \text{ VAr}}$$

e) Διανυσματικό διάγραμμα τάσεων: Σχήμα 16.2iδ.

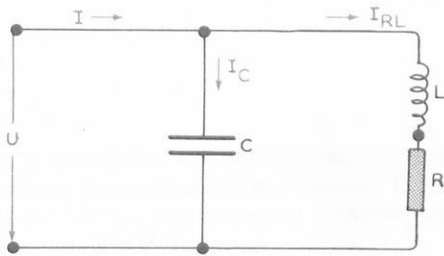


Σχ. 16.2iδ.

Τρίγωνο ίσχυών: Σχήμα 16.2ιε.



Σχ. 16.2ιε.



Σχ. 16.2ιστ.

β) Παράλληλα κυκλώματα.

Το κύκλωμα του σχήματος 16.2ιστ ἀποτελεῖται ἀπό δύο κλάδους, πού εἶναι συνδεμένοι παράλληλα. Ο ἕνας κλάδος περιλαμβάνει ἕνα πυκνωτή C καὶ ὁ ἄλλος ἔνα πηνίο L καὶ ἔναν ἀντιστάτη R σέ σειρά. Ο ἀντιστάτης R μποροῦμε νά θεωρήσουμε διτε έκφράζει τήν ωμική ἀντίσταση R τοῦ πηνίου (ἀντίσταση ἀπωλειῶν τοῦ πηνίου). Στά ἄκρα τῶν δύο αὐτῶν κλάδων ἐφαρμόζεται μιά ἐναλλασσόμενη τάση U , μέτρι ἐνεργό τιμή U . Η ἐνεργός τιμή τοῦ ρεύματος πού περνᾶ μέσα ἀπό τὸν πυκνωτή $I_C = UωC$ προπορεύεται τῆς ἐνεργοῦ τιμῆς τῆς τάσεως U , διπλας γνωρίζομε, κατά 90° (σχ. 16.2ιζ). Τό ρεῦμα πού περνᾶ μέσα ἀπό τὸ πηνίο καὶ τὸν ἀντιστάτη ἔχει ἐνεργό τιμή:

$$I_{RL} = \frac{U}{\sqrt{R^2 + (\omega L)^2}} \quad (11)$$

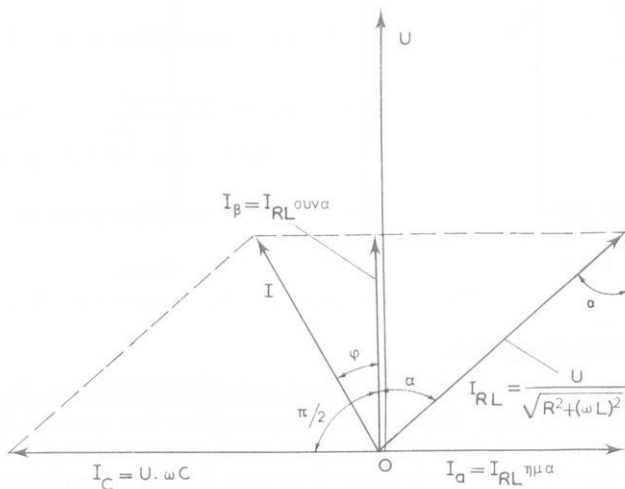
καὶ ἔπειται τῆς τάσεως π.χ. κατά μία γωνία α , δηλου:

$$\text{εφα} = \frac{\omega L}{R} \quad (12)$$

καὶ

$$\sigma v n a = \frac{R}{\sqrt{R^2 + (\omega L)^2}} \quad (13)$$

Η ένεργός τιμή του ρεύματος I πού περνᾶ άπό τό κύκλωμα είναι ίση μέ τό γεωμετρικό άθροισμα τῶν ένεργῶν τιμῶν I_C και I_{RL} . Η διαφορά φάσεως μεταξύ τῆς τάσεως U και τοῦ ρεύματος I είναι ή γωνία ϕ , πού σημειώνεται στό σχήμα 16.2ιζ.



Σχ. 16.2ιζ.

Παρατηροῦμε δτι τό ρεῦμα I προπορεύεται τῆς τάσεως U κατά τή γωνία ϕ , ἡρα τό κύκλωμα ἔχει **χωρητική συμπεριφορά**. Αντό δφειλεται στό δτι, στό παράδειγμά μας, τό ρεῦμα I_C τοῦ πυκνωτή ύπερισχύει τοῦ ρεύματος I_{RL} τοῦ πηνίου. Δηλαδή, ἂν ἀναλύσομε τό ρεῦμα I_{RL} σέ δύο συνιστῶσες, μιά βαττική συνιστώσα I_B στή διεύθυνση τῆς τάσεως και μία ἀβαττική συνιστώσα I_a κάθετη σέ αὐτήν, βλέπομε δτι τό ρεῦμα I_C είναι μεγαλύτερο τοῦ I_a . Τό κύκλωμα θά είχε **έπαγωγική συμπεριφορά** ἂν ἦταν $I_C < I_a$.

Από τό διανυσματικό διάγραμμα διαπιστώνομε, δτι ή διαφορά φάσεως μεταξύ τῆς τάσεως U και τοῦ ρεύματος I είναι στό παράδειγμά μας μικρότερη ἀπό δτι ή διαφορά φάσεως μεταξύ τῆς τάσεως U και τοῦ ρεύματος I_C ή I_{RL} . Μποροῦμε λοιπόν, δταν σέ ένα κύκλωμα παρουσιάζεται μεγάλη διαφορά φά-

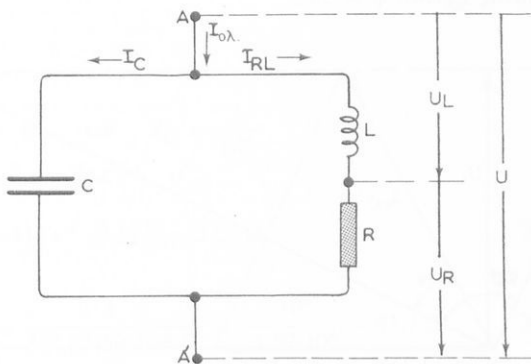
σεως μεταξύ τάσεως και ρεύματος, νά τή μικραίνομε, συνδέοντας παράλληλα ένα στοιχείο μέ αντίθετη συμπεριφορά ἀπό αυτή τοῦ κυκλώματος. "Αν τό κύκλωμα έχει ἐπαγωγική συμπεριφορά, συνδέομε παράλληλα ένα πυκνωτή μέ κατάλληλη χωρητικότητα, ἐνῶ ἂν έχει χωρητική συμπεριφορά, ένα πηνίο μέ κατάλληλη αὐτεπαγωγή. Τή δυνατότητα αυτή χρησιμοποιούμε, δπως ἀναφέραμε στήν παράγραφο 15.4 γιά νά βελτιώσουμε τό συντελεστή ίσχύος συνφ μιᾶς διατάξεως, συνδέοντας παράλληλα σέ αυτήν ένα πυκνωτή.

Στά παράλληλα κυκλώματα ξεκινάμε τή σχεδίαση τοῦ διανυσματικοῦ διαγράμματος μέ τήν τάση U , ἐπειδή εἶναι κοινή σέ δλους τούς κλάδους και αὐτό μᾶς διευκολύνει στήν τοποθέτηση τῶν ύπολοίπων διανυσμάτων.

Αριθμητικά παραδείγματα.

Παράδειγμα 1.

Τό κύκλωμα τοῦ σχήματος 16.2η ἀποτελεῖται ἀπό δύο κλάδους πού εἶναι συνδεμένοι παράλληλα. Ο ένας κλάδος ἀποτελεῖται ἀπό ένα πυκνωτή C χωρητικῆς ἀντιστάσεως $X_C = 2 \Omega$ και ὁ ἄλλος ἀπό ένα πηνίο L ἐπαγωγικῆς ἀντιστάσεως $X_L = 1 \Omega$ και ένα ἀντιστάτη $R = 2 \Omega$ σέ σειρά.



Σχ. 16.2η.

Μεταξύ τῶν ἀκροδεκτῶν $A-A'$ ἐφαρμόζεται ἑναλλασσόμενη τάση μέ ἐνεργό τιμή $U = 10 \text{ V}$. Νά δοθεῖ τό διανυσματικό διάγραμμα τάσεων - ρευμάτων και νά βρεθεῖ ἡ διαφορά φάσεως μεταξύ τῆς τάσεως U και τοῦ ὀλικοῦ ρεύματος I_{oL} .

Αύση.

$$I_{RL} = \frac{U}{\sqrt{R^2 + X_L^2}} = \frac{10}{\sqrt{2^2 + 1^2}} = 4,472 \text{ A}$$

$$U_R = I_{RL} \cdot R = 8,944 \text{ V}$$

$$U_L = I_{RL} \cdot X_L = 4,472 \text{ V}$$

$$I_C = U \omega C \quad \omega C = \frac{1}{X_C}$$

$$I_C = \frac{10}{2} = 5 \text{ A}$$

ΤΗ τάση U_R βρίσκεται σέ φάση μέ τό ρεῦμα I_{RL} .

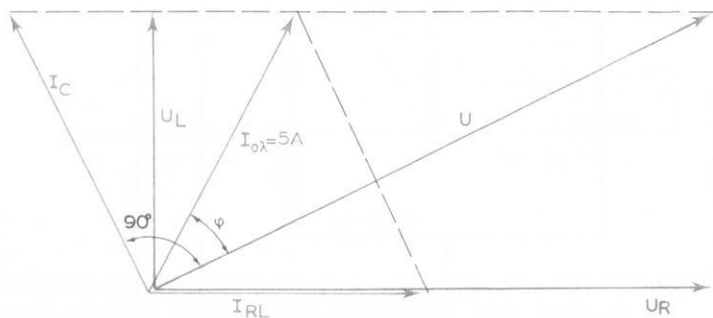
ΤΗ τάση U_L προηγεῖται τοῦ ρεύματος I_{RL} κατά 90° .

ΤΗ συνισταμένη τῶν U_R καὶ U_L εἶναι ή τάση U .

Τό ρεῦμα I_C προηγεῖται τῆς τάσεως U κατά 90° .

ΤΗ συνισταμένη τῶν I_C καὶ I_{RL} εἶναι τό ρεῦμα $I_{o\lambda}$.

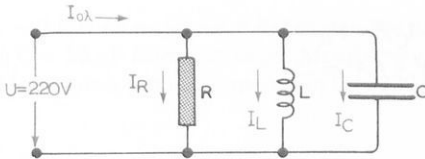
Από τό σχῆμα 16.2ιθ βρίσκομε δτι ή διαφορά φάσεως μεταξύ τῆς τάσεως U καὶ τοῦ ρεύματος $I_{o\lambda}$ εἶναι: $\phi = 36^\circ$.



Σχ. 16.2ιθ.

Παράδειγμα 2.

ΤΕνα κύκλωμα ἀποτελεῖται ἀπό ένα ἀντιστάτη $R = 50 \Omega$, ένα πηνίο αὐτεπαγωγῆς $L = 0,12 \text{ H}$ καὶ ένα πυκνωτή χωρητικότητας $C = 50 \mu\text{F}$ σέ παράλληλη σύνδεση (σχ. 16.2κ).



Σχ. 16.2κ.

Στά άκρα τοῦ κυκλώματος ἐφαρμόζεται ἐναλλασσόμενη τάση μὲν ἐνεργό τιμή $U = 220 \text{ V}$ καὶ συχνότητα $f = 50 \text{ Hz}$.

Νά βρεθοῦν:

- Οἱ ἀντιστάσεις X_L καὶ X_C τοῦ κυκλώματος.
- Ἡ ἐνεργός τιμή τῶν ρευμάτων I_R , I_L , I_C καὶ $I_{0\lambda}$.
- Ἡ φαινόμενη ἀντίσταση Z τοῦ κυκλώματος.
- Ἡ φαινόμενη, πραγματικὴ καὶ ἀεργη ἵσχυς τοῦ κυκλώματος.
- Νά δοθεῖ τὸ διανυσματικό διάγραμμα τῶν ρευμάτων.

Ανση.

$$\text{a) } X_L = \omega L \quad \text{καὶ} \quad X_C = \frac{1}{\omega C}$$

$$\omega = 2\pi f = 314 \text{ s}^{-1}$$

$$X_L = 314 \text{ s}^{-1} \cdot 0,12 \text{ H} = 37,7 \Omega$$

$$\underline{X_L = 37,7 \Omega}$$

$$X_C = \frac{1}{314 \text{ s}^{-1} \cdot 50 \cdot 10^{-6} \text{ F}} = \frac{10^6}{1,57 \cdot 10^4} = 63,7 \Omega$$

$$\underline{X_C = 63,7 \Omega}$$

$$\beta) \quad I_R = \frac{U}{R} = \frac{220}{50} = 4,4 \text{ A}$$

$$\underline{I_R = 4,4 \text{ A}}$$

$$I_L = \frac{U}{X_L} = \frac{220}{37,7} = 5,835 \text{ A}$$

$$\underline{I_L = 5,835 \text{ A}}$$

$$I_C = \frac{U}{X_C} = \frac{220}{63,7} = 3,453 \text{ A}$$

$$\underline{I_C = 3,453 \text{ A}}$$

$$\begin{aligned} I_{o\lambda}^2 &= (I_L - I_C)^2 + I_R^2 \\ &= (2,382)^2 + 4,4^2 = 25 \end{aligned}$$

$$I_{o\lambda} = 5 \text{ A}$$

$$I_{o\lambda} = 5 \text{ A}$$

$$\gamma) \quad Z = \frac{U}{I_{o\lambda}} = \frac{220}{5} = 44 \Omega$$

$$Z = 44 \Omega$$

$$\delta) \quad I_R = I_{o\lambda} \cos \varphi \quad \cos \varphi = \frac{I_R}{I_{o\lambda}} = \frac{4,4}{5} = 0,88$$

$$\varphi = 28,35^\circ$$

$$P_\varphi = UI = 220 \cdot 5 = 1100 \text{ VA}$$

$$P_\varphi = 1100 \text{ VA}$$

$$P = UI \cos \varphi = 220 \cdot 5 \cdot 0,88 = 968 \text{ W}$$

$$P = 968 \text{ W}$$

$$P_a = UI \sin \varphi = 220 \cdot 5 \cdot 0,475 = 523 \text{ VAr}$$

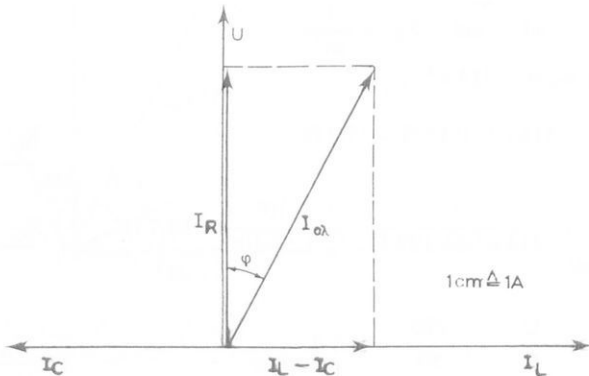
$$P_a = 523 \text{ VAr}$$

Έπαλγθευση.

$$P = UI_R = 220 \cdot 4,4 = 968 \text{ W}$$

$$P_a = U(I_L - I_C) = 220 \cdot 2,38 = 523 \text{ VAr}$$

ε) Διανυσματικό διάγραμμα: Σχήμα 16.2κα.

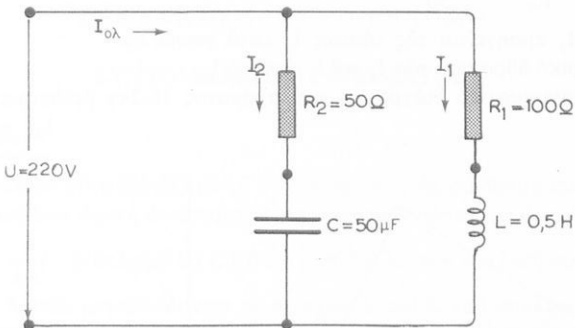


Σχ. 16.2κα.

Παράδειγμα 3.

Το κύκλωμα του σχήματος 16.2κβ αποτελεῖται από δύο κλάδους συνδεμένους παράλληλα. Ο ένας κλαδος αποτελεῖται από ένα αντιστάτη $R_1 = 100 \Omega$

και ένα πηνίο $L = 0,5 \text{ H}$ σέ σειρά και ό αλλος άπό ένα άντιστάτη $R_2 = 50 \Omega$ και ένα πυκνωτή $C = 50 \mu\text{F}$ έπισης σέ σειρά. Μεταξύ τῶν άκροδεκτῶν A-A' έφαρμόζεται έναλλασσόμενη τάση μέ ένεργο τιμή $U = 220 \text{ V}$ και συχνότητα $f = 50 \text{ Hz}$.



Σχ. 16.2κβ.

Νά βρεθοῦν:

- Η ένεργος τιμή τοῦ δλικοῦ ρεύματος $I_{0\lambda}$.
- Η διαφορά φάσεως μεταξύ τάσεως U και ρεύματος $I_{0\lambda}$.
- Η φαινόμενη άντισταση τοῦ κυκλώματος Z .

Αύση.

$$a) \quad \omega = 2\pi f = 2\pi \cdot 50 = 314 \text{ s}^{-1}$$

$$X_L = \omega L = 314 \cdot 0,5 = 157 \Omega$$

$$X_C = \frac{1}{\omega C} = \frac{1}{314 \cdot 50 \cdot 10^{-6}} = \frac{10^6}{15700} = 63,69 \Omega$$

$$Z_1 = \sqrt{R_1^2 + X_L^2} = \sqrt{100^2 + 157^2} = 10^2 \sqrt{1 + 1,57^2} = 186,14 \Omega$$

$$I_1 = \frac{U}{Z_1} = \frac{120}{186,14} = 1,18 \text{ A}$$

$$\text{εφφ}_1 = \frac{X_L}{R_1} = \frac{157}{100} = 1,57 \quad \varphi_1 = 57,5^\circ$$

Τό ρεῦμα I_1 καθυστερεῖ ώς πρός τήν τάση U κατά γωνία φ_1 .

$$Z_2 = \sqrt{R_2^2 + X_C^2} = \sqrt{50^2 + 63,69^2} = \sqrt{6556,4} = 80,97 \Omega$$

$$I_2 = \frac{U}{Z_2} = \frac{220}{80,97} = 2,717 \text{ A}$$

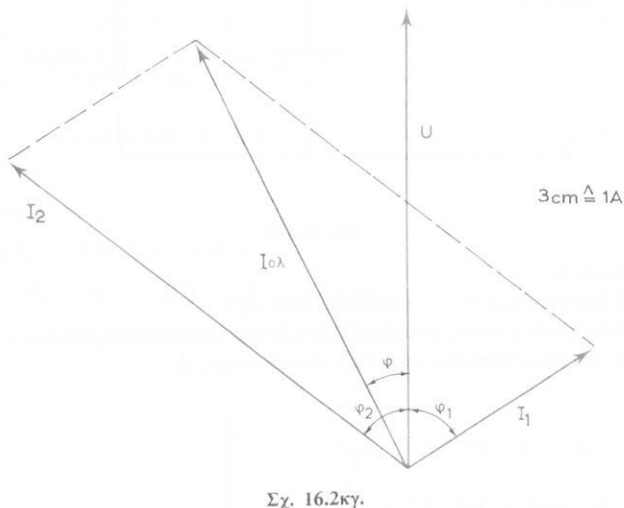
$$\varepsilon\varphi\varphi_2 = \frac{X_C}{R_2} = \frac{63,69}{50} = 1,2738 \quad \varphi_2 = 51,86^\circ$$

Τό ρεῦμα I_2 προηγεῖται τῆς τάσεως U κατά γωνία φ_2 .

Τό γεωμετρικό άθροισμα τῶν I_1 καὶ I_2 εἶναι τό $I_{o\lambda}$.

Από τό διανυσματικό διάγραμμα τοῦ σχήματος 16.2κγ βρίσκομε:

$$I_{o\lambda} = 2,56 \text{ A}$$



$\Sigma\chi$. 16.2κγ.

β) Από τό διάγραμμα ἐπίσης βρίσκομε:

$$\varphi = 26^\circ$$

$$\gamma) Z = \frac{U}{I} = \frac{220}{2,56} = 86 \Omega$$

$$Z = 86 \Omega$$

ΚΕΦΑΛΑΙΟ ΔΕΚΑΤΟ ΕΒΔΟΜΟ

ΣΥΝΤΟΝΙΣΜΟΣ ΚΥΚΛΩΜΑΤΟΣ

17.1 Γενικά.

Στό κεφάλαιο αυτό έξετάζουμε τή συμπεριφορά ένός σύνθετου κυκλώματος, πού περιλαμβάνει ώμική άντίσταση R , έπαγωγική άντίσταση ωL και χωρητική άντίσταση $\frac{1}{\omega C}$ (κύκλωμα RLC), δταν μεταβάλλεται η κυκλική συχνότητα ω τῆς πηγῆς ή δταν μεταβάλλονται τά στοιχεῖα L και C τοῦ κυκλώματος. Ένα σπουδαῖο φαινόμενο πού έμφανίζεται κατά τίς μεταβολές αυτές είναι ό **συντονισμός** τοῦ κυκλώματος.

Άπό τή Φυσική ξέρομε, δτι δταν ένα σῶμα έκτελει έξαναγκασμένη ταλάντωση, τό πλάτος τῆς ταλαντώσεως γίνεται μέγιστο, δταν ή συχνότητα τοῦ έξωτερικοῦ αἰτίου πού έπιδρα στό σῶμα γίνει ίση μέ τήν ιδιοσυχνότητα τῆς έλευθερης ταλαντώσεώς του. Τό φαινόμενο αυτό ονομάζεται, ώς γνωστό, **συντονισμός**.

Ένα άνάλογο φαινόμενο έμφανίζεται σέ ένα κύκλωμα RLC , δταν σέ δρισμένη συχνότητα τῆς πηγῆς πού τό τροφοδοτεῖ, τάσεις ή ρεύματα τοῦ κυκλώματος παίρνουν μέγιστες τιμές. Αυτό συμβαίνει δταν ή τάση και τό ρεύμα στήν είσοδο τοῦ κυκλώματος βρίσκονται σέ φάση. Γι' αυτό στήν Ήλεκτροτεχνία **όνομάζομε γενικά «συντονισμό κυκλώματος» τήν κατάσταση στήν όποια ή έφαρμοζόμενη τάση σέ ένα κύκλωμα RLC βρίσκεται σέ φάση μέ τό ρεύμα στήν είσοδό του.**

Γιά νά έμφανισθεί συντονισμός πρέπει νά άλληλοεξουδετερωθούν ή έπαγωγική και ή χωρητική άντίσταση τοῦ κυκλώματος, δηλαδή οί άντιστάσεις αυτές πρέπει νά γίνουν ίσες.

Συντονισμός έμφανίζεται τόσο σέ κυκλώματα RLC σειρᾶς δσο και σέ παράλληλα κυκλώματα RLC .

17.2 Συντονισμός σειρᾶς.

a) Συχνότητα συντονισμοῦ και ιδιοσυχνότητα κυκλώματος.

Στήν παράγραφο 16.2 έξετάσαμε τήν περίπτωση ένός κυκλώματος μέ άντιστάτη R , πηνίο L και πυκνωτή C σέ σειρά. Όπως φαίνεται άπό τό διανυσματικό διάγραμμα τοῦ σχήματος 16.2ιβ, οί τάσεις U_C τοῦ πυκνωτή και U_L τοῦ

πηνίου έχουν διαφορά φάσεως 180° , δηλαδή είναι άκριβώς άντιθετες. "Οταν λοιπόν:

$$U_L = U_C \quad (1)$$

οι τάσεις αυτές άλληλοανατομούνται και άπομένει μόνο ή τάση U_R τού άντιστάτη. Η τάση U_R είναι στήν περίπτωση αυτή ίση μέτρη τήν διλική τάση U στά οπρα τού κυκλώματος και ή διαφορά φάσεως μεταξύ τάσεως U και ρεύματος I είναι μηδέν. "Αρα έχομε **συντονισμό** στό κύκλωμα.

Τά άνωτέρω προκύπτουν άμεσα και άπό τον τύπος τής παραγράφου 16.2: Γιά $U_L = U_C$ έχομε:

$$\begin{aligned} I\omega L &= I \frac{1}{\omega C} \\ \text{kαι} \quad \boxed{\omega L = \frac{1}{\omega C}} \end{aligned} \quad (2)$$

Αυτή είναι ή **συνθήκη** γιά τήν έμφανιση συντονισμοῦ.

Οι τύποι (8), (9) και (10) τής παραγράφου 16.2 γίνονται μέτρη (2):

$$U = IR \quad (3)$$

$$Z = R \quad (4)$$

$$\epsilon\varphi = 0 \quad (\varphi = 0) \quad (5)$$

"Η συχνότητα στήν όποια έμφανιζεται συντονισμός δονομάζεται **συχνότητα συντονισμού**.

"Οταν ή αύτεπαγωγή L και ή χωρητικότητα C ένός κυκλώματος είναι σταθερές, συντονισμός έμφανιζεται μόνο δταν ή συχνότητα τής πηγής γίνει ίση μέτρη συχνότητα πού προκύπτει άπό τή σχέση (2). Η συχνότητα αυτή είναι χαρακτηριστική τού κυκλώματος και δονομάζεται **ιδιοσυχνότητα f_0** τού κυκλώματος.

"Από τή σχέση (2) έχομε:

$$\begin{aligned} \omega_0 L &= \frac{1}{\omega_0 C} \\ \check{\eta} \quad \omega_0 &= \frac{1}{\sqrt{LC}} \end{aligned} \quad (6)$$

$$\text{kαι} \quad \boxed{f_0 = \frac{1}{2\pi\sqrt{LC}}} \quad (7)$$

"Ο τύπος (7) δονομάζεται τύπος τού **Thomson**.

"Οταν ή L ή (και) ή C μεταβάλλονται, μεταβάλλεται ή ιδιοσυχνότητα τού

κυκλώματος και έπιτυγχάνεται συντονισμός σε διάφορες συχνότητες τῆς πηγῆς τροφοδοτήσεως.

β) Καμπύλες Συντονισμοῦ – Συντελεστής ποιότητας – Ζώνη διελεύσεως.

Η μεταβολή του ρεύματος I μέ τη συχνότητα ω σε ένα κύκλωμα συντονισμοῦ, προκύπτει ἀπό τὸν τύπο (9) τῆς παραγράφου 16.2:

$$I = \frac{U}{Z} = \frac{U}{\sqrt{R^2 + (\omega L - \frac{1}{\omega C})^2}} \quad (8)$$

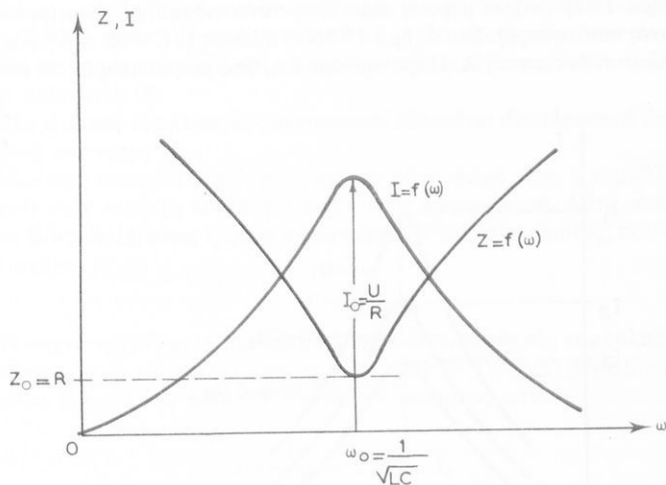
Υπό τὴν προϋπόθεση ὅτι ή τάση U και τά στοιχεῖα τοῦ κυκλώματος R , L και C παραμένουν σταθερά ή φαινόμενη ἀντίσταση Z και τὸ ρεῦμα I μεταβάλλονται ως ἔξης:

$$\text{Γιά } \omega \rightarrow 0 \quad \text{έχομε} \quad Z \rightarrow \infty \quad \text{και} \quad I \rightarrow 0$$

$$\text{Γιά } \omega = \omega_0 = \frac{1}{\sqrt{LC}} \quad \text{έχομε} \quad Z_0 = R \quad \text{και} \quad I_0 = \frac{U}{R}$$

$$\text{Γιά } \omega \rightarrow \infty \quad \text{έχομε} \quad Z \rightarrow \infty \quad \text{και} \quad I \rightarrow 0$$

Τὸ σχῆμα 17.2α δείχνει τίς καμπύλες $Z = f(\omega)$ και $I = f(\omega)$. Οἱ καμπύλες αὐτές δύνομάζονται **καμπύλες συντονισμοῦ**.



Σχ. 17.2α.

Παρατηρούμε διτή στή συχνότητα συντονισμοῦ ω_0 ή φαινόμενη άντίσταση Z_0 τού κυκλώματος έχει τήν έλάχιστη τιμή της, που είναι λιγότερη από τήν ωμική άντίσταση R , ένω τό ρεῦμα έχει τήν μέγιστη τιμή του I_0 .

Στήν περίπτωση συντονισμοῦ ή τάση U_L στά άκρα τού πηνίου είναι λιγότερη, δημοσίας άναφέραμε, μέτρη τήν τάση U_C στά άκρα τού πυκνωτή:

$$U_L = U_C = I\omega_0 L = \frac{I}{\omega_0 C} \quad (9)$$

Τήν τάση στούς άκροδέκτες τού κυκλώματος είναι:

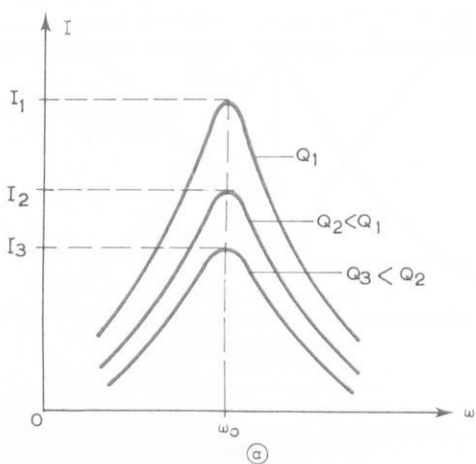
$$U = IR \quad (10)$$

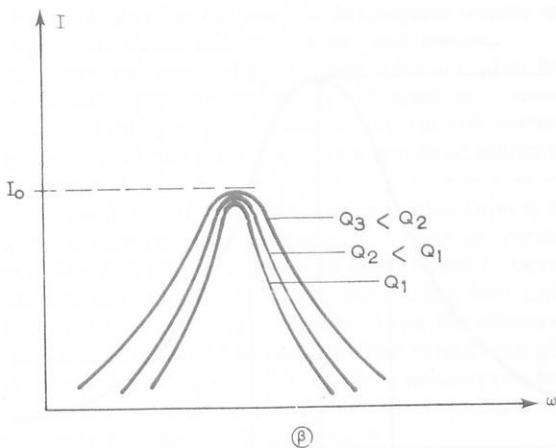
Τό πηλίκο τής τάσεως U_L ή U_C πρός τήν τάση U δονομάζεται **συντελεστής ποιότητας** τού κυκλώματος και συμβολίζεται μέτρη Q :

$$Q = \frac{U_L}{U} = \frac{U_C}{U} = \frac{\omega_0 L}{R} = \frac{1}{\omega_0 C R} = \frac{1}{R} \sqrt{\frac{L}{C}} \quad (11)$$

Τήν συντελεστής ποιότητας είναι καθαρός άριθμός και άναλογα μέτρη τιμή τῶν στοιχείων R , L , C παίρνει στήν πράξη συνήθως τιμές μεταξύ 10 και 300. Αύτό σημαίνει διτή οι τάσεις στά άκρα τού πηνίου και τού πυκνωτή είναι 10 ώς 300 φορές μεγαλύτερες άπό τήν τάση στούς άκροδέκτες τού κυκλώματος. Έμφανιζονται δηλαδή ύπερτάσεις στό έσωτερικό τού κυκλώματος σειράς, γι' αύτό δημοσίευτης ποιότητας δονομάζεται έδω και **συντελεστής ύπερτάσεως**.

Τό σχήμα 17.2β δείχνει μερικές καμπύλες συντονισμοῦ γιά διαφορετικούς συντελεστές ποιότητας Q . Στό σχήμα 17.2β(a) δηλόγος L/C είναι σταθερός και μεταβάλλεται ή άντίσταση R . Παρατηρούμε διτή, δησο μικραίνει ή R και έπομέ-





Σχ. 17.2β.

νως μεγαλώνει ό δυνατότητας Q τόσο αυξάνει τό ρεύμα I και οί καμπύλες συντονισμού γίνονται πιό μυτερές και στενές.

Στό σχήμα 17.2β(β) ή άντισταση R είναι σταθερή και μεταβάλλεται ό λόγος L/C . Έδω ή ένταση I παραμένει σταθερή, άλλα οί καμπύλες συντονισμού γίνονται έπισης πιό μυτερές και στενές δυνατότητας Q .

Άρα ή μορφή τής καμπύλης συντονισμού έχαρταται άποκλειστικά άπο τό συντελεστή ποιότητας Q .

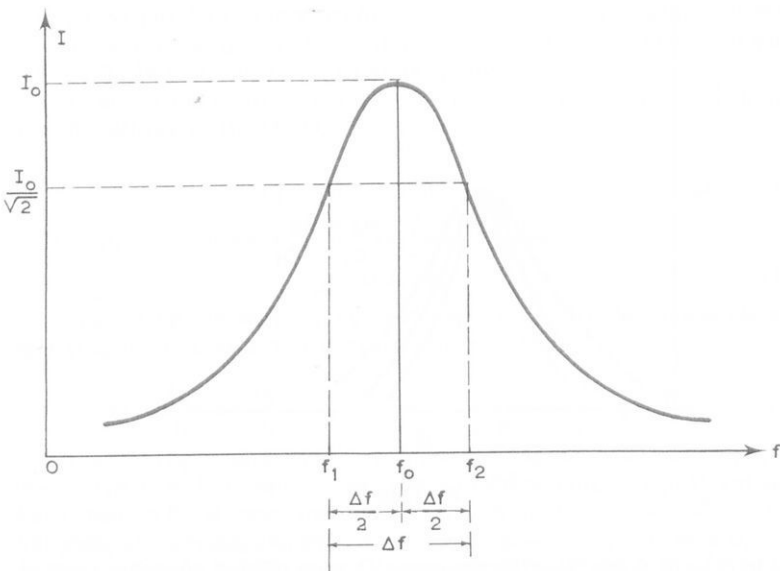
Ιδιαίτερη σημασία στήν πράξη έχει τό πόσο στενή είναι ή καμπύλη συντονισμού στήν περιοχή κοντά στή συχνότητα συντονισμού. Αντό τό έκτιμούμε μέ τή ζώνη διελεύσεως ή ζώνη συντονισμού Δf τοῦ κυκλώματος, πού δείχνεται στό σχήμα 17.2γ.

$$\Delta f = f_2 - f_1 \quad (12)$$

Οί συχνότητες f_1 και f_2 δριζονται άπο τά δύο σημεῖα τής καμπύλης συντονισμού στά δύο πρόσθια τό ρεύμα I έχει τιμή ίση πρόσθια τό $1/\sqrt{2}$ τοῦ μέγιστου ρεύματος I_0 , είναι δηλαδή ίσο πρόσθια τό 70,7% τοῦ ρεύματος αντοῦ:

$$I = \frac{I_0}{\sqrt{2}} = 0,707 \quad I_0 \quad (13)$$

Αποδεικνύεται δτι μεταξύ τής ζώνης διελεύσεως Δf και τοῦ συντελεστή ποιότητας Q ίσχύει ή σχέση:



Σχ. 17.2γ.

$$\Delta f = \frac{f_0}{Q} \quad (14)$$

Παρατηροῦμε ότι γιά δρισμένη συχνότητα συντονισμοῦ f_0 ή Δf είναι τόσο μικρότερη δύο μεγαλύτερος είναι ό συντελεστής ποιότητας Q .

γ) Ισχύς και ένέργεια των συντονισμένου κυκλώματος.

Έφόσον στήν περίπτωση συντονισμοῦ δέν υπάρχει διαφορά φάσεως μεταξύ τάσεως U και έντάσεως I_0 ($\phi_0 = 0$) προκύπτει γιά τήν πραγματική ισχύ:

$$P_0 = UI_0 \sin \phi_0 = UI_0 = I_0^2 R \quad (15)$$

και γιά τήν αεργητή ισχύ:

$$P_a = UI_0 \eta \mu \phi_0 \quad (16)$$

Άρα ένα κύκλωμα σέ συντονισμό άπορροφά άποκλειστικά πραγματική ισχύ άπό τήν πηγή, πού καταναλίσκεται στήν ώμική του άντισταση R .

Έξωτερικά τό κύκλωμα συμπεριφέρεται σάν ένας ώμικος άντιστάτης. Έπειδή τό ρεύμα I_0 είναι μέγιστο στήν περίπτωση συντονισμοῦ, ξεπεται ότι και ή πραγματική ισχύς P_0 είναι μέγιστη, σύμφωνα μέ τήν (15).

"Όταν ένα κύκλωμα είναι συντονισμένο μεταφέρεται μέγιστη πραγματική ίσχυς από τήν πηγή στόν ωμικό καταναλωτή τού κυκλώματος.

Στό έσωτερικό τού κυκλώματος ύπάρχει άποταμευμένη ένέργεια στό μαγνητικό πεδίο τού πηνίου και στό ηλεκτρικό πεδίο τού πυκνωτῆ. Ή ένέργεια αυτή κυκλοφορεῖ συνεχῶς μεταξύ τού πηνίου και τού πυκνωτῆ άλλάζοντας μορφή, χωρίς ποτέ νά ρέει πίσω πρός τήν πηγή, δημοσίευση σε ένα άσυντονιστο κύκλωμα RLC.

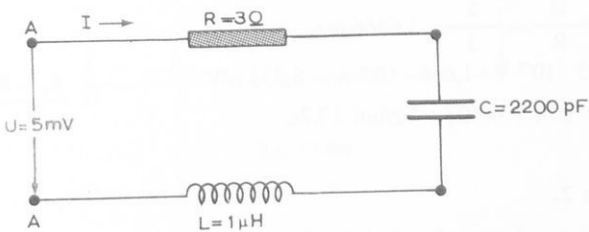
Κάποια χρονική στιγμή παρουσιάζεται π.χ. δόλοκληρη ή ένέργεια άποταμευμένη στό ηλεκτρικό πεδίο τού πυκνωτῆ, ένω τό μαγνητικό πεδίο τού πηνίου είναι μηδέν. Στή συνέχεια άρχιζει νά έκφορτίζεται ο πυκνωτής και τό ρεύμα του αυξάνει τό μαγνητικό πεδίο τού πηνίου, έως δτου μηδενισθεῖ τό ηλεκτρικό πεδίο και σταματήσει ή έκφορτιση. Λόγω τής αυτεπαγωγής δμως τού πηνίου, τό ρεύμα έξακολουθεῖ νά ρέει στήν ίδια κατεύθυνση μέ άποτέλεσμα νά άρχισει ο πυκνωτής νά φορτίζεται μέ άντιθετη πολικότητα, ένω τό μαγνητικό πεδίο έλαττώνεται και τελικά μηδενίζεται. Έτσι συμπληρώνεται ένας κύκλος και άρχιζει πάλι ή έκφορτιση τού πυκνωτῆ.

Μεταξύ τού πηνίου και τού πυκνωτῆ πραγματοποιεῖται συνεχῶς μιά ταλάντωση ένέργειας. Γι' αυτό τό κύκλωμα συντονισμοῦ δνομάζεται και **ταλαντεύομενο κύκλωμα**. Ή ταλάντωση έχει συχνότητα ίση μέ τήν ίδιοσυχνότητα τού κυκλώματος (συχνότητα συντονισμοῦ).

Άριθμητικά παραδείγματα.

Παράδειγμα 1.

Ένα κύκλωμα άποτελεῖται άπό ένα άντιστάτη $R = 3 \Omega$, ένα πυκνωτή $C = 2200 \text{ pF}$ και ένα πηνίο $L = 1 \mu\text{H}$, σέ σειρά. Στούς άκροδέκτες A - A' έφαρμοζεται έναντιλασσόμενη τάση μέ ένεργο τιμή $U = 5 \text{ mV}$ (σχ. 17.2δ). Νά βρεθοδην:



Σχ. 17.2δ.

- Η ίδιοσυχνότητα f_0 τού κυκλώματος.
- Ο συντελεστής ποιότητας Q .
- Η ζώνη διελεύσεως Δf και οι πλευρικές της συχνότητες f_1 και f_2 (συχνό-

τητες στις όποιες τό ρεῦμα I παιρνει τήν τιμή $\frac{1}{\sqrt{2}} \cdot I_0$.

δ) Ή ίσχυς τοῦ συντονισμένου κυκλώματος.

ε) Νά σχεδιασθεῖ ἡ συνάρτηση $I = f(f)$.

Ανση.

$$a) f_0 = \frac{1}{2\pi \sqrt{LC}} = \frac{1}{2\pi \sqrt{1 \cdot 10^{-6} \cdot 2200 \cdot 10^{-12}}} = \frac{1}{29,455} \cdot 10^8 = 3,395 \text{ MHz}$$

$$f_0 = 3,395 \text{ MHz}$$

$$\beta) Q = \frac{\omega_0 L}{R} = \frac{2\pi f_0 \cdot L}{R} = \frac{2\pi \cdot 3,395 \cdot 10^6 \cdot 1 \cdot 10^{-6}}{3} = 7,1$$

$$Q = 7,1$$

$$\gamma) \Delta f = \frac{f_0}{Q} = \frac{3,395}{7,1} = 0,478 \text{ MHz}$$

$$\Delta f = 0,478 \text{ MHz}$$

$$f_1 = f_0 - \frac{\Delta f}{2} = 3,395 - \frac{0,478}{2} = 3,156 \text{ MHz}$$

$$f_1 = 3,156 \text{ MHz}$$

$$f_2 = f_0 + \frac{\Delta f}{2} = 3,395 + 0,239 = 3,634$$

$$f_2 = 3,634 \text{ MHz}$$

$$\delta) P_0 = UI_0 \sin\phi_0 \quad \sin\phi_0 = 1$$

$$I_0 = \frac{U}{R} = \frac{5}{3} = 1,6666 \text{ mA}$$

$$P_0 = 5 \cdot 10^{-3} \text{ V} \cdot 1,666 \cdot 10^{-3} \text{ A} = 8,333 \mu\text{W}$$

$$P_0 = 8,333 \mu\text{W}$$

ε) Συνάρτηση $I = f(f)$: Σχῆμα 17.2ε.

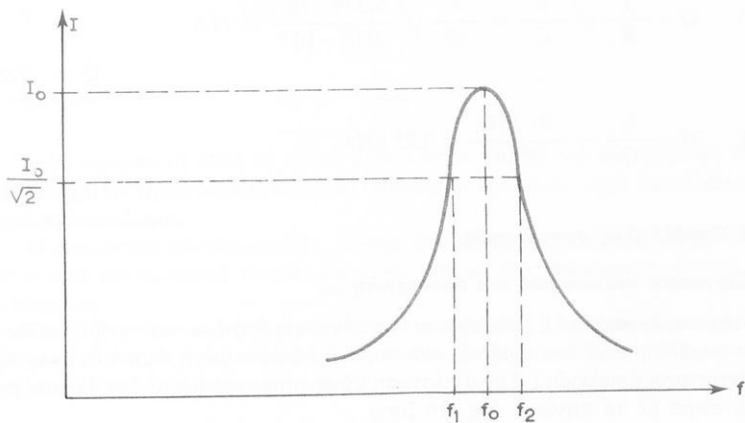
Παράδειγμα 2.

Ένα κύκλωμα άποτελεῖται άπό ένα άντιστάτη $R = 10 \Omega$, ένα πυκνωτή $C = 0,01 \mu\text{F}$ και ένα πηνίο L σέ σειρά (σχ. 17.2στ). Στούς άκροδέκτες $A - A'$ έφαρμόζεται έναλλασσόμενη τάση μέ ένεργο τιμή U. Όταν ή ίδιοσυχνότητα τοῦ κυκλώματος είναι $f_0 = 20 \text{ kHz}$. Νά βρεθοῦν:

α) Η τιμή τῆς αντεπαγωγῆς L.

β) Ο συντελεστής ποιότητας Q.

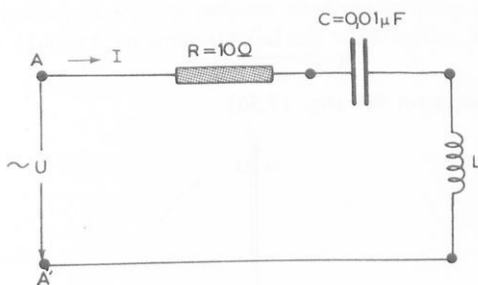
γ) Η ζώνη διελεύσεως Δf .



$2 \text{ cm} \triangleq 1 \text{ MHz}$

$3 \text{ cm} \triangleq 1 \text{ mA}$

$\Sigma \chi. 17.2 \varepsilon.$



$\Sigma \chi. 17.2 \sigma \tau.$

Ανάση.

$$a) \quad f_0 = \frac{1}{2\pi \sqrt{LC}} \quad \tilde{\eta} \quad f_0^2 = \frac{1}{4\pi^2 LC}$$

$$L = \frac{1}{4\pi^2 f_0^2 C} = \frac{1}{4\pi 20^2 \cdot (10^3)^2 \cdot 0.01 (10^{-6})} = 6,339 \text{ mH}$$

$$L = 6,339 \text{ mH}$$

$$\beta) \quad Q = \frac{1}{R} \sqrt{\frac{L}{C}} = \frac{1}{10} \sqrt{\frac{6,339 \cdot 10^{-3}}{0,01 \cdot 10^{-6}}} = 79,6$$

$$Q = 79,6$$

$$\gamma) \quad \Delta f = \frac{f_0}{Q} = \frac{20 \text{ kHz}}{79,6} = 0,25 \text{ kHz}$$

$$\Delta f = 0,25 \text{ kHz}$$

17.3 Παράλληλος συντονισμός.

a) Συχνότητα συντονισμοῦ καὶ ιδιοσυχνότητα.

Στήν παράγραφο 16.2 μελετήσαμε ἔνα κύκλωμα ἀπό ἓνα πυκνωτή C συνδεμένο παράλληλα μέ τὸ πηνίο L πού παρουσιάζει ὄρισμένη ωμική ἀντίσταση R (ἀντίσταση ἀπωλειῶν). Τήν ἀντίσταση αὐτή παραστήσαμε μέ ἓνα ἀντιστάτη R σὲ σειρά μέ τὸ πηνίο L (σχ. 16.2ιστ).

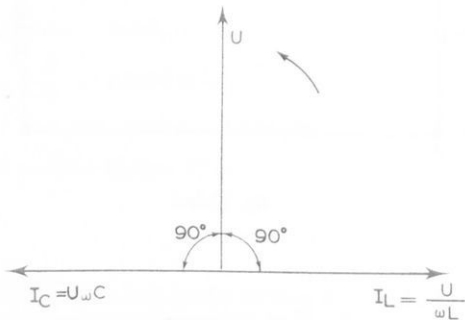
Ἄν την ἀντίσταση R τοῦ πηνίου εἶναι ἀμελητέα, ἔχομε ἓνα πυκνωτή C παράλληλα συνδεμένο μέ τὸ πηνίο L. Στήν περίπτωση αὐτή τὸ ρεῦμα τοῦ πυκνωτῆ:

$$I_C = U\omega C \quad (1)$$

προηγεῖται τῆς τάσεως U κατά 90°, ἐνῷ τὸ ρεῦμα τοῦ πηνίου:

$$I_L = \frac{U}{\omega L} \quad (2)$$

ἔπειται τῆς τάσεως κατά 90° (σχ. 17.3a).



Σχ. 17.3a.

Παρατηροῦμε ὅτι τὰ ρεύματα I_L καὶ I_C εἶναι ἀκριβῶς ἀντίθετα καὶ ἀλληλοεξουδετερώνονται, δταν:

$$I_L = I_C \quad (3)$$

$$\tilde{\eta} \quad U \omega_0 C = \frac{U}{\omega_0 L} \quad (4)$$

$$\tilde{\eta} \quad \omega_0 = \frac{1}{\sqrt{LC}} \quad (5)$$

Στήν περίπτωση αυτή τό διαλογό ρεύμα στήν είσοδο του κυκλώματος είναι μηδέν και δέν παρουσιάζει διαφορά φάσεως μέ τήν τάση. Αρα έχομε **συντονισμό στό κύκλωμα**.

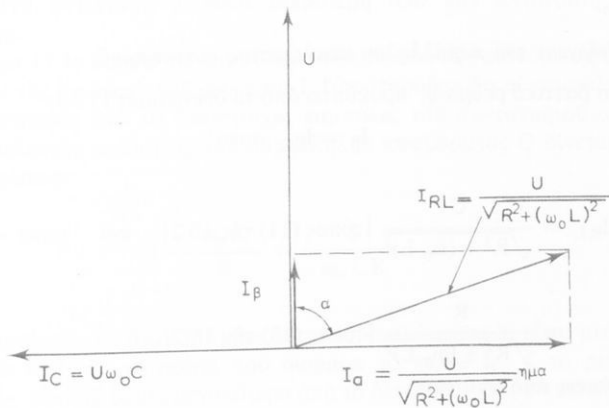
Η συχνότητα συντονισμού ω_0 δίνεται άπό τήν ίδια σχέση πού ισχύει γιά τό κύκλωμα συντονισμού σειράς και είναι ίση μέ τήν ίδιοσυχνότητα του κυκλώματος.

Όταν ή άντισταση του πηνίου δέν είναι άμελητέα ισχύει τό διανυσματικό διάγραμμα του σχήματος 16.2ιζ. Αν ύποθέσουμε δτι τό ρεύμα I_C στόν πυκνωτή γίνεται ίσο μέ τό άβαττικό ρεύμα I_a :

$$I_C = I_a \quad (6)$$

$$\tilde{\eta} \quad U \omega_0 C = \frac{U}{\sqrt{R^2 + (\omega_0 L)^2}} \text{ ημα} \quad (7)$$

τότε άλληλοεξουδετερώνονται τά ρεύματα αυτά και άπομένει μόνο τό βαττικό ρεύμα I_B , σάν διαλογό ρεύμα στήν είσοδο του παράλληλου κυκλώματος (σχ. 17.3β).



Σχ. 17.3β.

Τό ρεύμα I_B είναι σέ φάση μέ τήν τάση U , ορα στήν περίπτωση αντή έχουμε πάλι **συντονισμό** στό κύκλωμα.

*Από τή συνθήκη συντονισμοῦ (7) προκύπτει:

$$\omega_0 C = \frac{1}{\sqrt{R^2 + (\omega_0 L)^2}} \eta \mu a$$

*Επειδή $\eta \mu a = \frac{\omega_0 L}{\sqrt{R^2 + (\omega_0 L)^2}}$

παίρνομε $\omega_0 C = \frac{\omega_0 L}{R^2 + (\omega_0 L)^2}$

Στήν πράξη τό τετράγωνο τῆς R είναι πολύ μικρότερο άπό τό τετράγωνο τῆς $\omega_0 L$ [$R^2 << (\omega_0 L)^2$].

*Αρα: $\omega_0 C \approx \frac{1}{\omega_0 L}$

καί $\omega_0 \approx \frac{1}{\sqrt{LC}}$ (8)

Παρατηροῦμε ότι καί στό παράλληλο κύκλωμα μέ ωμικές άπωλειες ίσχύει κατά προσέγγιση ό τύπος τοῦ Thomson γιά τήν κυκλική συχνότητα συντονισμοῦ ω_0 .

β) Η ένέργεια τοῦ παράλληλου κυκλώματος συντονισμοῦ.

Γιά τό βαττικό ρεύμα I_B προκύπτει άπό τό διάγραμμα 17.3β.

$$I_B = I_{RL} \text{ συνα } \quad (9)$$

Μέ $I_{RL} = \frac{U}{\sqrt{R^2 + (\omega_0 L)^2}}$ [τύπος (11) τῆς 16.2] καί συνα =

$$= \frac{R}{\sqrt{R^2 + (\omega_0 L)^2}} \text{ [τύπος (13) τῆς 16.2]}$$

Προκύπτει άπό τήν (9):

$$I_B = \frac{UR}{R^2 + (\omega_0 L)^2} \quad (10)$$

Λαμβάνοντας ύπόψη τήν (8) και δι $R^2 \ll (\omega_0 L)^2$ παίρνουμε τελικά άπο τή (10):

$$I_B \approx UR \frac{C}{L} \approx \frac{U}{R'} \quad (11)$$

Παρατηρούμε δι τό παράλληλο κύκλωμα, δταν είναι συντονισμένο, συμπεριφέρεται σάν νά περιλαμβάνει άποκλειστικά ένα ώμικό άντιστάτη:

$$R' = \frac{L}{CR} \quad (12)$$

Στόν άντιστάτη R' καταναλώνεται ή ένέργεια πού προσφέρει ή πηγή. Ή ένέργεια αυτή καλύπτει τίς άπωλειες Joule τοῦ κυκλώματος. Στό έσωτερικό τοῦ κυκλώματος πραγματοποιεῖται περιοδικά άνταλλαγή ένέργειας μεταξύ τοῦ πυκνωτῆ και τοῦ πηνίου, δπως περιγράψαμε στό κύκλωμα συντονισμοῦ σειρᾶς.

γ) Καμπύλες συντονισμοῦ – Συντελεστής ποιότητας – Ζώνη διελεύσεως.

Από τό σχῆμα 16.2ι διαπιστώνομε δι τό ρεῦμα I παίρνει τή μικρότερή του τιμή στήν περίπτωση τοῦ συντονισμοῦ, δταν ή συχνότητα τής πηγῆς γίνει ίση μέ τήν ίδιοσυχνότητα τοῦ κυκλώματος ($\omega = \omega_0$). Στήν περίπτωση αυτή τό κύκλωμα παρουσιάζει τή μέγιστη φαινόμενη άντιστασή του Z_0 . Σέ δποιαδήποτε άλλη συχνότητα τό δλικό ρεῦμα I είναι μεγαλύτερο άπο τό I_0 και ή φαινόμενη άντισταση Z είναι μικρότερη άπο τήν άντισταση Z_0 σέ συντονισμό.

Τό σχῆμα 17.3γ δείχνει τίς καμπύλες συντονισμοῦ τής φαινόμενης άντιστάσεως Z και τής έντάσεως τοῦ ρεύματος I . Παρατηρούμε δι οί καμπύλες αντές είναι άντιστροφες άπο τίς άντιστοιχες καμπύλες τοῦ συντονισμοῦ σειρᾶς.

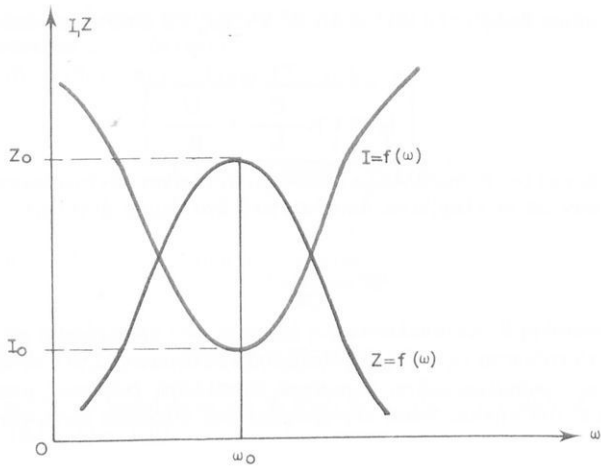
Ο συντελεστής ποιότητας τοῦ παράλληλου κυκλώματος Q δίνεται έπισης άπο τίς σχέσεις:

$$Q = \frac{\omega_0 L}{R} = \frac{1}{\omega_0 CR} \quad (13)$$

Άποδεικνύεται δι δταν ή άντισταση τοῦ κυκλώματος R είναι μικρή συγκριτικά μέ τήν ωL , τό ρεῦμα πού διαρρέει τό πηνίο I_L η τό ρεῦμα τοῦ πυκνωτῆ I_C είναι Q φορές μεγαλύτερο άπο τό δλικό ρεῦμα τοῦ κυκλώματος:

$$I_L \approx I_C \approx I_B Q \quad (14)$$

Άρα στούς δύο κλάδους τοῦ κυκλώματος έμφανίζεται μία **ύπερένταση**.



Σχ. 17.3γ.

Η ζώνη διελεύσεως τοῦ παράλληλου κυκλώματος δορίζεται ἐπίσης ἀπό τή σχέση:

$$\Delta f = f_2 - f_1 = \frac{f_0}{Q} \quad (15)$$

Οπως δυνατός φαίνεται στό σχῆμα 17.3δ οἱ συχνότητες f_1 καὶ f_2 ἀντιστοιχοῦν ἐδῶ στό 0,707 τῆς μέγιστης φαινόμενης ἀντιστάσεως Z_0 καὶ στό 1,41 τῆς ἐλάχιστης τιμῆς τοῦ ρεύματος I_0 .

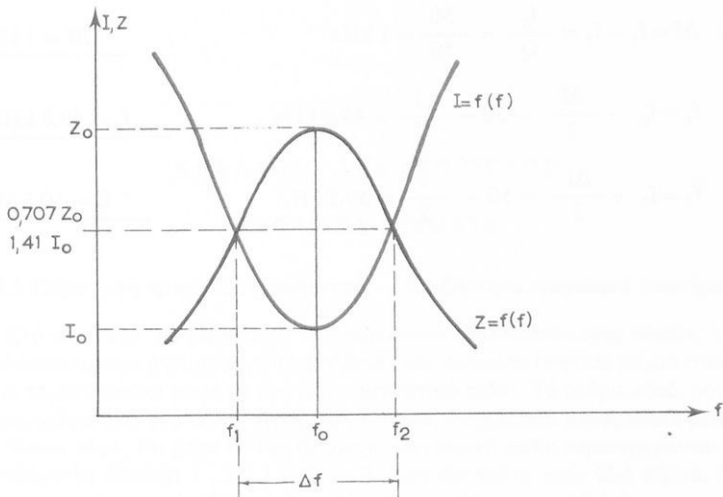
Αριθμητικό παράδειγμα.

Δίνεται τό κύκλωμα τοῦ σχήματος 17.3ε δπον: $R = 40 \Omega$, $L = 6,36 \text{ mH}$ καὶ $C = 1590 \text{ pF}$. Στούς ἀκροδέκτες A-A' ἐφαρμόζεται ἐναλλασσόμενη τάση μὲ ἐνεργό τιμή U. Νά βρεθοῦν:

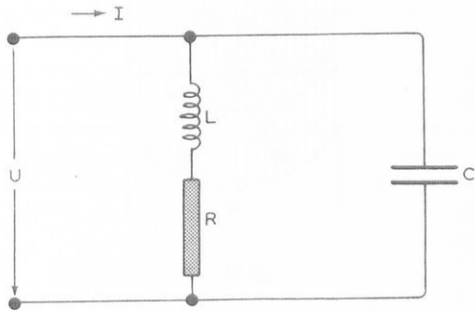
- a) Η ἴδιοσυχνότητα f_0 τοῦ κυκλώματος.
- β) Ο συντελεστής ποιότητας Q .
- γ) Η ζώνη διελεύσεως Δf καθώς καὶ οἱ πλευρικές συχνότητες f_1 καὶ f_2 .

Αύση.

$$a) f_0 = \frac{1}{2\pi\sqrt{LC}} = \frac{1}{2\pi\sqrt{6,36 \cdot 10^{-3} \cdot 1590 \cdot 10^{-12}}} = 50 \text{ kHz} \quad f_0 = 50 \text{ kHz}$$



$$\Sigma\chi = 17.3\delta.$$



$$\Sigma\chi = 17.3\varepsilon.$$

$$\beta) \quad Q = \frac{\omega_0 L}{R} = \frac{2\pi f_0 L}{R} = \frac{2\pi \cdot 50 \cdot 10^3 \cdot 6,36 \cdot 10^{-3}}{40} \quad \underline{\quad Q = 50 \quad}$$

$$\gamma) \quad \Delta f = f_1 - f_2 = \frac{f_0}{Q} = \frac{50}{50} = 1 \text{ kHz} \quad \underline{\Delta f = 1 \text{ kHz}}$$

$$f_1 = f_0 - \frac{\Delta f}{2} = 50 - \frac{1}{2} = 49,5 \text{ kHz} \quad \underline{f_1 = 49,5 \text{ kHz}}$$

$$f_2 = f_0 + \frac{\Delta f}{2} = 50 + \frac{1}{2} = 50,5 \text{ kHz} \quad \underline{f_2 = 50,5 \text{ kHz}}$$

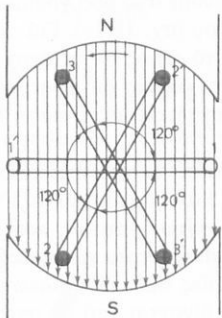
ΚΕΦΑΛΑΙΟ ΔΕΚΑΤΟ ΟΓΔΟΟ

ΤΡΙΦΑΣΙΚΑ ΡΕΥΜΑΤΑ

18.1 Παραγωγή τριφασικού ρεύματος — Ἀνεξάρτητα τριφασικά συστήματα.

Στό κεφάλαιο 14 γνωρίσαμε τήν παραγωγή ἐναλλασσόμενης τάσεως καί ἐναλλασσόμενου ρεύματος μέ τή βοήθεια ἐνός πλαισίου (πηνίου μέ μιά σπείρα), πού περιστρέφεται μέσα σέ διμογενές μαγνητικό πεδίο. Τό ρεῦμα αὐτό, πού δημιουργεῖται ἀπό ἕνα μόνο στρεφόμενο πηνίο, δονομάζεται **μονοφασικό ρεῦμα**.

Ἐστω τώρα, δτι μέσα σέ ἕνα διμογενές μαγνητικό πεδίο περιστρέφονται τρία ἀνεξάρτητα πλαισία 1 - 1', 2 - 2', 3 - 3', τοποθετημένα στόν ίδιο ἄξονα, ἀλλά μετατοπισμένα κατά 120° τό ἕνα ώς πρός τό ἄλλο (σχ. 18.1a).



Σχ. 18.1a.

Εἶναι φανερό δτι σέ κάθε πλαισίο θά δημιουργηθεῖ ἐναλλασσόμενη τάση μέ τήν ίδια ἀκριβῶς μορφή (ήμιτονική τάση μέ τήν ίδια μέγιστη τιμή, ίδια συχνότητα κλπ.), ἔφόσον τά πλαισία εἶναι ἀκριβῶς τά ίδια καί περιστρέφονται μέσα στό ίδιο μαγνητικό πεδίο μέ τήν ίδια γωνιακή ταχύτητα. Ἐπειδή δυως τά πλαισία εἶναι μετατοπισμένα μεταξύ τους κατά 120° , δταν ἕνα πηνίο βρίσκεται σέ ὅρισμένη θέση, π.χ. παράλληλα στίς μαγνητικές γραμμές καί ή τάση του ἔχει ὅρισμένη στιγμιαία τιμή, π.χ. τή μέγιστη τιμή, τό πηνίο πού τό ἀκολουθεῖ φθάνει στή θέση αὐτή καί ή τάση του παίρνει τήν ίδια τιμή μετά ἀπό στροφή 120° .

(ή $\frac{2\pi}{3}$ rad). Υπό την προηγείται καθυστερεί ως πρός τήν τάση του πηνίου πού άκολουθεί **καθυστερεί** ως πρός τήν τάση του πηνίου πού προηγείται κατά 120° η μέλλον λόγια οι δυο τάσεις παρουσιάζουν διαφορά φάσεως 120° .

Αντίθετα, τό πηνίο πού προηγείται έχει περάσει άπο τήν ίδια θέση και έχει πάρει τήν ίδια τιμή κατά 120° νωρίτερα.

Άρα η τάση αυτή προηγείται κατά 120° .

Έτσι, αν υπολογίσομε τίς φάσεις, π.χ. ως πρός τό πλαίσιο $1 - 1'$, παίρνομε 3 τάσεις μέ τή μορφή:

$$u_1 = U_m \cdot \eta \omega t \quad (1)$$

$$u_2 = U_m \cdot \eta \mu (\omega t - \frac{2\pi}{3}) \quad (2)$$

$$u_3 = U_m \cdot \eta \mu (\omega t + \frac{2\pi}{3}) \quad (3)$$

Τό σχήμα 18.1β(α) δείχνει τό διανυσματικό διάγραμμα τῶν μεγίστων τιμῶν τῶν τριῶν τάσεων και τό σχήμα 18.1β(β) τή χρονική μεταβολή τῶν στιγμιαίων τιμῶν τους.

Τά 3 πλαίσια τά παριστάνομε γραφικά μέ 3 πηνία μετατοπισμένα μεταξύ τους κατά 120° και τά διακρίνομε άπο δύο γράμματα, πού χαρακτηρίζουν τήν άρχη και τό τέλος κάθε πηνίου (σχ. 18.1γ). Γιά τήν άρχη χρησιμοποιούμε τά γράμματα U, V, W και γιά τό τέλος άντιστοιχα τά γράμματα X, Y, Z.

Τά τρία πηνία δονομάζονται **φάσεις τοῦ συστήματος** (ή φάση μέ τήν έννοια τοῦ πηνίου δέν πρέπει νά συγχέεται μέ τή φάση ένός έναλλασσόμενου μεγέθους).

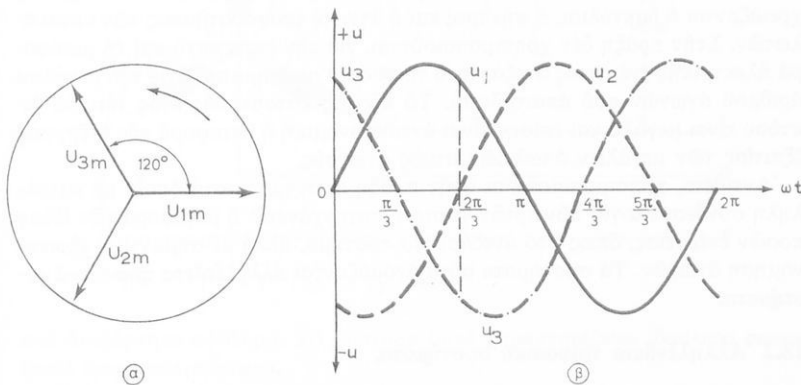
Σέ κάθε φάση μπορούμε νά συνδέσουμε ένα καταναλωτή, δπως φαίνεται στό σχήμα 18.1γ. Παίρνομε έτσι 3 άνεξάρτητα μεταξύ τους μονοφασικά κυκλώματα. **Τό σύστημα τριῶν άνεξαρτήτων φάσεων, πού είναι μετατοπισμένες μεταξύ τους κατά 120° , δονομάζεται άνεξάρτητο τριφασικό σύστημα.**

Άν προσθέσουμε τίς στιγμιαίες τιμές τῶν τάσεων στά 3 κυκλώματα ένός άνεξάρτητου συστήματος, δπως δίνονται άπο τίς σχέσεις (1), (2) και (3), παρατηροῦμε δτι τό άθροισμά τους είναι ίσο μέ τό μηδέν.

$$\begin{aligned} u &= u_1 + u_2 + u_3 = U_m \cdot \eta \omega t + U_m \cdot \eta \mu (\omega t - \frac{2\pi}{3}) + U_m \cdot \eta \mu (\omega t + \frac{2\pi}{3}) = \\ &= U_m \cdot \eta \omega t + U_m \cdot \eta \mu \text{ συν } \frac{2\pi}{3} - U_m \cdot \eta \mu \text{ συν } \frac{2\pi}{3} + \\ &\quad + U_m \cdot \eta \mu \text{ συν } \frac{2\pi}{3} + U_m \cdot \eta \mu \text{ συν } \frac{2\pi}{3} = \\ &= U_m \cdot \eta \omega t + U_m \cdot \eta \mu \text{ συν } 120^\circ + U_m \cdot \eta \mu \text{ συν } 120^\circ = \end{aligned}$$

$$= U_m \text{ ημωτ} - 0,5 U_m \text{ ημωτ} - 0,5 U_m \text{ ημωτ} = 0 \quad (4)$$

Τό ίδιο άποτέλεσμα βρίσκομε και άπο τίς καμπύλες του σχήματος 18.1β(β) γιά όποιαδήποτε χρονική στιγμή. Π.χ. για $\omega t = 120^\circ$ ($\frac{2\pi}{3}$).

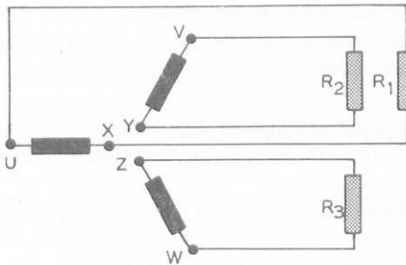


Σχ. 18.1β.

$$u_1 = -u_3 \quad \text{καὶ} \quad u_2 = 0$$

$$\text{Άρα:} \quad u = u_1 + u_2 + u_3 = -u_3 + 0 + u_3 = 0$$

Τό άλγεβρικό άθροισμα τῶν στιγμαίων τιμῶν τῶν τάσεων στά τρία κυκλώματα ἐνός ἀνεξάρτητου τριφασικοῦ συστήματος μέ δυοιες φάσεις (πηνία) εἶναι ίσο μέ μηδέν, όποιαδήποτε χρονική στιγμή.



Σχ. 18.1γ.

Όταν στίς τρεῖς φάσεις συνδέονται ίσοι ώμικοι καταναλωτές ($R_1 = R_2 = R_3$, στό σχήμα 18.1γ), τά ρεύματα πού ρέουν στά τρία κυκλώματα εἶναι ίσα, παρουσιάζουν δυμώς μεταξύ τους διαφορά φάσεως 120° δπως οἱ ἀντίστοιχες τά-

σεις. Ή χρονική μεταβολή τῶν τριῶν ρευμάτων ἔχει τήν ἴδια μορφή μέ τή μεταβολή τῶν τάσεων πού δείχνεται στό σχῆμα 18.1β(β). Ἀρα, ἂν προσθέσουμε τίς στιγμιαῖς τιμές τῶν ρευμάτων δποιαδήποτε χρονική στιγμή, τό ἄθροισμα πού προκύπτει εἶναι μηδὲν.

Γιά τή λήψη τῶν 3 τάσεων ἐνός ἀνεξάρτητου τριφασικοῦ συστήματος χρειάζονται 6 δακτύλιοι, 6 ψήκτρες καὶ 6 ἀγωγοί τροφοδοτήσεως τῶν καταναλωτῶν. Στήν πράξη δέν χρησιμοποιοῦνται, γιά τήν παραγωγή καὶ τή μεταφορά ἡλεκτρικῆς ἐνέργειας ἀνεξάρτητα τριφασικά συστήματα λόγω τοῦ μεγάλου ἀριθμοῦ ἀγωγῶν πού ἀπαιτοῦνται. Τό κόστος κατασκευῆς ἐνός τέτοιου δικτύου εἶναι μεγάλο καὶ ἐπίσης εἶναι ἀντιοκονομική ἡ μεταφορά τῆς ἐνέργειας ἔξαιτίας τῶν μεγάλων ἀπωλειῶν στούς ἀγωγούς.

Ἀντίθετα, χρησιμοποιοῦνται στήν πράξη συστήματα στά δποῖα μέ κατάλληλη συνδεσμολογία τῶν τριῶν φάσεων ἐπιτυγχάνεται ἡ μεταφορά τῶν ἴδιων ποσῶν ἐνέργειας, δπως στό ἀνεξάρτητο σύστημα, ἀλλά μέ σημαντική ἐξοικονόμηση ἀγωγῶν. Τά συστήματα αὐτά ὀνομάζονται **ἀλληλένδετα τριφασικά συστήματα**.

18.2 Ἀλληλένδετα τριφασικά συστήματα.

Ἐνα τριφασικό σύστημα στό δποῖο οἱ φάσεις εἶναι συνδεμένες μεταξύ τους, δνομάζεται ἀλληλένδετο τριφασικό σύστημα.

Ὑπάρχουν δύο βασικοί τρόποι συνδέσεως τῶν φάσεων: ἡ **ἀστεροειδής σύνδεση** καὶ ἡ **τριγωνική σύνδεση**.

a) Ἀστεροειδής σύνδεση (ἢ σύνδεση κατά ἀστέρα).

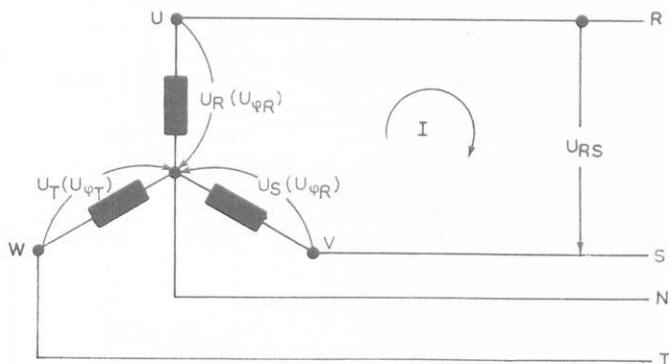
Στήν ἀστεροειδή σύνδεση συνδέομε ἀγωγίμα μεταξύ τους τά τέλη τῶν τριῶν φάσεων X, Y, Z σέ ἔνα σημεῖο, πού ὀνομάζεται **οὐδέτερος κόμβος**, μέ ἀποτέλεσμα νά σχηματισθεῖ ἀπό τίς φάσεις ἔνας ἀστέρας.

Τά ἄκρα U, V, W τῶν φάσεων συνδέονται μέ τρεῖς ἀγωγούς τροφοδοτήσεως, πού χαρακτηρίζονται ἀντίστοιχα μέ τά γράμματα R, S, T, ἐνῶ δ οὐδέτερος κόμβος συνδέεται μέ τόν ἀγωγό N, πού ὀνομάζεται **οὐδέτερος ἀγωγός** (σχ. 18.2a).

Στό σύστημα αὐτό παρατηροῦμε δτι ἔχομε 4 ἀγωγούς ἀντί 6 τοῦ ἀνεξάρτητου συστήματος. Γι' αὐτό καὶ ὀνομάζεται **ἀστεροειδές τριφασικό σύστημα μέ 4 ἀγωγούς**.

Στό σύστημα μέ 4 ἀγωγούς ἔχομε δύο διαφορετικές τιμές τάσεως στή διάθεσή μας:

1) Μεταξύ κάθε ἀγωγοῦ τροφοδοτήσεως R, S, T καὶ τοῦ οὐδέτερου ἀγωγοῦ N ἐπικρατεῖ τάση, πού ὀνομάζεται **φασική τάση U_ϕ** . Ή φασική τάση εἶναι ἵση μέ τήν τάση στά ἄκρα τῆς ἀντίστοιχης φάσεως (π.χ. $U_{\phi R} = U_R$). Ἐφόσον οἱ 3 φάσεις (πηνία) ἔχουν ἴδια κατασκευή, οἱ 3 φασικές τάσεις εἶναι ἵσες ($U_R = U_S = U_T = U_\phi$) καὶ παρουσιάζουν διαφορά φάσεως μεταξύ τους 120° , δπως



Σχ. 18.2α.

στό άνεξάρτητο σύστημα. Τό σύστημα αυτό χαρακτηρίζεται ίδιαίτερα **συμμετρικό τριφασικό σύστημα**.

Σέ ενα συμμετρικό σύστημα τό δθροισμα των στιγμιαίων τιμών των φασικών τάσεων δποιαδήποτε στιγμή είναι μηδέν.

2) Ή τάση μεταξύ δύο άγωγών τροφοδοτήσεως, π.χ. μεταξύ των R και S, δημοάζεται **πολική τάση U**. Ή τιμή της τάσεως αυτής προκύπτει ώς έξης:

Στό σχήμα 18.2α U_R είναι ή τάση μεταξύ του άγωγού R και του ουδέτερου άγωγού, U_S είναι ή τάση μεταξύ του άγωγού S και του ουδέτερου άγωγού και U_{RS} είναι ή τάση μεταξύ των άγωγών R και S. Από τό βρόχο I παίρνομε:

$$U_{RS} + U_S - U_R = 0$$

$$\text{ή } U_{RS} = U_R - U_S$$

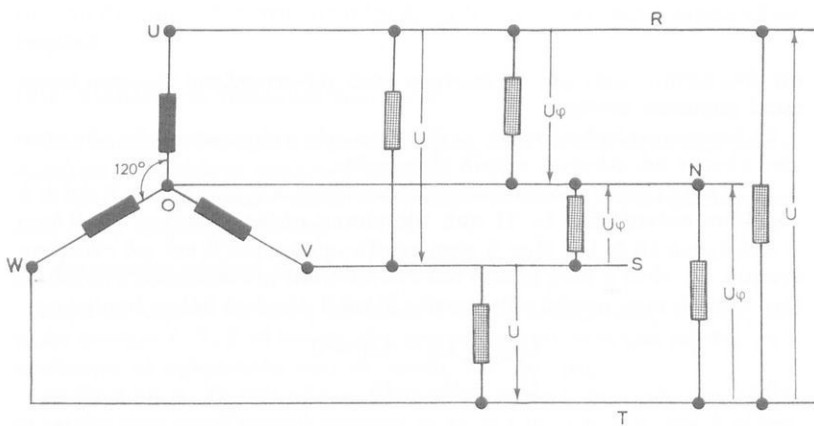
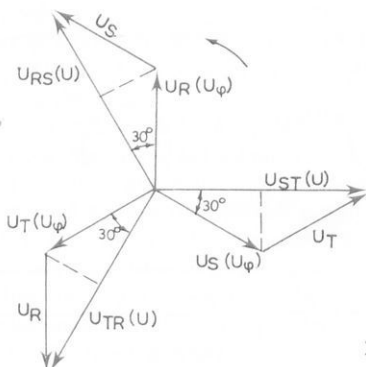
Άρα ή πολική τάση προκύπτει άπό τή διαφορά δύο φασικών τάσεων. Έπειδή δημοσ οι φασικές τάσεις έχουν διαφορά φάσεως, ή διαφορά τους δέν είναι άλγεβρική άλλα διανυσματική, δπως φαίνεται στό σχήμα 18.2β.

Σέ ενα συμμετρικό τριφασικό σύστημα δπως στό σχήμα 18.2β, δπω $U_R = U_S = U_T = U_\phi$, οι U_{RS} , U_{ST} , U_{TR} είναι ίσες ($U_{RS} = U_{ST} = U_{TR} = U$), παρουσιάζουν μεταξύ τους διαφορά φάσεως 120° και προπορεύονται άντιστοιχα των U_R , U_S , U_T κατά 30° .

$$\text{Έπισης, έπειδή } \frac{U}{2} = U_\phi \text{ συν}30^\circ \quad \text{ή} \quad U = 2U_\phi \text{ συν}30 = 2U_\phi \frac{\sqrt{3}}{2}$$

$$\text{Έχομε: } U = \sqrt{3}U_\phi = 1,73U_\phi \quad (1)$$

Η πολική τάση ένός συμμετρικού διστορειδούς τριφασικού συστήματος είναι ίση με τή φασική τάση έπι } \sqrt{3} (1,73).

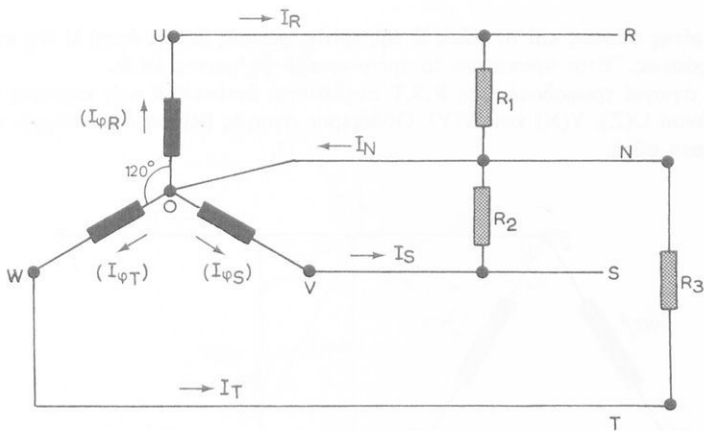


Π.χ. τό ρεύμα που παρέχει ή ΔΕΗ έχει φασική τάση 220 V. Υπό αυτές τις συνθήσεις η πολική τάση είναι $U = \sqrt{3} \cdot 220 = 380$ V.

Σε ένα άστεροειδές τριφασικό σύστημα μπορούμε έπομένως νά συνδέσουμε καταναλωτές, είτε μεταξύ ένός άγωγού τροφοδοτήσεως και του ουδέτερου άγωγού, δηλαδή σε φασική τάση, είτε μεταξύ δύο άγωγών τροφοδοτήσεως, δηλαδή σε πολική τάση (σχ. 18.2γ).

Τό σχήμα 18.2δ δείχνει τρία φορτία συνδεμένα στίς τρεῖς φάσεις άστεροειδούς συστήματος. Παρατηρούμε διτό τό ρεύμα I που ρέει σε κάθε άγωγό τροφοδοτήσεως είναι ίσο με τό ρεύμα τῆς διτίστοιχης φάσεως I_ϕ . Π.χ. $I_{\phi R} = I_R$.

Όταν τά φορτία είναι ίσα μεταξύ τους, τά ρεύματα I_R , I_S και I_T στούς άγωγούς τροφοδοτήσεως είναι έπισης ίσα και παρουσιάζουν μεταξύ τους δια-



Σχ. 18.2δ.

φορά φάσεως 120° . Έπίσης ή διαφορά φάσεως μεταξύ του ρεύματος και της τάσεως της άντιστοιχης φάσεως είναι ή ίδια για δύο τα ρεύματα. Άρα:

$$I = I_R = I_S = I_T = I_\phi \quad (2)$$

Στήν περίπτωση αυτή λέμε διότι τό σύστημα έχει συμμετρικό φορτίο και διότι είναι **ἰσορροπημένο**.

Σέ εἶνα ἰσορροπημένο σύστημα τό ἀθροισμα τῶν στιγμαίων τιμῶν τῶν ρευμάτων στον 3 ἀγωγούς τροφοδοτήσεως εἶναι ἵσο μέ μηδέν.

Όπως φαίνεται στό σχήμα 18.2δ στόν οὐδέτερο ἀγωγό ρέει ρεῦμα I_N ίσο μέ τό γεωμετρικό ἀθροισμα τῶν ρευμάτων τῶν τριῶν ἀγωγῶν τροφοδοτήσεως. Άρα στήν περίπτωση ένός ἰσορροπημένου συστήματος, δι οὐδέτερος ἀγωγός είναι ἄχρηστος και μπορεῖ νά ἀφαιρεθεῖ ἀπό τό σύστημα. Έτσι προκύπτει ἀκόμα μεγαλύτερη ἔξοικονόμηση ἀγωγῶν.

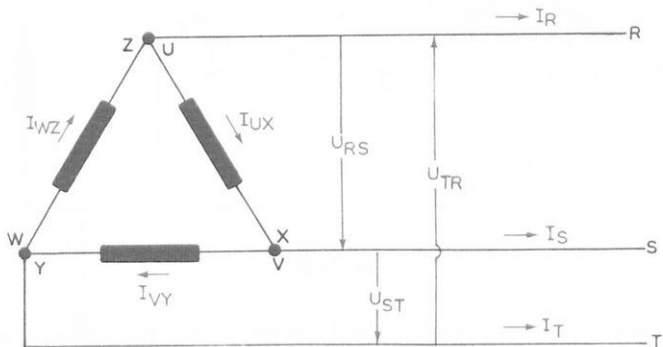
Άν καί ἐπιδιώκεται διμοιδόμορφη κατανομή τῶν φορτίων στίς τρεῖς φάσεις σέ δίκτυα διανομῆς ἡλεκτρικῆς ἐνέργειας, στήν πράξη δέν είναι δυνατό νά πραγματοποιηθεῖ αυτό ἐντελῶς. Έτσι, στό δίκτυο τοποθετεῖται και οὐδέτερος ἀγωγός, δι όποιος συνήθως γειώνεται. Στόν ἀγωγό αυτόν δυμώς ρέει μόνο ένα ρεῦμα ἔξισορροπήσεως, πού είναι μικρότερο ἀπό τά ρεύματα στονς ἀγωγούς τροφοδοτήσεως. Συνεπῶς δι οὐδέτερος ἀγωγός είναι δυνατό νά κατασκευάζεται μέ μικρότερη διατομή, ὥστε νά στοιχίζει λιγότερο ἀπό τούς ἄλλους ἀγωγούς τού συστήματος.

β) Τριγωνική σύνδεση (ή σύνδεση κατά τρίγωνο).

Στήν τριγωνική σύνδεση συνδέεται τό τέλος X τῆς πρώτης φάσεως μέ τήν ἀρχήν V τῆς δεύτερης φάσεως, τό τέλος Y τῆς δεύτερης φάσεως μέ τήν ἀρχή W

της τρίτης φάσεως και τό τέλος Z της τρίτης φάσεως μέ τήν άρχή U της πρώτης φάσεως. Έτσι προκύπτει τό τρίγωνο τού σχήματος 18.2ε.

Οι άγωγοί τροφοδοτήσεως R, S, T συνδέονται αντίστοιχα στίς κορυφές του τριγώνου $U(Z), V(X)$ και $W(Y)$. Ουδέτερος άγωγός βέβαια δέν υπάρχει στή σύνδεση αυτή.



Σχ. 18.2ε.

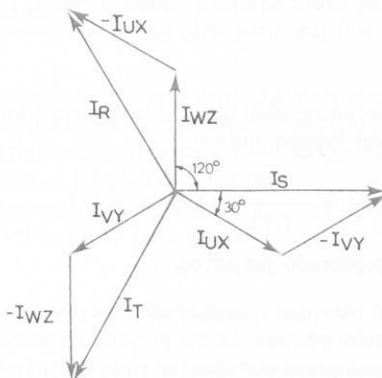
Η πολική τάση U μεταξύ δύο άγωγών τροφοδοτήσεως, π.χ. τῶν R και S , είναι ίση μέ τήν τάση U_ϕ στά ακρα τής αντίστοιχης φάσεως, δηλαδή τής $U - X$. Εφόσον οι τρεῖς φάσεις είναι δμοις, οι τρεῖς πολικές τάσεις U_{RS} , U_{ST} , U_{TR} είναι ίσες και παρουσιάζουν μεταξύ τους διαφορά φάσεως 120° . Αρα:

$$U = U_{RS} = U_{ST} = U_{TR} = U_\phi \quad (3)$$

και τό σύστημα είναι συμμετρικό.

Στήν τριγωνική σύνδεση έχομε μία μόνο τιμή τάσεως στή διάθεσή μας, τήν πολική τάση. Στό συμμετρικό τριγωνικό σύστημα τό ăθροισμα τῶν στιγμαίων τιμῶν τῶν πολικῶν τάσεων δύοιαδήποτε στιγμή είναι ίσο μέ την μηδέν. Όταν τά φορτία μεταξύ τῶν άγωγών τροφοδοτήσεως είναι ίσα, δηλαδή έχομε συμμετρικό φορτίο, τά ρεύματα I_R , I_S και I_T τῶν άγωγών αυτῶν είναι ἐπίσης ίσα μεταξύ τους. Κάθε ένα ἀπό τά ρεύματα αυτά προκύπτει ἀπό τή διανυσματική σύνθεση τῶν ρευμάτων τῶν δύο φάσεων, πού είναι συνδεμένες μέ τόν άγωγό. Π.χ. τό ρεῦμα I_R ἀπό τά ρεύματα I_{WZ} , I_{UX} . Επειδή τά ρεύματα τῶν άγωγών τροφοδοτήσεως είναι ίσα, ἀρα και τά ρεύματα τῶν φάσεων είναι ίσα μεταξύ τους (σχ. 18.2στ).

Τό σχῆμα 18.2στ δείχνει τά ρεύματα I_R , I_S , I_T δπως προκύπτουν ἀπό τή σύνθεση τῶν φασικῶν ρευμάτων. Μεταξύ τους τά ρεύματα αυτά παρουσιάζουν διαφορά φάσεως 120° και μέ τά φασικά ρεύματα διαφορά φάσεως 30° .



Σχ. 18.2στ.

Από τό ίδιο σχήμα προκύπτει:

$$I = I_R = I_S = I_T = \sqrt{3} I_\phi \quad (4)$$

Σέ ενα συμμετρικό τριγωνικό τριφασικό σύστημα μέ συμμετρικό φορτίο, τά ρεύματα στους άγωγούς τροφοδοτήσεως είναι μεγαλύτερα από τά ρεύματα τών φάσεων κατά τό συντελεστή $\sqrt{3}$.

Τό άθροισμα τών στιγμαίων τιμῶν τών φασικῶν ρευμάτων δπως και τό άθροισμα τών ρευμάτων στους άγωγούς τροφοδοτήσεως είναι ίσο μέ τό μηδέν.

Άριθμητικά παραδείγματα.

Παράδειγμα 1.

Σέ ενα συμμετρικό άστεροειδές τριφασικό σύστημα μέ 4 άγωγούς ή πολική τάση V άνερχεται σέ 240 V. Νά ύπολογισθούν οί τρεῖς τάσεις μεταξύ τού ουδέτερου και κάθε άγωγού τροφοδοτήσεως.

Αύση.

Οί ζητούμενες τάσεις είναι ίσες μεταξύ τους, έφόσον τό σύστημα είναι συμμετρικό, και ίσες μέ τή φασική τάση U_ϕ :

$$U_\phi = \frac{U}{\sqrt{3}} = \frac{240}{1,73} = 138,7 \text{ V} \qquad U_\phi = 138,7 \text{ V}$$

Παράδειγμα 2.

Σέ ενα συμμετρικό τριγωνικό τριφασικό σύστημα μέ συμμετρικό φορτίο ή

ενταση του ρεύματος στούς μόνιμους τροφοδοτήσεως Ι είναι 100 A. Νά ύπολογισθεί ή ενταση του ρεύματος στις φάσεις του συστήματος.

Αύση.

Η ενταση του ρεύματος είναι ίδια και στις τρεις φάσεις έπειδη το σύστημα είναι συμμετρικό και ισορροπημένο:

$$I_{\varphi} = \frac{I}{\sqrt{3}} = \frac{100}{1,73} = 57,8 \text{ A} \quad I_{\varphi} = 57,8 \text{ A}$$

18.3 Ισχύς του τριφασικού ρεύματος.

Σέ είναι τριφασικό σύστημα ή ισχύς πού παρέχεται είναι ίση μέ το άθροισμα τών ισχύων τῶν τριών φάσεων. Σέ συμμετρικό τριφασικό σύστημα μέ συμμετρικό φορτίο (ισορροπημένο σύστημα) οι τιμές τῶν μεγεθῶν U_{φ} , I_{φ} και συνφ, δησου φ ή γωνία μεταξύ τῆς φασικῆς τάσεως U_{φ} και τοῦ φασικοῦ ρεύματος I_{φ} , είναι ίδιες και στις τρεις φάσεις. Άρα ή ισχύς πού παρέχει τό ισορροπημένο τριφασικό σύστημα είναι τριπλάσια τῆς ισχύος μιᾶς φάσεως και έχουμε:

$$\text{Φαινόμενη ισχύς:} \quad P_{\varphi} = 3U_{\varphi} I_{\varphi} \quad (1)$$

$$\text{Πραγματική ισχύς:} \quad P = 3U_{\varphi} I_{\varphi} \text{ συνφ} \quad (2)$$

$$\text{Άεργη ισχύς:} \quad P_a = 3U_{\varphi} I_{\varphi} \text{ ημφ} \quad (3)$$

Άναλογα μέ τή σύνδεση του τριφασικού συστήματος προκύπτουν μέ άντικατάσταση στις (1) ώς (3) τῶν U_{φ} και I_{φ} , δησως δίνονται άπό τίς σχέσεις (1) ώς (4) στήν παράγραφο 18.2, οι σχέσεις:

Άστεροειδής σύνδεση:

$$P_{\varphi} = 3 U_{\varphi} I_{\varphi} = 3 \frac{U}{\sqrt{3}} I = \sqrt{3} \text{ UI} \quad (4)$$

$$P = 3 U_{\varphi} I_{\varphi} \text{ συνφ} = 3 \frac{U}{\sqrt{3}} I \text{ συνφ} = \sqrt{3} \text{ UI συνφ} \quad (5)$$

$$P_a = 3 U_{\varphi} I_{\varphi} \text{ ημφ} = 3 \frac{U}{\sqrt{3}} I \text{ ημφ} = \sqrt{3} \text{ UI ημφ} \quad (6)$$

Τριγωνική σύνδεση:

$$P_{\varphi} = 3 U_{\varphi} I_{\varphi} = 3 U \frac{I}{\sqrt{3}} = \sqrt{3} \text{ UI} \quad (7)$$

$$P = 3 U_{\varphi} I_{\varphi} \text{ συνφ} = \sqrt{3} \text{ UI συνφ} \quad (8)$$

$$P_a = 3 U_{\varphi} I_{\varphi} \text{ ημφ} = \sqrt{3} \text{ UI ημφ} \quad (9)$$

Άπό τίς σχέσεις (4) ώς (9) διαπιστώνομε ότι ή ισχύς του τριφασικού ρεύματος είναι άνεξάρτητη άπό τή σύνδεση πού χρησιμοποιεῖται.

Αριθμητικά παραδείγματα.

Παράδειγμα 1.

Μιά τριφασική γεννήτρια σέ σύνδεση άστέρα άναπτύσσει πολική τάση $U = 380$ V και παρέχει στις γραμμές ένός τριφασικού δικτύου ρεῦμα $I = 100$ A (ένεργος τιμή). Τό σύστημα είναι συμμετρικό και ισορροπημένο. Ο συντελεστής ίσχυος είναι: $\sin\varphi = 0,913$. Νά βρεθοῦν:

- α) Η φαινόμενη, πραγματική και αεργητική ισχύς πού άποδίδει ή γεννήτρια.
- β) Η φαινόμενη άντισταση Z κάθε φάσεως.

Λύση.

$$\text{α) } P_{\varphi} = \sqrt{3} U I = \sqrt{3} \cdot 380 \cdot 100 = 65.800 \text{ VA} \quad P_{\varphi} = 65,8 \text{ kVA}$$

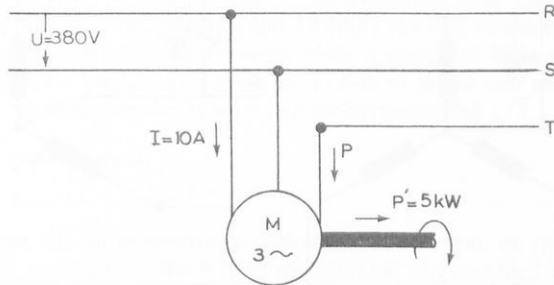
$$P = \sqrt{3} U I \sin\varphi = \sqrt{3} \cdot 380 \cdot 100 \cdot 0,913 = 60.000 \text{ W} \quad P = 60 \text{ kW}$$

$$P_a = \sqrt{3} U I \eta\mu\varphi = \sqrt{3} \cdot 380 \cdot 100 \cdot 0,408 = 26.850 \text{ VAr} \quad P_a = 26,85 \text{ kVAr}$$

Έπαλθευση: $P_{\varphi} = \sqrt{3600 + 720} \approx 65,8 \text{ kVA}$

$$\text{β) } Z = \frac{U_{\varphi}}{I_{\varphi}} = \frac{U}{\sqrt{3} I_{\varphi}} = \frac{380}{\sqrt{3} \cdot 100} = 2,2 \Omega \quad Z = 2,2 \Omega$$

($I_{\varphi} = I = 100$ A)



Σχ. 18.3.

Παράδειγμα 2.

Τριφασικός κινητήρας παρέχει στόν ξενόνα του ίσχυ $P' = 5$ kW. Ο κινητήρας αυτός τροφοδοτείται άπό τριφασικό δίκτυο πολικής τάσεως $U = 380$ V (ένεργος τιμή), συχνότητας $f = 50$ Hz (σχ. 18.3). Η ένεργος τιμή τοῦ ρεύματος στούς άγωγούς τροφοδοτήσεως είναι $I = 10$ A και ο συντελεστής ίσχυος συνφ = 0,882. Νά βρεθοῦν:

α) Η φαινόμενη, πραγματική και ϊσχύς πού άπορροφά ἀπό τό δίκτυο ό κινητήρας.

β) Ο βαθμός άποδόσεως η τοῦ κινητήρα.

Αύση.

$$\text{α) } P_{\phi} = \sqrt{3} U I = \sqrt{3} \cdot 380 \cdot 10 = 6.580 \text{ VA}$$

$$\underline{P_{\phi} = 6,58 \text{ kVA}}$$

$$P = \sqrt{3} U I \cos \varphi = \sqrt{3} \cdot 380 \cdot 10 \cdot 0,882 = 5.800 \text{ W}$$

$$\underline{P = 5,8 \text{ kW}}$$

$$P_a = \sqrt{3} U I \sin \varphi = \sqrt{3} \cdot 380 \cdot 10 \cdot 0,471 = 3.100 \text{ VAr}$$

$$\underline{P_a = 3,1 \text{ kVAr}}$$

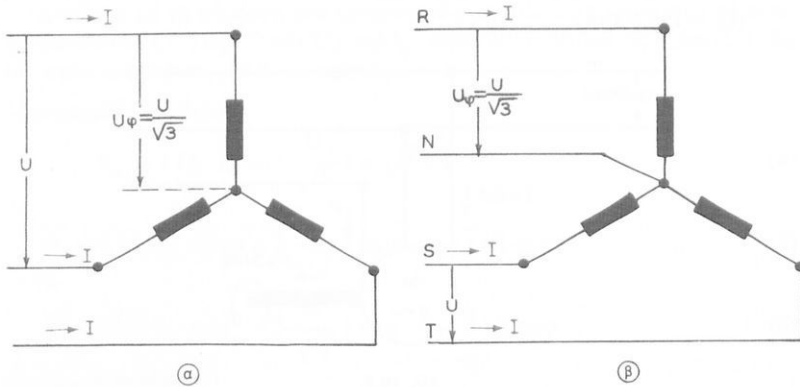
$$\text{Επαλήθευση: } P_{\phi} = \sqrt{P^2 + P_a^2} = \sqrt{33,64 + 9,61} \approx 6,58 \text{ kVA}$$

$$\beta) \quad \eta = \frac{P'}{P} = \frac{5}{5,8} = 0,862$$

$$\underline{\eta = 0,862}$$

18.4 Σύνδεση καταναλωτῶν.

Τούς καταναλωτές μποροῦμε νά συνδέσουμε στό τριφασικό δίκτυο κατά άστέρα ή κατά τρίγωνο, άνεξάρτητα ἀπό τόν τρόπο πού είναι συνδεμένες οί τρεῖς φάσεις τῆς γεννήτριας πού τροφοδοτεῖ τό δίκτυο. Η γεννήτρια παρέχει,

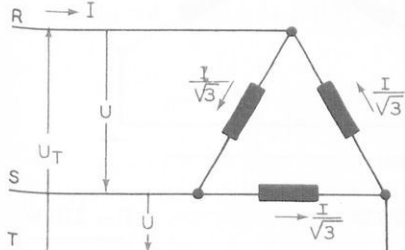


Σχ. 18.4a.

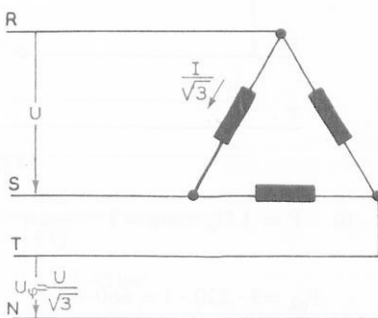
ἄσχετα μέ τόν τρόπο συνδέσεως της, τάσεις U μεταξύ τῶν γραμμῶν τροφοδοτήσεως τίς όποιες χρησιμοποιοῦμε γιά τήν τροφοδότηση τῶν καταναλωτῶν. Τό σχῆμα 18.4a(α) δείχνει τή σύνδεση καταναλωτῶν κατά άστέρα σέ τριφασικό σύστημα χωρίς ουδέτερο άγωγό και τό σχῆμα 18.4a(β) τή σύνδεση κατά άστέρα σέ σύστημα μέ ουδέτερο άγωγό.

Όταν οι καταναλωτές είναι δμοιοι (συμμετρικό φορτίο), ή φασική τάση στά άκρα κάθε καταναλωτή είναι ίση με τήν πολική τάση U διά $\sqrt{3}$, ένω τό φασικό ρεῦμα I_ϕ είναι ίσο με τό ρεῦμα τῶν άγωγών τροφοδοτήσεως I.

Σέ σύστημα με ουδέτερο άγωγό συνδέονται επίσης καταναλωτές κατά άστέρα μεταξύ τῶν άγωγών τροφοδοτήσεως και τοῦ ουδέτερου άγωγοῦ. Ή τάση στά άκρα τῶν καταναλωτῶν αὐτῶν είναι ίση με τή φασική τάση τοῦ συστήματος ($U_\phi = U/\sqrt{3}$), ένω τό ρεῦμα πού τούς διαρρέει είναι ίσο με τό ρεῦμα στούς άγωγούς τροφοδοτήσεως.



(a)



(b)

Σχ. 18.4β.

Τό σχῆμα 18.4β(a) δείχνει τή σύνδεση καταναλωτῶν κατά τρίγωνο σέ σύστημα χωρίς ουδέτερο άγωγό, τό σχῆμα 18.4β(b) τήν ίδια σύνδεση σέ σύστημα με ουδέτερο άγωγό. Στίς περιπτώσεις αυτές ή τάση, στά άκρα τῶν δμοίων καταναλωτῶν είναι ίση με τήν πολική τάση, ένω τό ρεῦμα πού τούς διαρρέει είναι ίσο με τό ρεῦμα στούς άγωγούς τροφοδοτήσεως διά $\sqrt{3}$.

Άριθμητικά παραδείγματα.

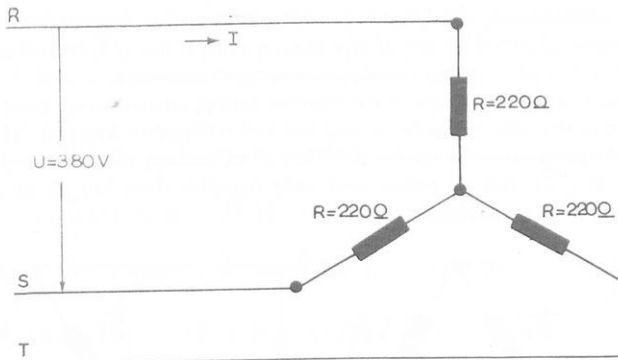
Παράδειγμα 1.

Τρεῖς δμοιοί ώμικοί άντιστάτες συνδέονται κατά άστέρα, σέ τριφασικό δίκτυο, πολικής τάσεως $U = 380$ V (ένεργος τιμή) και συχνότητας $f = 50$ Hz, δπως δείχνει τό σχῆμα 18.4γ. Νά βρεθοῦν:

- Η ένεργος τιμή τοῦ ρεύματος στούς άγωγούς τροφοδοτήσεως I.
- Η πραγματική ίσχυς P πού άπορροφᾶ κάθε άντιστάτης και ή δλική ίσχυς P_o πού άπορροφᾶ τό σύστημα.

Αύση.

$$\text{a)} \quad I = I_\phi = \frac{U_\phi}{R} = \frac{U}{\sqrt{3} R} = \frac{380}{\sqrt{3} \cdot 220} = 1 \text{ A} \quad \underline{\underline{I = 1 \text{ A}}}$$



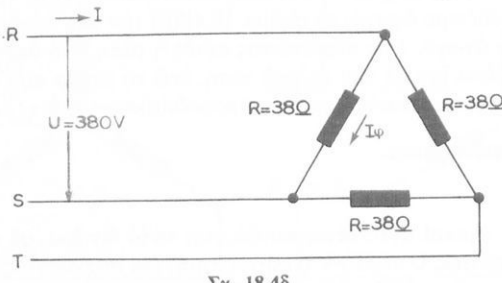
$$\Sigma\chi. 18.4\gamma.$$

$$\beta) \quad P = I U_{\phi} \sin \varphi = 1 \cdot \frac{380}{\sqrt{3}} = 220 \text{ W} \quad P = 220 \text{ W}$$

$$P_{o\lambda} = 3 \cdot 220 \cdot 1 = 660 \text{ W}$$

$$\checkmark P_{o\lambda} = \sqrt{3} U I \sin \varphi = \sqrt{3} \cdot 380 \cdot 1 \cdot 1 \approx 660 \text{ W} \quad P_{o\lambda} = 660 \text{ W}$$

($\sin \varphi = 1$ γιατί τάση και ένταση στούς άντιστάτες βρίσκονται σέ φάση)



$$\Sigma\chi. 18.4\delta.$$

Παράδειγμα 2.

Τρεις δημοιοί ώμικοι άντιστάτες συνδέονται κατά τρίγωνο σέ τριφασικό δίκυο, πολικής τάσεως 380 V (ένεργος τιμή) και συχνότητας $f = 50$ Hz, δημος δείχνει τό σχήμα 18.4δ. Νά βρεθοῦν:

- α) Ή ένεργος τιμή του φασικού ρεύματος I_{ϕ} .
- β) Ή ένεργος τιμή του ρεύματος στούς άγωγούς τροφοδοτήσεως I .
- γ) Ή πραγματική ίσχυς P κάθε φάσεως και ή συνολική πραγματική ίσχυς $P_{o\lambda}$ του συστήματος.

Ανση.

$$\text{a) } I_{\varphi} = \frac{U}{R} = \frac{380}{38} = 10 \text{ A}$$

$$I_{\varphi} = 10 \text{ A}$$

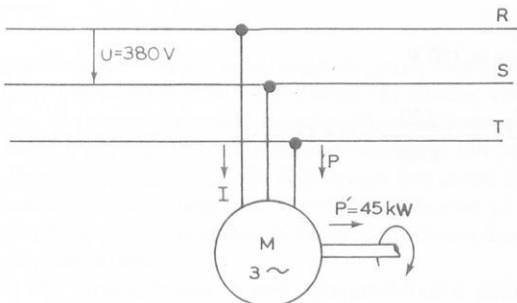
$$\text{β) } I = \sqrt{3} I_{\varphi} = 1,73 \cdot 10 = 17,3 \text{ A}$$

$$I = 17,3 \text{ A}$$

$$\text{γ) } P = U I_{\varphi} \text{ συνφ} = 380 \cdot 10 \cdot 1 = 3.800 \text{ W} \quad (\text{συνφ} = 1)$$

$$P = 3.800 \text{ W}$$

$$P_{o\lambda} = 3 \cdot 3800 = 11.400 \text{ W} \quad \checkmark$$



Σχ. 18.4ε.

$$P_{o\lambda} = \sqrt{3} U I \text{ συνφ} = \sqrt{3} \cdot 380 \cdot 17,32 \approx 11.400 \text{ W} \quad P_{o\lambda} = 11.400 \text{ W}$$

Παράδειγμα 3.

Τριφασικός κινητήρας παρέχει στόν άξονά του ίσχυ $P' = 45 \text{ kW}$ μέ βαθμό άποδόσεως $\eta = 90\%$. Ο κινητήρας τροφοδοτείται από τριφασικό δίκτυο πολικής τάσεως $U = 380 \text{ V}$ (ένεργος τιμή), συχνότητας $f = 50 \text{ Hz}$, δπως δείχνει τό σχήμα 18.4ε. Ο συντελεστής ίσχυος του κινητήρα είναι συνφ = 0,9. Νά βρεθοῦν:

- α) Η ένεργος τιμή τοῦ ρεύματος I στούς άγωγούς τροφοδοτήσεως.
- β) Η φαινόμενη, πραγματική και άεργη ίσχυς πού άπορροφᾶ ο κινητήρας.
- γ) Η φαινόμενη άντισταση κάθε φάσεως τοῦ κινητήρα σέ περίπτωση πού η σύνδεση τῶν φάσεών του είναι κατά άστέρα.

Ανση.

$$\text{a) } P = \frac{P'}{\eta} = \frac{45}{0,9} = 50 \text{ kW}$$

$$I = \frac{P}{\sqrt{3} U \cos \varphi} = \frac{50 \cdot 10^3}{\sqrt{3} \cdot 380 \cdot 0,9} = \frac{50 \cdot 10^3}{592,36} = 84,4 \text{ A}$$

$$I = 84,4 \text{ A}$$

$$\beta) P_\varphi = \sqrt{3} U I = \sqrt{3} \cdot 380 \cdot 84,4 = 55.550 \text{ VA}$$

$$P_\varphi = 55,55 \text{ kVA}$$

$$P = 50 \text{ kW}$$

$$P = 50 \text{ kW}$$

$$P_a = \sqrt{3} U I \cos \varphi = \sqrt{3} \cdot 380 \cdot 84,4 \cdot 0,435 = 24,2 \text{ kVAr}$$

$$P_a = 24,2 \text{ kVAr}$$

$$\gamma) U_\varphi = \frac{U}{\sqrt{3}} = 220 \text{ V}$$

$$Z = \frac{U_\varphi}{I} = \frac{220}{84,4} = 2,6 \Omega$$

$$Z = 2,6 \Omega$$

ΚΕΦΑΛΑΙΟ ΔΕΚΑΤΟ ΕΝΑΤΟ

ΜΕΤΑΣΧΗΜΑΤΙΣΤΕΣ

19.1 Γενικά.

Οι μετασχηματιστές είναι ήλεκτρικές μηχανές χωρίς κινούμενα μέρη, που χρησιμεύουν στήν άνυψωση ή στόν ύποβιβασμό της τάσεως του έναλλασσόμενου ρεύματος. Ο μετασχηματιστής παραλαμβάνει ένέργεια ύπο δρισμένη τάση άπό μιά πηγή ή ένα δίκτυο έναλλασσόμενου ρεύματος και άποδίδει σέ κατανάλωτές τό ίδιο ποσό ένέργειας – άν ξειρέσομε ένα μικρό ποσοστό άπωλειών που δημιουργεῖται – μέ διαφορετική τάση. Ταυτόχρονα μέ τήν τάση μεταβάλλεται και ή ένταση του ρεύματος άλλα σέ αντίστροφη άναλογία, ένω ή συχνότητα παραμένει σταθερή.

Η μεταβολή της τάσεως-έντασεως που πραγματοποιεί δι μετασχηματιστής δονομάζεται **μετασχηματισμός** τῶν μεγεθῶν αὐτῶν και στηρίζεται στό φαινόμενο της ήλεκτρομαγνητικής έπαγωγῆς, δπως θά γνωρίσομε στή συνέχεια.

Οι μετασχηματιστές χρησιμοποιούνται εύρυτατα σέ δλες τίς συσκευές που έργαζονται μέ διαφορετική τάση άπό αὐτή που παρέχει τό δίκτυο διανομῆς ήλεκτρικής ένέργειας, π.χ. σέ ήλεκτρικά κουδούνια, ήλεκτρικά ρολόγια, ραδιόφωνα, τηλεοράσεις κ.ο.κ. Η πιό σπουδαία δμως χρήση τῶν μετασχηματιστῶν βρίσκεται στόν τομέα της μεταφορᾶς της ήλεκτρικής ένέργειας άπό τούς σταθμούς παραγωγῆς στά κέντρα καταναλώσεως, που άπέχουν συνήθως έκαποντάδες χιλιόμετρα μεταξύ τους. Ή ένέργεια μεταφέρεται μέ τριφασικές γραμμές μεταφορᾶς ύψηλής τάσεως γιά οίκονομικούς λόγους. Όσο μεγαλύτερη είναι ή τάση μεταφορᾶς U, τόσο μικρότερο είναι τό ρεῦμα I που ρέει στή γραμμή ύπο σταθερό συνφ, δταν θέλομε νά μεταφέρομε δρισμένο ποσό ένέργειας A, έφόσον, δπως ξέρομε:

$$A = \sqrt{3} UI\sigma\mu\varphi$$

Μικρότερο δμως ρεῦμα I σημαίνει μικρότερες άπώλειες ένέργειας A_{ap} στή γραμμή, δηλαδή οίκονομικότερη μεταφορά, γιατί:

$$A_{ap} = 3I^2 R t$$

δπου R ή άντίσταση ένός άγωγού της γραμμῆς. Αντίστροφα, γιά δρισμένες σταθερές άπώλειες A_{ap}, μικρότερο ρεῦμα I έπιτρέπει μεγαλύτερη άντίσταση R

στούς άγωγούς, ἄρα μικρότερη διατομή καί μικρότερο κόστος άγωγῶν.

Οἱ μετασχηματιστές ἀνύψωνουν τὴν τάση ἀπό τὴν τιμὴν πού δίνουν οἱ γεννῆτριες στοὺς σταθμούς παραγωγῆς (π.χ. 10 kV) στὴν τιμὴν τῆς γραμμῆς μεταφορᾶς (π.χ. 380 kV) καὶ τὴν ὑποβιβάζουν, μετά τὴν μεταφορά τῆς ἐνέργειας, ἀπό τὴν τιμὴν αὐτὴν στὴν τιμὴν τῆς τάσεως τοῦ δικτύου διανομῆς (π.χ. 220/380 V). Ἡ δυνατότητα αὐτῆς τοῦ εὔκολου μετασχηματισμοῦ τῆς τάσεως, πού δέν ὑπάρχει στὸ συνεχές ρεῦμα, ἔτσι ταν βασικά ἡ αἰτία πού ἐπικράτησε ἡ μεταφορά ἡλεκτρικῆς ἐνέργειας μὲν ἐναλλασσόμενο ρεῦμα.

Τοὺς μετασχηματιστές διακρίνομε σὲ **μονοφασικούς μετασχηματιστές**, πού χρησιμοποιοῦνται σὲ μονοφασικά δίκτυα καὶ μικρές ίσχεις (οἰκιακές συσκευές κλπ.) καὶ σὲ **τριφασικούς μετασχηματιστές** πού χρησιμοποιοῦνται σὲ τριφασικά δίκτυα καὶ μεγάλες ίσχεις (μεταφορά καὶ διανομή ἡλεκτρικῆς ἐνέργειας κλπ.).

19.2 Μονοφασικοί μετασχηματιστές.

a) Δομή καὶ ἀρχή λειτουργίας τοῦ μονοφασικοῦ μετασχηματιστῆς.

Τά κύρια μέρη ἐνός μονοφασικοῦ μετασχηματιστῆς εἶναι:

ⓐ 'Ο **πυρήνας**, πού ἀποτελεῖται ἀπό δεσμίδα εἰδικῶν σιδηρελασμάτων σὲ μορφῇ κλειστοῦ πλαισίου (σχ. 19.2a). Τά κατακόρυφα σκέλη τοῦ πυρήνα δονούμαζονται **στῆλες** ἢ **κορυφοί**, ἐνῶ τά δριζόντια τμῆματα δονομάζονται **ζυγώματα**.

ⓑ Δύο **τυλίγματα (πηγία)** πού εἶναι τοποθετημένα στή μιά ἢ καὶ στίς δυό στῆλες.

Τά τυλίγματα ἔχουν ἀνόμοιες διατομές καὶ ἄνισο ἀριθμό σπειρῶν, δπως θά δοῦμε στή συνέχεια.

'Από τά δύο ἀνεξάρτητα τυλίγματα τό ἕνα, μέ πι σπεῖρες, συνδέεται μὲ τὴν πηγή, ἢ τό δίκτυο τοῦ ἐναλλασσόμενου ρεύματος καὶ δονομάζεται **πρωτεύον** ἐνῷ τό ἄλλο, μέ πι σπεῖρες, πού παρέχει ἐνέργεια στοὺς καταναλωτές δονομάζεται **δευτερεύον**. 'Αντίστοιχα τό κύκλωμα τοῦ πρωτεύοντος τυλίγματος δονομάζεται **πρωτεύον κύκλωμα** καὶ τό κύκλωμα τοῦ δευτερεύοντος **δευτερεύον κύκλωμα**.

Τό ρεῦμα ἱ, τῆς πηγῆς ἢ τοῦ δικτύου πού κυκλοφορεῖ στό πρωτεύον κύκλωμα δημιουργεῖ μεταβαλλόμενη μαγνητική ροή φ₁. 'Η ροή αὐτή διοχετεύεται μέσα ἀπό τό σιδηροπυρήνα, διαπερνᾶ τό δευτερεύον τύλιγμα καὶ δημιουργεῖ σὲ αὐτό ἡλεκτρεγερτική δύναμη ἔξι ἐπαγωγῆς e₂. 'Ανάλογα μὲ τόν ἀριθμό σπειρῶν τοῦ πρωτεύοντος καὶ τοῦ δευτερεύοντος, ἢ e₂ εἶναι μεγαλύτερη ἢ μικρότερη ἀπό τήν τάση μι τοῦ πρωτεύοντος.

Γιά νά γίνει ἀκόμα πιό κατανοητή ἡ ἀρχή λειτουργίας τῶν μετασχηματιστῶν κάνομε δρισμένες παραδοχές πού ίσχύουν βασικά μόνο γιά ἔνα **ἰδανικό μετασχηματιστή**. 'Ιδανικοί μετασχηματιστές δέν ὑπάρχουν βέβαια, τά συμπεράσματα δημοσίως πού ἔξαγονται μὲ τή βοήθειά τους δέν εἶναι πολύ ἀπομακρυσμένα ἀπό τήν πραγματικότητα.

Οι παραδοχές που χρησιμοποιούμε είναι διατάξιμες:

α) Η ωμική άντισταση των τυλιγμάτων είναι άμελητέα ($R = 0$).

β) Ο βαθμός άποδόσεως του μετασχηματιστή είναι 100%, δηλαδή διατάξιμη ενέργεια εισάγεται στο πρωτεύον τύλιγμα, τόση έξαγεται από το δευτερεύον.

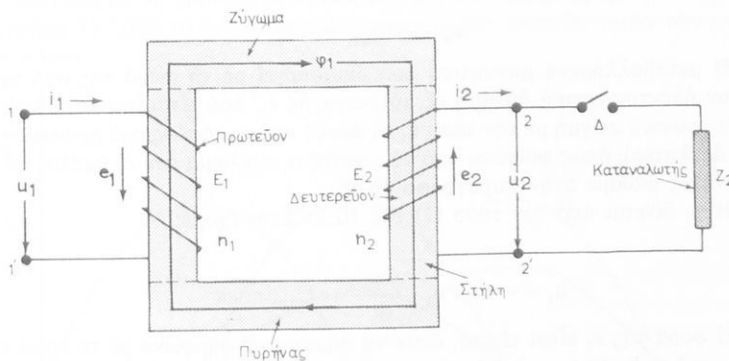
γ) Η μαγνητική ροή φ, που δημιουργείται στο σιδηροπυρήνα από το ρεύμα που ρέει στο πρωτεύον τύλιγμα, περνά δηλαδή μέσα από το δευτερεύον, δηλαδή δέν λαμβάνομε υπόψη μας τή ροή σκεδάσεως.

δ) Η έναλλασσόμενη τάση που τροφοδοτεί το πρωτεύον τύλιγμα, παραμένει σταθερή άκομα και για μεγάλες μεταβολές του ρεύματος, δηλαδή ή διακόπτης φορτίου Δ στο σχήμα 19.2α είναι άνοικτός.

Σέριαλ μετασχηματιστή διακρίνομε δύο λειτουργικές καταστάσεις:

α) **Λειτουργία σε κενό**, που σημαίνει διατάξιμη ενέργεια συνδεμένη στο δευτερεύον τύλιγμα, δηλαδή διακόπτης φορτίου Δ στο σχήμα 19.2α είναι άνοικτός.

β) **Λειτουργία ύπό φορτίο**, που σημαίνει διατάξιμη ενέργεια συνδεμένη στο δευτερεύον τύλιγμα, δηλαδή διακόπτης φορτίου Δ είναι κλειστός (σχ. 19.2α).



Σχ. 19.2α.

Αρχή λειτουργίας σε κενό.

Στά ίκρα του πρωτεύοντος τυλίγματος (πηνίου) έφαρμόζομε μιά έναλλασσόμενη τάση

$$u_1 = U_{Im} \eta \mu \omega \quad (1)$$

με ένεργο τιμή U_1 (σχ. 19.2α).

Έφόσον τό δευτερεύον κύκλωμα είναι άνοικτό δέν ρέει σε αυτό ρεύμα και έτσι δέν έχει καμία έπιδραση στή λειτουργία του μετασχηματιστή. Είναι δηλαδή

σάν νά μήν ίπάρχει.

Ο μετασχηματιστής μέ κλειστό μόνο τό πρωτεύον κύκλωμα συμπεριφέρεται σάν ένα πηνίο μέ σιδηροπυρήνα πού έχει άμελητέα ώμική άντισταση, άλλα έξαιρετικά μεγάλη αύτεπαγωγή και έπομένως πολύ μεγάλη έπαγωγική άντισταση (η φαινόμενη άντισταση, έφοσσον $R \approx 0$). Ή μεγάλη φαινόμενη άντισταση Z τού πρωτεύοντος πηνίου, περιορίζει σημαντικά τό **ρεῦμα κενοῦ** i_0 πού περνᾶ μέσα άπό αύτό.

Τό ρεῦμα i_0 έπεται, δπως ξέρομε, τῆς τάσεως u_1 κατά $\pi/2$, δηλαδή έχει τή μορφή.

$$i_0 = I_{\text{om}} \text{ ημ} (\omega t - \frac{\pi}{2}) = -I_{\text{om}} \text{ συνωτ} \quad (2)$$

Τό ρεῦμα αύτό δημιουργεῖ μαγνητική ροή Φ_0 πού έχει τήν ίδια φάση, γιατί:

$$\Phi_0 = \frac{i_0 n_1}{R_m} \quad (3)$$

(τύπος 15α τῆς 8.2, δπου R_m ή μαγνητική άντισταση τού πυρήνα) και τό πηλίκο n_1/R_m δέν μεταβάλλει τή φάση τού i_0 . Άρα:

$$\Phi_0 = -\Phi_{\text{om}} \text{ συνωτ} \quad (4)$$

Η μεταβαλλόμενη μαγνητική ροή δημιουργεῖ μέ τή σειρά της στό πρωτεύον ήλεκτρεγερτική δύναμη έξ αύτεπεγαγῆς e_1 , πού είναι ίση και άντιθετη κάθε χρονική στιγμή μέ τήν τάση u_1 (ή ώμική πτώση τάσεως στό πρωτεύον είναι άμελητέα), δπως φαίνεται άπό τό πρωτεύον κύκλωμα τού σχήματος 19.2α και δπως μάθαμε στήν παράγραφο 16.1β.

Η e_1 δίνεται άπό τόν τύπο (2) τῆς 10.3. Έτσι έχομε:

$$u_1 = -e_1 = n_1 \frac{d\Phi_0}{dt} = U_{1m} \text{ ημωτ} \quad (5)$$

Η φορά τῆς e_1 είναι τέτοια, ώστε νά δημιουργεῖ σύμφωνα μέ τό νόμο τού Lenz ρεῦμα άντιθετο στό ρεῦμα i_0 πού τήν προκαλεῖ. Τή φορά αύτή λαμβάνομε ίπόψη μέ τό άρνητικό πρόσημο στόν τύπο (5), γι' αύτό στό σχῆμα 19.2α σημειώνομε τήν e_1 στή φορά τού ρεύματος i_1 , δπως κάναμε στήν παράγραφο 16.1β.

Η μαγνητική ροή δμως Φ_0 διαπερνᾶ και τό δευτερεύον τύλιγμα και έπάγει σύμφωνα μέ τόν τύπο (2) τῆς 10.3 ήλεκτρεγερτική δύναμη.

$$e_2 = -n_2 \frac{d\Phi_0}{dt} \quad (6)$$

Η φορά τῆς e_2 είναι τέτοια, ώστε δταν τό δευτερεύον κύκλωμα είναι κλειστό νά ρέει ρεῦμα i_2 σέ αύτό, πού νά δημιουργεῖ μαγνητική ροή **άντιθετη** άπό τή

ροή ϕ_0 . Προχωρώντας νοητά ένα δεξιόστροφο κοχλία στήν άντιθετη αύτή φορά προσδιορίζουμε τή φορά τού ρεύματος i_2 . Στήν e_2 δίνομε τήν ίδια φορά μέ τή φορά τού ρεύματος i_2 δπως στήν περίπτωση τής e_1 .

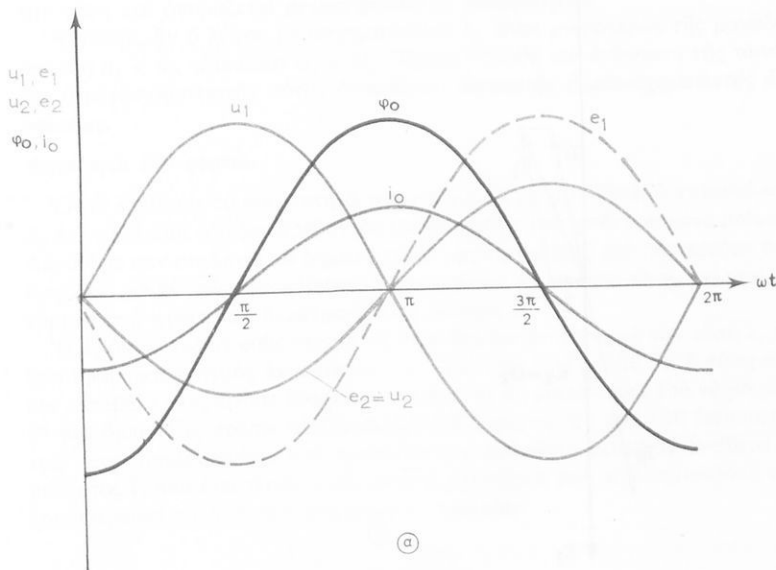
"Όταν τό δευτερεύον κύκλωμα είναι άνοικτό δέν ρέει βέβαια ρεύμα i_2 , έμφανίζεται δυνατός στά ακρα τού δευτερεύοντος τυλίγματος ή e_2 . Ή τάση u_2 στούς άκροδέκτες 2-2' είναι ίση κάθε στιγμή μέ τήν e_2 , δπως είναι ίση ή ήλεκτρεγερτική δύναμη μιᾶς πηγῆς μέ τήν τάση σέ κενό στούς άκροδέκτες της. "Αρα:

$$u_2 = e_2 = -n_2 \frac{d\phi_0}{dt} \quad (7)$$

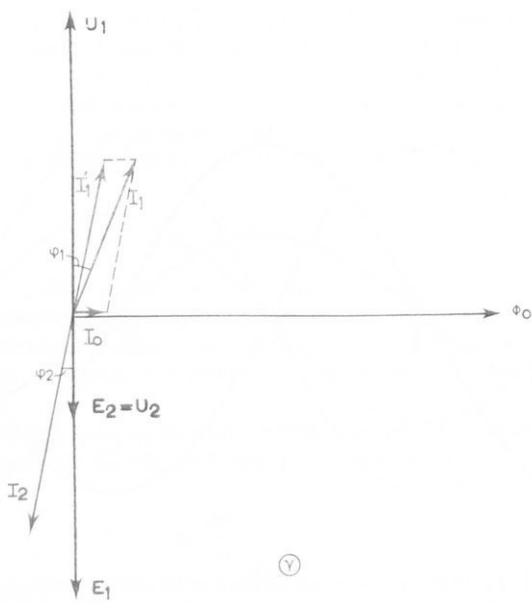
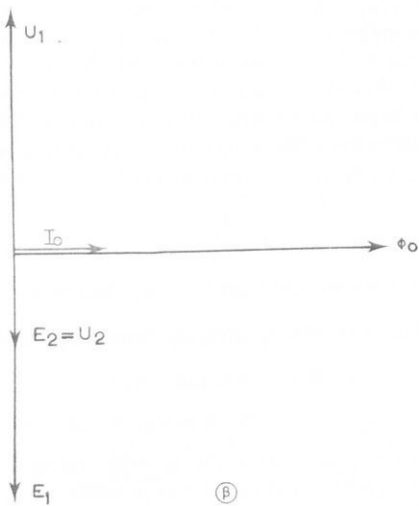
"Από τίς (5) και (7) συμπεραίνομε δτι ή u_2 , έφόσον προκύπτει άπό τή μεταβολή $\frac{d\phi_0}{dt}$ τής ίδιας μαγνητικής ροής ϕ_0 , δπως ή u_1 , πρέπει νά έχει τήν ίδια μορφή μέ αυτή άλλα άντιθετο πρόσημο. "Αρα:

$$u_2 = -U_{2m} \eta \omega t = U_{2m} \eta \mu (\omega t - \pi) \quad (8)$$

Αύτό σημαίνει δτι ή u_2 έπεται τής u_1 κατά γωνία π ή 180° . Τό σχήμα 19.2β(α) δείχνει τή χρονική μεταβολή τῶν μεγεθῶν u_1 , i_0 , ϕ_0 , e_1 , e_2 και u_2 ἐνώ τό σχήμα 19.2β(β) τό διανυσματικό διάγραμμα τῶν ἐνεργῶν τιμῶν τῶν μεγεθῶν αὐτῶν.



Σχ. 19. 2β(α).



$$\Sigma\chi \cdot 19.2\beta.$$

*Από τίς (5) και (7) διαπιστώνομε δτι, άνεξάρτητα άπό τή φάση τους, ό λόγος τῶν στιγμαίων τιμῶν τῶν τάσεων και τῶν ήλεκτρεγερτικῶν δυνάμεων εἶναι ίσος μέ τό λόγο τοῦ άριθμοῦ τῶν σπειρῶν τῶν άντιστοίχων τυλιγμάτων.

$$\frac{e_1}{e_2} = \frac{u_1}{u_2} = \frac{n_1}{n_2} \quad (9)$$

*Εφόσον ή (9) ισχύει γιά δόπιεσδήποτε στιγμαίες τιμές, ισχύει και γιά τίς μέγιστες τιμές, E_{1m} , E_{2m} , U_{1m} , U_{2m} και έπομένως και γιά τίς άντιστοιχες ένεργεις τιμές, πού προκύπτουν άπό τίς μέγιστες τιμές δταν διαιρεθοῦν μέ $\sqrt{2}$:

$$\frac{E_1}{E_2} = \frac{U_1}{U_2} = \frac{n_1}{n_2} \quad (10)$$

*Ο λόγος τῶν σπειρῶν τοῦ πρωτεύοντος πηνίου n_1 πρός τό λόγο τῶν σπειρῶν τοῦ δευτερεύοντος πηνίου n_2 , δνομάζεται **λόγος (ή σχέση) μετασχηματισμοῦ** λ_μ .

$$\lambda_\mu = \frac{n_1}{n_2} \quad (11)$$

*Αν δ λόγος μετασχηματισμοῦ λ_μ εἶναι μεγαλύτερος τῆς μονάδας δηλαδή $n_1 > n_2$, τότε έχομε $U_1 > U_2$. Παρατηροῦμε δτι δ μετασχηματιστής ύποβιβάζει τήν τάση και δνομάζεται **μετασχηματιστής ύποβιβασμοῦ**.

*Αντίθετα, ἀν δ λόγος μετασχηματισμοῦ λ_μ εἶναι μικρότερος τῆς μονάδας, δηλαδή $n_1 < n_2$, τότε εἶναι $U_1 < U_2$. Έχομε δηλαδή μιά άνυψωση τῆς τάσεως και δ μετασχηματιστής αὐτός δνομάζεται **άνυψωτής ή μετασχηματιστής άνυψωσεως**.

Λειτουργία υπό φορτίο.

*Όταν κλείσομε τό διακόπτη Δ στό σχῆμα 19.2a συνδέεται δ καταναλωτής Z_2 στό κύκλωμα τοῦ δευτερεύοντος και ρέει μέσα άπό αὐτό δρισμένο ρεῦμα I_2 . Αὐτό έχει σάν συνέπεια νά δημιουργηθεῖ μαγνητική ροή στό δευτερεύον άντιθετη άπό αυτήν τοῦ πρωτεύοντος ή δποία τείνει νά μειώσει τή φ₁ και τήν έπαγμενη στό πρωτεύον ήλεκτρεγερτική δύναμη e_1 .

*Η e_1 δμως πρέπει κάθε στιγμή νά εἶναι ίση και άντιθετη μέ τήν τάση u_1 πού έχει έφαρμοσθεῖ στούς άκροδέκτες 1-1'. Έφόσον δεχθήκαμε δτι ή τάση αὐτή δέν μεταβάλλεται, πρέπει έπομένως και ή e_1 νά μή μεταβληθεῖ. Γιά νά μή μεταβληθεῖ δμως ή e_1 πρέπει νά έξουδετερωθεῖ ή μαγνητική ροή τοῦ δευτερεύοντος. Έτσι δημιουργεῖται στό πρωτεύον ένα πρόσθετο ρεῦμα I_1 άντιθετο τοῦ ρεύματος I_2 πού έχει τέτοια τιμή, δστε ή μαγνητική ροή πού δημιουργεῖ, νά έξουδετερώνει τή ροή τοῦ ρεύματος I_2 . Δηλαδή:

$$\frac{I_1 n_1}{R_m} = - \frac{I_2 n_2}{R_m} \quad (12)$$

$$\ddot{I}_1 = I_2 \frac{n_2}{n_1} \quad (13)$$

Τό σχήμα 19.2β(γ) δείχνει τό διανυσματικό διάγραμμα τών ένεργων τιμών τών τάσεων και τών ρευμάτων. Τό I_2 τοῦ δευτερέυοντος δρίζεται ἀπό τήν τάση U_2 και ἀπό τό φορτίο Z_2 . Στό διάγραμμα ἔχομε ὑποθέσει δτί τό φορτίο εἶναι ἐπαγωγικό, ὥστε τό ρεῦμα I_2 ἔπειται τῆς τάσεως U_2 κατά δρισμένη γωνία φ_2 . Τό ρεῦμα I_1 ἔχει ἀντίθετη διεύθυνση ἀπό τό ρεῦμα I_2 . Τό δίλικό ρεῦμα I_1 πού ρέει στό πρωτεῦον προκύπτει ἀπό τή σύνθεση τών ρευμάτων I_1' και I_0 .

Κάθε μετασχηματιστής εἶναι κατασκευσμένος γιά δρισμένη συχνότητα λειτουργίας και δρισμένη τάση και ἔνταση στό πρωτεῦον και δευτερεῦον, μέ τά δοῦλα ἔξασφαλίζεται ή συνεχής λειτουργία τοῦ μετασχηματιστή χωρίς κίνδυνο ὑπερθερμάνσεως τών τυλιγμάτων του, δπως θά γνωρίσομε ἀργότερα. Οι τιμές αὐτές χαρακτηρίζουν τή λειτουργία τοῦ μετασχηματιστή ὑπό κανονικές συνθήκες και δονομάζονται **δύναμαστικές τιμές**.

Τό ρεῦμα κενοῦ I_0 τοῦ μετασχηματιστή ἀποτελεῖ συνήθως ἕνα μικρό ποσοστό τῆς δύναμαστικῆς τιμῆς τοῦ ρεύματος I_1 ($I_0 \approx \frac{I_1}{20}$). Έτσι μποροῦμε νά θέσουμε κατά προσέγγιση:

$$I_1 = I_1' \quad (14)$$

ὅπότε ἀπό τήν (13) προκύπτει:

$$\frac{I_1}{I_2} = \frac{n_2}{n_1} = \frac{1}{\lambda_\mu} \quad (15)$$

Από τίς (10) και (15) παίρνομε:

$$\frac{E_1}{E_2} = \frac{U_1}{U_2} = \frac{I_2}{I_1} \quad (16)$$

Άρα τό ρεῦμα στό δευτερεῦον μεγαλώνει δταν ή δευτερεύοντα τάση μικράνει και ἀντίστροφα. Τό γινόμενο δμως τῆς τάσεως ἐπί τό ρεῦμα παραμένει σταθερό. Ένα τύλιγμα λοιπόν χαμηλῆς τάσεως κατασκευάζεται μέ σύρμα μεγάλης διατομῆς, διότι διοχετεύει μεγάλο ρεῦμα, ἐνῶ ἕνα τύλιγμα ύψηλῆς τάσεως κατασκευάζεται μέ σύρμα μικρῆς διατομῆς.

Από τό διάγραμμα τοῦ σχήματος 19.2β(γ) βλέπομε δτί, ἐπειδή τό ρεῦμα I_0 εἶναι μικρό συγκριτικά μέ τό I_1' , ή γωνία φ_2 εἶναι περίπου 137° μέ τή φ_1 , δηλαδή μέ τή διαφορά φάσεως μεταξύ τάσεως και ρεύματος στό πρωτεῦον. Άρα:

$$\text{συνφ}_1 \approx \text{συνφ}_2 \quad (17)$$

Ή ἰσχύς πού προσφέρεται στό πρωτεῦον εἶναι:

$$P_1 = U_1 I_1 \text{ συνφ}_1 \quad (18)$$

καί ή ίσχυς πού άποδίδεται στούς καταναλωτές άπό τό δευτερεύον:

$$P_2 = U_2 I_2 \text{ συνφ}_2 \quad (19)$$

Από τίς (18) καί (19) προκύπτει μέ τίς (16) καί (17):

$$P_1 \approx P_2 \quad (20)$$

Η ίσχυς πού προσλαμβάνει ό μετασχηματιστής στό πρωτεύον είναι ίση μέ τήν ίσχυ πού άποδίδει στό δευτερεύον.

Οι σχέσεις (16), (17) καί (20) ίσχυουν άκριβώς γιά τόν **ιδανικό μετασχηματιστή**, στόν δποίο δέν παρουσιάζονται άπώλειες καί ή μαγνητική διαπερατότητα μ_r είναι απειρη, μέ άποτέλεσμα τό ρεῦμα κενού I₀ νά είναι μηδέν. Στούς πραγματικούς μετασχηματιστές οι σχέσεις αύτές ίσχυουν μέ μεγάλη προσέγγιση άναλογα μέ τίς άπώλειες πού παρουσιάζονται καί μέ τήν τιμή τού μ_r. Ένας μετασχηματιστής χαρακτηρίζεται άπό τή φαινόμενη ίσχυ σέ kVA, πού άποδίδει δταν λειτουργεί μέ τίς δνομαστικές τιμές τάσεως, έντασεως, συχνότητας (δνομαστική ίσχυς), άπό τήν δνομαστική τάση στό πρωτεύον, τήν δνομαστική τάση στό δευτερεύον καί άπό τήν δνομαστική συχνότητα.

Π.χ. ό συμβολισμός 5 kVA, 220/500 V, 50 Hz σημαίνει δτι ό μετασχηματιστής άποδίδει φαινόμενη ίσχυ 5 kVA, ή δνομαστική τιμή τής τάσεως στό πρωτεύον είναι 220 V, στό δευτερεύον 500 V, καί ή δνομαστική συχνότητα είναι 50 Hz.

Η συνολική φαινόμενη άντίσταση πού προβάλλει ό μετασχηματιστής στήν πηγή τροφοδοτήσεως δνομάζεται **φαινόμενη άντίσταση είσοδου Z₁** τού μετασχηματιστή καί είναι:

$$Z_1 = \frac{E_1}{I_1} = \frac{U_1}{I_1} \quad (21)$$

Η φαινόμενη άντίσταση πού έμφανίζεται στούς άκροδέκτες τού δευτερεύοντος δνομάζεται **φαινόμενη άντίσταση έξοδου Z₂** καί είναι:

$$Z_2 = \frac{E_2}{I_2} = \frac{U_2}{I_2} \quad (22)$$

Από τίς έξισώσεις (5), (6) καί (7) προκύπτει:

$$Z_1 = \left(\frac{n_1}{n_2} \right)^2 Z_2 \quad (23)$$

Η σχέση αυτή διευκολύνει τή μελέτη τής συμπεριφορᾶς τού μετασχηματιστή καί δδηγεῖ σέ άπλετο λύσεις διαφόρων προβλημάτων.

Άριθμητικά παραδείγματα.

Παράδειγμα 1.

Στό πρωτεύον ένός μονοφασικού μετασχηματιστή, έφαρμόζεται έναλλασσό-

μενη τάση ένεργου τιμής $U_1 = 8,67 \text{ kV}$.

Στά άκρα τού δευτερεύοντος λαμβάνομε τάση ένεργου τιμής $U_2 = 100 \text{ V}$. Τό βολτόμετρο πού είναι συνδεμένο στά άκρα τού δευτερεύοντος δείχνει σέ κάποια στιγμή δτι ή τάση άνεβηκε σέ $U_2 = 105 \text{ V}$. Νά βρεθεί ή τάση πού έφαρμόσθηκε στό πρωτεύον.

Αύση.

$$\lambda_{\mu} = \frac{U_1}{U_2} = \frac{8670}{100} = 86,7$$

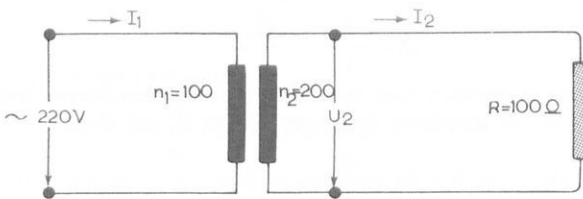
$$U_1 = \lambda_{\mu} \cdot U_2 = 86,7 \cdot 105 = 9103 \text{ V}$$

$$U_1 = 9,103 \text{ kV}$$

Παράδειγμα 2.

Ο άριθμός τῶν σπειρῶν τοῦ πρωτεύοντος ένός ιδανικοῦ μονοφασικοῦ μετασχηματιστῆ είναι $n_1 = 100$ καὶ τοῦ δευτερεύοντος $n_2 = 200$. Τό πρωτεύον συνδέεται μέν ενα δίκτυο έναλλασσόμενου ρεύματος ένεργου τιμής τῆς τάσεως $U_1 = 220 \text{ V}$. Νά βρεθοῦν:

- a) Ό λόγος μετασχηματισμοῦ.
- β) Ή ένεργός τιμή τῆς τάσεως στό δευτερεύον U_2 .
- γ) Ή ένεργός τιμή τοῦ ρεύματος I_2 δταν στό δευτερεύον συνδέεται ενας ώμικος καταναλωτής $R = 100 \Omega$ (σχ. 19.2γ).



Σχ. 19.2γ.

δ) Ή πραγματική ίσχυς P_1 πού παρέχει τό δίκτυο τοῦ έναλλασσόμενου ρεύματος.

Αύση.

$$a) \quad \lambda_{\mu} = \frac{n_1}{n_2} = \frac{100}{200} = 0,5$$

$$\lambda_{\mu} = \frac{1}{2}$$

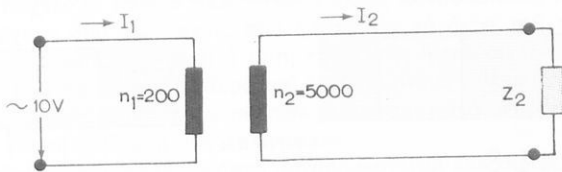
$$\beta) \frac{U_1}{U_2} = \lambda_{\mu} \quad U_2 = \frac{U_1}{\lambda_{\mu}} = \frac{220}{0,5} = 440 \text{ V} \quad \underline{\underline{U_2 = 440 \text{ V}}}$$

$$\gamma) I_2 = \frac{U_2}{R} = \frac{440}{100} = 4,4 \text{ A} \quad \underline{\underline{I_2 = 4,4 \text{ A}}}$$

$$P_1 = P_2 = U_2 I_2 = 440 \cdot 4,4 = 1936 \text{ W} \quad \underline{\underline{P_1 = 1936 \text{ W}}}$$

Παράδειγμα 3.

Ο άριθμός των σπειρών του πρωτεύοντος ένός μονοφασικού μετασχηματιστή είναι $n_1 = 200$ και του δευτερεύοντος $n_2 = 5000$. Στό πρωτεύοντον έφαρμόζεται ημιλαμπτική φασινόμενη τάση ένεργος $U_1 = 10 \text{ V}$ (σχ. 19.28). Η συνολική φασινόμενη άντισταση του δευτερεύοντος είναι $Z_2 = 100 \text{ k}\Omega$. Νά βρεθοῦν:



Σχ. 19.28.

ται έναλλασσόμενη τάση ένεργος $U_1 = 10 \text{ V}$ (σχ. 19.28). Η συνολική φασινόμενη άντισταση του δευτερεύοντος είναι $Z_2 = 100 \text{ k}\Omega$. Νά βρεθοῦν:

- a) Η ένεργος τιμή του ρεύματος I_2 .
- b) Η ένεργος τιμή του ρεύματος I_1 .

Αύση.

$$\lambda_{\mu} = \frac{n_1}{n_2} = \frac{U_1}{U_2} = \frac{260}{5000} = 0,04$$

$$U_2 = \frac{U_1}{\lambda_{\mu}} = \frac{10}{0,04} = 250 \text{ V}$$

$$a) I_2 = \frac{U_2}{Z_2} = \frac{250}{100} \cdot 10^{-3} = 2,5 \quad \underline{\underline{I_2 = 2,5 \text{ mA}}}$$

$$\beta) I_1 = \frac{U_1}{Z_1} \quad Z_1 = \left(\frac{n_1}{n_2} \right)^2 Z_2 = 160 \Omega$$

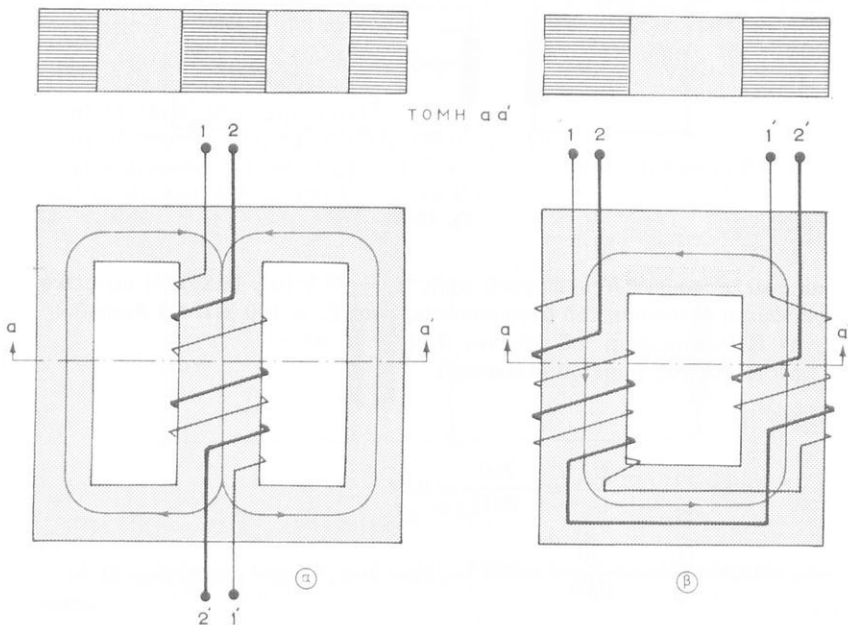
$$I_1 = \frac{10}{160} = 62,5 \text{ mA}$$

$$\underline{\underline{I_1 = 62,5 \text{ mA}}}$$

$$\eta \quad I_1 = \frac{I_2}{\lambda_\mu} = \frac{2,5}{0,04} = 62,5 \text{ mA}$$

β) Τύποι μονοφασικῶν μετασχηματιστῶν.

Οἱ σπουδαιότεροι τύποι μονοφασικῶν μετασχηματιστῶν εἰναι δύο: ὁ **μετασχηματιστής μανδύα** καὶ ὁ **μετασχηματιστής πλαισίου**. Στὸ σχῆμα 19.2e(a) παριστάνεται ἔνας μετασχηματιστής τύπου **μανδύα**, στὸν ὥποιο καὶ τὰ δύο τυλίγματα εἰναι τοποθετημένα στὴ μεσαίᾳ στήλῃ. Οἱ ἀκροδέκτες 1-1' εἰναι οἱ ἀκροδέκτες τοῦ πρωτεύοντος, ἐνῷ οἱ ἀκροδέκτες 2-2' εἰναι τοῦ δευτερεύοντος.



Σχ. 19.2e.

Στὸ σχῆμα 19.2e(β) παριστάνεται ἔνας μετασχηματιστής τύπου **πλαισίου**, στὸν ὥποιο τὰ τυλίγματα εἰναι τοποθετημένα καὶ στίς δύο στήλες. Οἱ ἀ-

κροδέκτες 1-1' είναι τοῦ πρωτεύοντος, ἐνῶ οἱ 2-2' τοῦ δευτερεύοντος.

Τά τυλίγματα κατασκευάζονται ἀπό μονωμένους χάλκινους ἄγγιγούς πού τυλίγονται σπειρωτά σέ πολλές στρώσεις ἐπάνω σέ φόρμες (καλούπια) ἀπό μονωτικό χαρτόνι. Ἡ φόρμα ἔχει στό ἐσωτερικό της κατάλληλο ἄνοιγμα μέσα στό ὅποιο τοποθετεῖται κατά τή συναρμολόγηση τοῦ πυρήνα, δπως θά δοῦμε στή συνέχεια, ἡ στήλη πού φέρει τό τύλιγμα.

Πάνω ἀπό τό πρῶτο τύλιγμα τῆς φόρμας, τυλίγεται τό δεύτερο, ἀνεξάρτητο τύλιγμα. Μεταξύ τους παρεμβάλλεται μόνωση, ἀνάλογη μέ τίς τάσεις τους. Κοντά στόν πυρήνα τοποθετεῖται τό τύλιγμα μέ τή μεγαλύτερη διατομή ἄγωγοῦ.

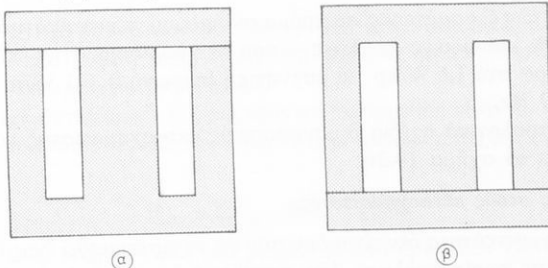
Ο διαχωρισμός τῶν δύο τυλιγμάτων (πρωτεῦον-δευτερεῦον) γιά συνηθισμένες τάσεις, γίνεται μέ μονωτικό χαρτί πάχους 1 mm. Στή μόνωση, ἀπό στρώση σέ στρώση, χρησιμοποιεῖται ἐπίσης μονωτικό χαρτί ἀλλά λεπτότερο (0,015 ὁς 0,3 mm) ἀνάλογα μέ τή διάμετρο τοῦ σύρματος τῶν πηνίων.

Οπως δείχνει τό σχῆμα 19.2e στοὺς ἀπλούς μονοφασικούς μετασχηματιστές ὑπάρχουν δύο ἀκροδέκτες πού ἀποτελοῦν τά ἄκρα τοῦ πρωτεύοντος τυλιγμάτος, δπου ἐφαρμόζεται ἡ τάση τῆς πηγῆς ἡ τοῦ δικτύου, καὶ δύο ἀκροδέκτες πού ἀποτελοῦν τά ἄκρα τοῦ δευτερεύοντος τυλιγμάτος, δπου συνδέονται οἱ καταναλωτές. Πάνω σέ κάθε μετασχηματιστή ὑπάρχει κατάλληλη σήμανση γιά τή διάκριση τῶν τυλιγμάτων.

Ο πυρήνας ἐνός μετασχηματιστῆ συναρμολογεῖται ἀπό σιδερελάσματα πάχους 0,3 ὁς 0,5 mm, πού τοποθετοῦνται τό ἔνα δίπλα στό ἄλλο καὶ κατόπιν συσφίγονται μέ βίδες.

Στόν πυρήνα μανδύα τά ἐλάσματα κόβονται σέ σχῆμα Ε καὶ I. Τό μεσαῖο σκέλος τοῦ ἐλάσματος Ε ἔχει πλάτος διπλάσιο ἀπό τά πλαινά καὶ τοποθετεῖται στό ἄνοιγμα τῆς φόρμας, δστε τό πηνίο (τύλιγμα) νά περιβάλλει τό σκέλος αὐτό. Ἀπό ἐλάσματα Ε σχηματίζονται οἱ τρεῖς στήλες τοῦ μετασχηματιστῆ μέ τό τύλιγμα στή μεσαία στήλη. Κάθε ἐλασμα Ε συμπληρώνεται μέ ἔνα ἐλασμα

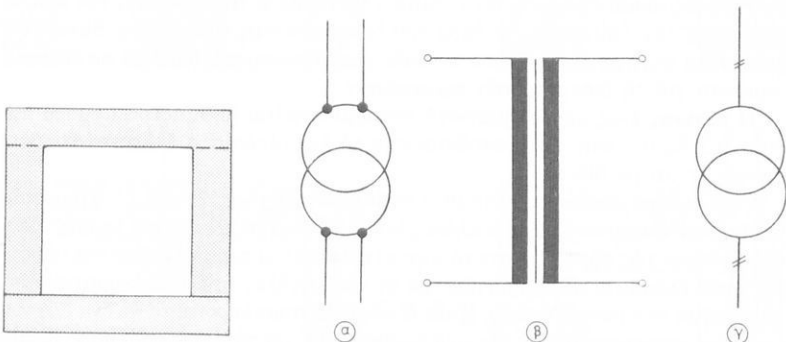
, δστε νά σχηματισθεῖ ἡ κλειστή διαδρομή Η γιά τή μαγνητική ροή. Τό κατακόρυφο τμῆμα τῶν ἐλασμάτων Ε καὶ τά ἐλάσματα I σχηματίζουν τά δύο ζυγώματα τοῦ πυρήνα (σχ. 19.2στ).



Σχ. 19.2στ.

Τά έλάσματα **E** και **I** δέν τοποθετοῦνται δόλα στήν ίδια κατεύθυνση, άλλα έναλλακτικά, ένα έλασμα **E** και ένα **I** στήν κατεύθυνση **EI** [σχ. 19.2στ(α)], τό επόμενο ζεύγος **E,I** στήν άντιθετη κατεύθυνση **IE** [σχ. 19.2στ(β)] κ.ο.κ. Μέ τόν τρόπο αυτό οί άρμοι μεταξύ ένός έλασματος **E** και τού άντιστοιχού του **I** έπικαλύπτονται άπό τό συμπαγές κατακόρυφο τμῆμα τοῦ έπόμενου **E**. Έτσι αυξάνεται ή μηχανική άντοχή τής κατασκευῆς καί διαμοιράζεται ή μαγνητική άντισταση τοῦ άέρα, πού παρουσιάζεται στούς άρμούς, στά δύο ζυγώματα.

Στόν πυρήνα **πλαισίου** τά έλάσματα κόβονται σέ σχήμα **P** καί **I**. Κάθε έλασμα **P** τοποθετεῖται στίς δύο φόρμες τῶν πηνίων (τυλιγμάτων) καί κλείνεται μέ τό έλασμα **I** ώστε νά σχηματισθεῖ ή κλειστή διαδρομή **P** (σχ. 19.2ζ). Όπως στόν πυρήνα μανδύα, τά έλάσματα τοποθετοῦνται έναλλακτικά σέ άντιθετες κατεύθυνσεις. (Ένα ζεύγος σέ κατεύθυνση **P**, τό έπόμενο σέ κατεύθυνση **P** κ.ο.κ.). Άντι έλασμάτων **P**, **I**, χρησιμοποιοῦνται έπιστης έλασματα **L**, πού σχηματίζουν τό **πλαισίο P**.



.Σχ. 19.2

Σχ. 19.2η.

Τδ ύλικό τῶν έλασμάτων εἶναι κράμα σιδήρου μέ περιεκτικότητα σέ πυρίτιο 0,25 ώς 4,5% και ειδικές άπωλειες — πού θά γνωρίσομε στήν έπόμενη παράγραφο — γύρω στά 1,6 W/kp γιά μαγνητική έπαγωγή $B = 1 \text{ Vs/m}^2$ καί συχνότητα $f = 50 \text{ Hz}$.

Στά ήλεκτρολογικά σχέδια ό μονοφασικός μετασχηματιστής παριστάνεται, δπως δείχνει τό σχήμα 19.2η.

γ) Άπωλεις στούς μετασχηματιστές.

Στήν πραγματικότητα δέν εἶναι δυνατόν νά κατασκευασθεῖ ένας ίδανικός μετασχηματιστής χωρίς άπωλειες. Τήν παραδοχή δτι ό βαθμός άποδόσεως ένός μετασχηματιστή εἶναι 100% τήν κάναμε γιά νά διευκολυνθούμε στούς ίπολο-

γισμούς μας και νά καταλήξουμε σύντομα σέ δρισμένες άπλες έξισώσεις, πού δίνουν άποτελέσματα μέ πολύ μικρό σφάλμα. Ό βαθμός άποδόσεως ένός μετασχηματιστή δέν είναι 100%, δμως είναι πάρα πολύ μεγάλος, δπως θά δοῦμε στή συνέχεια.

Οι κύριες άπώλειες ένός μετασχηματιστή είναι:

- *Oι άπώλειες στό σιδηροπυρήνα P_{Fe}* .
- *Oι άπώλειες στό χαλκό τῶν πηνίων P_{Cu}* .

Άπώλειες στό σιδηροπυρήνα.

Οι άπώλειες στό σιδηροπυρήνα διακρίνονται:

- a) Σέ άπώλειες δινορευμάτων και
- β) σέ άπώλειες ύστερήσεως.

Τά δινορεύματα είναι παρασιτικά ρεύματα, πού δημιουργούνται στόν πυρήνα έξι έπαγωγῆς λόγω τῆς μεταβαλλόμενης μαγνητικῆς ροής. Αποτέλεσμά τους είναι ή άπώλεια ένέργειας τῆς πηγῆς η τοῦ δικτύου, η όποια μετατρέπεται σέ θερμότητα. Οι άπώλειες δινορευμάτων αυξάνουν μέ τό τετράγωνο τῆς συχνότητας f , τῆς μαγνητικῆς έπαγωγῆς B και τοῦ πάχους τῶν έλασμάτων.

Γιά νά περιορίσουμε τίς άπώλειες δινορευμάτων κατασκευάζομε τόν πυρήνα άπό λεπτά έλασματα, δπως είδαμε στήν προηγούμενη παράγραφο, μέ πάχος 0,3 ίως 0,5 mm, πού μονόνονται μεταξύ τους μέ βερνίκι η μέ στρώμα δξειδίου, ύστερα άπό χημική έπεξεργασία.

Οι άπώλειες ύστερήσεως δφείλονται στή συνεχή μαγνητιση και άπομαγνήτιση τοῦ πυρήνα [δπως μάθαμε στήν παράγραφο 9.3(β)], πού έχει σάν άποτέλεσμα δρισμένη ένέργεια τῆς πηγῆς τροφοδοτήσεως νά μετατρέπεται σέ θερμότητα. Οι άπώλειες ύστερήσεως είναι άναλογες τοῦ έμβαδοῦ τοῦ βρόχου ύστερήσεως τῶν έλασμάτων. Γιά νά τίς μειώσουμε χρησιμοποιούμε έλασματα μέ στενό βρόχο ύστερήσεως.

Οι άπώλειες στό σιδηροπυρήνα ύπολογίζονται σέ Watt άνά kg βάρους (κιλοπόντ:kP) τοῦ πυρήνα: W/kP.

Άπώλειες στό χαλκό τῶν τυλιγμάτων.

Οι άπώλειες στό χαλκό τῶν τυλιγμάτων P_{Cu} είναι οι ώμικές άπώλειες πού έμφανίζονται ύπό μορφή θερμότητας στά χάλκινα πηνία (πρωτεύον, δευτερεύον), δταν διαρρέονται άπό ρεῦμα.

Άν η ώμική άντισταση τοῦ πρωτεύοντος τυλιγματος είναι R_1 και η ώμική άντισταση τοῦ δευτερεύοντος είναι R_2 , τότε οι άπώλειες ίσχυος στό χαλκό είναι:

$$P_{Cu} = I_1^2 R_1 + I_2^2 R_2 \quad (W) \quad (1)$$

δπου I_1 και I_2 οι ένεργεις τιμές τῶν ρευμάτων στό πρωτεύον και δευτερεύον.

Οι άπώλειες ένέργειας στό χαλκό σέ διάστημα t είναι:

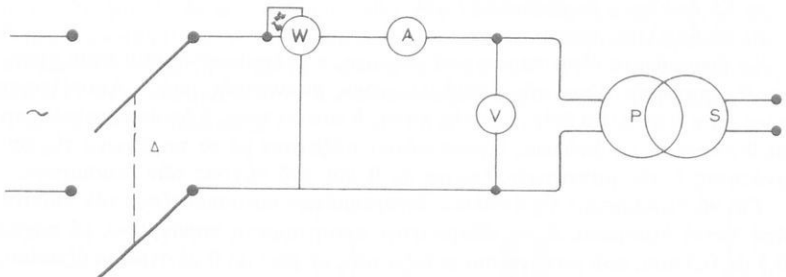
$$A_{cu} = I_1^2 R_1 t + I_2^2 R_2 t \quad (J) \quad (2)$$

Πειραματικός προσδιορισμός τῶν ἀπώλειῶν.

Οἱ ἀπώλειες στὸ σιδηροπυρήνα καὶ στὸ χαλκὸ τῶν τυλιγμάτων μποροῦν εὐκολὰ νά προσδιορισθοῦν πειραματικά ὡς ἔξῆς:

Ἀπώλειες σιδήρου.

Ἄφηνομε τό μετασχηματιστή νά λειτουργεῖ σέ κενό, δπως φαίνεται στὸ σχῆμα 19.20, κλείνοντας τό διακόπτη Δ .



Σχ. 19.20.

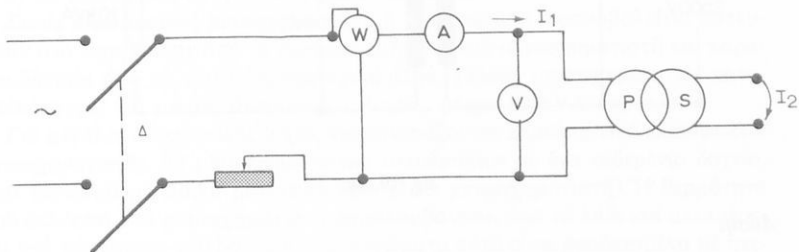
Ἐφόσον τό δευτερεύον εἶναι ἀνοικτό, ἀπώλειες χαλκοῦ δέν ὑπάρχουν οὐσιαστικά, γιατί τό ρεῦμα I_2 εἶναι μηδέν καὶ τό ρεῦμα I_0 στὸ πρωτεύον εἶναι πολὺ μικρό. Ἀρα τό βαττόμετρο W πού εἶναι συνδεμένο στὸ πρωτεύον δίνει ἀμέσως τήν ίσχύ τῶν σιδηραπωλειῶν σε (W) ἐνῶ τό ἀμπερόμετρο A δείχνει τό ρεῦμα κενοῦ I_0 .

Ἀπώλειες χαλκοῦ.

Οἱ ἀπώλειες χαλκοῦ εἶναι ἀνάλογες τοῦ τετραγώνου τῶν ρευμάτων I_1 καὶ I_2 πού ρέουν κατά τή λειτουργία ὑπό φορτίο στὸ πρωτεύον καὶ δευτερεύον, δπως φαίνεται ἀπό τήν ἔξισθωση (1). Γιά νά τίς προσδιορίσομε βραχυκυκλώνομε τό δευτερεύον καὶ ἐφαρμόζομε στό πρωτεύον, μέσω ἐνός ροοστάτη, μιά δοκιμαστική τάση. Τήν τάση αὐτή αὐξάνομε μέ τή βοήθεια τοῦ ροοστάτη ἀπό τήν τιμή μηδέν μέχρι τήν τιμή U_K , στήν όποια ἀναπτύσσονται στό πρωτεύον καὶ δευτερεύον ἀντίστοιχα τά ρεύματα I_1 καὶ I_2 τῆς ὀνομαστικῆς φορτίσεως (σχ. 19.21).

Τήν τάση U_K ὀνομάζεται **τάση βραχυκυκλώσεως** καὶ εἶναι συνήθως ἵση μέ 2 ὥς 5% τῆς ὀνομαστικῆς τάσεως τοῦ πρωτεύοντος. Ἐφόσον ἡ τάση στό δευτερεύον τύλιγμα εἶναι μηδέν, ἔπειται ὅτι καὶ ἡ ἐπαγόμενη ἡλεκτρεγερτική δύναμη E_2 εἶναι μηδέν (γιατί $E_2 = U_2$) καὶ ὅτι ἡ μαγνητική ροή πού διαρρέει τόν πυρή-

να και δημιουργεῖ τήν E_2 είναι άμελητέα. Έτσι οι άπωλειες σιδήρου, που όφειλονται στή μεταβαλλόμενη μαγνητική ροή, είναι έπισης άμελητέες και παραμένουν μόνο οι άπωλειες χαλκού P_{Cu} . Τις άπωλειες αυτές δείχνει άμεσα τό βαττόμετρο που είναι συνδεμένο στό πρωτεύον τύλιγμα (σχ. 19.2i).



Σχ. 19.2i.

δ) Βαθμός άποδόσεως μετασχηματιστών.

Ο βαθμός άποδόσεως η ένος μετασχηματιστή είναι δ λόγος τής πραγματικής ισχύος που άποδιδεται στούς καταναλωτές από τό δευτερεύον τύλιγμα (πηγίο): $P_2 = U_2 I_2 \sin \varphi_2$, πρός τή συνολική πραγματική ισχύ που άπορροφᾶ τό πρωτεύον από τό δίκτυο ή τήν πηγή: $P_1 = U_1 I_1 \sin \varphi_1$. Δηλαδή:

$$\eta = \frac{P_2}{P_1} = \frac{U_2 I_2 \sin \varphi_2}{U_1 I_1 \sin \varphi_1} = \frac{U_2 I_2 \sin \varphi_2}{U_2 I_2 \sin \varphi_2 + P_{Fe} + P_{Cu}}$$

Η άπόδοση τού μετασχηματιστή έπηρεάζεται, δπως βλέπομε από τό μέγεθος φορτίσεως τού μετασχηματιστή και από τό συντελεστή ισχύος. Συνηθισμένες τιμές βαθμῶν άποδόσεως η είναι:

Γιά μικρούς μετασχηματιστές: 90%.

Γιά ισχύ μέχρι 10 kVA: 95%.

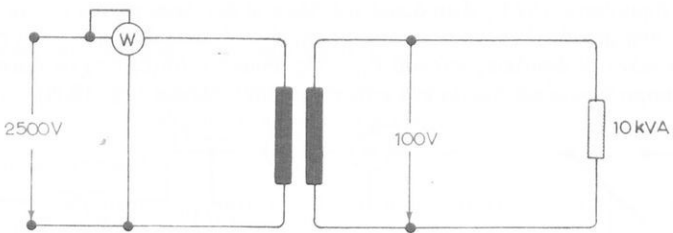
Γιά ισχύ μεγαλύτερη από 10 kVA π.χ. σέ τριφασικούς μετασχηματιστές, που θά γνωρίσουμε στή συνέχεια: 96-99%.

Άριθμητικό παράδειγμα.

Σέ ένα μονοφασικό μετασχηματιστή, ισχύος $P_{\phi_2} = 10 \text{ kVA}$, έφαρμόζεται στά άκρα τού πρωτεύοντος έναλλασσόμενη τάση μὲ ένεργο τιμή $U_1 = 2500 \text{ V}$. Η ένεργος τιμή τής τάσεως που έμφανίζεται στά άκρα τού δευτερεύοντος είναι $U_2 100 \text{ V}$ (σχ. 19.2ia). Οταν δ μετασχηματιστής έργάζεται σέ κενό, τό βαττόμετρο που είναι συνδεμένο στό πρωτεύον δείχνει 50 W και δταν έργάζεται σέ βραχυκύλωση δείχνει 200 W.

Ο συντελεστής ισχύος είναι $\sin \varphi_1 = \sin \varphi_2 = 0,8$.

Νά βρεθεῖ δ βαθμός άποδόσεως τού μετασχηματιστή.



Σχ. 19.2ia.

Λύση.

Όταν ο μετασχηματιστής έργαζεται σέ κενό τότε το βαττόμετρο, δηλαδή προαναφέραμε, δείχνει τις άπωλειες σιδήρου, αρα $P_{Fe} = 50 \text{ W}$, ενώ δταν έργαζεται σέ βραχυκύκλωση το βαττόμετρο δείχνει μόνο τις άπωλειες χαλκού. Άρα: $P_{Cu} = 200 \text{ W}$.

$$P_2 = P_{\varphi_2} \text{ συνφ}_2 = 10 \cdot 0,8 = 8 \text{ kW}$$

$$\eta = \frac{P_2}{P_2 + P_{Fe} + P_{Cu}} = \frac{8000}{8000 + 50 + 200} = \frac{8000}{8250} = 0,9696$$

$\approx 97\%$

ε) Θερμοκρασία λειτουργίας και ψύξη μετασχηματιστῶν.

Όταν ένας μετασχηματιστής τεθεί σέ λειτουργία, άρχιζει νά ανδάνεται ή θερμοκρασία τῶν διαφόρων τμημάτων του λόγω τῶν άπωλειῶν πού έμφανίζονται στό σιδηροπυρήνα και τά τυλίγματα. Ή αεξηση τῆς θερμοκρασίας σταματᾶ, δταν ή θερμότητα πού παράγεται μεταφέρεται (ή άπαγεται) στό περιβάλλον, όποτε λέμε δτι ἐπικρατεῖ «θερμική ίσορροπία».

Η διαφορά μεταξύ τῆς τελικῆς θερμοκρασίας υπό λειτουργία και τῆς θερμοκρασίας τοῦ περιβάλλοντος, δρίζει τήν ύπερθέρμαση κάθε τμήματος τοῦ μετασχηματιστῆς.

Ίδιαίτερη σημασία έχει ή ύπερθέρμανση τοῦ μονωτικοῦ ύλικοῦ πού χρησιμοποιεῖται στό μετασχηματιστή γιά τή μόνωση τῶν τυλιγμάτων του. Τό ύλικό αὐτό μπορεῖ νά άντεξει, άνάλογα μέ τό είδος του, σέ δρισμένη θερμοκρασία λειτουργίας, πάνω άπό τήν όποια καταστρέφεται.

Σέ κοινούς μετασχηματιστές π.χ. ή ἐπιτρεπόμενη ύπερθέρμανση στά θερμότερα σημεῖα τοῦ τυλιγματος άνερχεται σέ 45 ὁς 50°C, γιά θερμοκρασία περιβάλλοντος 35 ὁς 40°C.

Γιά νά μήν ξεπερνᾶ ή θερμοκρασία τά δρια άντοχῆς τῶν μονωτικῶν πρέπει

ό μετασχηματιστής νά ψύχεται κατάλληλα. Ανάλογα μέ τόν τρόπο ψύξεως διακρίνομε τούς μετασχηματιστές:

- α) Σέ αερόψυκτους ή ξηρούς μετασχηματιστές και
- β) σέ έλαιοψυκτους ή μετασχηματιστές λαδιοῦ.

Στούς αερόψυκτους μετασχηματιστές ή θερμοκρασία άκτινοβολεῖται κατευθίαν στό περιβάλλον άπό τά διάφορα τμήματα τού μετασχηματιστή και παραλαμβάνεται άπό τό γύρω άτμοσφαιρικό άέρα. Τέτοιοι μετασχηματιστές κατασκευάζονται γιά μικρές όνομαστικές ισχείς, μέχρι 10 kVA περίπου.

Γιά μεγάλες όνομαστικές ισχείς κατασκευάζονται άποκλειστικά **έλαιοψυκτοι μετασχηματιστές**. Ό μετασχηματιστής τοποθετεῖται σέ ένα σιδερένιο δοχεῖο, πού γεμίζεται μέ ειδικό μονωτικό λάδι (λάδι μετασχηματιστή). Ή θερμότητα πού έκλινεται στό μετασχηματιστή παραλαμβάνεται άπό τό λάδι και μεταφέρεται στά τοιχώματα τοῦ δοχείου. Τά τοιχώματα αυτά είναι έφοδιασμένα μέ πτερύγια, πού ανδένουν τήν έξωτερική έπιφάνεια τοῦ δοχείου και έξασφαλίζουν τή μεταφορά στό γύρω άέρα τής θερμότητας πού δημιουργεῖται.

Όταν ή φυσική μεταφορά τής θερμότητας άπό τό μετασχηματιστή στόν άτμοσφαιρικό άέρα, μέσω τοῦ λαδιοῦ, δέν έπαρκε, ένισχύεται ή ψύξη μέ μία άντλια, πού άναγκάζει τό λάδι νά κυκλοφορεῖ στό δοχεῖο και νά περνᾶ άπό ψυκτικούς θάλαμους, δπου άποδιδει τή θερμότητά του.

19.3 Τριφασικοί μετασχηματιστές.

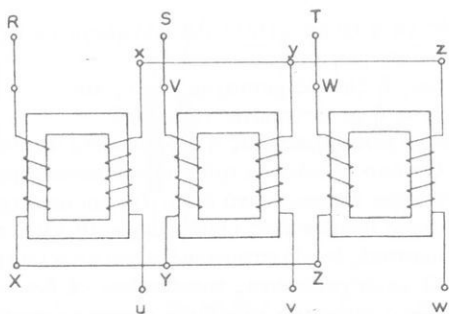
a) Κατασκευή και άρχη λειτουργίας.

Γιά νά μετασχηματίσουμε τίς τάσεις ένός τριφασικοῦ δικτύου είναι δυνατό νά χρησιμοποιήσουμε 3 δμοιους μονοφασικούς μετασχηματιστές, πού τά πρωτεύοντα και δευτερεύοντα τυλίγματά τους είναι συνδέμενα μεταξύ τους κατά άστέρα η τρίγωνο. Τό σχήμα 19.3α δείχνει τή σύνδεση κατά άστέρα, δπου UX, VY, WZ είναι τά πρωτεύοντα τυλίγματα και ux, vy, wz τά δευτερεύοντα.

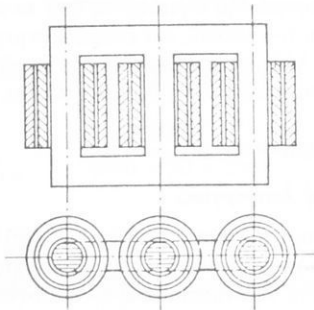
Όπως δμως στά τριφασικά συστήματα συνδέονται οι 3 φάσεις σχηματίζοντας άλληλένδετα συστήματα, έτσι και έδω είναι δυνατό νά «συνδεθούν» οι 3 μονοφασικοί μετασχηματιστές και νά σχηματίσουν ένα **τριφασικό μετασχηματιστή**. Αποτέλεσμα είναι η έξοικονόμηση σιδήρου και ή δημιουργία μιᾶς φθηνότερης συμπαγούς κατασκευῆς.

Ό πυρήνας ένός τριφασικοῦ μετασχηματιστή περιλαμβάνει 3 στήλες, τοποθετημένες συνήθως στό ίδιο έπιπεδο, πού συνδέονται μέ δύο ζυγώματα. Σέ κάθε στήλη είναι τοποθετημένο τό πρωτεύον και τό δευτερεύον τύλιγμα μιᾶς φάσεως (σχ. 19.3β).

Η άρχη λειτουργίας τοῦ τριφασικοῦ μετασχηματιστή είναι ίδια μέ αυτή ένός μονοφασικοῦ μετασχηματιστή. Έτσι ίσχύουν βασικά και γιά τόν τριφασικό μετασχηματιστή δσα άναφέραμε στήν προηγούμενη παράγραφο γιά τό μετασχηματισμό τής τάσεως και τοῦ ρεύματος, γιά τίς άπωλειες, γιά τό βαθμό άποδόσεως και τή θερμοκρασία τοῦ μονοφασικοῦ μετασχηματιστή.



Σχ. 19.3α.

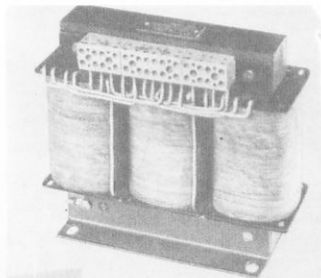


Σχ. 19.3β.

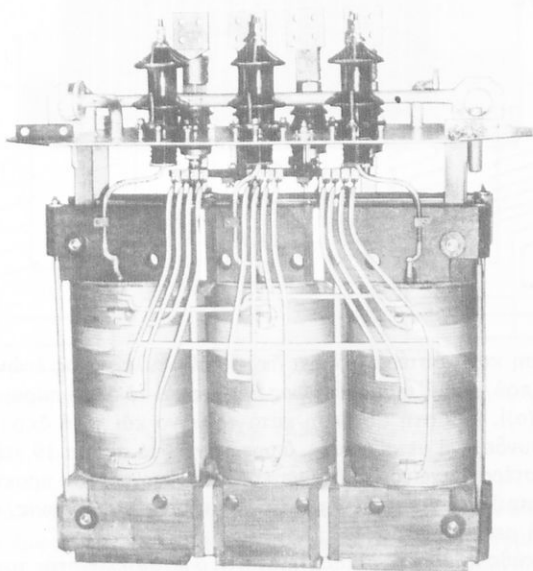
Τό σχήμα 19.3γ δείχνει ένα άεροψυκτο τριφασικό μετασχηματιστή, μικρῆς ίσχύος. Τό σχήμα 19.3δ(α) δείχνει τό έσωτερικό έλαιοψυκτου μετασχηματιστή και τό σχήμα 19.3δ(β) έλαιοψυκτο τριφασικό μετασχηματιστή μέ τό δοχεῖο του.

β) Σύνδεση τῶν τυλιγμάτων.

Τά τρία πρωτεύοντα τυλίγματα και τά τρία δευτερεύοντα ένός τριφασικοῦ μετασχηματιστῆ μποροῦν νά συνδεθοῦν μεταξύ τους ἡ κατά **δστέρα** ἡ κατά **τρίγωνο**.

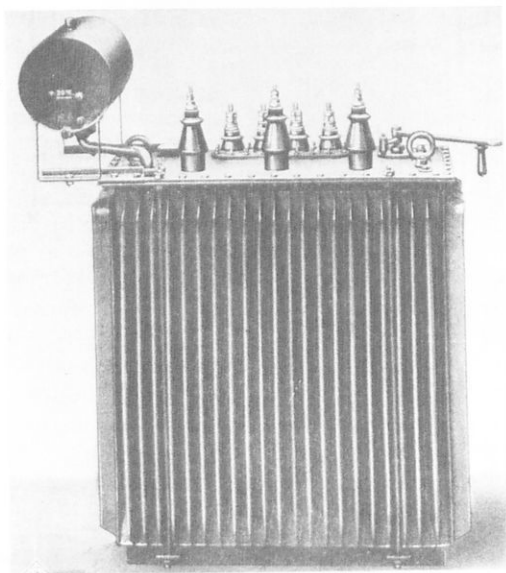


$\Sigma\chi.$ 19.3γ.



(c)

$\Sigma\chi.$ 19.3δ.

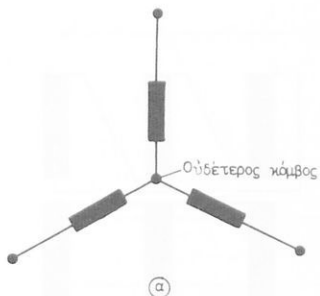


Σχ. 19.3δ.

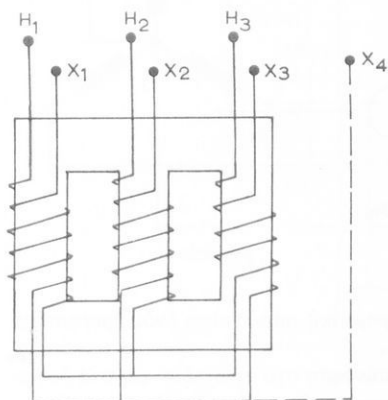
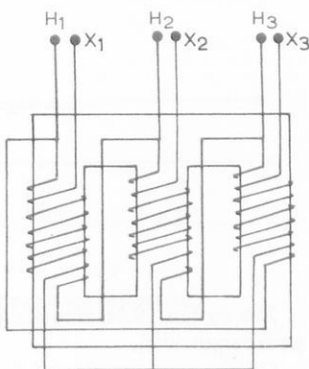
Στή σύνδεση κατά άστέρα, τό ̄να ̄κρο κάθε τυλίγματος ̄νώνεται σέ ̄να κοινό κόμβο, πού δνομάζεται **οὐδέτερος κόμβος** και τό ̄λλο παραμένει ̄λευθερό [σχ. 19.3ε(α)], ̄νω στή σύνδεση κατά τρίγωνο και τά 6 ̄κρα τῶν τυλιγμάτων είναι συνδεμένα μεταξύ τους, δπως δείχνει τό σχῆμα 19.3ε(β). Από τό συνδυασμό άστέρα-τριγώνου στό πρωτεύον και δευτερεύον προκύπτουν διάφοροι τύποι συνδέσεων πού ̄ξυπηρετούν διαφορετικές άνάγκες, άνάλογα μέ τή χρήση τοῦ μετασχηματιστῆ.

Ἐπάνω σέ κάθε τριφασικό μετασχηματιστή δ κατασκευαστής του άναγράφει πάντα τόν τύπο τῆς συνδέσεως τῶν τυλιγμάτων του.

Τή σύνδεση κατά τρίγωνο χαρακτηρίζεται μέ τό γράμμα D, ̄νω ή σύνδεση κατά άστέρα μέ τό γράμμα Y. Τή ̄νδειξη π.χ. D/Y σέ ̄να τριφασικό μετασχηματιστή σημαίνει δτι τό τύλιγμα τῆς ψηλότερης τάσεώς του άποτελεῖ τρίγωνο, ̄νω τῆς χαμηλότερης άποτελεῖ άστέρα. Έτσι ̄νας τριφασικός μετασχη-



Σχ. 19.3ε.

Σύνδεση Y/Y .

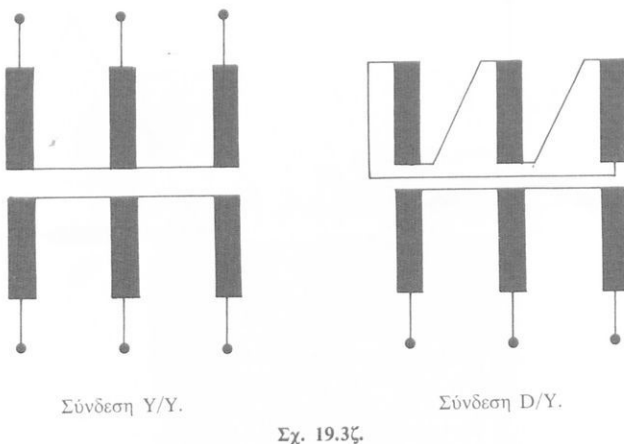
Σχ. 19.3στ.

Σύνδεση D/Y .

ματιστής που στό πρωτεύον του έφαρμόζεται πολική τάση 20 kV και στό δευτερεύον του έμφανίζεται πολική τάση 0,4 kV (20/0,4 kV), φέρει τήν ένδειξη D/Y, συμπεραίνομε διτί τό τύλιγμα τῶν 20 kV ἀποτελεῖ τρίγωνο, ἐνῶ τό τύλιγμα τῶν 0,4 kV ἀποτελεῖ ἀστέρα. Ή ένδειξη Y/Y σημαίνει διτί καὶ τά δύο τυλίγματα (πρωτεύον-δευτερεύον) εἶναι συνδεμένα κατά ἀστέρα.

Στό σχῆμα 19.3στ παριστάνονται οι συνδέσεις Y/Y καὶ D/Y.

Στά ήλεκτρολογικά σχέδια οι συνδέσεις αὐτές παριστάνονται δπως δείχνει τό σχῆμα 19.3ζ.



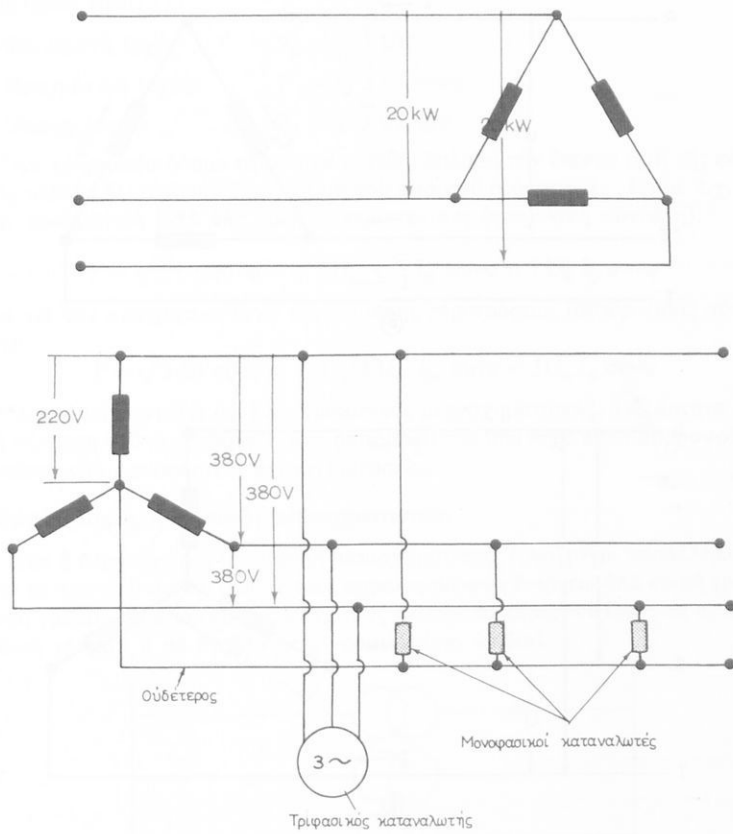
Σχ. 19.3η.

Στό σχήμα 19.3η εικονίζεται ή μονογραμμική παράσταση ένός τριφασικού μετασχηματιστή.

Οι μετασχηματιστές που έχουν δύοια σύνδεση στό πρωτεύον και στό δευτερεύον, π.χ. άστέρα-άστέρα ή τρίγωνο-τρίγωνο, δύομάζονται «δύμοιοσύνδετοι» ένδι αντίθετα, δταν έχουν άνόμοια σύνδεση, π.χ. άστέρα-τρίγωνο ή τρίγωνο-άστέρα, δύομάζονται «άνομοιοσύνδετοι». Η σύνδεση Y/Y είναι κατάλληλη γιά συμμετρική φόρτιση του μετασχηματιστή, ένδι ή σύνδεση D/Y είναι κατάλληλη γιά μετασχηματιστές που τροφοδοτούν δίκτυα διανομής ή λεκτρικής ένέργειας, στά όποια έπικρατεί γενικά άσύμμετρη φόρτιση.

Τό πρωτεύον του μετασχηματιστή, που είναι συνδεμένο κατά τρίγωνο, τροφοδοτείται π.χ. μέ τάση 15 ή 20 kV (πολική τάση) και στό δευτερεύον, που είναι συνδεμένο κατά άστέρα, λαμβάνεται π.χ. πολική τάση 380 V και ή φασική τάση $380/\sqrt{3} = 220$ V. Μέ τη φασική αύτη τάση τών 220 V τροφοδοτούνται σέ όλόκληρο σχεδόν τόν κόσμο οι οίκιακοι καταναλωτές.

Στό σχήμα 19.3θ παριστάνεται σχηματικά ένας τέτοιος μετασχηματιστής που τροφοδοτεί μονοφασικούς και τριφασικούς καταναλωτές.



Σχ. 19.30.

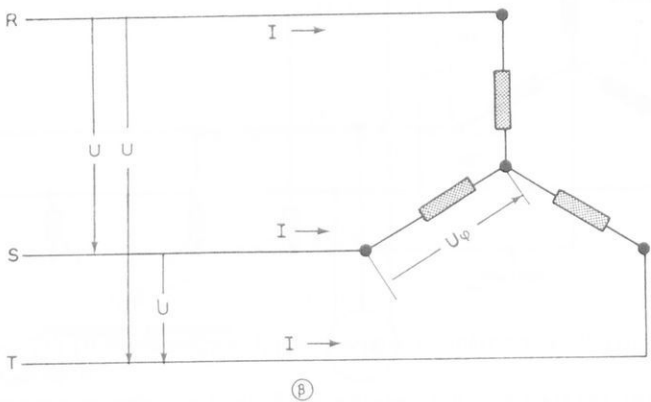
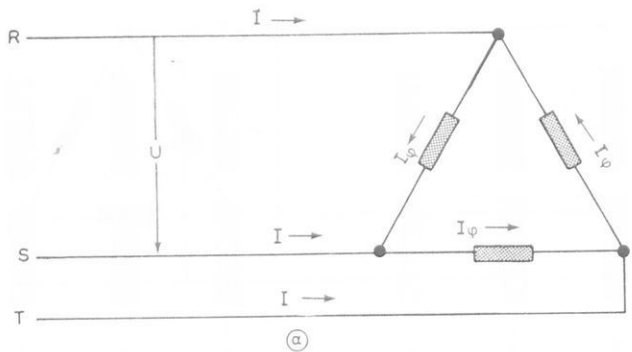
γ) Ισχύς τριφασικοῦ μετασχηματιστῆ.

Όταν ἔνας τριφασικός μετασχηματιστής συνδέεται μὲν ἕνα τριφασικό δίκτυο, διακρίνομε δύο περιπτώσεις:

- Τὸ πρωτεῦν τύλιγμα πού συνδέεται μὲ τὸ δίκτυο ἀποτελεῖ τρίγωνο.
- Τὸ πρωτεῦν τύλιγμα πού συνδέεται μὲ τὸ δίκτυο ἀποτελεῖ ἀστέρα.

Στὰ σχήματα 19.31(α,β) παριστάνονται γραφικά οἱ δύο συνδέσεις.

Στήν *τριγωνική σύνδεση* ἡ ἐνεργός τιμὴ τῆς πολικῆς τάσεως U (τάση μεταξύ τῶν ἀγωγῶν τροφοδοτήσεως τοῦ τριφασικοῦ δικτύου) εἶναι ἵση μὲ τὴ φασική τάση U_ϕ (τάση στά ἄκρα κάθε τυλίγματος) καὶ ἡ ἐνεργός τιμὴ τοῦ ρεύματος



Σχ. 19.3ι.

της γραμμής I είναι $\sqrt{3}$ φορές μεγαλύτερη άπό τήν ένεργο τιμή τοῦ φασικοῦ ρεύματος I_ϕ (ρεῦμα σέ κάθε τύλιγμα). Δηλαδή έχομε:

$$I = \sqrt{3} I_\phi \quad (1)$$

Στήν **ἀστεροειδή σύνδεση** τό ρεῦμα της γραμμής I είναι ίσο μέ τό φασικό ρεῦμα I_ϕ καὶ ή πολική τάση U είναι $\sqrt{3}$ φορές μεγαλύτερη άπό τή φασική τάση U_ϕ (τάση μεταξύ τοῦ ουδέτερου κόμβου καὶ τοῦ ἄλλου ἄκρου ένός πηγίου). Δηλαδή είναι:

$$U = \sqrt{3} U_\phi \quad (2)$$

Σέ συμμετρική φόρτιση τοῦ μετασχηματιστῆ, οἱ ίσχεῖς πού ἀπορροφᾶ τό

πρωτεύον είναι:

$$\text{Φαινόμενη ίσχυς: } P_\phi = \sqrt{3} \text{ UI} \quad (3)$$

$$\text{Πραγματική ίσχυς: } P = \sqrt{3} \text{ UI συνφ} \quad (4)$$

$$\text{Άεργη ίσχυς: } P_a = \sqrt{3} \text{ UI ημφ} \quad (5)$$

Αν χρησιμοποιήσουμε τά φασικά μεγέθη, δηλαδή τήν ένεργο τιμή τής φασικής τάσεως U_ϕ καὶ τήν ένεργο τιμή τοῦ φασικοῦ ρεύματος I_ϕ , έχουμε π.χ. γιά τήν πραγματική ίσχυ τής πρώτης περιπτώσεως (τριγωνική σύνδεση):

$$P = \sqrt{3} \text{ UI συνφ} = \sqrt{3} U_\phi \sqrt{3} I_\phi \text{ συνφ} = 3 U_\phi I_\phi \text{ συνφ} \quad (6)$$

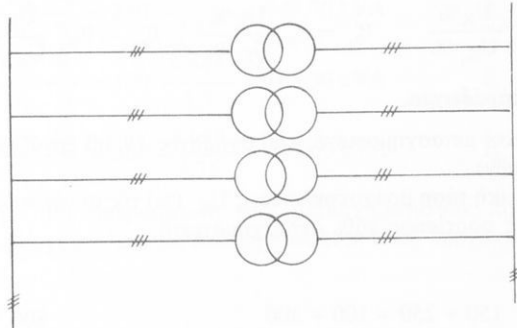
καὶ γιά τήν πραγματική ίσχυ τής δεύτερης περιπτώσεως (άστεροειδής σύνδεση):

$$P = \sqrt{3} \text{ UI συνφ} = \sqrt{3} \sqrt{3} U_\phi I_\phi \text{ συνφ} = 3 U_\phi I_\phi \text{ συνφ} \quad (7)$$

Άρα άποδεικνύεται διτι ένας τριφασικός μετασχηματιστής, άνεξάρτητα ἀπό τή σύνδεση τοῦ πρωτεύοντός του, ἀπορροφᾶ τήν ίδια ίσχυ πού ἀπορροφοῦν 3 άνεξάρτητοι μονοφασικοί μετασχηματιστές.

Παραλληλισμός τριφασικῶν μετασχηματιστῶν.

Δύο ή περισσότεροι τριφασικοί μετασχηματιστές έργαζονται παράλληλα, διταν τά πρωτεύοντα τυλίγματά τους παραλαμβάνουν ένέργεια ἀπό κοινή τριφασική γραμμή, ἐνδι τά δευτερεύοντά τους τυλίγματα παρέχουν ένέργεια σέ ἄλλη κοινή γραμμή ή σέ άνεξάρτητες γραμμές (σχ. 19.3ia).



Τριφασικό δίκτυο
ύψηλότερης τάσεως

Τριφασικό δίκτυο
χαμηλότερης τάσεως

Σχ. 19.3ia.

Η παράλληλη σύνδεση η δι παραλληλισμός διως λέμε, τριφασικῶν μετασχηματιστῶν, δέν ἐπιτρέπεται παρά μόνο διταν ἐκπληρώνονται δρισμένες συνθῆκες, πού πρέπει πάντα νά έλέγχονται αὐστηρά προηγουμένως.

Οι συνθήκες αντέξ είναι:

α) Οι παραλληλιζόμενοι μετασχηματιστές πρέπει νά έχουν τήν ίδια σύνδεση τυλιγμάτων.

β) Πρέπει νά έχουν τόν ίδιο λόγο μετασχηματισμού λ_u .

γ) Πρέπει γά έχουν τήν ίδια τάση βραχυκυκλώσεως U_K , μέ απόκλιση τό πολύ $\pm 10\%$.

δ) Οι ίσχεις τους πρέπει νά μή διαφέρουν περισσότερο άπο 1:3. "Όταν π.χ. ξανας μετασχηματιστής έχει ίσχυ 1000 kVA, κάθε άλλος παραλληλιζόμενος μέ αυτόν πρέπει νά έχει ίσχυ τό πολύ 3000 kVA.

"Αν έχομε η μετασχηματιστές σέ παράλληλη σύνδεση και έκπληρώνονται οι παραπάνω συνθήκες παραλληλισμού, τότε ή συνολική τάση βραχυκυκλώσεως U_K τής συνδέσεως αυτής είναι:

$$U_K \% = \frac{\sum_{1}^n P_{\varphi_i}}{\frac{P_{\varphi_1}}{U_{K_1} \%} + \frac{P_{\varphi_2}}{U_{K_2} \%} + \frac{P_{\varphi_3}}{U_{K_3} \%} + \dots + \frac{P_{\varphi_n}}{U_{K_n} \%}} \quad (8)$$

δπον: $\sum_{1}^n P_{\varphi_i}$ ή συνολική φαινόμενη ίσχυς τῶν μετασχηματιστῶν.

Κάθε μετασχηματιστής τής συνδέσεως αυτής φορτίζεται άντιστρόφως άναλογα μέ τήν τάση βραχυκυκλώσεώς του, δηλαδή είναι:

$$P'_{\varphi_1} = P_{\varphi_1} \frac{U_K \%}{U_{K_1} \%} \quad P'_{\varphi_2} = P_{\varphi_2} \frac{U_K \%}{U_{K_2} \%} \dots P'_{\varphi_n} = P_{\varphi_n} \frac{U_K \%}{U_{K_n} \%} \quad (9)$$

Άριθμητικό παράδειγμα.

Οι τριφασικοί μετασχηματιστές τοῦ σχήματος 19.3ιβ έργαζονται παράλληλα. Νά βρεθοῦν:

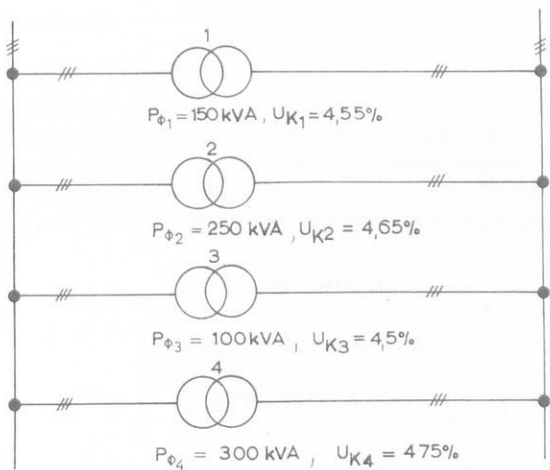
α) Η συνολική τάση βραχυκυκλώσεως U_K (%) τής συνδέσεως αυτής.

β) Η ίσχυς φορτίσεως κάθε μετασχηματιστῆς.

Λύση.

$$\begin{aligned} a) U_K \% &= \frac{150 + 250 + 100 + 300}{\frac{150}{4,55} + \frac{250}{4,65} + \frac{100}{4,5} + \frac{300}{4,75}} = \frac{800}{32,967 + 53,763 + 22,222 + 63,158} \\ &= \frac{800}{172,11} = 4,648 \% \end{aligned}$$

$$U_K = 4,648 \%$$



Σχ. 19.3ιβ.

$$\beta) \quad P_{\phi_1}' = P_{\phi_1} \frac{U_K \%}{U_{K_1} \%} = 150 \frac{4,648}{4,55} = 153,2 \text{ kVA} \quad P_{\phi_1}' = 152,2 \text{ kVA}$$

$$P_{\phi_2}' = P_{\phi_2} \frac{U_K \%}{U_{K_2} \%} = 250 \frac{4,648}{4,65} = 249,90 \text{ kVA} \quad P_{\phi_2}' = 249,9 \text{ kVA}$$

$$P_{\phi_3}' = P_{\phi_3} \frac{U_K \%}{U_{K_3} \%} = 100 \frac{4,648}{4,5} = 103,30 \text{ kVA} \quad P_{\phi_3}' = 103,3 \text{ kVA}$$

$$P_{\phi_4}' = P_{\phi_4} \frac{U_K \%}{U_{K_4} \%} = 300 \frac{4,648}{4,75} = 293,60 \text{ kVA} \quad P_{\phi_4}' = 293,6 \text{ kVA}$$

Παρατηροῦμε μία ύπερφόρτιση τῶν μετασχηματιστῶν πού έχουν μικρότερη τάση βραχυκυκλώσεως ἀπό τή συνολική τάση βραχυκυκλώσεως τῆς συνδέσεως.

ΕΚΤΟ ΜΕΡΟΣ

ΕΙΔΙΚΑ ΘΕΜΑΤΑ

ΚΕΦΑΛΑΙΟ ΕΙΚΟΣΤΟ

ΑΝΟΡΘΩΤΕΣ

20.1 Γενικά.

Τά δίκτυα ήλεκτρικής ένέργειας μέ τά δόποια τροφοδοτούνται τά σπίτια, ή βιομηχανία κλπ. παρέχουν δπως ξέρομε έναλλασσόμενο ρεῦμα, μονοφασικό η τριφασικό. Μέ τό ρεῦμα αυτό λειτουργούν οι λαμπτήρες φωτισμού, παράγεται θερμότητα σέ θερμάστρες, μαγειρεῖα κλπ. και κινούνται μηχανές πού άποδιδουν μηχανικό έργο. Μέ τό έναλλασσόμενο ρεῦμα καλύπτονται σέ πολύ μεγάλο βαθμό οι άναγκες σέ ήλεκτρική ένέργεια. Ύπάρχουν δμως άρκετές περιπτώσεις στίς δόποις άπαιτείται συνεχές ρεῦμα. Ή ήλεκτρόλυση διαλυμάτων γιά τή φόρτιση συσσωρευτῶν, τήν παραγωγή μετάλλων, τήν έπιμετάλλωση κλπ. ή δημιουργία και ή λήψη ήλεκτρομαγνητικῶν κυμάτων, ή λειτουργία λυχνιῶν Röntgen κ.α., είναι μερικές άπό αυτές.

Τό συνεχές ρεῦμα πού χρειαζόμασθε μπορεῖ νά παραχθεῖ, δπως ξέρομε, άπό γεννήτριες **συνεχούς ρεύματος**. Τίς περισσότερες φορές δμως είναι πολύ πιό εύκολη και οίκονομική ή μετατροπή τοῦ μονοφασικοῦ η τριφασικοῦ έναλλασσόμενου ρεύματος, πού μᾶς χορηγεῖ τό ένεργειακό δίκτυο, σέ συνεχές μέ τή βοήθεια **άνορθωτῶν**.

Oι άνορθωτές είναι συσκευές πού μετατρέπουν τό έναλλασσόμενο ρεῦμα σέ συνεχές. Η μετατροπή αυτή δνομάζεται άνορθωση τοῦ έναλλασσόμενου ρεύματος.

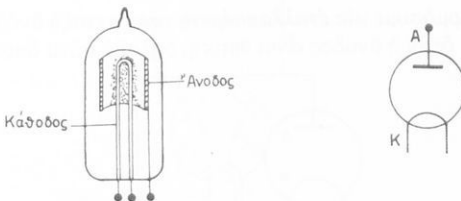
Οι άνορθωτές έχουν τήν ίδιότητα νά έπιτρέπουν τή διέλευση τοῦ ρεύματος στή μιά κατεύθυνση ροής (κατεύθυνση διελεύσεως) και νά έμποδίζουν τή διέλευση στήν άλλη κατεύθυνση (κατεύθυνση φραγῆς). Αυτό έπιτυγχάνεται, έπειδή ή άντιστασή τονς είναι πολύ μικρή στήν κατεύθυνση διελεύσεως και πολύ μεγάλη στήν κατεύθυνση φραγῆς.

Τά σπουδαιότερα είδη άνορθωτῶν είναι οι λυχνίες ύψηλοῦ κενοῦ, οι λυχνίες άεριων, οι ξηροί άνορθωτές και οι κρυσταλλικοί άνορθωτές.

20.2 Ειδη άνορθωτων.

a) Λυχνίες ύψηλού κενού.

Οι λυχνίες ύψηλου κενού είναι άνορθωτές χαμηλής ίσχυός. Αποτελούνται από ένα γυάλινο σωλήνα και δύο ήλεκτρόδια, τήν **άνοδο** και τήν **κάθοδο**. Μιά λυχνία με δύο ήλεκτρόδια όνομάζεται **διπολική** ή **διόδος λυχνία**. Από τό σωλήνα άφαιρεται ο άερας ώστε νά δημιουργηθεί ύψηλό κενό. Τό σχήμα 20.2α δείχνει τή δομή μιᾶς διόδης λυχνίας και τή συμβολική της παράσταση.



Σχ. 20.2α.

Τη κάθοδος θερμαίνεται κατάλληλα, ώστε νά άποκτήσει ύψηλή θερμοκρασία και νά άρχισει νά έκπεμπει ήλεκτρόνια.

Η έκπομπή ήλεκτρονίων άπό ένα μέταλλο σέ ύψηλή θερμοκρασία όνομάζεται **θερμική έκπομπή ήλεκτρονίων** και διφεύλεται στό έξης: Σέ ύψηλή θερμοκρασία ή κινητική ένέργεια τῶν ήλεκτρονίων τοῦ μετάλλου είναι τόσο μεγάλη, ώστε έλευθερα ήλεκτρόνια πού βρίσκονται στήν έπιφάνειά του νά ύπερνικούν τίς δυνάμεις πού τά συγκρατοῦν και νά έγκαταλείπουν τό μέταλλο.

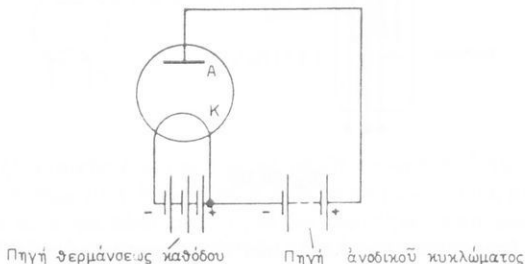
Η πυράκτωση τῆς καθόδου πραγματοποιεῖται κατά δύο τρόπους: ἀμεσα η ἔμμεσα. Στήν **ἀμεση πυράκτωση** τό νῆμα θερμάνσεως άποτελεῖ ταυτόχρονα και τήν κάθοδο πού έκπεμπει τά ήλεκτρόνια. Στήν **ἔμμεση πυράκτωση** η κάθοδος άποτελεῖται άπό ένα νικέλινο σωληνίσκο, ή έπιφάνεια τοῦ δροίου έχει έπιστρωθεὶ μὲ μίγμα άπό κατάλληλα δξείδια (βαρίου, στροντίου κλπ.). Τά δξείδια αυτά έχουν τήν ιδιότητα νά έκπεμπουν μεγάλο άριθμό ήλεκτρονίων σέ μικρές σχετικά θερμοκρασίες (1000°C περίπου). Ο σωληνίσκος πυρακτώνεται άπό ένα νῆμα θερμάνσεως, πού τυλίγεται σπειρωτά και τοποθετεῖται στό έσωτερικό του. Τό νῆμα θερμάνσεως κατασκευάζεται συνήθως άπό βολφράμιο, πού άντεχει σέ ύψηλές θερμοκρασίες (2300°C) και τροφοδοτεῖται μέ συνεχές ρεῦμα (κυρίως στήν **ἀμεση πυράκτωση**) η έναλλασσόμενο ρεῦμα (στήν **ἔμμεση πυράκτωση**).

Τη **άνοδος** κατασκευάζεται άπό ξλασμα σιδήρου έπιστρωμένο μέ άλουμινιο, πού διαμορφώνεται σέ σωληνίσκο κυλινδρικό η δρθογώνιο και περιβάλλει τήν κάθοδο.

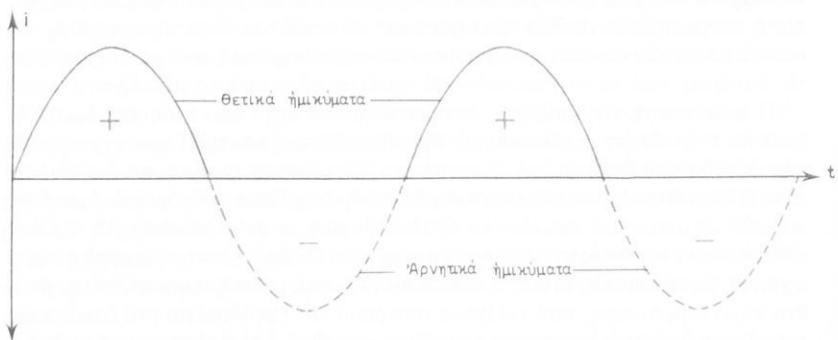
Τά ήλεκτρόνια πού έκπεμπονται άπό τήν κάθοδο συγκεντρώνονται γύρω άπο αύτην και σχηματίζουν **ένα νέφος ήλεκτρονίων**.

Άν συνδέσουμε τήν κάθοδο μέτων άρνητικό πόλο μιᾶς πηγῆς **συνεχοῦς ρεύματος** και τήν άνοδο μέτων θετικό πόλο, δπως δείχνει τό σχήμα 20.2β, δημιουργείται μεταξύ τῶν δύο ήλεκτροδίων ήλεκτρικό πεδίο. Τά ήλεκτρόνια κινοῦνται πρός τήν άνοδο στό έσωτερικό τῆς λυχνίας, είσχωρούν σέ αύτή και έπιστρέφουν στήν κάθοδο μέσω τοῦ έξωτερικοῦ τμήματος τοῦ κυκλώματος. Άν αντίθετα συνδέσουμε τό θετικό πόλο τῆς πηγῆς στήν κάθοδο και τόν άρνητικό στήν άνοδο, τά ήλεκτρόνια άπωθοῦνται άπό τήν άνοδο και δέν ρέει ρεῦμα στό κύκλωμα.

Άν τώρα έφαρμόσουμε μία **έναλλασσόμενη τάση** μεταξύ άνοδου και καθόδου, ρέει ρεῦμα μόνο δταν ή άνοδος είναι θετική, δηλαδή μόνο δσο διαρκεῖ ή θετική



Σχ. 20.2β.



Σχ. 20.2γ.

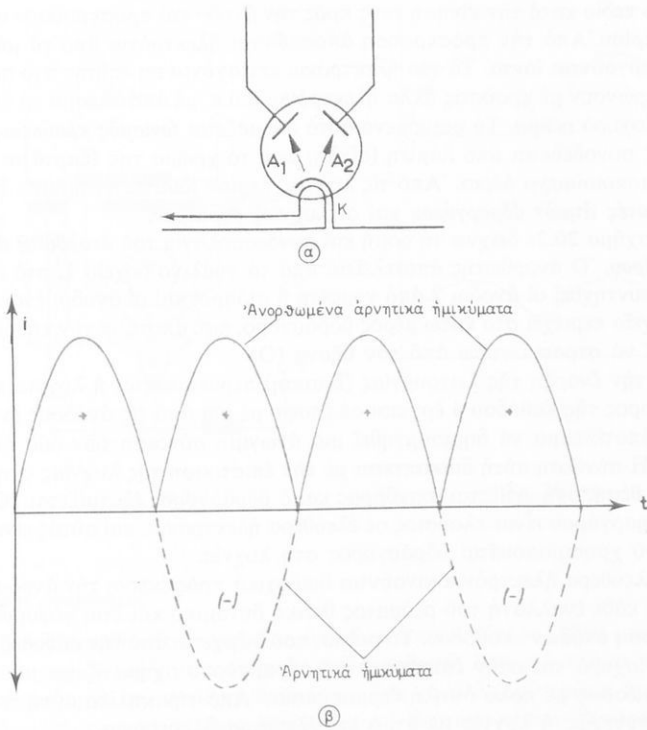
ήμιπεριόδος. Κατά τή διάρκεια τῆς άρνητικῆς ήμιπερίοδου δέν ρέει ρεῦμα. Έτσι στό άνοδικό κύκλωμα ρέει μεταβαλλόμενο ρεῦμα άλλα στήν ίδια πάντοτε κατεύθυνση, δπως φαίνεται στό σχήμα 20.2γ.

Τήν περίπτωση αύτή, πού έχομε ροή ρεύματος μόνο στή μισή περίοδο, δνο-

μάζομε **άπλη άνόρθωση** ή **άνόρθωση ήμικύματος**.

Έκτος από τή λυχνία πού περιγράφαμε κατασκευάζονται έπισης λυχνίες μέδύο **άνοδους** [σχ. 20.2δ(α)]. Στίς λυχνίες αυτές έπιτυγχάνεται μέ κατάλληλη συνδεσμολογία, ώστε στή θετική ήμιπεριόδο τοῦ ρεύματος ή μία άνοδος νά είναι θετική και ή αλλη άρνητική. Κατόπιν στήν άρνητική ήμιπεριόδο ή προηγούμενα θετική άνοδος γίνεται άρνητική και ή άρνητική άνοδος θετική.

Έτσι τά ηλεκτρόνια κινοῦνται συνεχῶς από τήν κάθοδο πρός έκείνη τήν άνοδο πού είναι θετική χωρίς νά παρουσιάζεται διακοπή τοῦ ρεύματος. Αποτέλεσμα είναι νά έχομε άνόρθωση τοῦ ρεύματος και στίς δύο ήμιπεριόδους δπως



Σχ. 20.2δ.

φαίνεται στό σχήμα 20.2δ(β). Τήν άνόρθωση αυτή δονομάζομε **διπλή άνόρθωση** ή **άνόρθωση πλήρους κύματος**.

Από τό ρεῦμα τοῦ σχήματος 20.2γ ή τοῦ σχήματος 20.2δ(β) μποροῦμε νά πάρουμε μέ κατάλληλα μέσα, πού θά γνωρίσομε άργότερα, ρεῦμα μέ σχεδόν

σταθερή ένταση, δηλαδή **συνεχές ρεῦμα**.

β) Λυχνίες άερίου.

Λυχνίες άερίου χρησιμοποιούνται γιά την άνορθωση ρευμάτων μεγάλης έντασεως. Περιλαμβάνουν δπως οι λυχνίες ύψηλοϋ κενοϋ, ἄνοδο και πυρακτούμενη κάθοδο, διαφέρουν δμως ἀπό αὐτές κατά τό διτι περιέχουν εύγενές άεριο (π.χ. άργόν, νέον, ξένον) η ἀτμούς υδραργύρου.

Τά ήλεκτρόνια πού ἐκπέμπονται ἀπό τή κάθοδο ἐπιταχύνονται ἀπό τό ήλεκτρικό πεδίο κατά τήν κίνησή τους πρός τήν ἄνοδο και προσκρούουν σέ μόρια τοῦ άερίου. Από τήν πρόσκρουση ἀποσπῶνται ήλεκτρόνια ἀπό τά μόρια και δημιουργούνται ίόντα. Τά νέα ήλεκτρόνια ἐπιταχύνονται ἐπίσης στό πεδίο και ἐλευθερώνουν μέ κρούσεις ἄλλα ήλεκτρόνια κ.ο.κ. μέ ἀποτέλεσμα νά δημιουργηθεῖ ίσχυρό ρεῦμα. Τό φαινόμενο αὐτό δονομάζεται **ἰονισμός κρούσεως**. Ο ιονισμός συνοδεύεται ἀπό λάμψη (αἴγλη) πού τό χρῶμα της ἔξαρται ἀπό τό χρησιμοποιούμενο άεριο. Από τίς λυχνίες άερίου ιδιαίτερη σημασία ἔχουν οι **ἀνορθωτές ἀτμῶν υδραργύρου** και οι λυχνίες **θύρατρον**.

Τό σχῆμα 20.2ε δείχνει τή δομή και συνδεσμολογία τοῦ **ἀνορθωτῆς ἀτμῶν υδραργύρου**. Ο άνορθωτῆς ἀποτελεῖται ἀπό τό γυάλινο δοχεῖο 1, στό όποιο ἔχουν συντηχθεῖ οι ἄνοδοι 2 ἀπό γραφίτη η σίδηρο, και οι ἄνοδοι έναύσεως 3. Τό δοχεῖο περιέχει στό κάτω μέρος υδράργυρο, πού ἀποτελεῖ τήν κάθοδο 4 και μπορεῖ νά στραφεῖ γύρω ἀπό τόν ἄξονα (Ο).

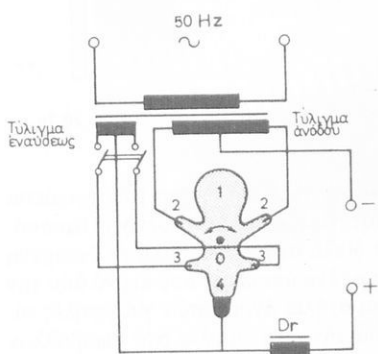
Γιά τήν έναρξη τής λειτουργίας (έναυση) περιστρέφεται ή λυχνία και ὁ υδράργυρος τής καθόδου 4 ἔρχεται σέ ἐπαφή μέ μιά ἀπό τίς ἀνόδους έναύσεως 3, μέ ἀποτέλεσμα νά δημιουργηθεῖ μιά ἀγώγημη σύνδεση τῶν δύο ήλεκτροδίων. Η σύνδεση αὐτή διακόπτεται μέ τήν ἐπιστροφή τής λυχνίας στήν ἀρχική τής θέση, σχηματίζεται σπινθήρας και ὁ υδράργυρος ἔξατμίζεται. Ο ἀτμός τοῦ υδραργύρου εἶναι πλούσιος σέ ἐλεύθερα ήλεκτρόνια, και αὐτός εἶναι ὁ λόγος πού χρησιμοποιεῖται υδράργυρος στή λυχνία.

Τά ἐλεύθερα ήλεκτρόνια κινούνται διαδοχικά πρός ἐκείνη τήν ἄνοδο 2, πού ἔχει σέ κάθε έναλλαγή τοῦ ρεύματος θετικό δυναμικό και ἔτσι γεφυρώνεται ή ἀπόσταση ἀνόδων - καθόδου. Τό ρεῦμα, πού διέρχεται ἀπό τήν κάθοδο, τή θερμαίνει ίσχυρά και στήν ἐπιφάνεια τοῦ υδραργύρου σχηματίζεται μιά κηλίδα πυρακτώσεως μέ πολὺ ύψηλή θερμοκρασία. Από τήν κηλίδα αὐτή τροφοδοτεῖται συνεχῶς η λυχνία μέ ἀτμό και ἐλεύθερα ήλεκτρόνια.

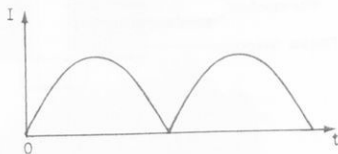
Οι ἀτμοί τοῦ υδραργύρου ψύχονται στά τοιχώματα τοῦ χώρου 1 τής λυχνίας, συμπυκνώνονται και ἐπιστρέφουν στήν κάθοδο. Τό στραγγαλιστικό πηνίο Dr χρησιμεύει γιά νά διατηρεῖται τό ρεῦμα στή λυχνία και νά ἀποφεύγεται τό σβήσιμο τοῦ τόξου ἀνόδου - καθόδου κάθε φορά πού μηδενίζεται τό έναλλασσόμενο ρεῦμα. Τό σχῆμα 20.2στ(α) δείχνει τή μορφή τοῦ άνορθωμένου ρεύματος χωρίς τό στραγγαλιστικό πηνίο και τό σχῆμα 20.2στ(β) μέ τό στραγ-

γαλιστικό πηνίο. Παρατηροῦμε ότι έχουμε **διπλή άνορθωση**.

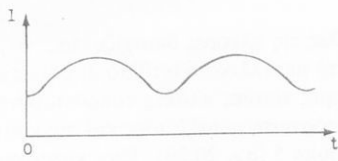
Η λυχνία θύρατρον περιλαμβάνει μεταξύ άνόδου και καθόδου ένα τρίτο ήλεκτροδίο (δόηγό πλέγμα) με τό δυναμικό τοῦ όποιου, πού εἶναι συνήθως άρνητικό, ρυθμίζεται ή ροή τῶν ήλεκτρονίων πρός τήν άνοδο. Κατασκευάζονται έπισης λυχνίες θύρατρον μέ τέσσερα ήλεκτροδία (τέτροδοι). Οι λυχνίες θύρατρον περιέχουν εύγενές άεριο ή άτμούς ήδραργύρου και χρησιμοποιούνται σε άνορθωτικές διατάξεις μέ ρυθμιζόμενη συνεχή τάση, γιά τή δημιουργία ταλαντώσεων, σάν ήλεκτρονικοί διακόπτες κλπ.



Σχ. 20.2ε.



(a)



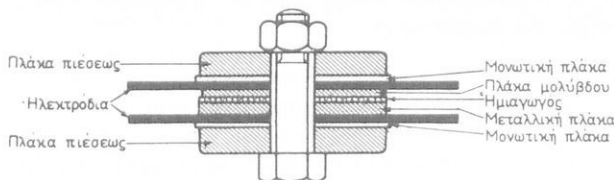
(b)

Σχ. 20.2στ.

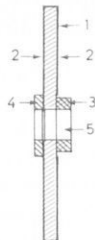
γ) Ξηροί άνορθωτές.

Ο **ξηρός άνορθωτής** άποτελεῖται άπό ένα ή περισσότερα ζεύγη μεταλλικῶν πλακῶν, πού όνομάζονται **στοιχεῖα τοῦ άνορθωτῆ**. Στή μιά πλάκα τοῦ στοιχείου δημιουργεῖται μέ είδική διαδικασία ένα κατάλληλο στρῶμα ήμιαγωγοῦ και πάνω σέ αὐτό τό στρῶμα έφαρμόζεται ή δεύτερη πλάκα. Υπάρχουν δύο μέθοδοι συνδέσεως τῶν πλακῶν και συναρμολογήσεως τῶν στοιχείων. Στή μέθοδο **συμπιεσμένων πλακῶν** οἱ πλάκες δλων τῶν στοιχείων συγκρατούνται και συμπιέζονται ίσχυρά μέ τή βοήθεια ένός μπουλονιοῦ, δπως φαίνεται στό σχήμα 20.2ζ. Έτσι δημιουργεῖται μιά πολύ άνθεκτική κατασκευή. Οταν οἱ πλάκες έχουν μεγάλο μέγεθος και δέν μπορεῖ νά έξασφαλισθεῖ μέ αυτή τή μέθοδο δημοιδορφη κατανομή τῆς πιέσεως στήν επιφάνεια τῶν πλακῶν, χρησιμοποιεῖται ή μέθοδος **έλευθέρων επιφανειῶν** (σχ. 20.2η).

Η μεταλλική πλάκα 1 καλύπτεται καί άπό τις δύο πλευρές της μέ στρῶμα ἡ μιαγωγοῦ 2, στό διποϊ ἐπιψεκάζεται ἵνα λεπτό στρῶμα μετάλλου (στό σχῆμα δέν εἶναι σχεδιασμένο τό στρῶμα αὐτό). Στό μεταλλικό στρῶμα διοχετεύεται τό ρεῦμα ἀπό τό μεταλλικό δακτύλιο 4 καί περνᾶ στή μεταλλική πλάκα 1 ἀπό



Σχ. 20.2ζ.

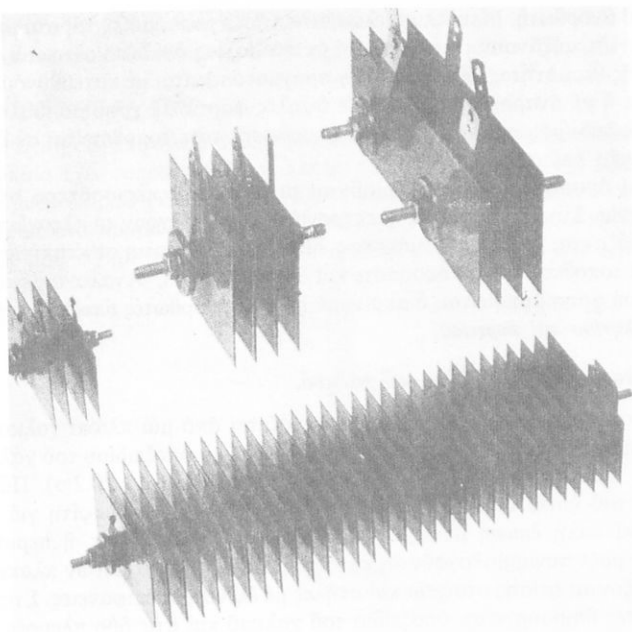


Σχ. 20.2η.

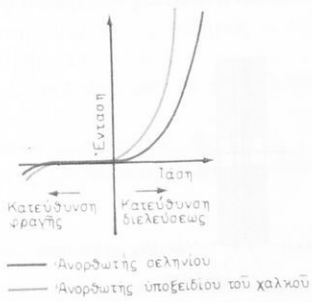
δλες τίς πλευρές διασχίζοντας τόν ἡμιαγωγά 2. Ἀπό τήν πλάκα 1 διοχετεύεται στό μεταλλικό δακτύλιο 3, πού εἶναι μέ αὐτήν ἀγώγιμα συνδέμενος. Περισσότερες τέτοιες πλάκες τοποθετοῦνται ἡ μιά δίπλα στήν ἄλλη ἄλλα σέ δρισμένη ἀπόσταση μεταξύ τους καί συγκρατοῦνται μέ ἵνα μπουλόνι πού περνᾶ ἀπό τήν τρύπα 5 (σχ. 20.2θ). Ἐτσι κατασκευάζονται στήλες ἀνορθωτῶν γιά τήν ἀκτινοβολία στό περιβάλλον τής θερμότητας πού παράγεται κατά τή λειτουργία τοῦ ἀνορθωτῆ.

Οταν ἔφαρμοσθεῖ τάση στά ἄκρα ἔνοροῦ ἀνορθωτῆ, παρουσιάζεται ἀντίσταση στή διέλευση τοῦ ρεύματος, πού δέν εἶναι σταθερή ἄλλα ἔξαρταται ἀπό τήν κατεύθυνση καί τό μέγεθος τής τάσεως. Στήν κατεύθυνση ἀπό τόν ἀγώγο πρός τόν ἡμιαγωγό (κατεύθυνση φραγῆς) εἶναι 1000 ὁς 10.000 φορές μεγαλύτερη ἀπό δτι στήν ἀντίθετη κατεύθυνση (κατεύθυνση διελεύσεως). Τό σχῆμα 20.2ι δείχνει τή χαρακτηριστική καμπύλη τάσεως-ἐντάσεως τοῦ ἀνορθωτῆ, ἀπό τήν διποία γίνεται ἀμέσως ἀντιληπτό, δτι ἡ ἀντίστασή του εἶναι μή ὁμική. Στήν κατεύθυνση διελεύσεως τό ρεῦμα αὐξάνει γρήγορα, μόλις ἡ τάση περάσει μιά ὁριακή τιμή, ἐνδιά στήν κατεύθυνση φραγῆς ἡ αὔξηση εἶναι πολύ μικρή. Στήν κατεύθυνση αὐτή ρέει ἵνα πολύ μικρό ρεῦμα διαφρονής, ἐφόσον ἡ τάση εἶναι μικρότερη ἀπό μιά ὁριακή τιμή, τήν τάση φραγῆς. Ἀπό τήν τάση φραγῆς καί ἀνω παρατηρεῖται ἀπότομη αὔξηση τοῦ ρεύματος στήν κατεύθυνση φραγῆς μέ ἀποτέλεσμα τήν καταστροφή τοῦ ἀνορθωτῆ.

Ἄν συνδέσομε τόν ἀνορθωτή σέ πηγή ἐναλλασσόμενο ρεύματος μέ μέγιστη τάση μικρότερη ἀπό τήν τάση φραγῆς, θά διέρχεται ρεῦμα στή μιά μόνο ἡ-μιπερίοδο, δηλαδή θά ἔχομε ἀνόρθωση τοῦ ἐναλλασσόμενου ρεύματος. Ἡ τάση φραγῆς ἀνέρχεται σέ 5 ὁς 25 V ἀνά ἀνορθωτικό στοιχεῖο, ἀνάλογα μέ τόν



Σχ. 20.20.



Σχ. 20.21.

ήμιαγωγό πού χρησιμοποιεῖται. "Οταν άπαιτούνται μεγαλύτερες τάσεις λειτουργίας, συνδέονται σέ σειρά περισσότερα στοιχεῖα μέ τή μέθοδο τῶν συμπιεσμένων πλακῶν ή τῶν ἐλευθέρων ἐπιφανειῶν πού περιγράψαμε.

Τό μέγιστο ρεῦμα, πού ἐπιτρέπεται νά ρέει στόν ἀνορθωτή, ἔξαρτᾶται ἀπό τήν ψύξη πού ἐφαρμόζεται γιά νά μήν ἐμφανισθεῖ ὑπερθέρμανση. Σέ φυσική ψύξη (αὐτόψυξη) ή θερμότητα ἀκτινοβολεῖται στό γύρω χώρο ἀπό τήν ἐπιφάνεια.

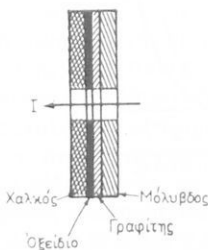
νεια του ἀνορθωτῆ. Μεταλλικά ἔλάσματα, πού προσαρμόζονται στά ἀνορθωτικά στοιχεῖα, αὐξάνουν τήν ἐπιφάνεια ἀκτινοβολίας και διευκολύνουν τήν ἀπαγωγή τῆς θερμότητας. **Τεχνητή ψύξη** πραγματοποιεῖται μέ κατευθυνόμενο ρεῦμα ἀέρα η μέ ἀναρρόφηση ἀέρα. Σέ ὑψηλές φορτίσεις χρησιμοποιεῖται και ἡ ψύξη μέ λάδιμετασχηματιστῶν. Ὁ ἀνορθωτῆς τότε τοποθετεῖται σέ ἓνα κλειστό δοχεῖο λαδιοῦ.

Ἐηροὶ ἀνορθωτές χρησιμοποιοῦνται συνεχῶς και περισσότερο στήν ἡλεκτροτεχνίᾳ. Συγκριτικά μέ τίς ἡλεκτρονικές λυχνίες ἔχουν τό πλεονέκτημα δτι δέν χρειάζονται ρεύματα θερμάνσεως, δέν εἶναι εὐαίσθητοι σέ κτυπήματα, μποροῦν νά τοποθετηθοῦν όπουδήποτε και δέν φθείρονται. Ἀνάλογα μέ τόν ἡμιαγωγό πού χρησιμοποιεῖται, διακρίνομε ξηρούς ἀνορθωτές **ὑποξειδίου τοῦ χαλκοῦ, σεληνίου και πυριτίου.**

1) Ἀνορθωτές ύποξειδίου τοῦ χαλκοῦ.

Ἐνα στοιχεῖο τοῦ ἀνορθωτῆ κατασκευάζεται ἀπό μιά πλάκα χαλκοῦ, στήν όποια δημιουργεῖται μέ ἐρυθροπύρωση ἓνα στρῶμα ύποξειδίου τοῦ χαλκοῦ και ἀπό μιά πλάκα μολύβδου σάν ἀντίθετο ἡλεκτρόδιο (σχ. 20.2ia). Πάνω στό στρῶμα τοῦ ύποξειδίου τοποθετεῖται ἓνα λεπτό στρῶμα γραφίτη γιά νά ἔξασφαλισθεῖ καλή ἐπαφή μεταξύ τῶν πλακῶν. Οἱ δύο πλάκες η περισσότερα στοιχεῖα μαζί συναρμολογοῦνται κατά τή μέθοδο συμπιεσμένων πλακῶν. Κατασκευάζονται ἐπίσης στοιχεῖα και στῆλες μέ ἐλεύθερες ἐπιφάνειες. Στίς χάλκινες πλάκες δημιουργεῖται ύποξειδίο τοῦ χαλκοῦ και στίς δύο πλευρές και κατόπιν τοποθετεῖται κατάλληλα τό μεταλλικό στρῶμα δπως περιγράψαμε ἡδη.

Ἡ κατεύθυνση διελεύσεως, πού στούς ἀνορθωτές σημειώνεται ἀπό τό ἀρνητικό ἡλεκτρόδιο πρός τό θετικό, εἶναι: μόλυβδος — στρῶμα ύποξειδίου — χαλκός.



Σχ. 20.2ia.

Τά κύρια χαρακτηριστικά τοῦ ἀνορθωτῆ εἶναι:

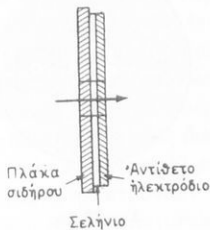
- Τάση φραγῆς: 5...8 V.
- Φόρτιση: 50 mA ἀνά cm² μέ φυσική ψύξη, 150 mA ἀνά cm² μέ τεχνητή ψύξη.

- Θερμοκρασία λειτουργίας: $\approx 50^{\circ}\text{C}$.
- Συντελεστής άποδόσεως: 70% περίπου.

2) Άνορθωτές σεληνίου.

Ένα στοιχείο άποτελεῖται από μιά έπινικελωμένη σιδερένια πλάκα, πάνω στην οποία έχει τοποθετηθεί ένα λεπτό στρώμα σεληνίου (σχ. 20.2ιβ).

Μέ έρυθροπύρωση άποκτά τό σελήνιο κρυσταλλική μορφή και κατόπιν ψεκάζεται μέ ένα κράμα κασσιτέρου - καδμίου. Έτσι δημιουργεῖται ένα λεπτό στρώμα που σχηματίζει τό άντιθετο ήλεκτρόδιο. Μιά έπάλειψη μέ βερνίκι



Σχ. 20.2ιβ.

προστατεύει τό στοιχείο άπό έξωτερικές έπιδράσεις. Περισσότερα στοιχεῖα συναρμολογούνται σέ στήλες κατά τή μέθοδο τῶν έλευθέρων έπιφανειῶν.

Τά τεχνικά χαρακτηριστικά τοῦ άνορθωτῆ σεληνίου εἶναι:

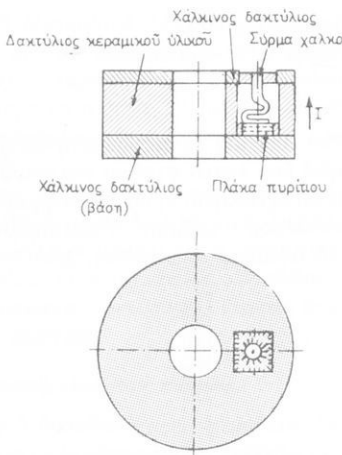
- Κατεύθυνση διελεύσεως: σίδηρος — σελήνιο — κασσίτερος — κάδμιο.
- Τάση φραγής: 25 ... 28 V.
- Φόρτιση: 50 mA άνα cm^2 μέ φυσική ψύξη, 150 mA άνα cm^2 μέ τεχνητή ψύξη.
- Θερμοκρασία λειτουργίας: $\approx 80^{\circ}\text{C}$.
- Συντελεστής άποδόσεως: 92% περίπου.

3) Άνορθωτές πυριτίου.

Παρουσιάζουν μεγάλες τάσεις φραγής, δυνατότητα ισχυρῆς φορτίσεως και πολύ καλό συντελεστή άποδόσεως. Ή άνορθωτική δράση παρουσιάζεται στή θέση συντήξεως ένός χάλκινου ήλεκτροδίου (άγωγού) και μιᾶς μικρῆς πλάκας πυριτίου (ήμιαγωγού). Γιά νά διευκολυνθεί η άπαγωγή τῆς θερμότητας, πού δημιουργεῖται έξαιτιας τῆς ισχυρῆς φορτίσεως στρεφεώνται δύο άνορθωτής σέ μια κυλινδρική χάλκινη βάση (σχ. 20.2ιγ).

Τεχνικά χαρακτηριστικά τοῦ άνορθωτῆ πυριτίου:

- Κατεύθυνση διελεύσεως: πυρίτιο — χαλκός.



Σχ. 20.21γ.

- Τάση φραγής: 380 V περίπου.
- Φόρτιση: 80 A άνα cm² μέ φυσική ψύξη, 200 A άνα cm² μέ τεχνητή ψύξη.
- Θερμοκρασία λειτουργίας: ώς 140°C.
- Συντελεστής άποδόσεως: 99,6% περίπου.

Γιά τήν ίδια ίσχυ έχει τό 1/15 τοῦ μεγέθους τοῦ άνορθωτῆ σεληνίου.

δ) Κρυσταλλοδίοδοι.

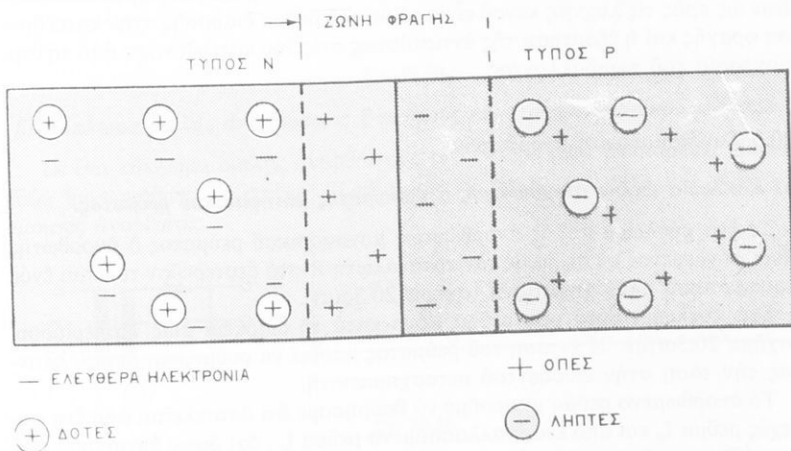
Δίοδοι από ήμιαγωγούς ή κρυσταλλοδίοδοι χρησιμοποιοῦνται σήμερα σέ μεγάλο βαθμό γιά τήν άνορθωση έναντι τῶν λυχνιῶν κενοῦ.

Οι **ήμιαγωγοί** είναι στερεά σώματα μέ κρυσταλλική δομή καί μέ άγωγμότητα μεταξύ έκεινης τῶν μετάλλων, δηλαδή τῶν άγωγῶν καί τῶν μονωτικῶν ύλικῶν τῶν μή άγωγῶν. Σέ δρισμένες διατάξεις ήμιαγωγῶν είναι δυνατό νά ρυθμισθεῖ ή διέλευση τοῦ ήλεκτρικοῦ ρεύματος δπως καί στίς ήλεκτρονικές λυχνίες, χωρίς δμως νά άπαιτεῖται, δπως σέ αύτές, κενό άέρα καί πυρακτωμένη κάθοδος.

Κατάλληλα ύλικά γιά τό σκοπό αύτό, μέ βάση τήν κρυσταλλική τους δομή, είναι τό **γερμάνιο** καί τό **πυρίτιο**. Τά ύλικά αύτά σέ καθαρή κατάσταση, δταν δηλαδή περιλαμβάνουν μόνο κρυστάλλους γερμανίου ή πυριτίου, είναι σχεδόν μονωτές. Γιά νά ανξήσομε τήν άγωγμότητά τους προσθέτομε σέ έλλαχιστη ποσότητα ένα κατάλληλο διαφορετικό ύλικό, π.χ. άρσενικό, φωσφόρο, βόριο κλπ. Άναλογα μέ τό ύλικό πού χρησιμοποιοῦμε, δημιουργοῦνται δύο ειδῶν ή-

μιαγωγοί: α) Ήμιαγωγοί μέ πολλά έλευθερα ήλεκτρόνια, οι **ήμιαγωγοί τύπου N**, διατίθενται στη θέση της ηλεκτροφίας της ημιαγωγής, πού χαρακτηρίζεται **δότης**. β) Ήμιαγωγοί μέ πολλές θέσεις στη δομή τοῦ κρυστάλλου, πού μποροῦν νά συμπληρωθοῦν μέ ήλεκτρόνια, διατίθενται **δότες** και οι ήμιαγωγοί μέ δότες **ήμιαγωγοί τύπου P**. Και οι δύο τύποι ήμιαγωγῶν εἶναι ήλεκτρικά **ουδέτεροι** διατί θέτουν βρίσκονται χωρισμένοι.

Όταν φέρουμε σέ επαφή ένα ήμιαγωγό τύπου P μέ ήμιαγωγό τύπου N δημιουργεῖται στή θέση της επαφῆς μία ζώνη στήν δοπία έναντιλάσσονται ήλεκτρόνια μέ δότες (σχ. 20.2ιδ). Έλευθερα ήλεκτρόνια τῆς περιοχῆς N εἰσέρχονται στήν περιοχή P και συμπληρώνουν άντιστοιχες δότες, ένω δότες τῆς περιοχῆς P εἰσέρχονται στήν περιοχή N και ένωνονται μέ ίσο άριθμό ήλεκτρονίων. Η άπωλεια ήλεκτρονίων άπό τόν ήμιαγωγό N και δόπων άπό τόν ήμιαγωγό P έχει σάν άποτέλεσμα νά άποκτήσει η περιοχή N θετικό δυναμικό και η περιοχή P άρνητικό δυναμικό και νά δημιουργηθεῖ μεταξύ τους **διαφορά δυναμικού**, πού έμποδίζει τή ροή ήλεκτρονίων άπό τόν ήμιαγωγό N στόν P και δόπων άπό τόν P στόν N. Ετσι σταματᾶ η άνταλλαγή ήλεκτρονίων - δόπων και σχηματίζεται γύρω άπό τή θέση της επαφῆς μιά ζώνη ύψηλης άντιστάσεως μέ έλάχιστους έλευθερους φορεῖς (ήλεκτρόνια ή δότες), η **ζώνη φραγῆς**.



Σχ. 20.2ιδ.

Άν τώρα έφαρμοσθεῖ άρνητικό δυναμικό στόν ήμιαγωγό P και θετικό δυναμικό στόν ήμιαγωγό N (άναστροφή πόλωση τῆς επαφῆς P-N), έμποδίζεται η διέλευση ρεύματος άπό τήν επαφή (έκτος άπό ένα έλάχιστο ρεύμα διαρροῆς), ένω αυξάνεται η ζώνη φραγῆς. Άν, άντιστροφα, έφαρμοσθεῖ τάση μέ θετικό

δυναμικό στόν ήμιαγωγό P και άρνητικό στόν ήμιαγωγό N (όρθιη πόλωση της έπαφης P-N), καταργεῖται ή ζώνη φραγής και έπιτρέπεται ή διέλευση ρεύματος άπο την έπαφη. Παρατηρούμε ότι ή ζώνη φραγής δρᾶ σάν άνορθωτής.

Η χαρακτηριστική καμπύλη τάσεως ρεύματος της διόδου είναι δμοια με έκεινη των ξηρῶν άνορθωτῶν. Η δίοδος παρουσιάζει δμως συγκριτικά μέ αυτούς μια σειρά πλεονεκτημάτων. Η τάση φραγής είναι μεγαλύτερη από 100 V και έπομένως σημαντικά εύνοϊκότερη. Η χωρητικότητα της διόδου είναι έξαιρετικά μικρή. Έτσι μπορεῖ νά χρησιμοποιηθεῖ σε ύψηλές συχνότητες. Η δριακή τιμή τάσεως στήν περιοχή διελεύσεως, γιά νά γίνει ή δίοδος έντελῶς διαπερατή, άνερχεται σε 0,2 V περίπου και είναι πολύ μικρότερη από τις άντιστοιχες τιμές ξηρῶν άνορθωτῶν. Μειονέκτημα της διόδου είναι ή μικρή έπιτρεπόμενη φόρτιση, έπειδη ή θερμότητα πού δημιουργεῖται κατά την άνορθωση μεταδίδεται δύσκολα στό περιβάλλον. Ένδο οι ξηροί άνορθωτές μποροῦν νά χρησιμοποιηθοῦν σε ισχυρά φορτία, περιορίζεται ή χρήση της διόδου στήν άνορθωση ρευμάτων μέχρι 5 mA περίπου.

Συγκριτικά μέ τις λυχνίες κενού οι κρυσταλλοίδιοι παρουσιάζουν τά έξης πλεονεκτήματα: Συμπαγή κατασκευή, συνδυασμένη με μικρό δγκο, δυνατότητα άμεσης έναρξεως λειτουργίας, άποφυγή ρευμάτων θερμάνσεως, δυνατότητα τοποθετήσεως τους σε δποαδήποτε σχεδόν θέση, μεγαλύτερο συντελεστή άποδόσεως και μεγαλύτερη διάρκεια ζωῆς. Μειονέκτημα τῶν κρυσταλλοίδιών ως πρός τις λυχνίες κενού είναι τό ύψηλό ρεῦμα διαρροής στήν κατεύθυνση φραγής και ή έξαρτηση της άντιστάσεως στίς δύο κατεύθυνσεις από τη θερμοκρασία τοῦ περιβάλλοντος.

20.3 Συνδεσμολογίες άνορθωτῶν.

a) Κύκλωμα άπλης άνορθώσεως ή ήμικύματος μονοφασικοῦ ρεύματος.

Σέ εἶνα κύκλωμα άπλης άνορθώσεως μονοφασικοῦ ρεύματος ό άνορθωτής είναι συνδεμένος σε σειρά μέ τόν καταναλωτή R στό δευτερεύον τύλιγμα ένός μονοφασικοῦ μετασχηματιστή [σχήμα 20.3a(a)].

Στό κύκλωμα αντό ρέει ρεῦμα μόνο κατά τή διάρκεια μιᾶς ήμιπεριόδου, [σχήμα 20.3a(b)]. Η ένταση τοῦ ρεύματος μπορεῖ νά ρυθμίζεται μεταβάλλοντας τήν τάση στήν είσοδο τοῦ μετασχηματιστῆ.

Τό άνορθωμένο ρεῦμα μποροῦμε νά θεωρήσουμε δτι άποτελεῖται άπο ένα συνεχές ρεῦμα I_0 και άπο ένα έναλλασσόμενο ρεῦμα I_e , δχι δμως ήμιτονικό, πού προστίθεται στό συνεχές. Είναι δηλαδή ένα **μικτό ρεῦμα**, σύμφωνα μέ δσα έχομε άναφέρει στήν παράγραφο 14.1.

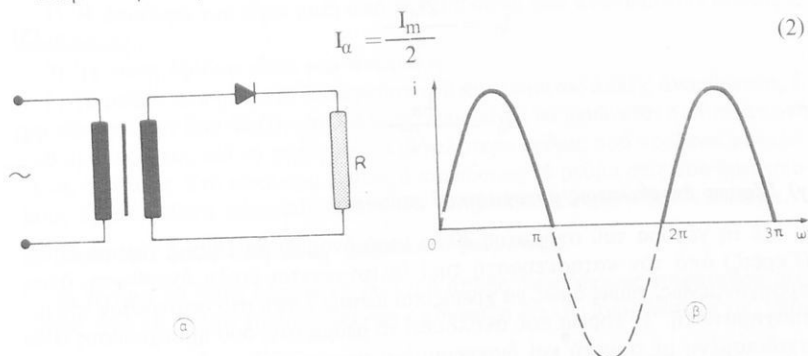
Τό συνεχές ρεῦμα I_0 είναι ή **μέση τιμή** τοῦ άνορθωμένου ρεύματος και δίνεται άπο τή σχέση:

$$I_0 = \frac{I_m}{\pi} \quad (1)$$

δπου I_m ή μέγιστη τιμή τοῦ ήμιτονικοῦ ρεύματος πού ἀνορθώνεται.

Τό ἀνορθωμένο ρεῦμα χαρακτηρίζεται ἐπίσης μὲ τὴν **ἐνεργό τιμή** του I_a , πού ἀντιστοιχεῖ στὸ συνεχές ρεῦμα, πού παράγει σέ ἓνα ἀντιστάτη τὸ ἴδιο ποσό θερμότητας μὲ τὸ ἀνορθωμένο ρεῦμα στὸν ἴδιο χρόνο. Ή ἐνεργός τιμή ἐκφράζει τὸ θερμικό ἀποτέλεσμα τόσο τοῦ συνεχοῦς ρεύματος I_0 δσο καὶ τοῦ ἑναλλασσόμενου ρεύματος I_a , γ' αὐτὸ εἶναι μεγαλύτερη ἀπό τὸ I_0 . (Εἶναι φανερό δτι ἂν τὸ ἀνορθωμένο ρεῦμα δέν περιλάβαινε ἑναλλασσόμενο ρεῦμα θά ἦταν $I_a = I_0$).

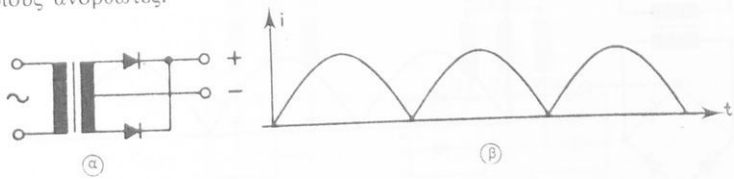
Στὴν ἀνόρθωση ἀπλοῦ ρεύματος ἔχομε:



Σχ. 20.3α.

β) Κύκλωμα διπλῆς ἀνορθώσεως ή πλήρους κύματος μονοφασικοῦ ρεύματος.

Σὲ ἓνα κύκλωμα διπλῆς ἀνορθώσεως ρέει ρεῦμα κατά τῇ διάρκεια καὶ τῶν δύο ἡμιπεριόδων. Τό σχῆμα 20.3β(a) δείχνει ἕνα τέτοιο κύκλωμα μὲ δύο ὅμοιους ἀνορθωτές.



Σχ. 20.3β.

Ο καταναλωτής R εἶναι συνδεμένος στὸ μέσο τοῦ δευτερεύοντος τυλίγματος, γ' αὐτὸ τὸ κύκλωμα ὀνομάζεται ἀνορθωτής **μεσαίας λήψεως**.

Οταν ἡ τάση στὸ δευτερεύον ἔχει τὴ φορά πού δείχνει τὸ βέλος U_2 , ρέει στὸ κύκλωμα τὸ ρεῦμα πού ἔχει σχεδιασθεῖ μὲ συνεχή γραμμή. Όταν ἡ τάση ἔχει τὴ φορά τοῦ βέλους U_2' , τὸ ρεῦμα ἀκολουθεῖ τὴ διαδρομή πού δείχνει ἡ διακεκομμένη γραμμή. Παρατηροῦμε δτι τὸ ρεῦμα ρέει πάντα στὴν ἴδια κατεύθυνση στὸν ἀντιστάτη R .

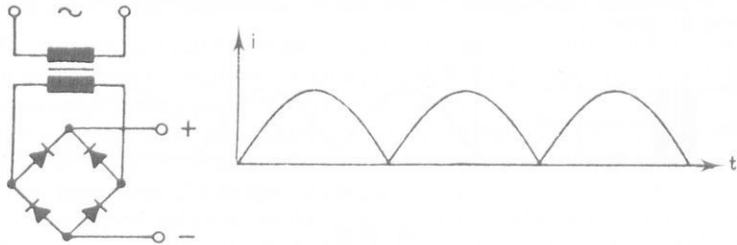
Οι τάσεις U_2 , U'_2 έχουν διαφορά φάσεως 180° , ώστε όταν τελειώνει ή θετική π.χ. ήμιπερίοδος της μιᾶς άρχιζει ή θετική ήμιπερίοδος της άλλης κ.ο.κ. Ό ανορθωτής δηλαδή έργαζεται έναλλακτικά μέ αποτέλεσμα νά προκύπτει ή κυματομορφή άνορθωμένου ρεύματος τοῦ σχήματος $20.3\beta(\beta)$. Στήν ούσια έχομε δύο μονοφασικούς άνορθωτές άπλης άνορθώσεως πού συνεργάζονται γιά νά δώσουν τή διπλή άνόρθωση. Κάθε άνορθωτής έργαζεται μέ τή **μισή τάση** τοῦ δευτερεύοντος. Ή τιμή τοῦ συνεχούς ρεύματος I_o και ή ένεργος τιμή I_a στή διπλή άνόρθωση δίνονται άπό τίς σχέσεις:

$$I_o = \frac{2I_m}{\pi} \quad (3)$$

$$I_a = \frac{I_m}{\sqrt{2}} \quad (4)$$

γ) Γέφυρα άνορθώσεως μονοφασικοῦ ρεύματος.

Μέ τή γέφυρα τοῦ σχήματος 20.3γ [πού δνομάζεται έπισης γέφυρα Grätz (Γκρέτζ) άπό τόν κατασκευαστή της] έπιτυγχάνεται διπλή άνόρθωση, δπως προηγουμένως, χωρίς δμως νά χρειάζεται μεσαία λήψη στό δευτερεύον τοῦ μετασχηματιστή. Ή πορεία πού άκολουθεῖ τό ρεῦμα στίς δύο ήμιπεριόδους είναι σχεδιασμένη μέ συνεχή και διακεκομμένη γραμμή. "Όταν η τάση στό δευτερεύον είναι θετική (συνεχής γραμμή) οί άνορθωτές A και C έπιτρέπουν τή διέλευση τοῦ ρεύματος, ένω οί άνορθωτές D και B τήν έμποδίζουν. Τήν έπόμενη ήμιπερίοδο οί D και B έπιτρέπουν τή διέλευση, ένω οί A και C τήν έμποδίζουν.



Σχ. 20.3γ.

Μέ τή γέφυρα άνορθώσεως άξιοποιεῖται **δλόκληρη** ή **τάση** τοῦ δευτερεύοντος. Έτσι παίρνομε στόν καταναλωτή R τήν ίδια συνεχή τάση μέ τή διάταξη μεσαίας λήψεως, άλλα μέ τή μισή τάση στό δευτερεύον τοῦ μετασχηματιστή.

Άρα μποροῦμε νά χρησιμοποιήσουμε μικρότερο και φθηνότερο μετασχηματιστή.

Η τιμή τοῦ συνεχοῦς ρεύματος I_0 και ή ένεργός τιμή I_a δίνονται και στή γέφυρα άνορθώσεως άπό τις σχέσεις (3) και (4).

δ) Σύγκριση άπλης και διπλής άνορθώσεως.

Τό κύκλωμα άπλης άνορθώσεως είναι φθηνότερο άπό τά κυκλώματα διπλῆς άνορθώσεως έπειδή χρησιμοποιεῖ ένα μόνο άνορθωτή και πιό μικρό μετασχηματιστή. Έχει δυμας διάφορα μειονεκτήματα:

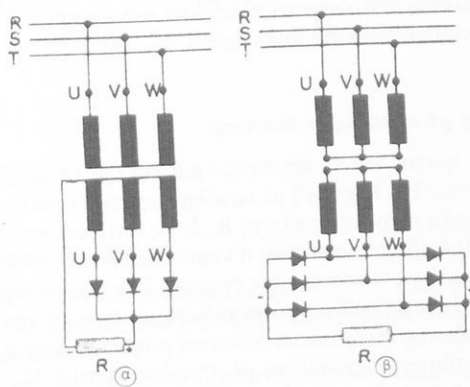
1) Ή άπόδοσή του είναι μισή άπό τήν άπόδοση τῶν κυκλωμάτων διπλῆς άνορθώσεως.

2) Ή τάση έξόδου είναι πιό άνωμαλη.

3) Τό ρεῦμα πού ρέει στό δευτερεύον τοῦ κυκλώματος άπλης άνορθώσεως έχει πάντοτε τήν ίδια διεύθυνση. Αποτέλεσμα είναι νά μειώνεται ή αύτεπαγωγή τοῦ πρωτεύοντος και νά ρέει σε αντό μεγαλύτερο ρεῦμα, πού προξενεῖ μεγαλύτερες άπωλειες. Στό κύκλωμα διπλῆς άνορθώσεως τό ρεῦμα στίς δύο ήμιπεριόδους έχει άντιθετη κατεύθυνση και δέν έπηρεάζει τό πρωτεύον κύκλωμα.

ε) Άπλή και διπλή άνορθωση τριφασικού ρεύματος.

Τό σχήμα 20.3δ(α) δείχνει τή διάταξη άπλης άνορθώσεως τριφασικού ρεύματος, ἐνῶ τό σχήμα 20.3δ(β) δείχνει τή διάταξη διπλῆς άνορθώσεως τοῦ ίδιου



Σχ. 20.3δ.

ρεύματος. Παρατηροῦμε δτι γιά τήν άπλη άνορθωση χρειάζονται τρεῖς άνορθωτές και γιά τή διπλή έξι.

20.4 Έξομάλυνση της άνορθωμένης τάσεως.

Η άνορθωμένη τάση που έμφανιζεται στα ίκρα του φορτίου R έχει τήν μορφή του σχήματος 20.3α(β) σε ένα άνορθωτή άπλης άνορθώσεως και τή μορφή του σχήματος 20.3β(β) σε ένα άνορθωτή διπλής άνορθώσεως. Παρατηρούμε και στις δύο περιπτώσεις, ότι ή τάση παρουσιάζει μεγάλες κυματώσεις.

Ένα μέτρο της κυματώσεως του κυκλώματος άποτελεί ό συντελεστής κυματώσεως γ , πού ορίζεται άπό τό πηλίκο της ένεργού τιμής του έναλλασσόμενου ρεύματος I_e πρός τήν τιμή του συνεχούς ρεύματος I_0 .

$$\gamma = \frac{I_e}{I_0} \quad (1)$$

Όσο μεγαλύτερη είναι ή κυμάτωση τόσο μεγαλύτερο είναι τό έναλλασσόμενο ρεῦμα I_e συγκριτικά μέ τό συνεχές ρεῦμα I_0 , τόσο μεγαλύτερος είναι ό συντελεστής κυματώσεως.

Αποδεικνύεται δτι:

$$\gamma = \sqrt{\left(\frac{I_a}{I_0}\right)^2 - 1} \quad (2)$$

δπου I_a ή ένεργός τιμή τού άνορθωμένου ρεύματος. Έτσι άπό τή (2) και τίς σχέσεις (1) ως (4) της 20.3 παίρνομε γιά τήν άπλή άνορθωση $\gamma = 1,21$ και γιά τή διπλή άνορθωση, πού έχει λιγότερη κυμάτωση, $\gamma = 0,48$.

Γιά νά μειώσουμε τήν κυμάτωση της άνορθωμένης τάσεως, δηλαδή νά έπιτυχομε τήν **έξομάλυνση** της, ώστε νά πλησιάσει στή μορφή του συνεχούς ρεύματος, χρησιμοποιούμε διάφορα κυκλώματα.

a) Έξομάλυνση μέ παράλληλο πυκνωτή.

Ένας άπλός τρόπος γιά νά έπιτυχομε μιά πιό όμαλή μεταβολή της τάσεως είναι νά συνδέσουμε ένα πυκνωτή μέ μεγάλη χωρητικότητα (συνήθως ήλεκτρολυτικό) παράλληλα στόν κατανάλωτή R, δπως φαίνεται στό σχήμα 20.4a(a).

Στό σχήμα 20.4a(β) παριστάνεται ή κυματομορφή της άνορθωμένης τάσεως χωρίς τόν πυκνωτή μέ διακεκομμένη γραμμή, ένω ή κυματομορφή μέ τόν πυκνωτή παράλληλα συνδεμένο στό κύκλωμα, μέ συνεχή γραμμή.

Όταν ο άνορθωτής έπιτρέπει τή διέλευση ρεύματος, φορτίζεται ο πυκνωτής μέχρις δτου ή τάση του γίνει ίση μέ τή μέγιστη τιμή U_m της ήμιτονικής τάσεως (σημεία a , γ , ε της καμπύλης). Στή συνέχεια ή τάση υ της πηγής γίνεται μικρότερη άπό τήν τάση U_m τού πυκνωτή μέ άποτελεσμα νά σταματήσει ή ροή ρεύματος στό κύκλωμα πηγής - πυκνωτή. Αυτό οφείλεται στό δτι ή διόδος έμποδίζει τό ρεῦμα νά κινηθεί άντιθετα άπό τόν πυκνωτή πρός τήν πηγή.

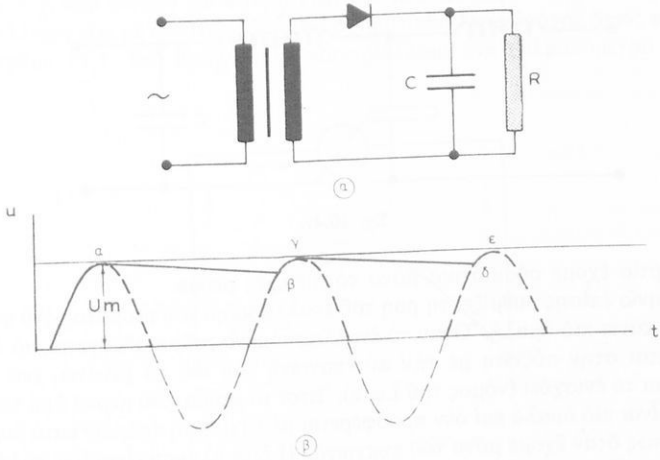
Ο πυκνωτής έκφορτιζεται τώρα μέσω του φορτίου R, έως δτου ή τάση στήν πηγή γίνει μεγαλύτερη άπό τήν τάση στούς όπλισμούς του και άρχισει πάλι νά

φορτίζεται.

ΤΗ έκφροτηση τοῦ πυκνωτῆ γίνεται ἀργά, σύμφωνα μὲ τή σταθερά χρόνου RC τοῦ πυκνωτῆ γιατί ή ἀντίσταση R εἶναι πολὺ μεγάλη, δπως ἐπίσης ή χωρητικότητα C, μὲ ἀποτέλεσμα ή μείωση τῆς τάσεως στοὺς ὄπλισμούς τοῦ πυκνωτῆ νά εἶναι μικρή, μέχρι δηλαδή τά σημεῖα β, δ, τῆς ήμιτονικῆς καμπύλης.

ΤΗ τάση στοὺς ὄπλισμούς τοῦ πυκνωτῆ εἶναι ταυτόχρονα καὶ ή τάση στὸν ἀντίστατη R. Παρατηροῦμε δτι ή μεταβολή τῆς ἀκολουθεῖ σχεδόν τήν περιβάλλουσα τῆς ἀνορθωμένης τάσεως στό σχῆμα 20.4a, δηλαδή τήν καμπύλη πού προκύπτει ἢν ενώσουμε τίς κορφές τῶν μισῶν κυματομορφῶν (εὐθεία γραμμῆ).

Ἐξομάλυνση μὲ πυκνωτή — καὶ μάλιστα καλύτερη — ἐπιτυγχάνομε ἐπίσης καὶ στή διάταξη διπλῆς ἀνορθώσεως.

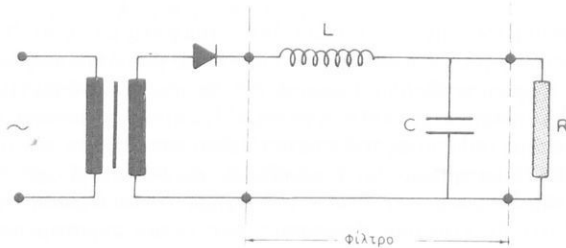


Σχ. 20.4a.

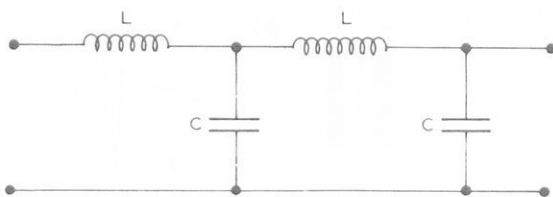
β) Φίλτρο ἐπαγωγικῆς εἰσόδου.

Τό σχῆμα 20.4β δείχνει ἵνα κύκλωμα μὲ ἓνα πηνίο L στὸν ὄριζόντιο κλάδο καὶ ἓνα πυκνωτή C στὸν ἐγκάρσιο κλάδο. Τό κύκλωμα αὐτό ἀποτελεῖ ἓνα φίλτρο ἐπαγωγικῆς εἰσόδου.

Τό συνεχές ρεῦμα πού περιέχεται στό ἀνορθωμένο ρεῦμα περνᾶ ἀνεμπόδιστα ἀπό τό πηνίο, δχι δμως καὶ ἀπό τόν πυκνωτή πού ἀποτελεῖ διακοπή γιά ἕνα κύκλωμα συνεχοῦς ρεύματος. Ἐτσι τό συνεχές ρεῦμα φθάνει στήν ἔξοδο τοῦ φίλτρου. Ἀντίθετα, τό ἐναλλασσόμενο ρεῦμα συναντᾶ τήν ἀντίσταση ωL τοῦ φίλτρου. Ἀντίθετα, τό ἐναλλασσόμενο ρεῦμα συναντᾶ τήν ἀντίσταση ωL τοῦ πηνίου καὶ κατόπιν περνᾶ ἀπό τόν πυκνωτή πιό εύκολα ἀπό δτι ἀπό τόν καταναλωτή R πού ἔχει πολὺ μεγαλύτερη ἀντίσταση. Ο πυκνωτής δηλαδή βραχυκυκλώνει τήν ἔξοδο τοῦ φίλτρου γιά τό ἐναλλασσόμενο ρεῦμα καὶ ἐτσι



Σχ. 20.4β.



Σχ. 20.4γ.

στό φορτίο έχουμε ουδιαστικά μόνο τό συνεχές ρεύμα.

Τό πηνίο έπισης ρυθμίζει τή ροή τοῦ έναλλασσόμενου ρεύματος στό φίλτρο και τήν κάνει πιό όμαλή. "Όταν τό έναλλασσόμενο ρεύμα αυξάνεται, τό πηνίο άντιτίθεται στήν αυξηση μέ τήν αύτεπαγωγή του και τό μειώνει, ένω διανεγνωτή είναι πιό όμαλό και δέν προσφέρεται μέ τή μορφή παλμών κατά διαστήματα, δπως θαντ έχουμε μόνο τοῦ πυκνωτή. Ή έξομάλυνση είναι έδω καλύτερη και ή καταπόνηση τοῦ άνορθωτή και τῶν ἄλλων στοιχείων τοῦ κυκλώματος μικρότερη.

"Όταν δέν έπαρκει ένα μόνο φίλτρο γιά τήν έξομάλυνση συνδέεται σέ σειρά ένα δεύτερο φίλτρο (σχ. 20.4γ).

γ) Φίλτρο χωρητικῆς εἰσόδου.

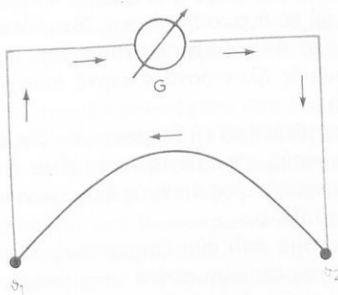
"Αν άναστρέψουμε τό φίλτρο τοῦ σχήματος 20.4β έρχεται ό πυκνωτής C στήν είσοδο τοῦ φίλτρου και σχηματίζεται ένα φίλτρο χωρητικῆς εἰσόδου. Ή τάση στήν εξόδο τοῦ φίλτρου αύτοῦ είναι ύψηλότερη ύπό τήν τάση τοῦ φίλτρου έπαγωγικῆς εἰσόδου γιά μικρά ρεύματα φορτίου και πλησιάζει στή μέγιστη τιμή τῆς ήμιτονικῆς τάσεως. Προϋπόθεση διως είναι διτί τό φορτίο παραμένει σταθερό. "Όταν τό φορτίο μεταβάλλεται και ἀπαιτεῖται σταθερή τάση, τό φίλτρο χωρητικῆς εἰσόδου είναι ἀκατάλληλο και χρησιμοποιούνται φίλτρα έπαγωγικῆς εἰσόδου.

ΚΕΦΑΛΑΙΟ ΕΙΚΟΣΤΟ ΠΡΩΤΟ

ΘΕΡΜΟΗΛΕΚΤΡΙΚΟ ΦΑΙΝΟΜΕΝΟ

21.1 Θερμοηλεκτρική τάση – Θερμοστοιχεῖα.

Έκτελοῦμε τό εξῆς πείραμα: Παίρνομε δύο σύρματα από διαφορετικό μέταλλο, π.χ. από σίδηρο και κονσταντάν και τά ένωνομε στά ακρα τους, είτε μέση συγκόλληση είτε μέση σύντηξη, ώστε νά σχηματισθεῖ ένας βρόχος δπως φαίνεται στό σχήμα 21.1. Στό βρόχο αυτό παρεμβάλλομε ένα γαλβανόμετρο G.



Σχ. 21.1.

Άν τώρα θερμάνομε τή μία από τίς δύο θέσεις έπαφης τῶν δύο μετάλλων, ώστε νά άποκτήσει ύψηλότερη θερμοκρασία από τήν άλλη θέση, θά παρατηρήσουμε δτι από τό γαλβανόμετρο περνᾶ ρεῦμα. Ή ένταση τοῦ ρεύματος αυτοῦ είναι τόσο μεγαλύτερη, δσο μεγαλύτερη είναι ή διαφορά θερμοκρασίας μεταξύ τῶν δύο θέσεων. Άν άντιθετα ψύξομε τήν ίδια θέση έπαφης, ώστε νά άποκτήσει χαμηλότερη θερμοκρασία από τήν άλλη θέση, παρατηροῦμε δτι από τό γαλβανόμετρο περνᾶ πάλι ρεῦμα άλλα σέ άντιθετη κατεύθυνση από τήν προηγούμενη. Ή ένταση και στήν περίπτωση αυτή αυξάνει, δσο αυξάνει ή διαφορά θερμοκρασίας τῶν δύο θέσεων έπαφης.

Ή έμφανιση ρεύματος στίς δύο περιπτώσεις σημαίνει δτι στό κύκλωμα άναπτύσσεται δρισμένη τάση πού έχει σάν άποτέλεσμα τή δημιουργία τοῦ ρεύμα-

τος. Τήν τάση αὐτή δυνομάζομε **θερμοηλεκτρική τάση** καί ἀντίστοιχα τό ρεῦμα, **θερμοηλεκτρικό ρεῦμα**.

Τό φαινόμενο τῆς ἐμφανίσεως τάσεως σέ ἓνα κλειστό κύκλωμα ἀπό δύο διαφορετικά μέταλλα, δταν οἱ θέσεις ἐπαφῆς τῶν μετάλλων ἔχουν διαφορετική θερμοκρασία δύνομάζεται θερμοηλεκτρικό φαινόμενο.

Τό θερμοηλεκτρικό φαινόμενο ἐρμηνεύεται ως ἔξης: "Οταν φέρομε σέ ἐπαφή δύο διαφορετικά μέταλλα, ἔλευθερα ἡλεκτρόνια ἀπό τό ἓνα μέταλλο εἰσέρχονται, λόγῳ τῆς θερμικῆς τους κινήσεως, στό ἄλλο μέταλλο καί ἀντίστροφα. Ὅμως, ἀνάλογα μέ τό εἶδος τῶν δύο μετάλλων, τά ἡλεκτρόνια κινοῦνται εὐκολότερα πρός τή μία κατεύθυνση ἀπό δτι στήν ἄλλη. Αὐτό ἔχει σάν συνέπεια νά περάσουν ἀρχικά περισσότερα ἡλεκτρόνια στό ἓνα μέταλλο ἀπό δτι στό ἄλλο καί νά ἀναπτυχθεῖ μεταξύ τῶν δύο μετάλλων διαφορά δυναμικοῦ. Ἡ διαφορά αὐτή δυναμικοῦ (ἢ τάση) δυνομάζεται **τάση ἐπαφῆς** καί ἀναχαιτίει τήν ἐπί πλέον συστρώματος ἡλεκτρονίων στό μέταλλο πού ἔχει ἀρνητικό δυναμικό, ἐνώ διευκολύνει τήν κίνηση ἡλεκτρονίων (μέ τήν ἐπιτάχυνση πού τούς προσδίνει) πρός τό μέταλλο μέ τό θετικό δυναμικό. Ἐτσι δταν ἡ τάση ἐπαφῆς πάρει τήν τελική της τιμή. ἔχει ἀποκατασταθεῖ ἰσορροπία στίς ἐναλλαγές ἡλεκτρονίων, δηλαδή ἵσος ἀριθμός ἡλεκτρονίων περνᾶ συνεχῶς ἀπό τό ἓνα μέταλλο στό ἄλλο.

Ἡ τάση ἐπαφῆς ἔχει τάση τή θερμοκρασία τῆς ἐπαφῆς, γιατί δσο μεγαλύτερη είναι ἡ θερμοκρασία, τόσο μεγαλύτερη είναι ἡ θερμική κίνηση τῶν ἡλεκτρονίων καί τόσο μεγαλύτερος ἀριθμός ἡλεκτρονίων μπορεῖ νά περάσει ἀπό τό ἓνα μέταλλο στό ἄλλο.

Σέ ἓνα κλειστό κύκλωμα ἀπό δύο διαφορετικά μέταλλα, δπως στό σχῆμα 21.1, ὑπάρχουν δύο θέσεις ἐπαφῶν, πού ἡ τάση ἐπαφῆς τους ἔχει **ἀντίθετη πολιτικότητα**. Ἐτσι δταν οἱ δύο ἐπαφές ἔχουν τήν ίδια θερμοκρασία, οἱ δύο τάσεις ἐπαφῆς είναι ἴσες καί ἀντίθετες καί στό κύκλωμα δέν ἐμφανίζεται θερμοηλεκτρική τάση. Ἀντίθετα, δταν οἱ ἐπαφές ἔχουν διαφορετική θερμοκρασία οἱ τάσεις ἐπαφῆς είναι διαφορετικές. ᩩ διαφορά τότε τῶν δύο τάσεων είναι ἴση μέ τή **θερμοηλεκτρική τάση** πού ἐμφανίζεται στό κύκλωμα.

Τά διάφορα μέταλλα μποροῦμε νά τά ταξινομήσομε σέ μία σειρά κατά τέτοιο τρόπο, ὥστε δταν συνδέονται δύο όποιαδήποτε μέταλλα τῆς σειρᾶς τό θερμοηλεκτρικό ρεῦμα νά ρέει ἀπό τό μέταλλο πού προηγεῖται πρός τό μέταλλο πού ἔπειται στή σειρά, ἐνώ δταν ψύχεται ἡ ἐπαφή νά ρέει τό ρεῦμα ἀντίστροφα. ᩩ σειρά αὐτή δυνομάζεται **θερμοηλεκτρική σειρά τάσεως** καί είναι π.χ. ἡ ἔξης για τά μέταλλα πού ἀκολουθοῦν:

Βισμούθιο, κονσταντάν, νικέλιο, πλατίνη, μόλυβδος, χρυσός, ἄργυρος, χαλκός, σίδηρος, ἀντιμόνιο.

"Οσο πιό μεγάλη είναι ἡ ἀπόσταση στή σειρά μεταξύ τῶν δύο μετάλλων πού ἔρχονται σέ ἐπαφή, τόσο μεγαλύτερη είναι ἡ τάση ἐπαφῆς πού δημιουργεῖται γιά ὄρισμένη διαφορά θερμοκρασίας. Π.χ. στήν ἐπαφή τῶν ἀκραίων μετάλλων

τῆς σειρᾶς «βισμούθιο - ἀντιμόνιο» δημιουργοῦνται $10 \cdot 10^{-5}$ V/°C, ἐνῶ στήν ἐπαφή «κονσταντάν - σίδηρος» $5 \cdot 10^{-5}$ V/°C μέχρι μία ὁριακή θερμοκρασία 1173 °C.

Τό ζεῦγος τῶν δύο διαφορετικῶν μετάλλων σέ ἐπαφή δονομάζεται **θερμοστοιχεῖο**.

Τό ἀντίστροφο τοῦ θερμοηλεκτρικοῦ φαινομένου δονομάζεται **φαινόμενο Peltier** (Πελτιέ): *Όταν ρέει ρεῦμα ἀπό τήν θέση ἐπαφῆς δύο διαφορετικῶν μετάλλων, παρουσιάζεται ἀνάλογα μέ τή φορά τοῦ ρεύματος αὐξηση η μείωση τῆς θερμοκρασίας τῆς ἐπαφῆς.*

21.2 Χρήση τῶν θερμοστοιχείων.

Ἡ τάση πού δημιουργοῦν τά θερμοστοιχεῖα εἶναι πολύ μικρή, γι' αυτό δέν μποροῦν νά χρησιμοποιηθοῦν γιά τήν παραγωγή ἡλεκτρικῆς ἐνέργειας. Χρησιμοποιοῦνται δμως εύρυτατα γιά τή μέτρηση θερμοκρασιῶν σέ διατάξεις πού δονομάζονται **θερμοηλεκτρικά θερμόμετρα**, διότι ἀπό τή θερμοηλεκτρική τάση προσδιορίζεται ή διαφορά θερμοκρασίας $\Delta\theta = \theta_2 - \theta_1$ μεταξύ τῶν δύο θέσεων ἐπαφῆς τῶν μετάλλων καὶ ἐφόσον ή μία θερμοκρασία εἶναι γνωστή βρίσκεται ή ἄλλη θερμοκρασία.

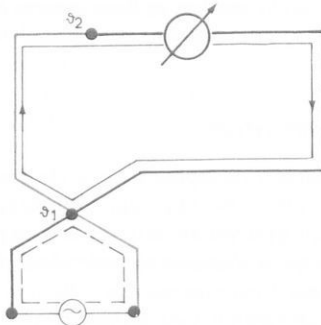
Τό θερμοηλεκτρικό θερμόμετρο ἀποτελεῖται ἀπό ἕνα θερμοστοιχεῖο καὶ ἔνα μιλλιβολτόμετρο συνδεμένα σέ σειρά. Τό μιλλιβολτόμετρο εἶναι βαθμολογημένο σέ βαθμούς °C διστε νά δείχνει ἀμέσως τή θερμοκρασία. ቩ μία θέση ἐπαφῆς τοῦ θερμοστοιχείου τοποθετεῖται στό σῶμα τοῦ όποιου μετρᾶται ή θερμοκρασία, ἐνῶ ή ἄλλη βρίσκεται στή θερμοκρασία τοῦ περιβάλλοντος.

Μετρήσεις μέ θερμοηλεκτρικά θερμόμετρα εἶναι κατά πολύ πιό ἀκριβεῖς ἀπό τίς μετρήσεις μέ κοινά θερμόμετρα καὶ ἐφαρμόζονται ἐπίσης σέ πολλές περιπτώσεις πού δέν μποροῦν νά χρησιμοποιηθοῦν τά θερμόμετρα αὐτά. Π.χ. γιά τή μέτρηση πολύ ὑψηλῶν ή πολύ χαμηλῶν θερμοκρασιῶν ή σέ τηλεμετρήσεις τῆς θερμοκρασίας. Ιδιαίτερα ἔχουν τό πλεονέκτημα δι μποροῦν νά πραγματοποιοῦνται σέ σημεῖα μέ δύσκολη προσπέλαση, π.χ. μέσα σέ στενά ἀνοίγματα, ἐπειδή τό θερμοστοιχεῖο ἀποτελεῖται ἀπό λεπτά σύρματα, πού δέν πιάνουν πολύ χῶρο.

Μέ θερμοηλεκτρικά θερμόμετρα μετρᾶται π.χ. ή θερμοκρασία στήν ἐπιφάνεια τοίχων γιά διαπίστωση τῆς θερμομονωτικῆς τους ίκανότητας, ή θερμοκρασία τῶν μετάλλων σέ χυτήρια, ή θερμοκρασία τῶν τυλιγμάτων ἡλεκτρικῶν μηχανῶν καὶ μετασχηματιστῶν κ.ο.κ.

Μία ἄλλη χρήση τῶν θερμοστοιχείων εἶναι ή μέτρηση τῆς τάσεως καὶ ἐντάσεως ρευμάτων ὑψηλῆς συχνότητας σέ συνδυασμό μέ ένα δργανο στρεφόμενου πηνίου (σχ. 21.2). Τό ἐναλλασσόμενο ρεῦμα (— —) διοχετεύεται μέσα ἀπό τήν ἐπαφή τῶν δύο μετάλλων καὶ τή θερμαίνει μέ ἀποτέλεσμα νά δημιουργηθεῖ θερμοηλεκτρικό ρεῦμα συνεχές (—) πού περνᾶ μέσα ἀπό τό δργανο στρεφόμενου πηνίου. ቩ αὐξηση τῆς θερμοκρασίας τῆς ἐπαφῆς καὶ τό ἀναπτυσσό-

μενο θερμοηλεκτρικό ρεῦμα δέξαρτῶνται άπό τήν ένεργο τιμή τῆς τάσεως ή έντασεως τοῦ έναλλασσόμενου ρεύματος δχι δμως άπό τή συχνότητά του. Έτσι μέ τό δργανο στρεφόμενου πηνίου μποροῦμε νά μετρήσομε τάσεις και έντασεις ύψηλης συχνότητας (μέχρι 1 MHz περίπου).



Σχ. 21.2.

Αριθμητικό παράδειγμα.

Τό μιλλιβολτόμετρο ένός θερμοηλεκτρικοῦ θερμομέτρου δείχνει ρεῦμα $I = 4,5 \cdot 10^{-6} \text{ A}$, δταν ή θερμοκρασία αυξάνεται κατά $\Delta\theta = 15^\circ\text{C}$. Νά ύπολογισθεῖ ή άναπτυσσόμενη θερμοηλεκτρική τάση U άνά $^\circ\text{C}$, ἂν ή άντισταση τοῦ κυκλώματος εἶναι $R = 200 \Omega$.

Αύση.

$$\frac{U}{\Delta\theta} = \frac{IR}{\Delta\theta} = \frac{200 \cdot 4,5 \cdot 10^{-6}}{15} \frac{\text{V}}{^\circ\text{C}} = 6 \cdot 10^{-5} \frac{\text{V}}{^\circ\text{C}}$$

$$\frac{U}{\Delta\theta} = 6 \cdot 10^{-5} \frac{\text{V}}{^\circ\text{C}}$$

Π ΑΡ ΑΡ ΤΗΜ Α

ΑΣΚΗΣΕΙΣ

Κ Ε Φ Α Λ Α Ι Ο Δ Ω Δ Ε Κ Α Τ Ο

- 1) Σφαίρα μέ φορτίο Q είναι βυθισμένη σε δοχεῖο μέ λάδι (ε_r τοῦ λαδιοῦ: 2,3). Στό έξωτερικό τῆς σφαίρας καὶ σέ ἀπόσταση $r = 30$ cm ἀπό τό κέντρο τῆς μετρᾶται ἔνταση πεδίου $E = 2 \cdot 10^5$ N/C. Νά ύπολογισθεῖ τό φορτίο Q .

Απάντηση.

$$Q = 4,6 \text{ } \mu\text{C}$$

- 2) Μία δέσμη ήλεκτρούνιων διανύει σέ δόμογενές ήλεκτρικό πεδίο ἀπόσταση μεταξύ δύο σημείων πού ἔχουν διαφορά δυναμικοῦ 200 V. Τά ήλεκτρόνια ξεκινοῦν μέ ταχύτητα μηδέν, κινοῦνται κατά μῆκος τῶν ήλεκτρικῶν γραμμῶν τοῦ πεδίου καὶ προσκρούουν στό τέρμα τῆς διαδρομῆς σέ μία μεταλλική ἐπιφάνεια. Όλόκληρη ἡ κινητική τους ἐνέργεια μετατρέπεται ἐδῶ σέ θερμότητα: $Q = 2,15 \cdot 10^{-3}$ kcal ($e = 1,6 \cdot 10^{-19}$ C, $m_0 = 9,1083 \cdot 10^{-31}$ · kg). Νά βρεθοῦν:

- a) Ἡ ταχύτητα v μέ τήν ὁποία προσκρούουν τά ήλεκτρόνια στή μεταλλική ἐπιφάνεια.
β) Ὁ ἀριθμός n τῶν ήλεκτρονίων τῆς δέσμης.

Απάντηση.

$$v = 8,39 \cdot 10^3 \text{ km/s}$$

$$n = 2,81 \cdot 10^{17} \text{ ήλεκτρόνια}$$

Κ Ε Φ Α Λ Α Ι Ο Δ Ε Κ Α Τ Ο Τ Ρ Ι Τ Ο

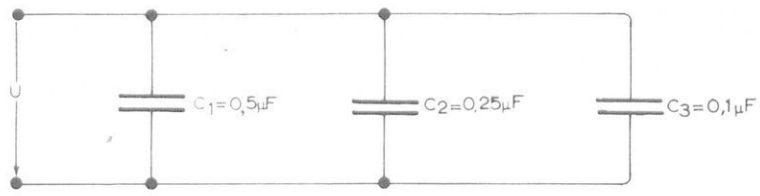
- 3) Νά προσδιορισθεῖ ἡ συνολική χωρητικότητα τῶν συνδεσμολογιῶν τοῦ παρακάτω σχήματος 1.

Απάντηση.

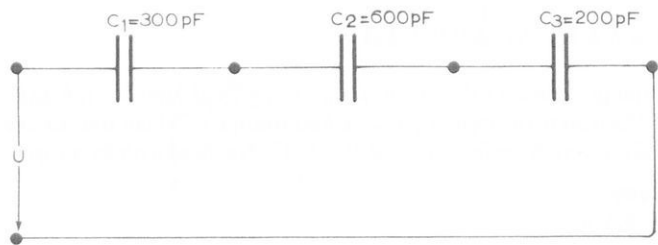
$$\text{Γιά τή συνδεσμολογία (a): } C_{o\lambda} = 0,85 \text{ } \mu\text{F}$$

$$\text{Γιά τή συνδεσμολογία (β): } C_{o\lambda} = 100 \text{ pF}$$

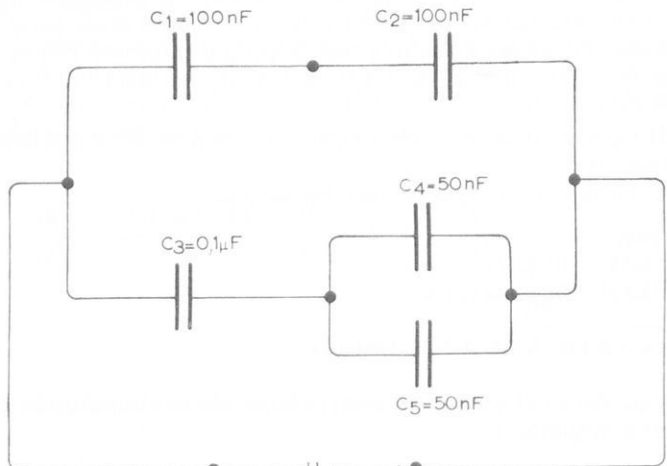
$$\text{Γιά τή συνδεσμολογία (γ): } C_{o\lambda} = 100 \text{ pF}$$



(a)



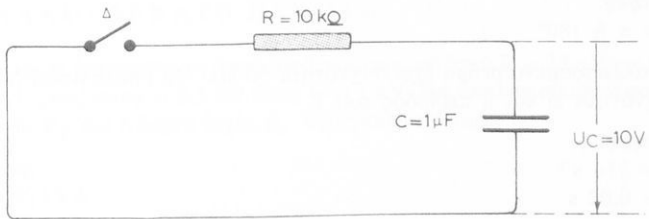
(b)



(γ)

Σχ. 1.

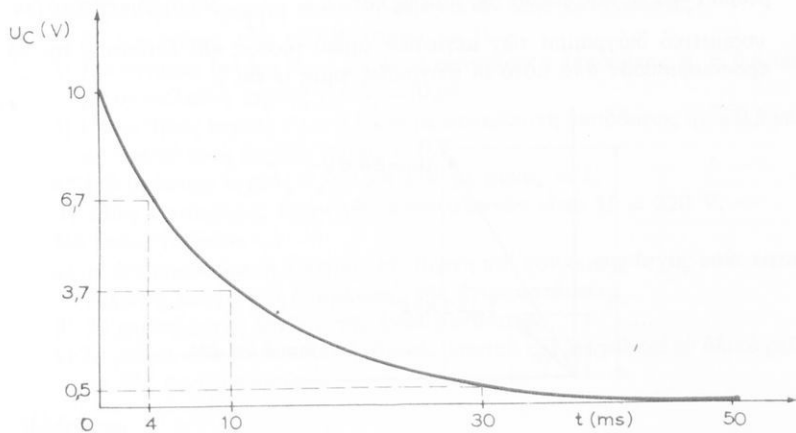
- 4) Τή χρονική στιγμή $t = 0$ κλείνεται ο διακόπτης Δ του σχήματος 2. Νά σχεδιασθεῖ ή τάση έκφορτίσεως του πυκνωτή σέ συνάρτηση μέ τό χρόνο. (Νά υπολογισθοῦν οι τιμές τῆς τάσεως για $t = 4, 10, 30$ και 50 ms).



Σχ. 2.

Απάντηση.

t (ms)	4	10	30	50
u_C (V)	6,7	3,7	0,5	0,07



Σχ. 3.

ΚΕΦΑΛΑΙΟ ΔΕΚΑΤΟ ΤΕΤΑΡΤΟ

- 5) Νά ύπολογισθεῖ ἡ φάση φ ἐναλλασσόμενου ρεύματος, συχνότητας $t = 50$ Hz, τή χρονική στιγμή $t = 10^{-2}$ s, ἂν ἡ ἀρχική του φάση είναι μηδέν. Ἡ φάση δοθεῖ σὲ ἀκτίνια καὶ μοῖρες.

Απάντηση.

$$\varphi = \pi - 180^\circ$$

- 6) Ἐναλλασσόμενο ρεῦμα ἔχει συχνότητα 50 Hz. Νά ύπολογισθεῖ ἡ κυκλική συχνότητα ω καὶ ἡ περίοδος του T .

Απάντηση.

$$\omega = 314 \text{ s}^{-1}$$

$$T = 0,02 \text{ s}$$

- 7) Δίδονται τά ἐναλλασσόμενα ρεύματα:

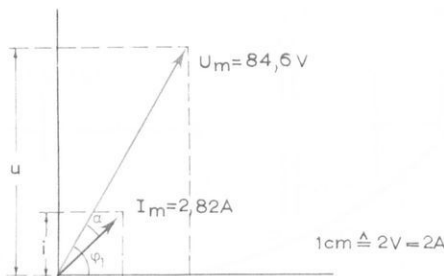
$$i_1 = I_{1m} \eta \mu (\omega t + \frac{3\pi}{4}) \quad \text{καὶ} \quad i_2 = I_{2m} \eta \mu (\omega t - \frac{\pi}{2}).$$

Νά ύπολογισθεῖ ἡ διαφορά φάσεως τους φ .

Απάντηση.

$$\text{Tό } i_1 \text{ προηγεῖται κατά } \varphi = \frac{5\pi}{4} \text{ τοῦ } i_2$$

- 8) Δίδεται ἡμιτονική τάση $U = 60 \text{ V}$ μέ ἀρχική φάση $\varphi_1 = \frac{\pi}{3}$ καὶ ἡμιτονικό ρεῦμα $I = 2 \text{ A}$, πού ἔπειται τῆς τάσεως κατά $a = \frac{\pi}{12}$. Νά σχεδιασθεῖ τό διανυσματικό διάγραμμα τῶν μεγίστων τιμῶν τάσεως καὶ ἐντάσεως καὶ νά προσδιορισθοῦν ἀπό αὐτό οἱ στιγματίες τιμές u καὶ i .



Σχ. 4.

Απάντηση.

$$\begin{aligned} u &= 27 \text{ V} \\ i &= 2 \text{ A} \end{aligned}$$

ΚΕΦΑΛΑΙΟ ΔΕΚΑΤΟ ΠΕΜΠΤΟ

9) Ήλεκτρική έγκατασταση άπορροφα πραγματική ίσχυ $P = 25 \text{ kW}$ μέ συντελεστή ίσχύος συνφ $= 0,5$ και τάση $U = 1 \text{ kV}$. Νά ύπολογισθοῦν ή φαινόμενη ίσχυς P_φ και ή αεργη ίσχυς P_a τῆς έγκαταστάσεως.

Απάντηση.

$$\begin{aligned} P_\varphi &= 50 \text{ kVA} \\ P_a &= 43,3 \text{ kVAr} \end{aligned}$$

10) Ήλεκτροκινητήρας συνδέεται μέ δίκτυο έναλλασσόμενου ρεύματος, τάσεως $U = 220 \text{ V}$ (ένεργος τιμή) και άπορροφα πραγματική ίσχυ $P = 2,64 \text{ kW}$ μέ συντελεστή ίσχύος συνφ $= 0,7$. Νά βρεθοῦν:

- a) Η ένεργος τιμή του ρεύματος I , πού περνᾶ άπό τόν κινητήρα.
- β) Τό βαττικό και αεργη ρεῦμα I_B και I_a .
- γ) Η φαινόμενη και αεργη ίσχυς τοῦ κινητήρα.

Απάντηση.

$$\begin{aligned} \text{a)} \quad I &= 17,14 \text{ A}, \quad \beta) \quad I_B = 12 \text{ A}, \quad I_a = 12,24 \text{ A}. \\ \gamma) \quad P_\varphi &= 3,770 \text{ kVA}, \quad P_a = 2,692 \text{ kVAr} \end{aligned}$$

11) Μέ ήλεκτρική γραμμή εἶναι συνδεμένοι οι έξης καταναλωτές:

- 1) 80 λαμπτήρες τῶν 100 W (συνφ₁ = 1).
- 2) 1 κινητήρας ίσχύος $P_2 = 2 \text{ kW}$ μέ συντελεστή άποδόσεως $\eta_2 = 0,8$ και μέ συντελεστή ίσχύος συνφ₂ = 0,65.
- 3) 1 κινητήρας ίσχύος $P_3 = 0,8 \text{ kW}$ μέ συντελεστή άποδόσεως $\eta_3 = 0,5$ και μέ συντελεστή ίσχύος συνφ₃ = 0,7.
- 4) 1 θερμάστρα ίσχύος $P_4 = 3,4 \text{ kW}$ μέ συνφ₄ = 1.

Η τάση λειτουργίας δλων τῶν καταναλωτῶν εἶναι $U = 220 \text{ V}$.

Νά ύπολογισθοῦν:

- α) Η άπορροφούμενη πραγματική, αεργη και φαινόμενη ίσχυς κάθε καταναλωτῆ, καθώς και δλόκληρης τῆς έγκαταστάσεως.
- β) Ο συντελεστής ίσχύος τῆς έγκαταστάσεως.
- γ) Τό ρεῦμα κάθε καταναλωτῆ (δλικό, βαττικό και αεργο) και τό δλικό ρεῦμα τῆς έγκαταστάσεως.

Απάντηση.

α) Λαμπτήρες.

$$P_1 = 8000 \text{ W}$$

$$P_{a_1} = 0, \quad P_{\varphi_1} = P_i = 8000 \text{ W}$$

Κινητήρας 1:

$$P_2 = 2500 \text{ W}$$

$$P_{\varphi_2} = 3850 \text{ VA}$$

$$P_{a_2} = 2925 \text{ VAr}$$

Κινητήρας 2:

$$P_3 = 1600 \text{ W}$$

$$P_{\varphi_3} = 2290 \text{ VA}$$

$$P_{a_3} = 1638 \text{ VAr}$$

Θερμάστρα:

$$P_4 = 3400 \text{ W}, \quad P_{\varphi_4} = P_4 = 3400 \text{ W}, \quad P_{a_4} = 0$$

Όλική ισχύς έγκαταστάσεως:

$$P = \sum P_i = 15.500 \text{ W}$$

$$P_a = \sum P_{ai} = 4563 \text{ VAr}$$

$$P_{\varphi} = 16.140 \text{ VA}$$

$$\beta) \text{ συνφ} = 0,962$$

γ) **Ααμπτήρες:**

$$I_1 = I_{\beta_1} = 36,3 \text{ A}, \quad I_{a_1} = 0$$

Κινητήρας 1:

$$I_2 = 17,5 \text{ A}$$

$$I_{\beta_2} = 11,37 \text{ A}$$

$$I_{a_2} = 13,32 \text{ A}$$

Κινητήρας 2:

$$I_3 = 10,4 \text{ A}$$

$$I_{\beta_3} = 7,28 \text{ A}$$

$$I_{a_3} = 7,42 \text{ A}$$

Θερμάστρα:

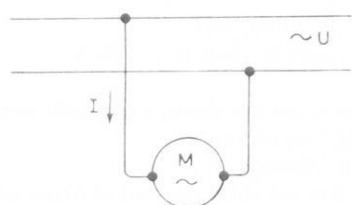
$$I_4 = I_{\beta_4} = 15,45 \text{ A}, \quad I_{a_4} = 0$$

Όλικό ρεῦμα της έγκαταστάσεως:

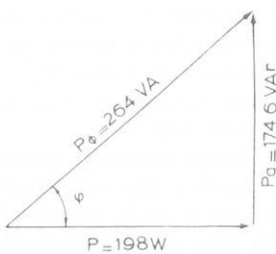
$$I_{\beta} = \sum I_{\beta i} = 70,4 \text{ A}$$

$$I_a = \sum I_{ai} = 20,74 \text{ A}$$

$$I = 73,4 \text{ A}$$



Σχ. 5.



Σχ. 6.

- 12) Ηλεκτροκινητήρας συνδέεται μέ δίκτυο έναλλασσόμενου ρεύματος (σχ. 5). Η ένεργος τιμή της τάσεως του δικτύου είναι $U = 220 \text{ V}$, η συχνότητα $f = 50 \text{ Hz}$, η ένεργος τιμή του ρεύματος πού ρέει μέσα άπό τόν κινητήρα

$I = 1,2 \text{ A}$ και ό συντελεστής ίσχύος συνφ = 0,75. Νά βρεθοῦν:

- α) Ή φαινόμενη ίσχύς, πού άπορροφᾶται άπό τόν κινητήρα.
- β) Ή πραγματική ίσχύς πού άπορροφᾶται άπό τόν κινητήρα.
- γ) Ή άεργη ίσχύς τού κινητήρα.
- δ) Ή διαφορά φάσεως μεταξύ τής τάσεως U και τού ρεύματος I .
- ε) Νά σχεδιασθεῖ τό τρίγωνο τῶν ίσχύων.

Απάντηση.

- α) $P_\varphi = 264 \text{ VA}$, β) $P = 198 \text{ W}$, γ) $P_a = 174,6 \text{ VAr}$, δ) $\varphi = 41,4^\circ$, ε) Σχήμα 6.

ΚΕΦΑΛΑΙΟ ΔΕΚΑΤΟ ΕΚΤΟ

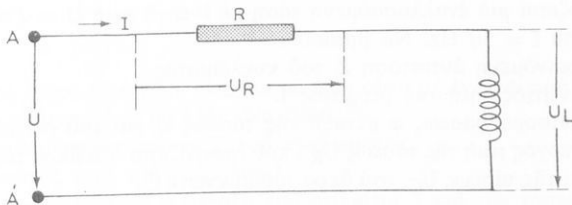
13) Αν τά άκρα ένός πηνίου συνδεθοῦν μέ μιά πηγή συνεχούς ρεύματος, πολικής τάσεως $U = 10 \text{ V}$, θά περάσει άπό τό πηνίο συνεχές ρεύμα $I_0 = 5 \text{ A}$.

Αν τά άκρα τού ίδιου πηνίου συνδεθοῦν μέ μιά έναλλασσόμενη τάση ένεργην τιμής $U = 10 \text{ V}$, συχνότητας $f = 50 \text{ Hz}$, θά περάσει άπό τό πηνίο έναλλασσόμενο ρεύμα μέ ένεργό τιμή $I = 2,69 \text{ A}$. Νά βρεθοῦν:

- α) Ή ωμική άντισταση R τῆς πηνίου.
- β) Ή φαινόμενη άντισταση Z τού πηνίου.
- γ) Ή αύτεπαγωγή L τού πηνίου.
- δ) Ή διαφορά φάσεως φ μεταξύ τής τάσεως U και τού ρεύματος I .

Απάντηση.

- α) $R = 2\Omega$, β) $Z = 2,72 \Omega$, γ) $L = 10 \text{ mH}$, δ) $\varphi = 57,5^\circ$



Σχ. 7.

14) Τό κύκλωμα τού σχήματος 7 άποτελεῖται άπό ένα άντιστάτη $R = 150 \Omega$ και άπό ένα πηνίο $L = 0,8 \text{ H}$, συνδεμένα σέ σειρά. Στούς άκροδέκτες Α - Α' έφαρμόζεται μιά έναλλασσόμενη τάση μέ ένεργό τιμή $U = 120 \text{ V}$ και συχνότητα $f = 60 \text{ Hz}$. Νά βρεθοῦν:

- α) Ή έπαγωγική άντισταση X_L τού πηνίου.
- β) Ή φαινόμενη άντισταση τού κυκλώματος Z .
- γ) Ή ένεργος τιμή τού ρεύματος I .
- δ) Ή ένεργος τιμή τῶν τάσεων U_R και U_L .
- ε) Ή διαφορά φάσεως φ μεταξύ τῆς τάσεως U και τού ρεύματος I .

Απάντηση.

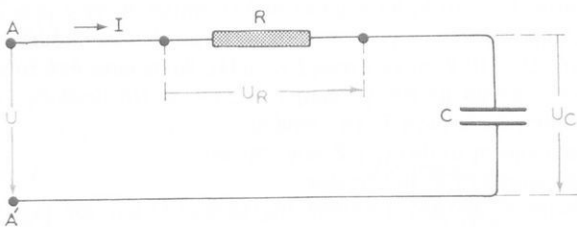
- a) $X_L = 301,5 \Omega$, β) $Z = 336,5 \Omega$, γ) $I = 0,3566 \text{ A}$, δ) $U_R = 53,5 \text{ V}$,
 $U_L = 107,5 \text{ V}$ ε) $\varphi = 63,5^\circ$

15) Ένα κύκλωμα άποτελείται από ένα άντιστάτη $R = 84 \Omega$ και ένα πηνίο L συνδεμένα σέ σειρά. Ποιά πρέπει νά είναι ή τιμή της έπαγωγικής άντιστάσεως ωL , ώστε η διαφορά φάσεως μεταξύ της τάσεως και τού ρεύματος του κυκλώματος νά είναι 60° ;

Απάντηση.

$$\omega L = 145,5 \Omega$$

16) Τό κύκλωμα του σχήματος 8 άποτελείται από ένα άντιστάτη $R = 25 \Omega$ και



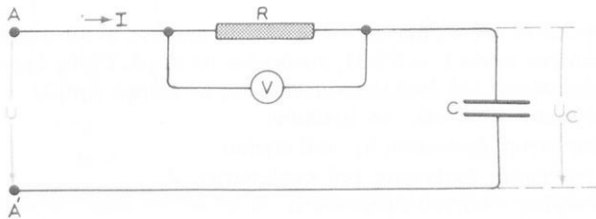
Σχ. 8.

ένα πυκνωτή $C = 25 \mu\text{F}$ συνδεμένους σέ σειρά. Στούς άκροδέκτες A-A' έφαρμόζεται μιά έναλλασσόμενη τάση μέ ένεργο τιμή $U = 220 \text{ V}$ και συχνότητα $f = 50 \text{ Hz}$. Νά βρεθοῦν:

- α) Η φαινόμενη άντισταση Z του κυκλώματος.
 β) Η ένεργος τιμή του ρεύματος I .
 γ) Η διαφορά φάσεως φ μεταξύ της τάσεως U και τού ρεύματος I .
 δ) Η ένεργος τιμή της τάσεως U_R , πού έμφανίζεται στά άκρα τού άντιστάτη R , και της τάσεως U_C στά άκρα τού πυκνωτή C .

Απάντηση.

- α) $Z = 129,82 \Omega$, β) $I = 1,7 \text{ A}$, γ) $\varphi = 78,9^\circ$, δ) $U_R = 42,5 \text{ V}$, $U_C = 216,6 \text{ V}$



Σχ. 9.

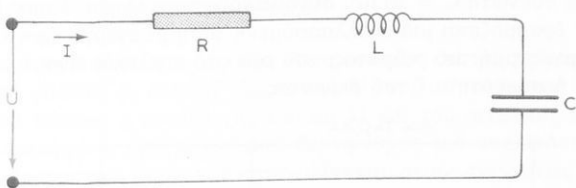
17) Τό κύκλωμα τοῦ σχήματος 9 ἀποτελεῖται ἀπό ἓνα ἀντιστάτη $R = 10 \text{ k}\Omega$ καὶ ἕνα πυκνωτή χωρητικότητας C , συνδεμένους σέ σειρά. Στούς ἀκροδέκτες $A - A'$ ἐφαρμόζεται μιά ἐναλλασσόμενη τάση μέ ἐνεργό τιμή $U = 220 \text{ V}$, καὶ συχνότητα $f = 50 \text{ Hz}$. Τό βολτόμετρο, πού εἶναι συνδεμένο στά ἄκρα τοῦ ἀντιστάτη R , δείχνει τάση $U_R = 97 \text{ V}$ (ἐνεργός τιμή). Νά βρεθοῦν:

- α) Ἡ τιμή τῆς χωρητικότητας C .
- β) Ἡ ἐνεργός τιμή τῆς τάσεως πού παρουσιάζεται μεταξύ τῶν ὁπλισμῶν τοῦ πυκνωτῆ U_C .
- γ) Ἡ διαφορά φάσεως ϕ μεταξύ τῆς τάσεως U καὶ τοῦ ρεύματος I .

Απάντηση.

α) $C = 0,156 \mu\text{F}$, β) $U_C = 197,4 \text{ V}$ γ) $\phi = 63,8^\circ$

18) Ένα κύκλωμα ἀποτελεῖται ἀπό ἓνα ἀντιστάτη $R = 10 \Omega$, ἕνα πηνίο $L = 0,015 \text{ mH}$ καὶ ἕνα πυκνωτή $C = 1 \mu\text{F}$ σέ σειρά (σχ. 10). Στά ἄκρα τοῦ κυ-



Σχ. 10.

κλώματος ἐφαρμόζεται μία ἐναλλασσόμενη τάση μέ ἐνεργό τιμή $U = 220 \text{ V}$ καὶ συχνότητα $f = 80 \text{ kHz}$. Νά βρεθοῦν:

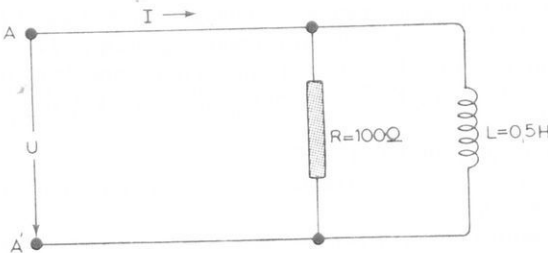
- α) Ἡ φαινόμενη ἀντίσταση Z τοῦ κυκλώματος.
- β) Ἡ ἐνεργός τιμή τοῦ ρεύματος I .
- γ) Ἡ διαφορά φάσεως ϕ μεταξύ τοῦ ρεύματος I καὶ τῆς τάσεως U .
- δ) Ἡ φαινόμενη, πραγματική καὶ ἀεργη ἰσχύς τοῦ κυκλώματος.

Απάντηση.

α) $Z = 11,44 \Omega$, β) $I = 19,23 \text{ A}$, γ) $\phi = 29^\circ$, δ) $P_\phi = 4,23 \text{ kVA}$, $P = 3,7 \text{ kW}$, $P_a = 2,050 \text{ kVAr}$

19) Τό κύκλωμα τοῦ σχήματος 11 ἀποτελεῖται ἀπό ἓνα ἀντιστάτη $R = 100 \Omega$ καὶ ἕνα πηνίο $L = 0,5 \text{ H}$ μέ παράλληλη σύνδεση. Στούς ἀκροδέκτες $A - A'$ ἐφαρμόζεται μιά ἐναλλασσόμενη τάση μέ ἐνεργό τιμή $U = 220 \text{ V}$ καὶ συχνότητα $f = 50 \text{ Hz}$. Νά βρεθοῦν:

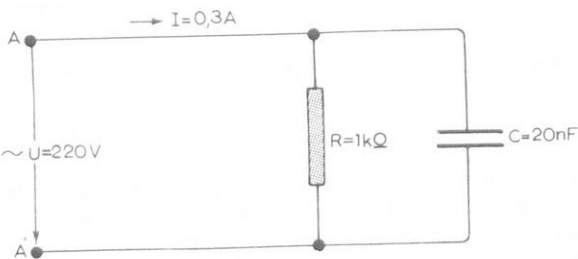
- α) Ἡ ἐνεργός τιμή τοῦ ρεύματος I .
- β) Ἡ φαινόμενη ἀντίσταση Z τοῦ κυκλώματος.
- γ) Τό βαττικό ρεῦμα I_B καὶ τό ἀεργη ρεῦμα I_a τοῦ κυκλώματος.



Σχ. 11.

Απάντηση.

- a) $I = 2,6 \text{ A}$, β) $Z = 84,6 \Omega$, γ) $I_B = 2,2 \text{ A}$, $I_a = 1,4 \text{ A}$
 20) Τό κύκλωμα τοῦ σχήματος 12 ἀποτελεῖται ἀπό ἕνα ἀντιστάτη $R = 1 \text{ k}\Omega$ καὶ ἕνα πυκνωτή $C = 20 \text{ nF}$, συνδεμένους παράλληλα. Στοὺς ἀκροδέκτες $A - A'$ ἐφαρμόζεται μιὰ ἐναλλασσόμενη τάση μὲ ἐνεργό τιμή $U = 220 \text{ V}$. Ἡ ἐνεργός τιμή τοῦ ρεύματος, πού ρέει στό κύκλωμα είναι $I = 0,3 \text{ A}$. Νά βρεθεῖ ἡ συχνότητα f τοῦ ρεύματος.



Σχ. 12.

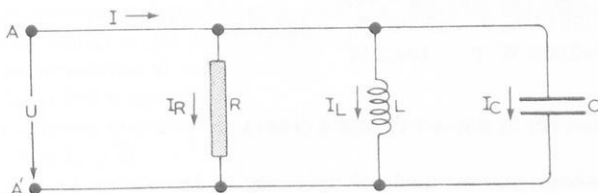
Απάντηση.

$$f = 7,4 \text{ kHz}$$

- 21) Τό κύκλωμα τοῦ σχήματος 13 ἀποτελεῖται ἀπό ἕνα ἀντιστάτη $R = 100 \Omega$, ἕνα πηνίο $L = 0,5 \text{ H}$ καὶ ἕνα πυκνωτή $C = 10 \mu\text{F}$ μὲ παράλληλη σύνδεση. Στοὺς ἀκροδέκτες $A - A'$ ἐφαρμόζεται μιὰ ἐναλλασσόμενη τάση μὲ ἐνεργό τιμή $U = 220 \text{ V}$ καὶ συχνότητα $f = 50 \text{ Hz}$. Νά βρεθοῦν:
 α) Ἡ ἐνεργός τιμή τῶν ρευμάτων I_R , I_L , I_C καὶ τό δόλικό ρεῦμα I .
 β) Ἡ φαινόμενη ἀντίσταση τοῦ κυκλώματος Z .
 γ) Ἡ διαφορά φάσεως φ μεταξύ τῆς τάσεως U καὶ τοῦ ρεύματος I .

Απάντηση.

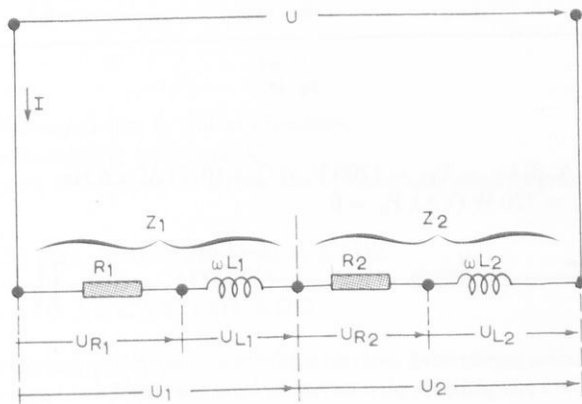
- α) $I_R = 2,2 \text{ A}$, $I_L = 1,4 \text{ A}$, $I_C = 0,69 \text{ A}$, $I = 2,3 \text{ A}$, β) $Z = 95,5 \Omega$, γ) $\phi = 17^\circ$



Σχ. 13.

22) Στούς άκροδέκτες $A - A'$ τῆς συνδεσμολογίας τοῦ σχήματος 14 έφαρμόζεται μιά έναλλασσόμενη τάση μέ ένεργό τιμή $U = 200 \text{ V}$ και συχνότητα $f = 50 \text{ Hz}$. Διδεται δι: $R_1 = 30 \Omega$, $\omega L_1 = 10 \Omega$, $R_2 = 17 \Omega$ και $\omega L_2 = 40 \Omega$. Νά βρεθοῦν:

- Oι άντιστάσεις Z_1 , Z_2 και η ολική φαινόμενη άντισταση Z τοῦ κυκλώματος.
- Η ένεργος τιμή τοῦ ρεύματος I .
- Oι τάσεις U_1 και U_2 .
- Η διαφορά φάσεως φ_1 μεταξύ τῆς τάσεως U_1 και τοῦ ρεύματος I , η διαφορά φάσεως φ_2 μεταξύ τῆς τάσεως U_2 και τοῦ ρεύματος I και η διαφορά φάσεως φ μεταξύ τῆς τάσεως U και τοῦ ρεύματος I .
- Η φαινόμενη, πραγματική και άεργη ίσχυς τοῦ κυκλώματος.
- Τη πραγματική ίσχυς πού καταναλίσκεται στούς άντιστάτες R_1 και R_2 .



Σχ. 14.

Απάντηση.

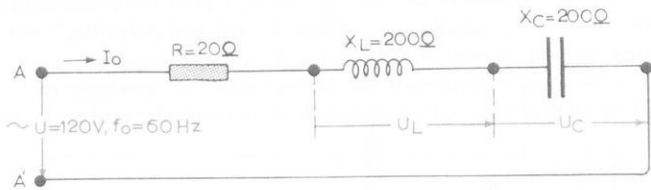
- $Z_1 = 31,62 \Omega$, $Z_2 = 43,46 \Omega$, $Z = 68,62 \Omega$
- $I = 2,914 \text{ A}$
- $U_1 = 92,2 \text{ V}$, $U_2 = 126,7 \text{ V}$

- δ) $\varphi_1 = 18,4^\circ$, $\varphi_2 = 67^\circ$, $\varphi = 46,8^\circ$
ε) $P_\varphi = 583 \text{ VA}$, $P = 399 \text{ W}$, $P_a = 425 \text{ VAr}$
στ) $P_1 = 254,8 \text{ W}$, $P_2 = 144,2 \text{ W}$

ΚΕΦΑΛΑΙΟ ΔΕΚΑΤΟ ΕΒΔΟΜΟ

23) Τό κύκλωμα συντονισμού τοῦ σχήματος 15 ἀποτελεῖται ἀπό ἓνα ἀντιστάτη $R = 20 \Omega$, ἔνα πυκνωτή χωρητικῆς ἀντιστάσεως $X_C = 200 \Omega$ καὶ ἔνα πηνίο ἐπαγωγικῆς ἀντιστάσεως $X_L = 200 \Omega$ σέ σειρά. Στούς ἀκροδέκτες $A - A'$ ἐφαρμόζεται μιά ἐναλλασσόμενη τάση ἐνεργοῦ τιμῆς $U = 120 \text{ V}$ καὶ συχνότητας $f_0 = 60 \text{ Hz}$. Στή συχνότητα αὐτῇ ἐπιτυγχάνεται συντονισμός. Νά βρεθοῦν:

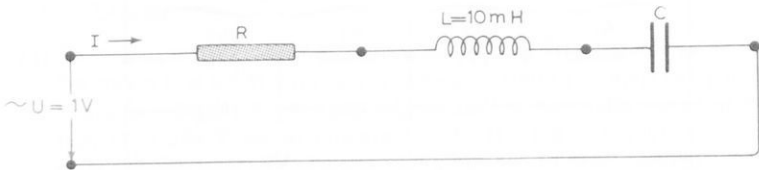
- Ἡ ἐνεργός τιμή τοῦ ρεύματος I_0 .
- Ἡ ἐνεργός τιμή τῶν τάσεων U_L καὶ U_C .
- Ο συντελεστής ποιότητας Q .
- Ἡ ζώνη διελεύσεως Δf .
- Ἡ ίσχύς τοῦ συντονισμένου αὐτοῦ κυκλώματος.



Σχ. 15.

Απάντηση.

- $I_0 = 6 \text{ A}$,
- $U_L = U_C = 1200 \text{ V}$,
- $Q = 10$,
- $\Delta f = 6 \text{ Hz}$
- $P = P_\varphi = 720 \text{ W (VA)}$,
- $P_a = 0$



Σχ. 16.

- 24) Τό κύκλωμα συντονισμοῦ τοῦ σχήματος 16 ἀποτελεῖται ἀπό ἓνα ἀντιστάτη R , ἔνα πυκνωτή C καὶ ἔνα πηνίο $L = 10 \text{ mH}$ σέ σειρά. Στούς ἀκροδέκτες $A - A'$ ἐφαρμόζεται μιά ἐναλλασσόμενη τάση μέ ενεργό τιμή $U = 1 \text{ V}$.

Η ιδιοσυχνότητα του κυκλώματος είναι $f_0 = 100 \text{ kHz}$ και ο συντελεστής ποιότητάς του $Q = 50$. Νά βρεθοῦν:

a) Η χωρητικότητα C του πυκνωτή.

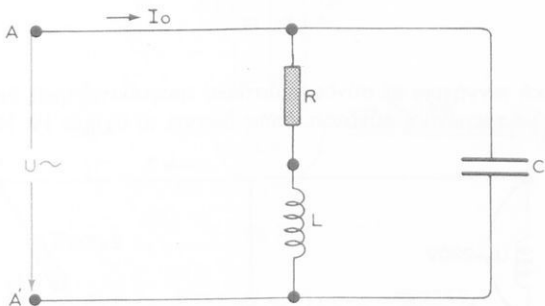
β) Η ζώνη διελεύσεως Δf .

γ) Οι πλευρικές συχνότητες f_1 και f_2 (συχνότητες πού τό ρεῦμα I παίρνει τήν τιμή $I_0/\sqrt{2}$).

Απάντηση.

a) $C = 253 \text{ pF}$, β) $\Delta f = 2 \text{ kHz}$, γ) $f_1 = 99 \text{ kHz}$, $f_2 = 101 \text{ kHz}$

25) Διδεται τό κύκλωμα του σχήματος 17, δηση $L = 6,36 \text{ mH}$, $R = 40 \Omega$ και $C = 1590 \text{ pF}$. Στους άκροδέκτες $A - A'$ έφαρμόζεται μιά έναλλασσόμενη τάση μέ ενεργό τιμή U . Νά βρεθοῦν:



Σχ. 17.

α) Η ιδιοσυχνότητα f_0 του κυκλώματος.

β) Ο συντελεστής ποιότητας Q .

γ) Η ζώνη διελεύσεως Δf καθώς και οι πλευρικές συχνότητες f_1 και f_2 .

Απάντηση.

α) $f_0 = 50 \text{ kHz}$, β) $Q = 50$, γ) $\Delta f = 1 \text{ kHz}$

ΚΕΦΑΛΑΙΟ ΔΕΚΑΤΟ ΟΓΔΟΟ

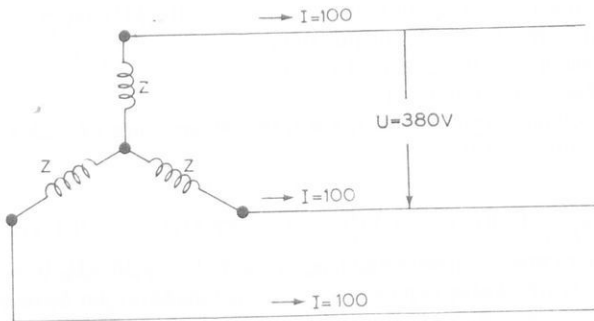
26) Μιά τριφασική γεννήτρια, σέ σύνδεση άστέρα, άναπτύσσει πολική τάση μέ ενεργό τιμή $U = 380 \text{ V}$ και παρέχει ρεῦμα στίς γραμμές της $I = 100 \text{ A}$ (σχ. 18). Ο συντελεστής ίσχυος είναι συνφ = 0,85. Νά βρεθοῦν:

α) Η φαινόμενη, πραγματική και αεργη ίσχυς της γεννήτριας.

β) Η φαινόμενη άντισταση Z κάθε φάσεως.

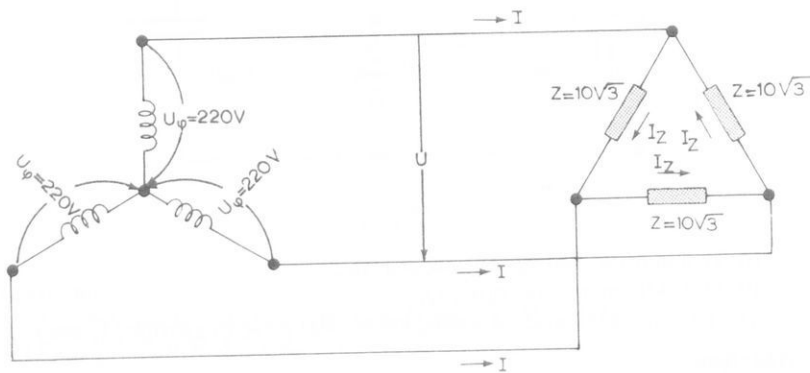
Απάντηση.

α) $P_\varphi = 65,8 \text{ kVA}$, $P = 56 \text{ kW}$, $P_a = 34,6 \text{ kVAr}$, β) $Z = 2,2 \Omega$



Σχ. 18.

27) Τριφασική γεννήτρια σέ σύνδεση άστέρα, τροφοδοτεῖ τρεῖς δημοιους καταναλωτές μέ τριγωνική σύνδεση, δπως δείχνει τό σχήμα 19. Νά βρεθοῦν:



Σχ. 19.

- a) Η ένεργός τιμή της πολικής τάσεως U .
 β) Η ένεργός τιμή τοῦ ρεύματος στοὺς καταναλωτές I_Z .

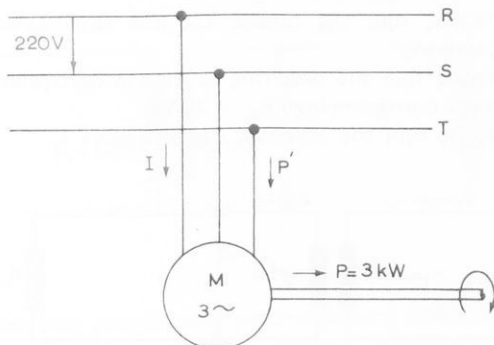
Απάντηση.

a) $U = 380 \text{ V}$, β) $I_Z = 22 \text{ A}$

- 28) Τριφασικός κινητήρας παρέχει στόν αξονά του ίσχυ $P = 3 \text{ kW}$. Ο κινητήρας αυτός τροφοδοτεῖται από τριφασικό δίκτυο πολικής τάσεως $U = 220 \text{ V}$ (ένεργός τιμή), συχνότητας $f = 50 \text{ Hz}$ και άπορροφά ρεῦμα μέ ένεργό τιμή $I = 11,5 \text{ A}$ (σχ. 20). Ο βαθμός άποδόσεως τοῦ κινητήρα είναι $\eta = 80\%$.

Νά βρεθοῦν:

- Η πραγματική ίσχυς P' που άπορροφᾶ δικτυού στην κινητήρα.
- Η φαινόμενη ίσχυς P_ϕ .
- Ο συντελεστής ίσχυος συνφ.
- Η αεργη ίσχυς P_a .
- Τό βαττικό και αεργο ρεῦμα I_β και I_α .



Σχ. 20.

Απάντηση.

- $P' = 3,75 \text{ kW}$, $\beta) P_\phi = 4,382 \text{ kVA}$, $\gamma) \text{συνφ} = 0,8557$,
 - $P_a = 2,267 \text{ kVAR}$, $\epsilon) I_\beta = 9,84 \text{ A}$, $I_\alpha = 5,95 \text{ A}$
- 29) Τριφασικός κινητήρας έχει φάσεις μέ δικτυού $R = 9 \Omega$ και συντελεστή ίσχυος συνφ = 0,82. Ο κινητήρας συνδέεται μέ δίκτυο πολικής τάσεως 380 V. Γιά τίς δύο περιπτώσεις που οι φάσεις του κινητήρα είναι συνδεμένες σέ άστέρα και σέ τρίγωνο νά ύπολογισθοῦν:
- Η φασική τάση U_ϕ .
 - Τό φασικό ρεῦμα I_ϕ .
 - Η πραγματική ίσχυς P , που άπορροφᾶ δικτυού στην κινητήρα.
 - Ο λόγος τής ίσχυος σέ σύνδεση μέ άστέρα πρός τήν ίσχυ σέ σύνδεση μέ τρίγωνο.

Απάντηση.

Άστέρας (\perp):

- $U_\phi = 219,6 \text{ V}$
- $I_\phi = 24,4 \text{ A}$
- $P_\perp = 13.181 \text{ W}$

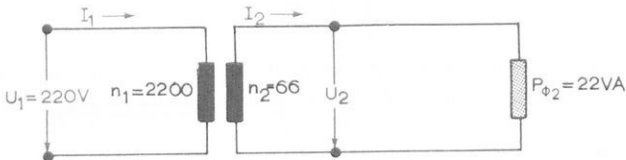
Τρίγωνο (Δ):

- | | |
|-------------------------------|---------------------------|
| $U_\phi = 380 \text{ V}$ | $I_\phi = 42,3 \text{ A}$ |
| $P_\Delta = 39.543 \text{ W}$ | |

$$\delta) \frac{P_\perp}{P_\Delta} = \frac{1}{3}$$

ΚΕΦΑΛΑΙΟ ΔΕΚΆΤΟ ΕΝΑΤΟ

- 30) Ό ριθμός των σπειρών τοῦ πρωτεύοντος ένός μονοφασικοῦ μετασχηματιστῆς ήλεκτρικοῦ κουδουνιοῦ είναι $n_1 = 2200$ καὶ τοῦ δευτερεύοντος $n_2 = 66$. Στό πρωτεύον ἐφαρμόζεται ἐναλλασσόμενη τάση μὲνεργό τιμή $U_1 = 220 \text{ V}$ (σχ. 21). Νά βρεθοῦν:
- Ο λόγος μετασχηματισμοῦ λ_{μ} .
 - Η ἐνεργός τιμή τῆς τάσεως U_2 , πού ἐμφανίζεται στά ἄκρα τοῦ δευτερεύοντος.
 - Η ἐνεργός τιμή τοῦ ρεύματος I_2 , ἀν στό δευτερεύον συνδεθεῖ κατανάλωση μὲν φαινόμενη ἰσχύ $P_{\phi_2} = 22 \text{ VA}$.
 - Η ἐνεργός τιμή τοῦ ρεύματος στό πρωτεύον I_1 .



Σχ. 21.

Απάντηση.

- a) $\lambda_{\mu} = 33,333$, b) $U_2 = 6,6 \text{ V}$, c) $I_2 = 3,333 \text{ A}$, d) $I_1 = 0,1 \text{ A}$
- 31) Ο λόγος μετασχηματισμοῦ ένός μονοφασικοῦ μετασχηματιστῆς, πού χρησιμοποιεῖται γιά ἐγκαταστάσεις «φωτεινῶν ἐπιγραφῶν» είναι $\lambda_{\mu} = 1/45$. Στό πρωτεύον ἐφαρμόζεται ἐναλλασσόμενη τάση μὲνεργό τιμή $U_1 = 220 \text{ V}$ (χαμηλότερη τάση). Νά βρεθοῦν:
- Η ἐνεργός τιμή τῆς τάσεως U_2 πού ἐμφανίζεται στά ἄκρα τοῦ δευτερεύοντος.
 - Η ἰσχύς σέ VA πού καταναλίσκεται, ἀν γιά νά διεγερθοῦν οἱ φωτόβόλοι σωλῆνες ἀπαίτειται ρεῦμα μὲνεργό τιμή $I_2 = 50 \text{ mA}$.
 - Η ἐνεργός τιμή τοῦ ρεύματος στό πρωτεύον I_1 .

Απάντηση.

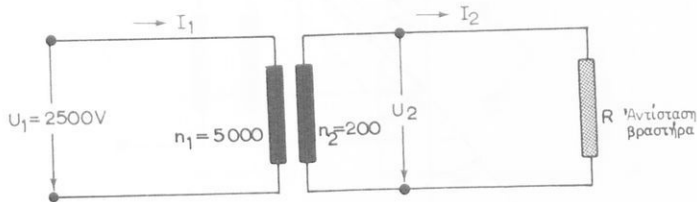
- a) $U_2 = 9,9 \text{ kV}$, b) $P_{\phi_2} = 495 \text{ VA}$, c) $I_1 = 2,25 \text{ A}$
- 32) Ένας μονοφασικός μετασχηματιστής ύποβιβασμοῦ τάσεως ἔχει στό πρωτεύον $n_1 = 5000$ σπεῖρες καὶ στό δευτερεύον $n_2 = 200$ σπεῖρες. Τό πρωτεύον συνδέεται μὲν δίκτυο ἐναλλασσόμενης τάσεως μὲνεργό τιμή $U_1 = 2500 \text{ V}$. Τό ρεῦμα πού ρέει στό δευτερεύον περνᾶ μέσα ἀπό ἓνα ἡλεκτρικό βραστήρα χωρητικότητας 20 λίτρων καθαροῦ νεροῦ καὶ ἀνεβάζει τή θερ-

μοκρασία του άπό 14°C σέ 100°C σέ διάστημα $12'$. Άν ύποθέσουμε ότι δέν
ύπάρχουν άπωλεις, νά βρεθούν:

- Η ένεργος τιμή τοῦ ρεύματος τοῦ πρωτεύοντος I_1 .
- Η άντισταση τοῦ βραστήρα R (σχ. 22).

Απάντηση.

- $I_1 = 4 \text{ A}$, β) $R = 1 \Omega$



Σχ. 22.

- 33) Στό πρωτεύον ένός μονοφασικού μετασχηματιστή $2200/200 \text{ V}$, πού είναι συνδεμένο μέν ψηλή τάση, ρέει ρεύμα κενοῦ $I_0 = 0,923 \text{ A}$, δταν στό δεύτερον δέν ύπάρχει φορτίο. Τό ρεύμα I_0 έπεται τῆς τάσεως U_1 τοῦ πρωτεύοντος κατά 90° . Όταν στό δευτερεύον συνδεθεῖ δρισμένο φορτίο, ρέει σέ αυτό ρεύμα $I_2 = 50 \text{ A}$, πού έπεται τῆς τάσεως U_2 κατά γωνία $\varphi_2 = 36,67^{\circ}$ (συν $\varphi_2 = 0,8$).

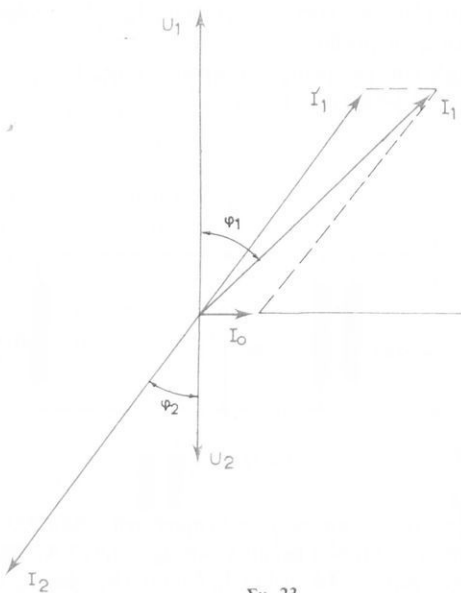
- Νά ύπολογισθεῖ τό ρεύμα I'_1 , πού ρέει στό πρωτεύον και πού ή μαγνητική του ροή έξουδετερώνει τή ροή τοῦ ρεύματος I_2 .
- Νά σχεδιασθεῖ τό διανυσματικό διάγραμμα τῶν ρευμάτων και τῶν τάσεων πρωτεύοντος - δευτερεύοντος και νά προσδιορισθεῖ ἀπό αυτό τό δόλικό ρεύμα I_1 πού ρέει στό πρωτεύον. Έπίσης ή διαφορά φάσεως φ_1 τοῦ I_1 ώς πρός τήν τάση U_1 .

Απάντηση.

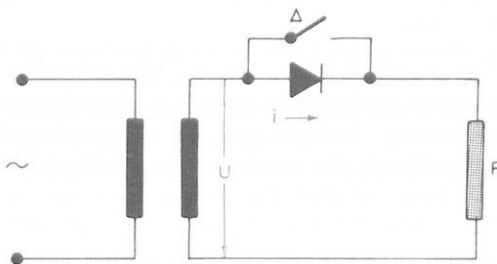
- $I'_1 = 4,55 \text{ A}$, β) $I_1 = 5,1 \text{ A}$, $\varphi_1 = 45,2^{\circ}$ (σχ. 23).

ΚΕΦΑΛΑΙΟ ΕΙΚΟΣΤΟ

- 34) Δίδεται τό κύκλωμα ἀπλῆς ἀνορθώσεως τοῦ σχήματος 24, δπου $u = \sqrt{2} \sin \omega t \text{ sin} \theta (V)$ και $R = 5 \Omega$. Νά ύπολογισθοῦν:
- Η ένεργος τιμή τοῦ ρεύματος I_R τοῦ ἀντιστάτη R και ή ένεργος τιμή τῆς τάσεως U_R στά ἄκρα τοῦ ἀντιστάτη, δταν ὁ ἀνορθωτής είναι βραχυκυκλωμένος (διακόπτης Δ κλειστός).
 - Η μέση τιμή τοῦ ἀνορθωμένου ρεύματος I_0 και τῆς τάσεως U_0 στά ἄκρα τοῦ ἀντιστάτη R , δταν ὁ διακόπτης Δ είναι ἀνοικτός.



Σχ. 23.



Σχ. 24.

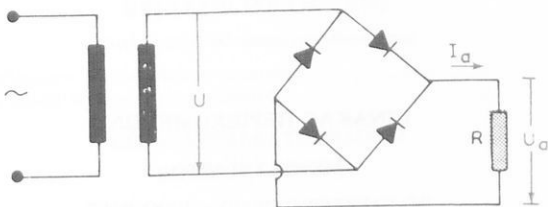
γ) Η ένεργός τιμή I_a του άνορθωμένου ρεύματος και της τάσεως U_a στά
άκρα του άντιστάτη R , έπισης σταν ό διακόπτης Δ είναι άνοικτός.

Απάντηση.

- | | |
|----------------------------|------------------------|
| a) $I_R = 200 \text{ mA}$ | $U_R = 1 \text{ V}$ |
| β) $I_0 = 89,8 \text{ mA}$ | $U_0 = 0,45 \text{ V}$ |
| γ) $I_a = 141 \text{ mA}$ | $U_a = 0,7 \text{ V}$ |

35) Διδεται ή γέφυρα άνορθώσεως (γέφυρα Grätz) τοῦ σχήματος 25. Ή μέση τιμή I_0 τοῦ ρεύματος τοῦ άντιστάτη $R = 10 \Omega$ είναι 500 mA. Νά ύπολογισθοῦν:

- a) Ή ένεργός τιμή U τῆς τάσεως στό δευτερεύον τοῦ μετασχηματιστῆ.
- β) Ή ένεργός τιμή τοῦ ρεύματος I_a και τῆς τάσεως U_a στά άκρα τοῦ άντιστάτη R .



Σχ. 25.

Απάντηση.

α) $U = 5,56 \text{ V}$, β) $I_a = 556,7 \text{ mA}$, $U_a = 5,56 \text{ V}$

ΠΙΝΑΚΑΣ ΠΕΡΙΕΧΟΜΕΝΩΝ

ΜΕΡΟΣ ΤΕΤΑΡΤΟ ΤΟ ΗΛΕΚΤΡΙΚΟ ΠΕΔΙΟ – ΠΥΚΝΩΤΕΣ

ΚΕΦΑΛΑΙΟ ΔΩΔΕΚΑΤΟ

Τό ηλεκτρικό πεδίο

12.1 Όρισμός του ηλεκτρικού πεδίου	1
12.2 Ένταση του ηλεκτρικού πεδίου	2
12.3 Ήλεκτρικές δυναμικές γραμμές	6
12.4 Ήλεκτρικό πεδίο στό έσωτερικό άγωγών – Ήλεκτροστατική έπιδραση	8
12.5 Δυναμικό και διαφορά δυναμικού	10
12.6 Σχέση μεταξύ τάσεως και έντασης ηλεκτρικού πεδίου	12

ΚΕΦΑΛΑΙΟ ΔΕΚΑΤΟ ΤΡΙΤΟ

Πυκνωτές

13.1 Είσαγωγή	15
13.2 Χωρητικότητα πυκνωτή – Μονάδες χωρητικότητας	16
13.3 Ή σημασία τής διηλεκτρικής σταθεράς – Διηλεκτρική πόλωση	18
13.4 Ο έπιπεδος πυκνωτής	21
13.5 Ήλεκτροστατική ένέργεια πυκνωτή	25
13.6 Τρόποι συνδέσεως πυκνωτῶν – Ισοδύναμη χωρητικότητα	27
13.7 Τύποι πυκνωτῶν	37
13.8 Καμπύλες φορτίσεως και έκφορτίσεως πυκνωτή – Σταθερά χρόνου φορτίσεως, έκφορτίσεως	39

ΜΕΡΟΣ ΠΕΜΠΤΟ

ΤΟ ΕΝΑΛΛΑΣΣΟΜΕΝΟ ΡΕΥΜΑ

ΚΕΦΑΛΑΙΟ ΔΕΚΑΤΟ ΤΕΤΑΡΤΟ

Παραγωγή έναλλασσόμενου ρεύματος – Χαρακτηριστικές τιμές και παράταση έναλλασσομένων μεγεθών

14.1 Μεταβαλλόμενα και έναλλασσόμενα ρεύματα	46
14.2 Παραγωγή έναλλασσόμενου ρεύματος	50
14.3 Συχνότητα, φάση και κυκλική συχνότητα έναλλασσομένων μεγεθών	55
14.4 Διανυσματική παράταση έναλλασσομένων μεγεθών – Διαφορά φάσεως	59
14.5 Ένεργος τιμή έναλλασσομένων μεγεθών	68

ΚΕΦΑΛΑΙΟ ΔΕΚΑΤΟ ΠΕΜΠΤΟ

*Ισχύς και ένεργεια του έναλλασσόμενου ρεύματος

15.1 Στιγμαία ίσχυς	73
15.2 Ένεργεια έναλλασσόμενου ρεύματος	75
15.3 Πραγματική, άεργη και φαινόμενη ίσχυς	77
15.4 Βαττικό άεργο ρεύμα	81

ΚΕΦΑΛΑΙΟ ΔΕΚΑΤΟ ΕΚΤΟ

Κυκλώματα έναλλασσόμενου κυκλώματος

16.1 Στοιχεῖα κυκλωμάτων έναλλασσόμενου ρεύματος	84
16.2 Σύνθετα κυκλώματα έναλλασσόμενου ρεύματος	98

ΚΕΦΑΛΑΙΟ ΔΕΚΑΤΟ ΕΒΔΟΜΟ

Συντονισμός κυκλώματος

17.1 Γενικά	119
17.2 Συντονισμός σειράς	119
17.3 Παράλληλος συντονισμός	128

ΚΕΦΑΛΑΙΟ ΔΕΚΑΤΟ ΟΓΔΟΟ

Τριφασικά ρεύματα

18.1 Παραγωγή τριφασικού ρεύματος – Ανεξάρτητα τριφασικά συστήματα	135
18.2 Άλληλένδετα τριφασικά συστήματα	138
18.3 Ισχύς του τριφασικού ρεύματος	144
18.4 Σύνδεση καταναλωτῶν	146

ΚΕΦΑΛΑΙΟ ΔΕΚΑΤΟ ΕΝΑΤΟ

Μετασχηματιστές

19.1 Γενικά	151
19.2 Μονοφασικοί μετασχηματιστές	152
19.3 Τριφασικοί μετασχηματιστές	169

ΜΕΡΟΣ ΕΚΤΟ

ΕΙΔΙΚΑ ΘΕΜΑΤΑ

ΚΕΦΑΛΑΙΟ ΕΙΚΟΣΤΟ

*Ανορθωτές

20.1 Γενικά	180
20.2 Ειδή άνορθωτῶν	181
20.3 Συνδεσμολογίες άνορθωτῶν	192
20.4 Έξομάλυνση τῆς άνορθωμένης τάσεως	196

ΚΕΦΑΛΑΙΟ ΕΙΚΟΣΤΟ ΠΡΩΤΟ

Θερμοηλεκτρικό φαινόμενο

21.1 Θερμοηλεκτρική τάση – Θερμοστοιχεῖα	199
21.2 Χρήση τῶν θερμοστοιχείων	201

ΠΑΡΑΡΤΗΜΑ

ΑΣΚΗΣΕΙΣ	203
----------------	-----

COPYRIGHT ΙΔΡΥΜΑΤΟΣ ΕΥΓΕΝΙΔΟΥ



0020558274

Ψηφιακό Αρχείο του Εθνικού Ινστιτούτου Εκπαιδευτικής Πολιτικής

ΙΔΡΥΜΑ ΕΥΓΕΝΙΔΟΥ

GEORG SIMON OHM (1787-1854).

